



## Lezione 1

(Soffitto)

## TECNOLOGIE PER LA CREAZIONE DEI DISPOSITIVI MEMS

Studiamo il processo di creazione per diversi motivi.

- Sapere come funzionano
- Sono fatti in silicio (perché sono state usate le vecchie macchine usate nei Cmos poi il silicio è un ottimo materiale elettrico ed è facile isolare i layer con l'ossido di silicio ed è anche un ottimo conduttore)

Il processo limita molto le dimensioni dei sensori MEMS. (dimensioni minime)

MEMS: mettiamo i sensori in un package molto piccoli (micrometri)

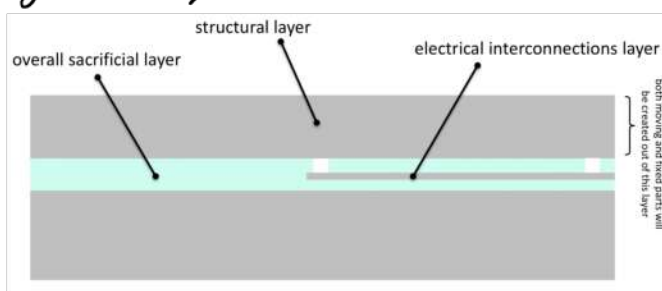
Ci sono 3 parti fondamentali nella creazione di un MEMS

- Layer strutturale (fatto in silicio e parzialmente libero di muoversi)
- Layer per portare le grandezze elettriche (interconnection layer)
- Sacrificial layer

Prima cosa: Creare un layer che è non conduttivo (facciamo un layer di ossido di silicio) per fare in modo che scaldano il silicio in un ambiente ad alto contenuto di ossigeno

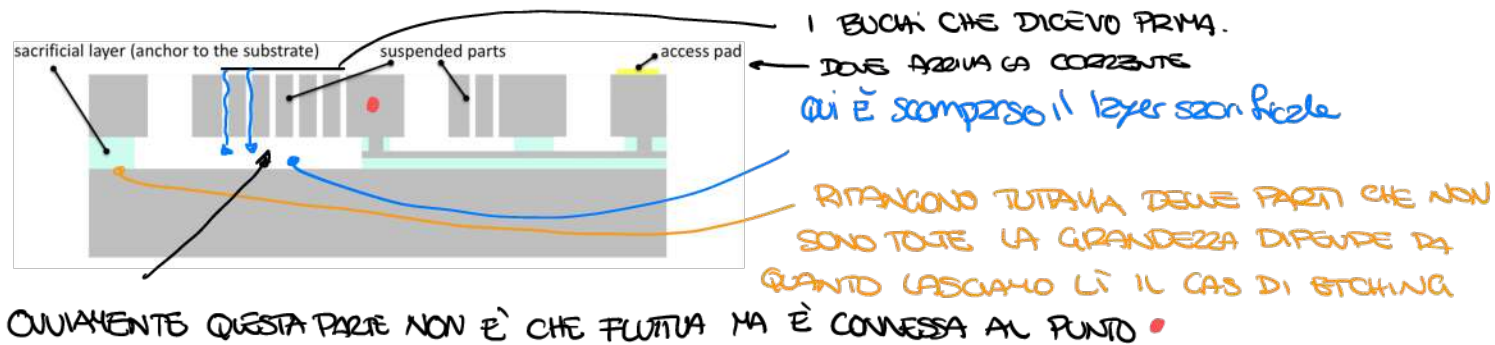
Poi depositiamo un layer sottilissimo per portare le interconnessioni (lo mettiamo solo dove ci serve). Rifacciamo poi un secondo layer di silicio e rimuoviamo l'ossido di silicio che vogliamo collegare con il layer conduttivo.

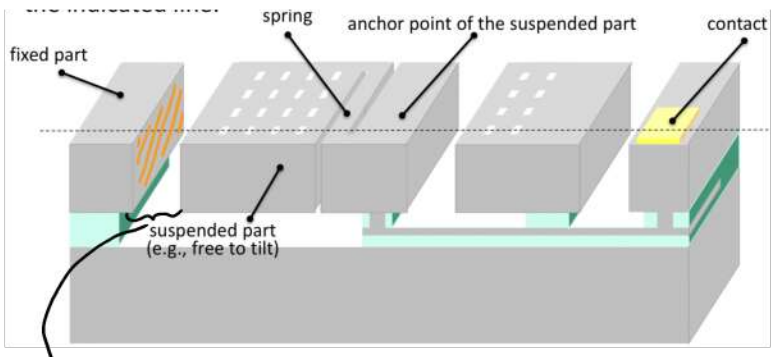
Costruiamo addosso il layer strutturale (l'altezza di questo layer è tipicamente 20-100 μm) addossata tanto rispetto agli altri layer.



Andiamo poi a fare un etching del silicio del piano strutturale utilizzando una mask e del piano sacrificale intero.

Eliminare tutto il layer sacrificale con i gas di etching è molto difficile, per questo sulle messe sospese sono messi dei buchi che permettono ai gas di etching di entrare e rimuovere il layer sacrificale.





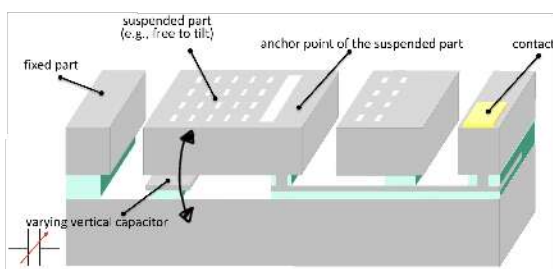
In pratica abbiamo questo

Se ad esempio muoviamo questo cosa la parte sospesa connessa con una molla si muove

Come misuriamo questi movimenti?

Qui ci sono 2 forze condutte quindi abbiamo un condensatore da varia in base ai movimenti. (più precisamente sull'accelerazione)

E se volessimo misurare i movimenti nell'altra direzione? Cambiamo la struttura.



Questi sensori devono lavorare in assenza di potere, perciò vengono incapsulati e viene fatto in modo che la pressione sia la stessa di quando incapsula il sensore. Solo i piedi di connessione non sono incapsulati.

Dato che abbiamo pressione e quindi ora dentro il capellino abbiamo anche attrito, teniamo conto di questo con il lettore b. ricordiamo poi inoltre che abbiamo una massa ed un lettore della molla K. (usiamo infatti lo Spring mass damper model)

In un singolo wafer posso mettere 1000 mesi circa.

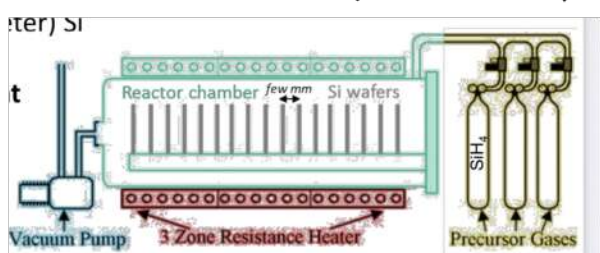
## LAYER STRUTTURALE

Non vogliamo farlo alto così la massa è più grande. E va meglio con i movimenti. Lo facciamo alto e non lungo perché in lunghezza ci occuperebbe + spazio sul wafer. Cosa importante è che la grandezza sia uniforme.

Per depositare questo alto layer come si può fare?

## Chemical vapor deposition (CVD)

era usata ma per fare layer piccoli ( $\sim 1\text{um}$ )



Abbiamo una camera a temperatura controllata, poi facciamo fluire il gas. Sintesi di un gas peruviano di tramite processo chimico fa crescere il silicio

Il problema di questa tecnica è di l'escrescenza è di nm al minuto. Che è molto poco

Allora la tecnica è stata modificata. Epitaxial growth

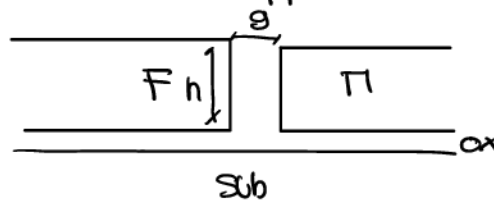
Non è una tecnica che crea la sovrapposizione dei cristalli perfetta però anche se abbiamo la struttura non regolare andiamo molto veloce.

Aumentiamo la pressione e altre cose andiamo a livelli di  $\approx 0,5\text{-}1\text{um}/\text{min}$ .

Il vantaggio di velocità vale sia in termini di costi e sia sul fatto che andando più veloci le probabilità che lo spessore sia circa uguale è + alta.

Con queste tecniche possiamo avere per essere silicio drogato, non vogliamo fare questo perché non vogliamo che c'è sia pace caduta nel path conduttivo fino al condensatore.

La minima distanza tra una parte fissa e una mobile è chiamata minimum gap (g), l'altezza del layer è chiamata h.  
Vediamo come rapporto di forma il rapporto  $h/g$ .



Tipicamente il minimum gap è **5um**  
questo perché è difficile fare l'etching del silicio in un'unica direzione

e anche la grandezza minima di una parte sospesa (che è circa 3um)

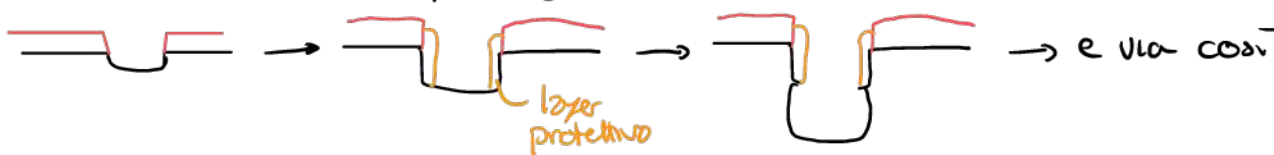
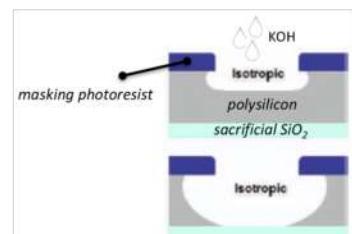
### wet etching

Usiamo un liquido (KOH) che però mangia il silicio in modo isotropico, non fa i tagli verticali. Infatti ad oggi è scarsamente utilizzato.

Ci si è spostati su un etching con il gas che è un etching isotropico.

Con un layer di photoresist facciamo un mask delle parti che non voglio che siano eliminate.

In pratica noi con il gas iniziamo facendo un piccolo etching e poi in qualche modo proteggiamo il muro laterale e andiamo.

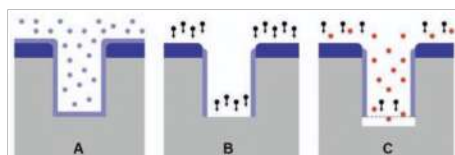


Sarebbe un buco di una forma del tipo  $\{ \}$  →  $\rightarrow$  10nm

Come possiamo fare ciò?

Facciamo una combinazione di plasma etching e chemical etching.

Facciamo una passiva (layer protettivo dell'etching) anche e poi con canali a elettroni lo togliamo dove lo vogliamo. Poi con il plasma facciamo l'etching e poi si continua ancora.

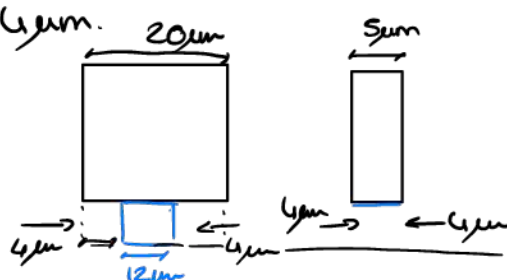


Questo ci permette di avere aspect ratio più grande (e questo è molto buono).

Per l'etching del layer sacrificiale noi facciamo sempre un etching gassoso.

Questo etching ci limita la massima larghezza di un elemento sospeso.

Infatti il gas ha ad esempio una releasing distance d: es: 4um perché riusca fino a 4um.



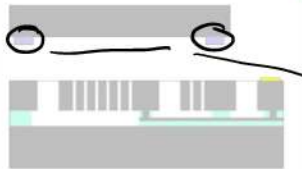
Noi sappiamo che una struttura più grande del doppio della releasing distance non consente tutto l'ossido. Per fare strutture così grandi dobbiamo mettere buchi come detto prima.

## NEUTS PACKAGING

- 1) Abbiamo parti che si devono muovere  $\rightarrow$  non dobbiamo avere forze
- 2) Alcuni sensori usano a pressione bassissime  $\rightarrow$  se abbriamo gas dentro lo vogliano inerte (sicuro no ossigeno). La pressione è fondamentale per il fatto di qualità. In questi sensori abbriamo anche il rumore

**Bonding del Cap** (si differenziano in base al materiale che usiamo sul bordo per unire il cap)

- **Glassfrit bonding**: la base perché ha temperatura di fusione bassa, lato negativo è da sciogliersi va ad allungarsi (non deve andare sopra il mio sensore) questo è il bonding.



- **Termo compression bonding (Eutectic bonding)**: utilizzano pressione + temperatura (non altissima, meno della fusione del materiale) allora si fondono. Il vantaggio è di s'espandano poco ma costano di più.

Facendo questi tipi di bonding posso fare + sensori che vengono a pressione diversa sullo stesso chip.

Possiamo disegnare sullo stesso chip MEMS e il circuito integrato? Sì, possiamo ma abbriamo in lato negativo. Infatti il processo del MEMS limita quello dell'elettronica, allora le aziende hanno deciso di separare i 2 chip e vengono messi uno sopra l'altro e vengono uniti con il bonding.

Il lato positivo di questo è che se ho il MEMS che non è top ma lo elettronico top, allora posso nella prossima generazione migliorare solo il MEMS tenendo la stessa elettronica.

## Lezione 2

Kinematica della pata sospesa e della molla: è un sistema smorzatore-molla  
Ci sono anche degli effetti di forze elettrostatiche che possono rompere

### Sistemi di riferimento

- An **inertial reference frame** (system) is a frame where the first **Newton's law applies**: an object moves at a constant velocity, if not perturbed by an external force.
  - all inertial reference frames are in a state of constant, rectilinear motion one another (they are not accelerating).

Se abbriamo 2 sistemi e questi sono a **inertial reference** allora sono sempre in uno stato di movimento relativo a velocità costante.

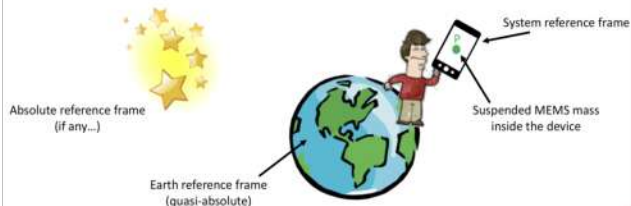
Le leggi della fisica nei 2 sistemi sono uguali.

Quando ho un riferimento non inerziale ho che uno dei 2 sistemi sta rotolando oppure sta accelerando.

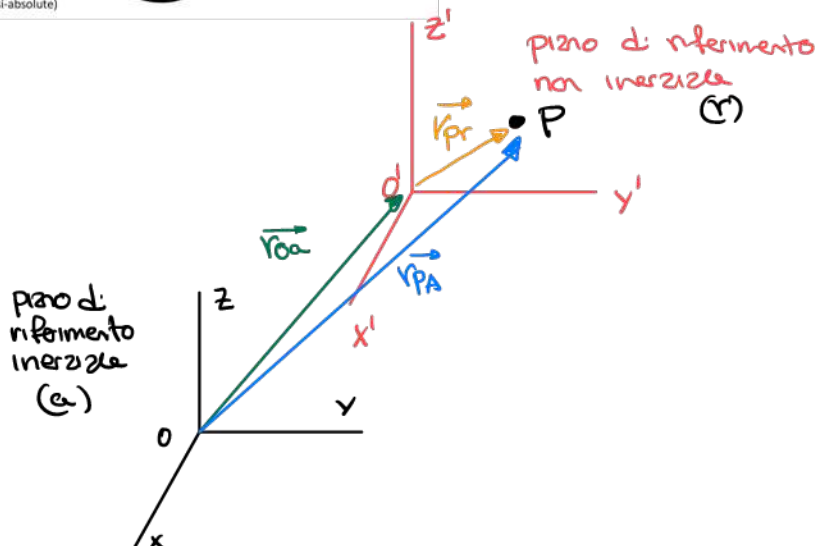
Le leggi della fisica cambiano dobbiamo considerare ora con delle forze apparenti.

Queste forze apparenti sono quelle da andare a misurare

Per semplicità prendiamo la terra come sistema inerziale.



il telefono è il sistema di riferimento non inerziale  
P rappresenta la massa sospesa del  
device MOS (x semplicità la consideriamo volante  
senza vincoli)



I vettore  $\vec{r}_{oa}$  ci dà  
la distanza tra i 2  
centri di riferimento

$v_{pr}$  descrive la posizione  
del punto P vista dal  
sistema non inerziale

$v_{pa}$  vettore che dà la  
posizione di P sul piano  
inerziale

Il sistema relativo può accelerare o ruotare rispetto al centro del piano inerziale  
 $\vec{\alpha}_{0'a}$ ,  $\vec{\Omega}_{0'a}$ ,  $\leftarrow$  (rotazione)  
Seppiamo che

$$\vec{v}_{pa} = \vec{v}_{pr} + \vec{v}_{oa} \quad (\text{ed è fisica})$$

Ma la velocità del punto P nel sistema di riferimento inerziale è?

$$\vec{v}_{pa} = \vec{v}_{pr} + \vec{v}_{oa}$$

non basta perché se il sistema non inerziale sta  
ruotando sul posto e P non si muove con questa  
formula l'osservatore inerziale vede che P si muove  
cosa che non succede, allora

$$\vec{v}_{pa} = \vec{v}_{pr} + \vec{v}_{oa} + (\vec{\Omega}_{0'a} \times \vec{r}_{pr})$$

Allora possiamo scrivere l'accelerazione

$$\vec{a}_{pa} = \vec{a}_{pr} + \vec{\alpha}_{0'a} + \vec{\Omega}_{0'a} \times (\vec{\Omega}_{0'a} \times \vec{r}_{pr}) + (\vec{\Omega}_{0'a} \times \vec{v}_{pr}) + 2(\vec{\Omega}_{0'a} \times \vec{v}_{pr})$$

(l'accelerazione  
newtoniana  
(quella "vera"))      (accelerazione  
vista da O'  
accelerazione  
di O')

(accelerazione  
centro-punto  
accelerazione  
angolare  
Coriolis  
(Gedo))      (accelerazione  
angolare  
Tipicamente sono molto piccole quindi non le consideriamo)

Con i nostri mesi noi vogliamo misurare queste 2 quantità ☺

The goal is:

- to measure the motion of  $O'x'y'z'$  (i.e. of our non-inertial system) with respect to  $Oxyz$  (i.e. the reference frame);
- to do it, we exploit the motion  $r_p(t)$  of the MEMS mass P relative to  $O'x'y'z'$ , described through fictitious forces.

Fino ad ora abbiamo supposto P de fluttua in aria ma la massa sospesa in realtà è collegata con una molla al sistema ed in più l'aria del sistema

smorzata il tutto.

- Forza Elastica  $F_{el} = -K \cdot r_{pr}$
- Forza d' damping  $F_{damp} = -b \cdot v_{pr}$

### Sistema molla smorzatore

Moltiplichiamo per  $m$  la formula dell'accelerazione calcolata prima

$$\vec{m \ddot{x}_{pa}} = \vec{m \ddot{x}_{pr}} + \vec{m \ddot{o}'_a} + 2m(\vec{\Omega}'_a \times \vec{v}_{pr})$$

Ha considerato solo una componente dei vettori (quella che daremo come movimento).

$$\underbrace{m \ddot{x}_{pa}} = m \ddot{x}_{pr} + m \ddot{o}'_a + 2m(\vec{\Omega}'_a \cdot \vec{v}_{pr})$$

Pesta è la forza nel punto

$$-b \dot{x}_{pr} - Kx_{pr} = m \ddot{x}_{pr} + m \ddot{o}'_a + 2m \vec{\Omega}'_a \cdot \vec{v}_{pr}$$

Possiamo non scrivere più i pedici delle posizioni

$$m \ddot{x} + b \dot{x} + Kx = -\underbrace{m \ddot{o}'_a - 2m \vec{\Omega}'_a \cdot \vec{v}_{pa}}_{F_{inertial}}$$

Adesso tutte le posizioni sono relative al sistema di riferimento non inerziale e questo va bene

\* Questi indicano la posizione rispetto al piano di riferimento non inerziale e se noi misuriamo la cappità misuriamo esattamente quello

\* Questi sono quelli che vogliono calcolare (Quando vogliamo fare un accelerometro facciamo in modo che la componente  $2m \vec{\Omega}'_a \cdot \vec{v}_{pa}$  sia nulla e viceversa con un oscilloscopio)

### The Linear spring-mass-damper equation

Facciamo la trasformata di Laplace della formula di prima

$$m s^2 X(s) + b s X(s) + K X(s) = F_{ext}(s)$$

$$X(s)(m s^2 + b s + K) = F_{ext}(s)$$

$$\text{La FDT è } T_{XF} = \frac{X(s)}{F_{ext}(s)} = \frac{1}{m s^2 + b s + K} = \frac{1}{m} \cdot \frac{1}{s^2 + \frac{b}{m} s + \frac{K}{m}}$$

Scriviamo questa FDT e esprimiamo la frequenza d'isonanza e il fattore di qualità.

$$\omega_0 = \sqrt{\frac{K}{m}}$$

$$Q = \frac{\omega_0 \cdot m}{b}$$

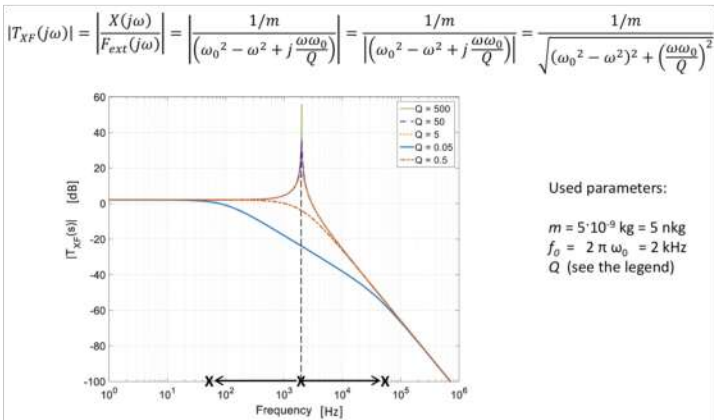
Allora posso scrivere la FDT come:

$$T_{XF} = \frac{1}{m} \cdot \frac{1}{s^2 + \frac{\omega_0 s}{Q} + \omega_0^2}$$

Sorvegmo l'andamento dell'equazione in frequenza.

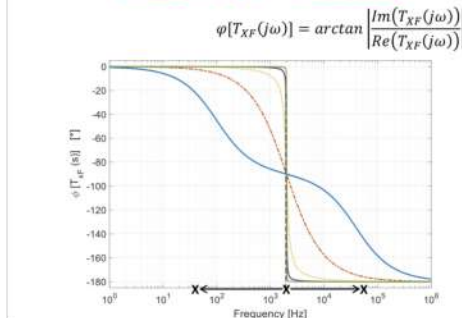
Dal valore del fattore di qualità seppiamo il tipo dei pdi.

## Modulo



## Fase

The phase decreases by  $180^\circ$ , as the system is characterized by two poles. The **phase shift at the resonance frequency** is exactly  $90^\circ$ .



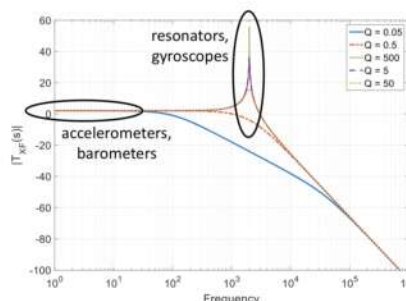
Se sono alla freq d' risonanza il displacement è in quadratura rispetto al movimento ( $-90^\circ$ )

## Zona di funzionamento dei MEMS

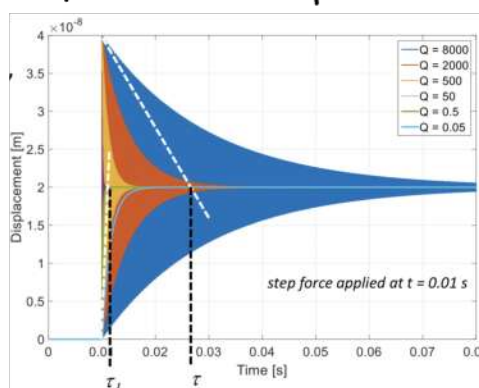
MEMS devices operate in different regions of the transfer function:

- accelerometers, microphones and pressure sensors typically operate under forces occurring far **before resonance**; as we will see, they usually have **relatively low Q factors** (typically  $< 10$ , or even  $< 1$ );
- resonators (including the gyroscopes drive) operate **at resonance** (few tens kHz to few MHz) and require **high quality factors** (typically few thousand to ten thousand);
- other sensors (gyroscopes, magnetometers...) operate **slightly before the resonance** frequency (off-resonance or mode-split operation), due to a modulation in frequency of the applied forces;
- no devices operate beyond the resonance frequency.

→ Non significa che il fattore di qualità sia piccolo



## Risposta all'impulso in base a diversi fattori di qualità

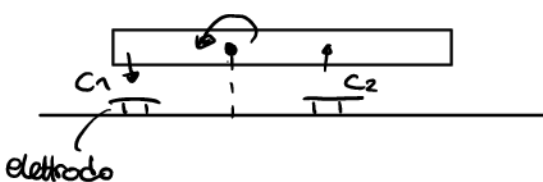


$$\text{Dove } \tau \text{ è } \tau = \frac{Q}{\pi f_0}$$

dobbiamo tener conto di questi comportamenti quando lavoriamo con i sensori e prendiamo dei colpi ecc...

## Torsional spring-mass-damper system

Sistemi dove la massa può tiltare



Al posto della massa abbiamo il momento d'inerzia  $I$ , il corrispondente del damping è il torsional damping coefficient ( $b_2$ ), il corrispondente della stiffness è la torsional stiffness

Allora:

$$I \ddot{V} + b_v \dot{V} + k_v V = F_{ext}$$

(è la stessa formula di prima)

è la torque

## Forze Elettrostatiche

Alle volte le vogliono altre volte no

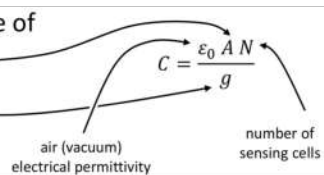
Nelle formule viste prima avevamo visto solo le forze non elettrostatiche.

Alle volte usano queste forze per mettere in movimento le masse.

Queste forze si formano a capo del condensatore, un condensatore può essere

The used **variable capacitance** can be of

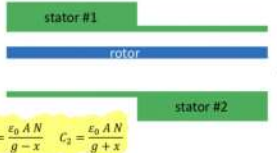
- area-varying (comb-finger) type or
- gap-varying (parallel-plate).



Example 1: one parallel-plate (**gap varying**) differential transduction

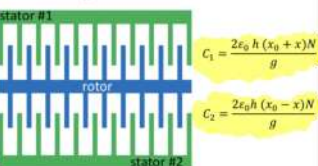
top views

motion direction



$$C_1 = \frac{\epsilon_0 A N}{g - x}, \quad C_2 = \frac{\epsilon_0 A N}{g + x}$$

Example 2: N comb-finger (**area varying**) differential transductions



$$C_1 = \frac{2\epsilon_0 h (x_0 + x)N}{g}, \quad C_2 = \frac{2\epsilon_0 h (x_0 - x)N}{g}$$

esempi di questi 2 tipi di condensatori.  
Questi sono condensatori differenziali.

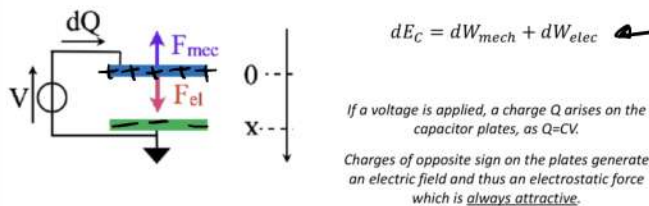
Quale sono le forze generate?

Consideriamo una parte fissa (verde) e quella blu libera di muoversi

Let us consider a single-ended parallel-plate capacitor. Let us assume a DC voltage applied to its plates. Using the principle of virtual works, we can evaluate the value of the electrostatic force:

- in equilibrium conditions, **electrostatic forces balance the mechanical force**

Any variation in the energy  $E_c$  stored in the capacitor should be given by the work  $W$  done by the mechanical or electrical forces.

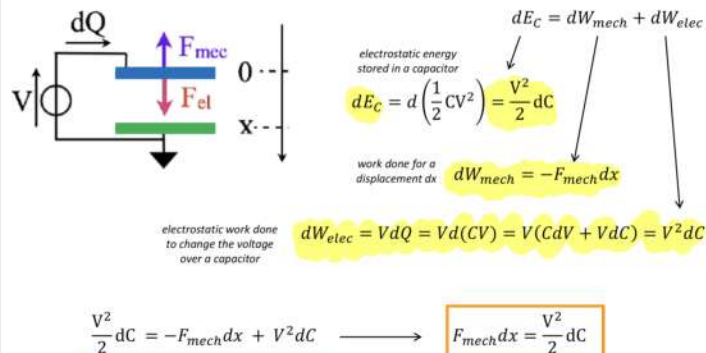


La forza elettrostatica tenta sempre di attirare le 2 facce, perché cariche opposte si attraggono

La variazione dell'energia nel condensatore è data dalla somma del lavoro meccanico o quello elettostatico

(Abbiano questa forza ogni volta da applicarli una tensione, anche per leggerlo)

### • Single-ended configuration

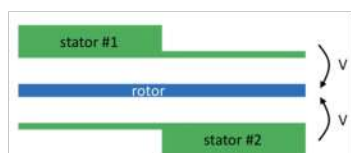


Lavoro per mettere le cariche sulle facce del condensatore

$$F_{mech} dx = \frac{V^2}{2} dC = -\frac{V^2}{2} \frac{\epsilon_0 A N}{(g - x)^2} dx$$

$$F_{elec} = -F_{mech} = \frac{V^2}{2} \frac{\epsilon_0 A N}{(g - x)^2}$$

Aggiungiamo solo il termine riferito alle forze elettrostatiche  $\rightarrow m\ddot{x} + b\dot{x} + kx = F_{ext} + F_{elec}$



The situation can be easily extended by considering the differential configuration with opposite forces:

$$F_{elec} = \frac{V^2}{2} \frac{\epsilon_0 A N}{(g - x)^2} - \frac{V^2}{2} \frac{\epsilon_0 A N}{(g + x)^2}$$

$$m\ddot{x} + b\dot{x} + kx = F_{ext} + F_{elec}$$

Note that the applied force is a function of the displacement itself both in single-ended and in differential configurations. We will see in the next class one drawback of this result.

In ogni caso questa configurazione differenziale riduce l'effetto di queste forze e inoltre aiuta anche con la common mode

## Lezione 3

## Accelerometro

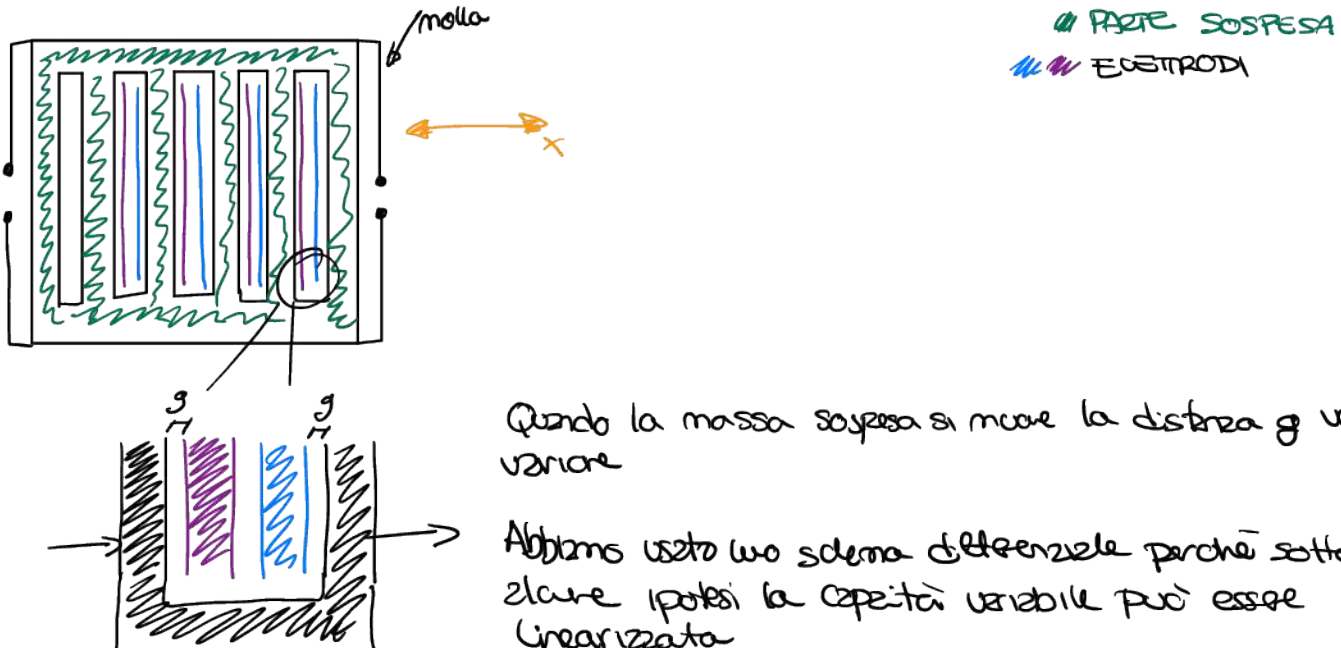
Usati principalmente in automotive (all'inizio, per gli zirbog)

Foto design degli accelerometri in modo efficiente e allo stato dell'arte c'è di fatto

- Acceleration range: massima accelerazione che l'accelerometro può tenere (per applicazioni consumer ho 16g)
- Bias Voltage: 2-3V
- Corrente in Mode normale: 100-500mA
- Temperatura d'operazione -40, +85 °C (per applicazioni commerciali)
- Noise Density  $\approx 120 \mu\text{g}/\sqrt{\text{Hz}}$  (poi integrano la noise density per la banda e ottengono l'accelerazione minima)  
Tipicamente l'accelerazione minima  $\approx 1/1000 \text{ g}$
- Non Linearietà: noi vorremo una funzione lineare tra accelerazione e uscita di tensione, c'è può essere una non linearità che manda tutto a puttane.

Gli accelerometri possono anche essere usati per controllare le parti dolci delle macchine da stampa per rompere.

## ARCHITETTURA DI UN ACCELEROMETRO A PIANO PARALLELO



Quando la massa sospesa si muove la distanza  $g$  va a varicare

Abbiamo usato uno schema differenziale perché sotto elenche ipotesi la capacità variabile può essere linearizzata

Come facciamo a misurare la capacità differenziale? Dobbiamo studiare l'elettronica e la corrente che si forma in questi tipi di condensatori.

Per semplificare consideriamo che la frequenza delle accelerazioni è più piccola di quella di risonanza dell'accelerometro

Allora sotto questa ipotesi (Frequenze piccole) posso dire che le sue derivate sono piccole e quindi trascurarle.  
Otengo quindi che la formula è

$$\cancel{m\ddot{x} + b\dot{x} + kx = m a_{ext} + F_{elec}}$$

Come è la corrente di scarica in un condensatore variabile?

Seppiamo che la corrente è la derivata della carica, allora posso scrivere:

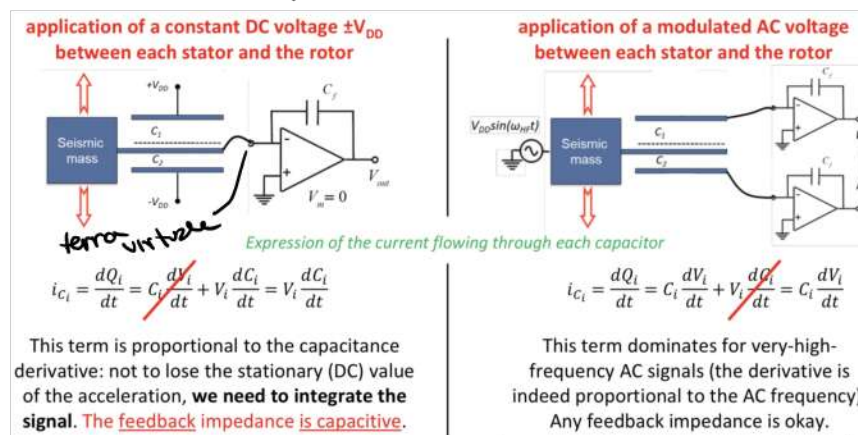
$$i_C = \frac{dQ}{dt} = \frac{d(CV)}{dt} = C \frac{dV}{dt} + V \frac{dC}{dt}$$

Non c'è quindi un solo modo per leggere gli accelerometri

Le 2 opzioni per leggere queste capacità sono:

Applichiamo una tensione DC costante tra i 2 elettrodi:  
Visto che la tensione è costante la derivata della tensione va a 0.

Come risultato abbiamo la derivata della capacità, per ricevere il valore vero di  $C$  dobbiamo integrare



In questo caso troviamo  
1 2 elettrodi: a massa virtuale e applicando una tensione AC all'elettrodo del rotore  
Se la frequenza della tensione è molto alta possiamo garantire che la sua derivata sia >>  
di quella del condensatore e allora posso approssimare la formula

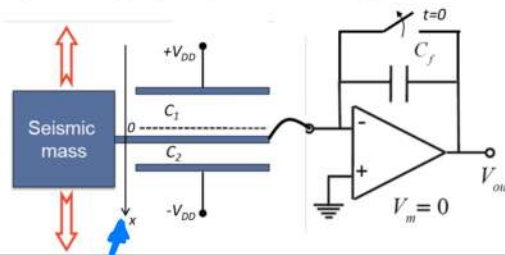
Per semplicità noi iniziamo studiando il primo metodo.

Assume that the accelerometer is initially in the rest position and that  $C_f$  is initially discharged (e.g. via a switch, as shown):

$$V_m = 0 \quad C_1 = \frac{\epsilon_0 A N}{g + x} \quad C_2 = \frac{\epsilon_0 A N}{g - x} \quad Q_F = 0$$

If the position changes by a quantity  $x$ , we have **opposite changes in the value of the differential capacitances**

- for  $x > 0$  (as in the figure)  $\rightarrow C_1$  decreases and  $C_2$  increases



Abbiamo che la formula della carica è

$$Q_1 = -C_1 \cdot V_{DD}$$

$$Q_2 = C_2 \cdot V_{DD}$$

quando abbiamo uno spostamento del rotore otteniamo che c'è una differenza di carica

$$\Delta Q_m = C_2 V_{DD} - C_1 V_{DD}$$

$$= V_{DD} \Delta C$$

ma da dove viene questa carica? Arriva dal condensatore di feedback e di conseguenza non ha doppio capo di  $C_f$ , cioè

$$\Delta V_m = \frac{\Delta Q_m}{C_F} = V_{DD} \cdot \frac{\Delta C}{C_F}$$

Possiamo ora esprire in modo specifico la variazione della carica data lo spostamento

- Detailed calculation of  $\Delta Q_m$  as a function of  $x$ :

$$\Delta Q_m = -C_1 V_{DD} + C_2 V_{DD} = V_{DD} \Delta C_{diff} = V_{DD} \left( -\frac{\epsilon_0 A N}{g+x} + \frac{\epsilon_0 A N}{g-x} \right) = V_{DD} \frac{\epsilon_0 A N}{g} \left( \frac{-1}{1+x/g} + \frac{1}{1-x/g} \right)$$

Definizione delle capacità

$C_0$ : capacità di equilibrio

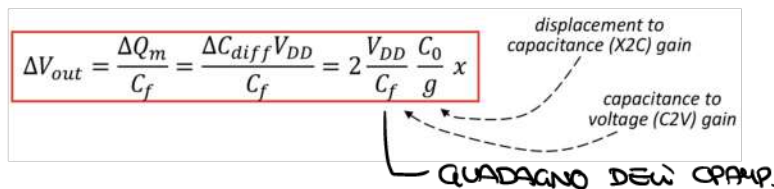
$$\Delta Q_m = V_{DD} C_0 \left( \frac{-1}{1+x/g} + \frac{1}{1-x/g} \right) = V_{DD} C_0 \left[ \frac{-1+x/g+1+x/g}{1-(x/g)^2} \right] = V_{DD} C_0 \left[ \frac{2x/g}{1-(x/g)^2} \right]$$

è una funzione non lineare

Se suppongo che il displaceent  $x$  sia << rispetto alla dimensione del gap, allora  $x/g$  è molto piccolo e trascurabile se sottratto a 1, allora sotto queste approssimazioni

$$\Delta Q_m = 2V_{DD} C_0 \frac{x}{g} \quad \text{e da} \quad \Delta C_{diff} = 2C_0 \frac{x}{g}$$

Come calcoliamo ora la tensione d'output in funzione del displacement

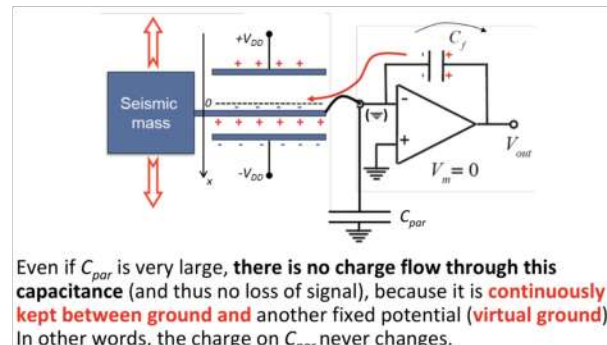


Sotto le approssimazioni fatte prima abbiamo che la tensione d'uscita è un'eq lineare della capacità.

## Capacità parassite

Ci sono molte fonti di effetti parassiti (vedere slide)

Queste capacità rompono le belle in lettura?



In realtà anche no, infatti grazie alla massa virtuale ho che ho sempre 0 ai capi di Cpar.

Le capacità  $C_0$  dell'accelerometro sono circa  $100\text{ pF} - 1\text{ nF}$  e stessa roba su  $C_f$ .

## Effetti della forza elettrostatica

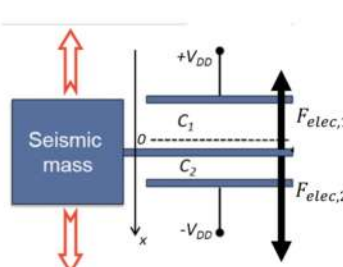
Ricordiamo che le forze sono sempre attrattive

We saw in the last class that the application of a voltage for the **readout** generates **unavoidable electrostatic forces**, which should be considered in the force balance of the motion equation.

$$F_{elec,1} = -\frac{V_{DD}^2}{2} \frac{\epsilon_0 A N}{(g+x)^2}$$

$$F_{elec,2} = +\frac{V_{DD}^2}{2} \frac{\epsilon_0 A N}{(g-x)^2}$$

$$F_{elec} = \frac{V_{DD}^2}{2} \frac{\epsilon_0 A N}{(g-x)^2} - \frac{V_{DD}^2}{2} \frac{\epsilon_0 A N}{(g+x)^2}$$



Queste sono le 2 forze che dobbiamo considerare.

Ricordiamo che

$$m\ddot{x} + b\dot{x} + Kx = m a_{ext} + F_{elec}$$

Assumiamo inizialmente che non ci sia nessuna accelerazione e che la frequenza delle accelerazioni sia bassa tale da poter semplificare le derivate di  $x$ . Allora l'equazione totale si riduce a

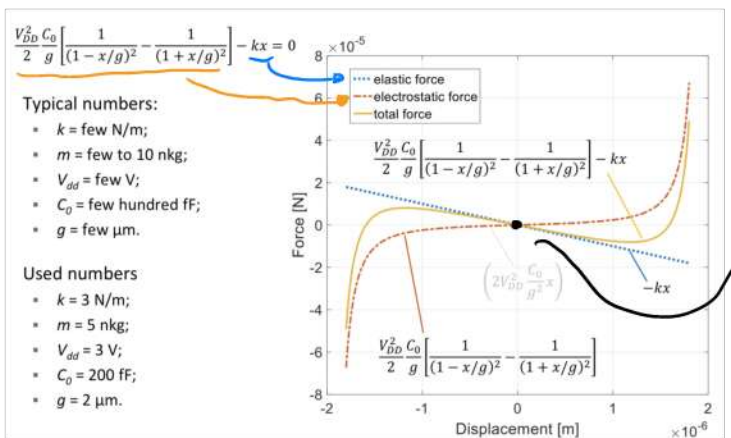
$$Kx = F_{elec} \rightarrow Kx = \frac{V_{DD}^2}{2} \frac{\epsilon_0 A N}{(g-x)^2} - \frac{V_{DD}^2}{2} \frac{\epsilon_0 A N}{(g+x)^2}$$

Posso ricavare  $x$  da questa equazione se prendo  $K$  e  $F_{elec}$

The questions now are:

- Is it relevant for our purposes?
- Under which conditions can we anyway use our accelerometer?
- Which effects does it have on linearity?

Risoluzione graficamente l'equazione che abbiamo calcolato sopra e studiamo le risposte a queste domande



Ogni volta che la curva guasta tocca l'asse dello zero allora ci ha una soluzione. Vogliamo vedere se queste punti sono punti di equilibrio stabile

Punto centrale è un punto stabile perché una forza positiva da una forza negativa che lo fa tornare in equilibrio

Al contrario gli altri 2 punti non sono di equilibrio

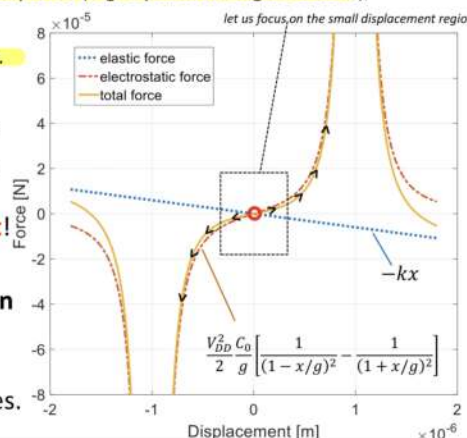
Se facciamo delle piccole variazioni allora la situazione potrebbe drasticamente cambiare

#### The equilibrium conditions can significantly change if one tries to:

- increase the facing area (thus the total capacitance at rest);
- decrease the gap between plates (e.g. 1  $\mu\text{m}$  in the figure below);
- decrease the stiffness;
- increase the bias voltage.

Once a certain condition (which one?) is reached, there is no longer any stable equilibrium point!

The system undergoes an instability known as **pull-in**: the rotor plates snap onto the stator ones.



In questi casi la forza elettrostatica ha superato il suo valore tanto che la pendenza della forza attorno al punto di zero centrale è contraria (e quindi non è più stabile)

Questo significa che appena quando l'accelerometro allora la massa va a destra o a sinistra a causa della forza elettrostatica

La massa va ad affacciarsi ad uno degli elettrodi

Come determiniamo le condizioni limite tra un device che funziona e uno che non lo fa.

Dobbiamo eguagliare la forza elastica e quella elettromagnetica esterna al punto d'equilibrio perché abbiamo visto che l'equilibrio s'perde quando il segno della forza cambia di segno.

$$Kx = \frac{V_{DD}^2}{2} \frac{\epsilon_0 A N}{(g-x)^2} - \frac{V_{DD}^2}{2} \frac{\epsilon_0 A N}{(g+x)^2} = \frac{V_{DD}^2 \epsilon_0 A N}{g^2} \left( \frac{1}{(1-\frac{x}{g})^2} - \frac{1}{(1+\frac{x}{g})^2} \right)$$

Allora

$$K_x = \frac{V_{DD}^2}{2} \cdot \frac{C_0}{g} \cdot \left( \frac{1}{1 + \left(\frac{x}{g}\right)^2 - 2\frac{x}{g}} - \frac{1}{1 + \left(\frac{x}{g}\right)^2 + 2\frac{x}{g}} \right)$$

[ $\frac{x}{g}$  trascurabile]  
small displacements

$$K_x = \frac{V_{DD}^2}{2} \cdot \frac{C_0}{g} \left( \frac{1}{1 - 2\frac{x}{g}} - \frac{1}{1 - 2\frac{x}{g}} \right)$$

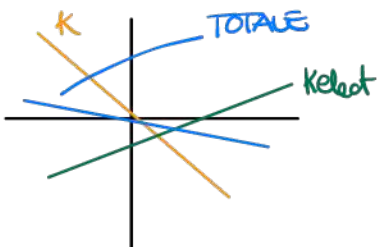
$$K_x = \frac{V_{DD}^2}{2} \cdot \frac{C_0}{g} \left( \frac{4x/g}{1 - 4x^2/g^2} \right) \quad \text{trascurabile}$$

$$K_x = \frac{V_{DD}^2}{2} \frac{C_0}{g} \frac{4x}{g} \rightarrow K_x = V_{DD}^2 \cdot \frac{C_0}{g^2} \cdot 2 \cdot x$$

Dato che  $\frac{V_{DD}^2 C_0 \cdot 2}{g^2}$  ha la forma di una forza elastica, allora questa

formula prende il nome di equivalent electrostatic stiffness  $K_{elec} = -\frac{V_{DD}^2 C_0 \cdot 2}{g^2}$

Allora per essere sicuri di avere stabilità noi dobbiamo avere che la forza totale penda verso il basso a destra

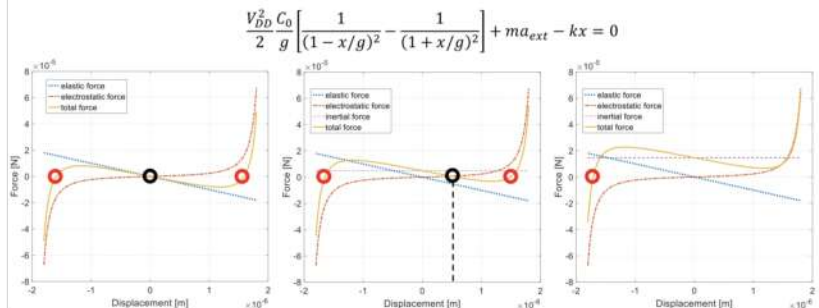


Cioè dobbiamo avere  $x > 0$  e  $|k| > |K_{elec}|$

$$|k| > \frac{V_{DD}^2 C_0 \cdot 2}{g^2}$$

Tutti si conti ma abbriamo approssimato dicendo che non c'è accelerazione, ma questo è un falso accelerometro quindi deve essere accelerazione.

- Our ultimate goal is to calculate an acceleration, so we remove now the hypothesis of non-zero acceleration, and assume  $|k_{el}| \ll k$ ...
  - for small accelerations: shift of the equilibrium point (ok, this is the displacement we want to measure to recover the acceleration value);
  - after a certain acceleration value however, no more stable point exists! Too large accelerations can cause instability in PP MEMS accelerometers, even at biasing values lower than the pull-in voltage!



Anche un accelerometro stabile sotto grandi accelerazioni può diventare instabile.

Potremo avere degli shock tipo cade il telefono da sopra l'accelerazione massima, allora per evitare certi circuiti si usano degli stopper meccanici sulla massa sospesa

## Sensibilità dell'accelerometro

Vogliamo relazione il displacement con l'accelerazione

We now solve the stationary condition, for small displacements, to find out the **output voltage vs the input acceleration**, i.e. the overall axel sensitivity.

$$kx = ma_{ext} + 2V_{DD} \frac{C_0}{g^2} x$$

$$x = \frac{m}{(k - 2V_{DD}^2 \frac{C_0}{g^2})} a_{ext} = \frac{m}{(k + k_{elec})} a_{ext} = \frac{m}{k_{tot}} a_{ext} = \frac{1}{\omega_0^2} a_{ext}$$

$\omega_0$  is a key parameter in determining the sensitivity!

Note 1: the MEMS resonance frequency changes as the elastic

stiffness changes! Indeed it is  $\omega_0 = \sqrt{\frac{k_{tot}}{m}}$ ! This effect is named electrostatic softening or tuning of the resonance frequency.

\*  $k_{elec}$  is always negative  $\rightarrow$  resonance always decreases w.r.t. to its native value

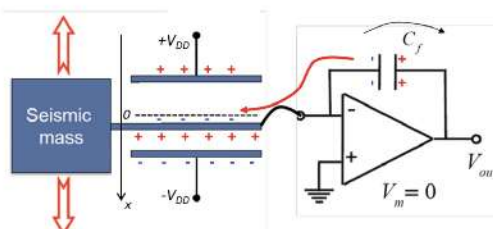
Note 2: a MEMS accelerometer is **well-designed** only if it effectively undergoes **small displacements** ( $<<$  than the gap value, see next class) even for accelerations corresponding to the full-scale value!

Che è la Regenza di risonanza in operazione  
che la stiffness totale è la somma di  $K + k_{elec}$   
Dato che  $k_{elec}$  è sempre negativo allora  $k_{tot}$  è  
e quindi la regenza di risonanza totale in  
operazione sarà sempre un po' più bassa  
di quella in stabilità.

By putting together the two found expressions below:

$$\Delta V_{out} = 2 \frac{V_{DD} C_0}{C_f g} x$$

$$x = \frac{1}{\omega_0^2} a_{ext}$$



We can finally evaluate the overall sensitivity of a differential, parallel-plate MEMS axel readout through a charge amplifier:

$$\frac{\Delta V_{out}}{a_{ext}} = 2 \frac{V_{DD} C_0}{C_f g} \frac{1}{\omega_0^2}$$

capacitance to voltage (C2V) gain

differential gain

displacement to capacitance  $dC/dx$  gain

physical quantity to displacement gain

Note: this formula gives the sensitivity in  $V/(m/s^2)$ .

To pass to  $V/g$ , just multiply by 9.81!

## Leczione 4

### Accelerometro parte 2

Andiamo a introdurre dei parametri degli acceleratori.

Ricordiamo l'altra formula calcolata nella scorsa lezione

$$\frac{\Delta V_{out}}{a_{ext}} = 2 \frac{V_{DD}}{C_f} \frac{C_0}{g} \frac{m}{(k - 2V_{DD}^2 \frac{C_0}{g^2})}$$

generalmente diciamo che maggiore è la sensitivity migliore è l'accelerometro, vediamo se è facile ottenere un'alta sensitività.

- Dato che  $\frac{\Delta V_{out}}{a_{ext}} \propto \frac{1}{g}$  allora se riduco  $g$  potrei aumentare la stabilità ma se riduco il  $g_{sp}$  dovrò ridurre anche la pulling voltage

- Possiamo aumentare la massa  $m$ , ma facendolo ridurremo la banda

- Possiamo ridurre l'overal stiffness ma poi rischiamo sempre il pull-in e instabilità.

- Possiamo aumentare la tensione di bias ma avremo sempre problemi di pull-in (la tensione di bias deve stare sotto quella di pull-in)

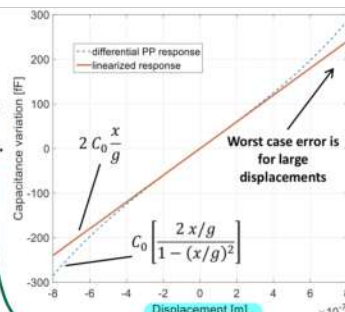
L'unico punto che non ha trade-off è l'aumentare lo spessore del rotore, infatti abbiamo che in questo modo si aumentano la massa ma il fattore K si regola di conseguenza e nonabbiamo perdite di banda.

Nella scorsa classe abbiamo calcolato la sensitività sotto l'ipotesi di small displacement ( $xg \ll 1$ ), cerchiamo di capire che errore stiamo commettendo

Two are the sources of nonlinearity in the axel response:

- the nonlinear response of differential PPs;
- nonlinear effects from electrostatic forces.

We consider only the first one, assuming a device which is quite safe from pull-in instabilities (low  $k_{elec}$ ).



le consideriamo molto minori rispetto alla prima non linearità

Come calcoliamo l'errore?

Possiamo scrivere l'errore percentuale come:

$$\frac{\text{errore reale}}{\Delta C_{FSR}} = \frac{2C_0 \frac{x}{g} \left[ \frac{1}{1 - (\frac{x}{g})^2} \right] - \frac{2C_0 \frac{x}{g}}{1 - (\frac{x}{g})^2}}{.100}$$

← valore linearizzato

← Normezzato sulla variazione della capacità di Full-range scale

(è la massima capacità da abbiamo per la massima accelerazione che vogliamo misurare con l'accelerometro)  
[la max accelerazione corrisponde al massimo displacement abbia posso scrive  $\Delta C_{FSR}$  come:]

$$= \frac{2C_0 \frac{x}{g} \left[ \frac{1}{1 - (\frac{x}{g})^2} \right] - \frac{2C_0 \frac{x}{g}}{1 - (\frac{x}{g})^2}}{2C_0 \frac{x_{max}}{g} \left[ \frac{1}{1 - (\frac{x_{max}}{g})^2} \right]} . 100$$

$$= \frac{x \left[ \frac{1}{1 - (\frac{x}{g})^2} \right] - x}{x_{max} \left[ \frac{1}{1 - (\frac{x_{max}}{g})^2} \right]} . 100$$

Come possiamo vedere dal grafico sopra l'errore più grande l'abbiamo per grandi dispiacement

Per cui possiamo scrivere l'errore massimo come

$$\epsilon_{\max\%} = \frac{x_{max} \left[ \frac{1}{1 - (\frac{x_{max}}{g})^2} \right] - x_{max}}{x_{max} \left[ \frac{1}{1 - (\frac{x_{max}}{g})^2} \right]} . 100 = 1 - \frac{1}{\frac{1}{1 - (\frac{x_{max}}{g})^2}} . 100 = \left( \frac{x_{max}}{g} \right)^2 . 100$$

Capiamo che i trade-off nel design degli acceleratori sono:

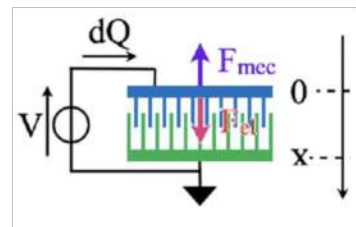
- Pull-in effects
- Non Linearietà

Per risolvere questi problemi di non linearità posso usare un accelerometro con "dita intrecciate"?

Se calcoliamo la differenza di capacità sulla distanza otteriamo che

$$\frac{dC}{dx} = \frac{2\epsilon_0 h N}{g}$$

che è lineare e non dipende dal displace ment  $x$

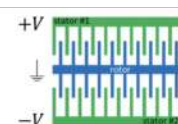


Sappiamo poi che la forza elettostatica è calcolabile come

$$F_{elec} = \frac{V^2}{2} \frac{dC}{dx} = \frac{V^2 \epsilon_0 h N}{g} \quad \text{che è sempre indipendente da } x$$

Quindi se usiamo una configurazione differenziale di questo tipo la struttura è polarizzata i 2 statori a tensio nali uguali ma di segno opposto, allora ottieniamo che le 2 forze elettostatiche sono uguali e opposte

So, in a differential configuration, the force is null even in presence of displacements!



$$|F_{elec,1}| = |F_{elec,2}| = \frac{V^2 \epsilon_0 h N}{g}$$

$$m\ddot{x} + b\dot{x} + kx = ma_{ext} = F_{ext} + \cancel{F_{elec}}$$

Tuttavia questa configurazione è poco usata.

Possiamo calcolare la sensitività senza fare approssimazioni considerando i soli 3 contributi

Quick steps for the sensitivity calculation:

- evaluate the displacement per unit acceleration
- evaluate the single-ended capacitance variation per unit displacement
- evaluate the output voltage per unit differential capacitance variation

$$\frac{\Delta V_{out}}{a_{ext}} = 2 \frac{dV}{dC} \frac{dC}{dx} \frac{dx}{da}$$

$$\frac{\Delta V_{out}}{a_{ext}} = 2 \frac{V_{DD}}{C_f} \frac{C_0}{x_0} \frac{1}{\omega^2} \quad (\text{linear with NO approximations!})$$



$$\frac{dC}{dx} = \frac{2\epsilon_0 h N}{g}$$

$$= \frac{2\epsilon_0 h N \cdot x_0}{g \cdot x_0} = C_0$$

Vantaggi e svantaggi di questa configurazione

#### Advantages:

- the electrostatic force is not a function of the displacement. There is thus no electro-static stiffness. In turn, there is no electro-static softening. No risk of pull-in exists.
- ideally, there is no nonlinearity in the capacitive readout. No trade-off exists between sensitivity and full-scale.

#### Drawbacks:

$$x_0 >> (x_{max} + g)$$

- for the same resonance, gap, and voltage, the number of fingers that one can fit in a given area does not allow to reach the same  $dC/dx$  as for PP devices. About a factor 5-10, as a rule of thumb, due to:
  - $x_0 \gg g$  (to avoid fringe effects)
  - for the same available area,  $C_{0,CF} < C_{0,PP}$

## Banda dell'accelerometro e regione di funzionamento

Quale è la risposta dell'accelerometro per frequenze che si avvicinano a quella di risonanza?

Sappiamo che in base al quality factor esistono diverse forme della FDT. In genere noi vogliamo che l'accelerometro lavori nella parte piano, perciò noi faccio un design del sistema per far sì che anche alla massima accelerazione / frequenza noi stiamo in quel punto.

ATTENZIONE! Quando noi cambiamo la frequenza di risonanza del sistema non cambiamo solo la locazione dei poli ma anche il guadagno in catena. 46,37

The Fourier domain transfer function modulus can be indeed written as below, by combining the formulas of previous classes:

$$|T_{VA}(j\omega)| = \frac{|X(j\omega)|}{|F_{ext}(j\omega)|} \frac{|V(j\omega)|}{|A(j\omega)|} |F_{ext}(j\omega)| = m \frac{2 V_{DD} C_0}{C_f g} \frac{1/m}{\sqrt{(\omega_0^2 - \omega^2)^2 + \left(\frac{\omega\omega_0}{Q}\right)^2}} = \frac{2 V_{DD} C_0}{C_f g} \frac{1}{\sqrt{(\omega_0^2 - \omega^2)^2 + \left(\frac{\omega\omega_0}{Q}\right)^2}}$$

a basse frequenze ( $\omega < \omega_0$ ) allora torniamo alla formula standard

## Altro parametro importante è il quality factor

Dato che la Q non ha effetto sul gain in DC non ha troppo senso abbassare troppo il Q perché questo mi sposta i poli e mi abbassa la banda

Quindi il Q deve essere  $\geq 0,5$ , ma da vedere prendiamo?

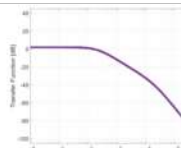
Se prendiamo Q molto alto e l'accelerometro è soggetto a shock istantanei allora l'accelerometro comincerà a sbattercione oscillando in ampiezza come un esponentiale con costante di tempo  $\tau = \frac{Q}{\pi f_0}$  (Q più grande allora mi serve + tempo per stabilizzarsi)

noi vogliamo  $\tau$  basso perché c'è solo un rumore.

Perciò apparentemente il Q ottimo è 0,5.

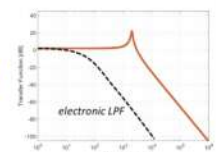
For  $Q \leq 0.5$ :

- just take the -3dB bandwidth value (first pole)  
→  $Q = 0.5$  seems the best choice to maximize the bandwidth, all other things being equal...



For  $Q \geq 0.5$ :

- take the minimum between the -3dB bandwidth and one over  $2\pi$  the ringdown time,  $\frac{1}{2\pi\tau} = \frac{f_0}{2Q} \rightarrow Q = 0.5$  is the best choice to maximize the bandwidth, all other things being equal... (or use electronic LPF!)



## Thermo-mechanical noise in MEMS

**FLUCTUATION FORCE**: come abbiamo detto prima abbiamo un'oscillazione decrescente che in oscillazione decrescente significa perdere energia. Possiamo vedere la perdita d'energia come una perdita di temperatura.

Nel package avremo delle particelle di gas che si muovono e questo fa sì che la massa termica, vediamo questo tremore come rumore

Per studiare la power spectral density consideriamo l'equazione molla-massa considerando solo la fluctuation force

Scriviamo la solita eq massa smorzatrice in Laplace

$$mX'' + bX' + KX = F_n(s)$$

$$\text{so che } SX = \tau \text{ (velocità)}$$

$$mVs + bV + \frac{KV}{s} = F_n(s)$$

$$V(s) \left( ms + b + \frac{K}{s} \right) = F_n(s) \rightarrow$$

$$\frac{V(s)}{F_n(s)} = \frac{1}{ms + b + K/s}$$

Possiamo ora in Fourier ( $s = j\omega$ )

$$\frac{V}{F_n}(j\omega) = \frac{1}{mj\omega + b + \frac{K}{j\omega}} = \frac{1}{b + j(m\omega - \frac{K}{\omega})}$$

ricaviamo la power spectral density

$$S_{Fn} = \left| \frac{V}{F_n}(j\omega) \right|^2 \cdot S_{Fn}$$

Perciò

$$S_{vn} = \frac{1}{b^2 + (m\omega - \frac{K}{\omega})^2} \quad S_{fn} = \frac{1}{b^2} \frac{1}{1 + (\frac{m\omega}{b} - \frac{K}{\omega b})^2} S_{fn}$$

Sappiamo che  $\omega_0 = \sqrt{\frac{K}{m}}$  e che  $Q = \frac{\omega_0 m}{b} = \frac{K}{\omega_0 b}$  ← (controllare)

Allora:

$$\begin{aligned} S_{vn} &= \frac{1}{b^2} \frac{1}{1 + \left(\frac{m\omega\omega_0}{b\omega_0} - \frac{K\omega_0}{\omega_0 b}\right)^2} S_{fn} \\ &= \frac{1}{b^2} \frac{1}{1 + \left(\frac{\omega}{\omega_0} Q - \frac{\omega_0}{\omega} Q\right)^2} S_{fn} \end{aligned}$$

La velocità media al quadrato sarà

$$\bar{v}^2 = \int_0^\infty S_{vn} d\omega = \frac{1}{2\pi} \int_0^\infty S_{vn} d\omega = \frac{1}{2\pi} \int_0^\infty \frac{1}{b^2} \frac{1}{1 + Q^2 \left(\frac{\omega}{\omega_0} - \frac{\omega_0}{\omega}\right)^2} S_{fn}(\omega) d\omega$$

Lo supposemo indipendente da  $\omega$  (rumore bianco)

Moltiplichiamo e dividiamo per  $\omega_0$

$$= \frac{S_{fn} \omega_0}{2\pi b^2} \int_0^\infty \frac{1}{1 + Q^2 \left(\frac{\omega}{\omega_0} - \frac{\omega_0}{\omega}\right)^2} \frac{d\omega}{\omega_0}$$

Ora ci dobbiamo fidare della matematica che ci dice che l'integrale risulta:

$$\begin{aligned} \bar{v}^2 &= \frac{\omega_0 \cdot S_{fn}}{2\pi b^2} \cdot \frac{1}{Q} \cdot \frac{\pi}{2} = \frac{\omega_0 S_{fn}}{4 b^2 Q} & \text{seppiamo che } b = \frac{\omega_0 \cdot m}{Q} \\ &= \frac{S_{fn}}{4 b m} \end{aligned}$$

Possiamo poi scrivere l'energia cinetica come

$$\frac{1}{2} m \bar{v}^2 = \frac{1}{2} m \frac{S_{fn}}{4 b m} = \underbrace{\frac{1}{2} K_b T}_{\text{costante di boltzmann}} \underbrace{\text{energia termica}}$$

Perciò possiamo scrivere che

$$S_{fn} = 4 b K_b T$$

← Vale per qualsiasi sistema molla smorzatore

Noise equivalent acceleration density

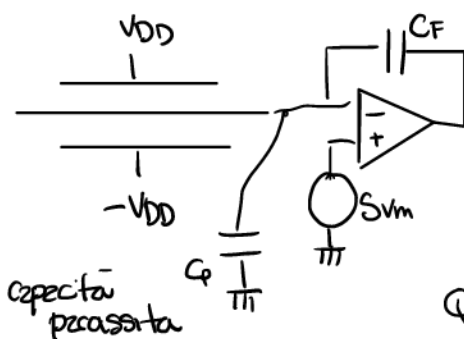
$$S_{an} = \frac{S_{fn}}{m^2}$$

La Noise Equivalent Acceleration Density considerando solo i contributi crestando  $e^-$  quindi

$$NEAD = \sqrt{S_{An}} = \sqrt{\frac{4k_b T b}{m^2}} = \sqrt{\frac{4k_b T \omega_0}{mQ}} \left[ \frac{m/s^2}{\text{Hz}} \right] \text{ per } \frac{g}{\text{Hz}} \text{ dividere per } 9.8$$

Notiamo che per  $Q$  piccoli abbiamo più rumore (trade off rispetto al  $Q$  di 0.5 del circuito prima)

C'è anche il rumore dell'elettronica però. Bisogna considerarlo.



abbiamo detto che la capacità parassita non ha effetti ma farene no sul rumore.

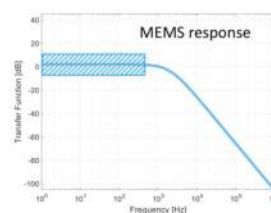
$$S_{vn,out} = S_{vn} \left( 1 + \frac{Z_F}{Z_{in}} \right)^2 = S_{vn} \left( 1 + \frac{C_P}{C_F} \right)^2$$

Quindi  $C_P$  ha un impatto sul rumore.

Se il rumore dell'elettronica è dominante posso calare il  $Q$  fino a 0.5, al contrario se il rumore termomeccanico è dominante abbasso aumentare  $Q$ , in questo caso abbasso usare un filtro elettronico per "eliminare" la risonanza, dunque la banda sarà limitata da questo filtro elettronico

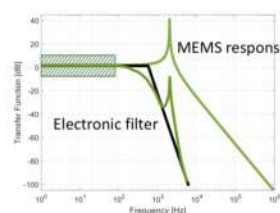
**Optimization of the bandwidth**  
requires ideally a  $Q$  in the order of 0.5 (in between overdamped and underdamped conditions).

This should be effectively pursued, as far as the **electronic noise still dominates**. Having a relatively high damping (low  $Q$ ) does not represent an issue in this case.



- **Noise optimization** requires high  $Q$ .

- This should be pursued as far as device noise dominates. This typically occurs for **high-performance applications**, where power dissipation is raised and electronic noise is low.
- Electronic low-pass filtering is required to filter long ring-downs.



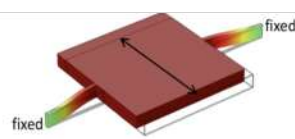
Lezione 5

22/09/2021

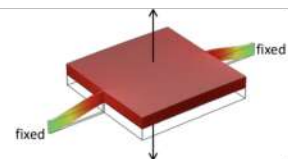
## Elastic stiffness

La stiffness  $K$  è uno dei parametri fondamentali dei MEMS.  
Tipi di molle che possono avere in un device

Springs for in-plane (IP) translational motion

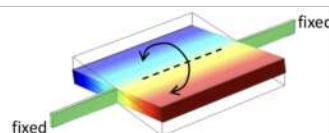


Springs for out-of-plane (OOP) translational motion



Sono le 2 più usate

Springs for out-of-plane (OOP) torsional (rotational) motion



Abbiamo visto che la stessa struttura può avere più modi di muoversi quindi ci possono essere diverse frequenze di risonanza. (abbiamo fatto in modo che le altre modalità di movimento che a quella voluta non disturbino)

Possiamo vedere la molla come una semplice trave dove non gestiscono solo le misure di lunghezza e larghezza dato che l'altezza è data dallo standard. Un lato della trave è attaccato al substrato (fixed end) l'altro è libero di muoversi.

### Young's Modulus E

Definisce l'elasticità di un materiale (cioè quanto è possibile pregare un materiale senza avere deformazioni permanenti).

E' definito come rapporto tra lo stress o appunto in modo ortogonale ad un materiale e il reversibile strain ε (deformazione relativa)

$$E = \frac{\sigma}{\epsilon}$$

$$\sigma = \frac{F}{A}$$

$$\epsilon = \frac{x - \text{distanza di lunghezza}}{L}$$

Potremo calcolare la stiffness di questa trave quando una forza agisce sull'asse della trave

$$K = \frac{F}{x} = E \cdot \frac{A}{L} = E \frac{w h}{L}$$



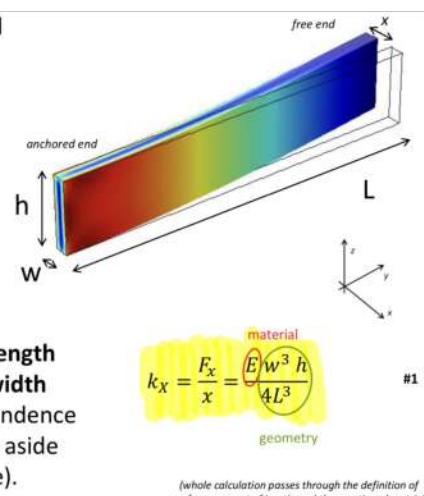
Cose diventeranno molto più complesse quando la forza non segue l'asse della trave. Definiamo una matrice con tutti i valori di K per ogni verso di forza.

Noi non ricordiamo la matrice ma prendiamo solo i valori di K che ci servono

### Free end beam.

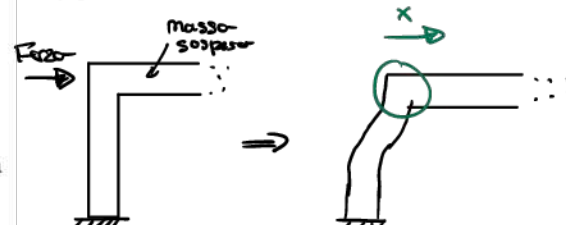
This configuration is named in-plane clamped beam, and analyzes a beam clamped at one end only to the substrate, with the second end free to move in any directions.

As one intuitively can expect, the stiffness decreases with the beam length and increases with beam width and height. The exact dependence is described by the formula aside (in red in the previous table).



Cioè una trave fissa su un lato e libera di muoversi dell'altro. La forza avrà direzione x

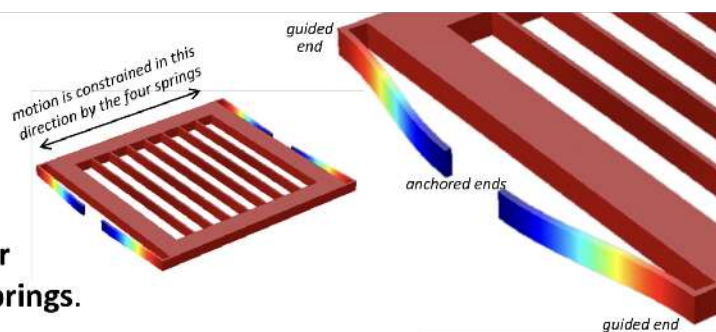
La formula di  $K_x$  risulta qua sotto non è abbastanza. Infatti nei nostri casi abbiamo che



Notiamo che abbiamo zero in dispermet solo nella direzione x e non solo nella y come saremo sotto nel caso libero

Nella realtà noi abbiamo una "trave guidata". Come facciamo adesso a calcolare K di questa struttura?

It is e.g. the case of any device suspended by an even number of symmetric springs.



Per fare i conti dobbiamo definire il concetto di molla in serie  
Come calcoliamo la stiffness equivalente di 2 molle messe in serie?

Let us assume two springs

with arbitrary stiffness

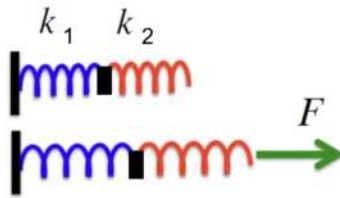
$k_1$  and  $k_2$ . The springs are connected in series and subject to a force  $F$ .

$$x_1 = \frac{F}{k_1}$$

$$x = x_1 + x_2 = \frac{F}{k_1} + \frac{F}{k_2} = F \left( \frac{1}{k_1} + \frac{1}{k_2} \right) = \frac{F}{k_x} \rightarrow \frac{1}{k_x} = \frac{1}{k_1} + \frac{1}{k_2}$$

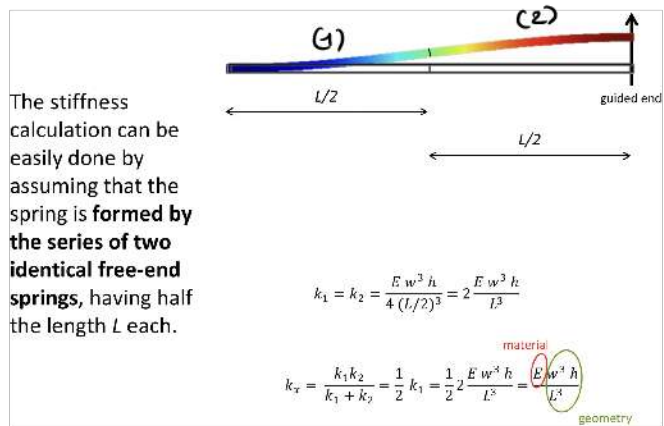
(springs behave like "capacitors")

$$k_x = \frac{k_1 k_2}{k_1 + k_2}$$



La stiffness si comporta come  
condensatori messi in serie

Abbiamo introdotto questa serie perché nel nostro caso reale la trave guidata può essere vista come la serie di 2 free end beams.



dunque perciò la trave reale ha 2 sottocomponenti.

Possiamo poi calcolare il  $K$  come fatto precedentemente.

Visto che poiabbiamo la molla in parallelo dobbiamo anche introdurre il concetto di molla in parallelo da cui il doppio di quello visto sopra

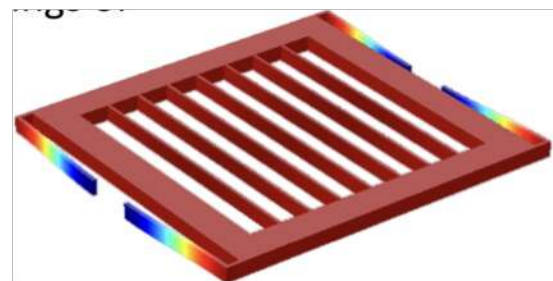
Stress parallelo:

$$K_x = K_1 + K_2$$

Perciò la stiffness totale di un accelerometro è

$$K_x = 4 \cdot \frac{E w^3 h}{L^3}$$

Ricordiamo che si può gestire solo  $w$  e  $L$  e non  $h$ , mentre tutto il resto dei parametri sono fissi.



Supponiamo ora di avere la stessa configurazione ma di volere il displacement verticale

Identical considerations hold for the calculation of the stiffness for a force acting along the vertical direction, (in practice, you should exchange  $w$  and  $h$ ).

$$k_z = \frac{F_z}{z} = \frac{E h^3 w}{4 L^3} \quad k_z = \frac{E h^3 w}{L^3}$$

Note the **cubic dependence on  $h$** , a parameter you cannot

act on by design. This makes it difficult to obtain low stiffness values for z-axis devices based on this kind of spring (vertical translation).

Using the same parameters as for the x-axis device we get a stiffness more than 100 times larger:

$$k_z = 4 \frac{E h^3 w}{L^3}$$

Z-axis motion (PP readout are positioned beneath the device using the interconnections layer)

- $L = 200 \mu\text{m}$ ,  $w = 1.5 \mu\text{m}$ ,  $h = 20 \mu\text{m}$ ,  $E = 150 \text{ GPa} \rightarrow k_{tot} = 900 \text{ N/m}$
- the resonance frequency grows and the sensitivity decreases...

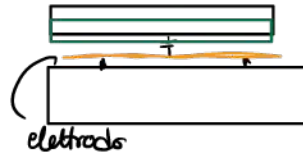
L'altezza è fissata dal processo e quiabbiamo una dipendenza cubica da gestire.

Quindiabbiamo che  $K_z$  è molto grande e quindi la sensibilità è decisamente molto piccola.

Cepiamo quindi perché questa topologia è scarsamente utilizzata

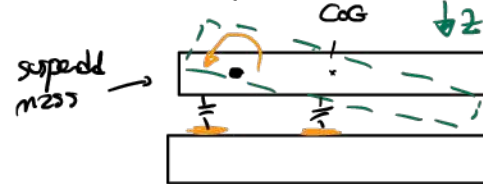
## Torsional springs.

$\downarrow z$



- Come abbiamo detto abbiamo valori di  $k_\theta$  troppo grandi
- come è notabile abbiamo soltanto una misura di capacità, non posso farla differenziare

Un modo per misurare le variazioni di  $k_\theta$  è cambiare topologia (la sospensione messa ruota)



Usiamo 2 elettrodi così possiamo anche qui usare capacitive sensing differenziale, infatti un C va diminuendo mentre ruota su una

## Dobbiamo considerare la torsional motor equation

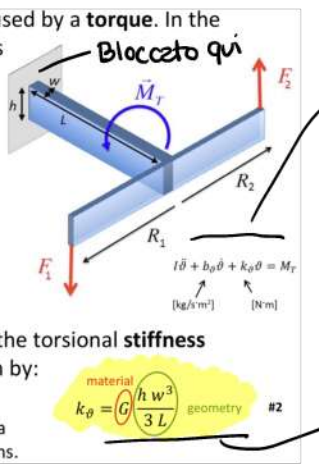
In general, an OOP rotation will be caused by a torque. In the course, we analyze only configurations similar to the one aside.

The torque  $M_T$  will be the sum of the two individual torques, each defined as the product of the distance from the rotation center and the applied force (so, in [N·m]).

$$M_T = R_1 F_1 + R_2 F_2$$

For the considered bar configuration, the torsional stiffness (in light blue in the main table) is given by:

- note the unit of torsional stiffness: [N·m];
- note the use of  $G$  (shear modulus, ~65 GPa in polySi), the «equivalent» of  $E$  for torsions.



Come abbiamo fatto con l'equazione del peso noi consideriamo i primi 2 termini

la torque massima è  $F_1 R_1 + F_2 R_2$

$G$ : è un parametro del materiale e tipo l'opposto dell'Young's modulus

Questa formula importante deriva dalla matrice

Tipicamente abbiamo 2 travi che sostengono la massa sospesa, quindi queste 2 siamo in parallelo e usiamo la formula per i così in parallelo.

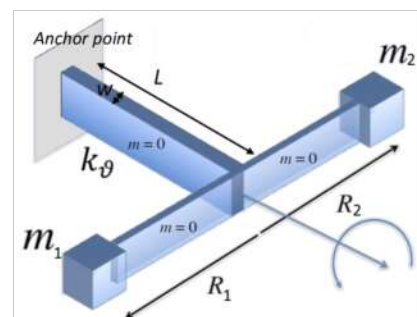
Noi seppiamo di possiamo scrivere la frequenza di risonanza come  $\omega_0 = \sqrt{\frac{I}{K_\theta}}$  dove  $I$  è il momento d'inerzia. Però dobbiamo sapere come calcolare il momento d'inerzia.

Usiamo un caso semplificato.

il momento d'inerzia ci dice la capacità di un corpo di mantenere il suo stato di rotazione e distanti sono le masse del centro maggiore è il monto d'inerzia

$$I_1 = \int_{m_1} r_1^2 dm_1 = \int_0^{R_1} r_1^2 s(r_1) h \rho dr_1 = \frac{R_1^3 s \rho h}{3} = \frac{R_1^2 m_1}{3}$$

the integral "weighs" the infinitesimal mass contributions accounting for their distance from the rotation center (higher rotational inertia = more mass far from the rotation axis)



$$I_2 = \frac{R_2^2 m_2}{3} \quad I_{tot} = I_1 + I_2$$

Questa formula vale solo per la massa  $m_1$  e poi bisogna farlo anche per  $m_2$

## Effetti di processi di produzione non uniformi sulle molle.

Se andiamo verso il limite inferiore delle dimensioni generati con la nostra tecnologia (es 1,5um) potremo avere delle nonuniformità di processo ( $\pm 0,15\mu m$ )

Abbiamo che un -10% della variazione nella larghezza  $w$  va a prefissarsi come un  $\pm 30\%$  di incertezza della stiffness. (e anche un  $\pm 15\%$  della banda)

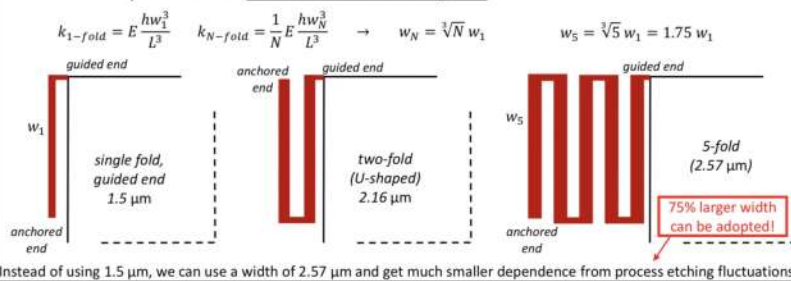
Per risolvere questo problema di processi di produzione potremo fare  $w$  più grande (tipo il doppio) ma non è una grande idea dato che se non allunghiamo il design

otteniamo che il fattore K ammonta a 8 (il doppio di w)

Il modo reale di risolvere questo problema è sfruttare la serie di molle, infatti ci ricordiamo che la serie di 2 molle da come risultato un K minore

- It is the concept of **spring folding**:

- instead of a single-fold, narrow spring...
- ... we put in series more folds with a larger w.

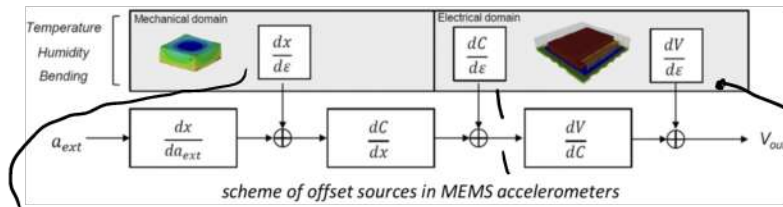


Facciamo la molla come piegamento di diversi elementi. Grazie all'effetto della serie possiamo aumentare le dimensioni di w.

24/09/2021

## Accelerometro parte 1

Ci possono essere degli offset nel MEMS (DC output non voluto)



Graphico che ci rappresenta i diversi tipi di offset

errori di tensione (i soli)

Dai errori di deformazione misurando delle differenze da umidità temperatura

Potremo avere  
un gap tra i 2 elettrod.  
un po' più piccolo dell'altro

### Offset meccanici

Nei data sheet vengono chiamati come zero-g offset.

Le maggiori cause di offset sono dovute al fatto che, o il gap tra i 2 patti parziali non è uniforme (non uniformità tra rotore e statore) oppure da stress meccanici residui, cioè forze interne alla struttura dovute al processo di fabbricazione ed alla temperatura che possono portare a deformazioni meccaniche.

In realtà il fatto di avere un offset non è un enorme problema, potrei fare delle calibrazioni se l'offset è costante. Il problema però è che l'accelerometro lavora a diverse temperature quindi l'offset comunque un po' varierà.

Il tipico zero-g offset è  $1 \text{mg}/\text{K}$  (se prendiamo l'intero range di temperatura di funzionamento  $-40, +85^\circ\text{C}$  allora ho  $125 \text{mg}$  su tutto il range di temperatura)

Questo non è bene, infatti se riprendiamo i valori tipici di un accelerometro, ottieniamo che:

Let us recall the **typical numbers** used in the past class:

- assume  $C_0 = 200 \text{ fF}$ ;
- assume  $g = 2 \mu\text{m}$ ;
- assume  $m = 5 \text{ nkg}$ ,  $k = 3 \text{ N/m}$ ;
- calculate  $f_0 = 3.8 \text{ kHz}$ ;
- → we derived a maximum linear FSR (0.5% error) in these conditions which was of about  $8\hat{g}$  (140 nm), with typical rms noise in the order of  $1 \text{ mg}$ .

Ricordiamo poi che

$$\frac{x}{a} = \frac{1}{\omega_0^2}$$

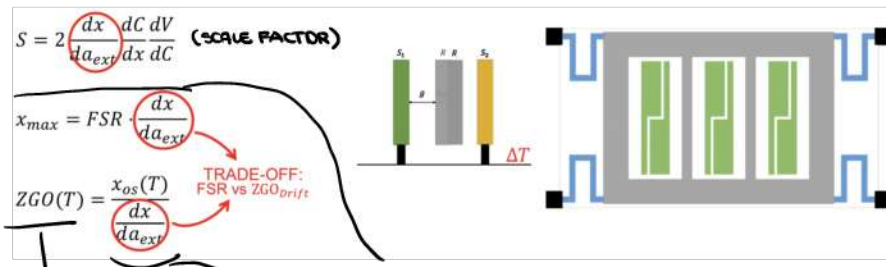
Allora se noi consideriamo un offset  $x_{os}$ , allora posso ricavare una relativa  $a_{os}$ , infatti entrambe si legano alla frequenza di risonanza.

Se quindi suppongo un offset meccanico di 10nm ottengo una variazione di

$$\Delta C = X_{os} \omega_0^2 = 582 \text{ mV}$$

Che è tantissimo rispetto il minimo segnale da potremmo misurare (1g). Inoltre questo offset da ebbiamo sempre è comunque una buona parte del full scale range, quindi abbiamo problemi anche lì.

Ci sono modi per ridurre questo offset? Sì, vediamo:

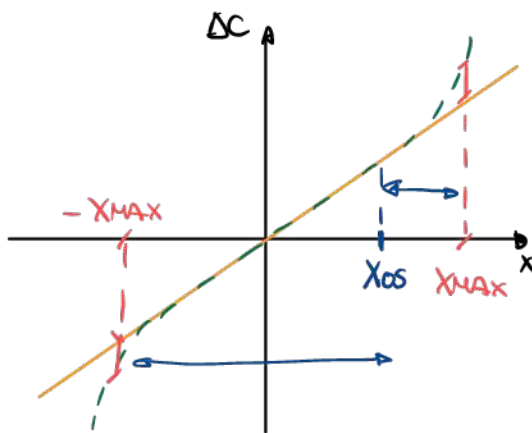


Zero g offset  
è il caso fatto prima

Quando abbiamo fissato la linearietà e il full scale range possiamo calcolare il massimo displaceent.

Per ridurre il ZGO dovranno aumentare il transduction factor ma questo va in trade off con il full scale range!

Gli offset meccanici inducono anche una non linearità in uscita.



Ricordiamo che avevamo definito il full-scale range come la variazione di  $x$  per avere massima variazione di  $C$  rispetto alla retta di un valore fisso (es 5%)

Se abbiamo un offset meccanico molto grande succede che ho da  $X_{os}$  non si trova al centro della curva perciò  $X_{os}$  si trova più vicino a  $X_{MAX}$  che  $-X_{MAX}$  e visto che siamo obbligati ad avere linearietà tra accelerazioni positive e negative allora sono obbligati a ridurre il full scale range.

- the capacitance variation with no mechanical offset:

$$\Delta C_{diff} = 2C_0 \frac{x}{g} \left[ \frac{1}{1 - \left( \frac{x}{g} \right)^2} \right]$$

- the capacitance variation in presence of a mechanical offset  $X_{os}$ :

$$\Delta C_{diff} = C_0 \left( \frac{-1}{1 + x/(g - X_{os})} + \frac{1}{1 - x/(g + X_{os})} \right) \approx 2C_0 \frac{x}{g} \left[ \frac{1}{1 - \left( \frac{x - X_{os}}{g} \right)^2} \right]$$

NOTE:  $X_{os}$  is a constant here, and can be positive or negative

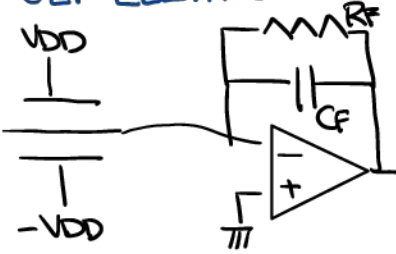
## Calibrazione

Misuriamo gli offset e sempre con gli stessi elettrodi: applichiamo una forza elettostatica e ricaviamo la sensibilità.

Tutte queste informazioni le salviamo in un registro digitale e poi in funzionamento sottraiamo questi valori.

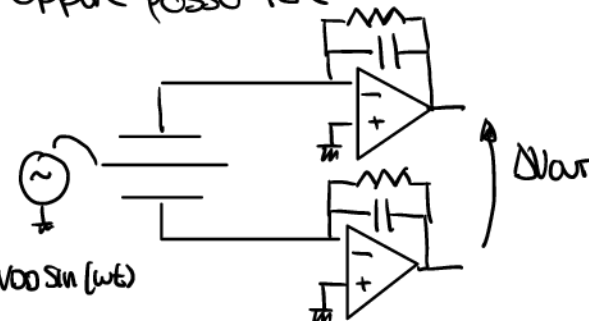
Possiamo anche fare queste misurazioni a diverse temperature e a diverse pressioni d'offset a diverse temperature.

## OFFSET ELETTRONICO



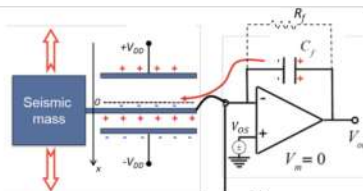
$$\frac{\Delta V_{out}}{a} = 2 \frac{C_0}{g} \frac{V_{DD}}{C_F} \cdot \frac{1}{\omega_0^2}$$

Oppure posso fare



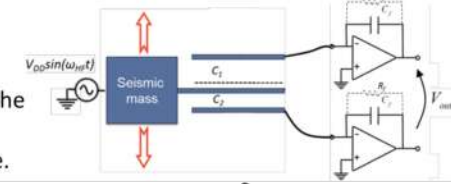
$$\frac{\Delta V_{out}}{a} = 2 \frac{C_0}{g} \frac{V_{DD}}{C_F} \cdot \frac{1}{\omega_0^2} \sin(\omega_{HF} \cdot t)$$

You have seen in the exercise that the studied topology is **not the best choice to sense DC accelerations** (at low frequency the feedback is dominated by  $R_f$ ).



An additional issue of the discussed topology is that the **offset of the operational amplifier** will be seen at the **output**. Its drifts will therefore induce a net output offset drift that can be referred in terms of acceleration (same consideration holds for bias currents).

A solution to all these issues is to **use a modulated signal**, as in the circuit aside, which you have seen in the exercise.

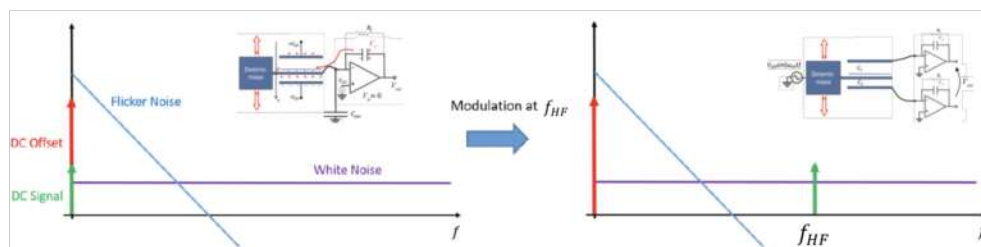


modifichiamo il segnale ad etto percorre  
filtriamo tutto quello che c'è a bassa frequenza  
compreso l'offset di tensione dell'opamp

Se considero le equazioni della topologia con l'offset d'ingresso di

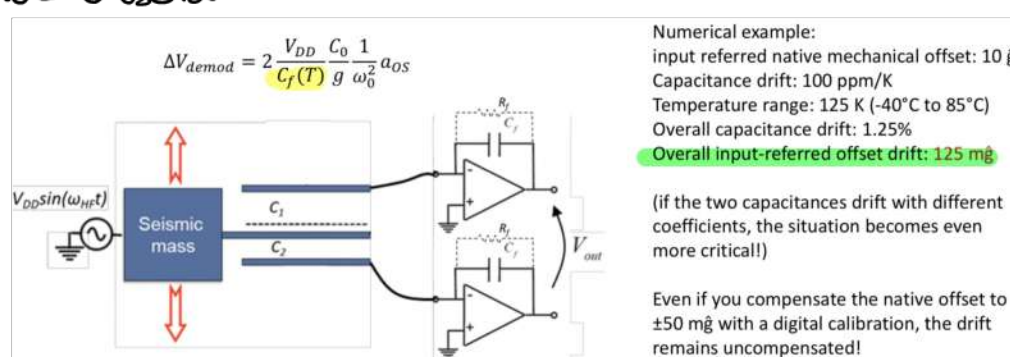
$$\Delta V_{out} = 2 \frac{V_{DD}}{C_F} \frac{C_0}{g} \frac{1}{\omega_0^2} \sin(\omega_{HF} t) a_{ext} + V_{os}(T)$$

Perciò la differenza tra caso in configurazione in DC e in RF è che:



(tipicamente poi abbiamo anche il rumore V\_F)

Per demodulare facciamo una demodulazione coerente (in pratica un lock-in amplifier). Tuttavia anche con questa tecnica c'è qualcosa di potrebbe dare offset. Cosa succede infatti se le capacità di riferimento hanno uno shift in funzione della temperatura? Andò se le 2 capacità cambiano allo stesso modo in una variazione della tensione d'uscita.



Numerical example:  
input referred native mechanical offset: 10 g  
Capacitance drift: 100 ppm/K

Temperature range: 125 K (-40°C to 85°C)

Overall capacitance drift: 1.25%

Overall input-referred offset drift: 125 mg

(if the two capacitances drift with different coefficients, the situation becomes even more critical!)

Even if you compensate the native offset to ±50 mg with a digital calibration, the drift remains uncompensated!

# ALTERNATIVE READ OUT TOPOLOGIES.

## Force feedback

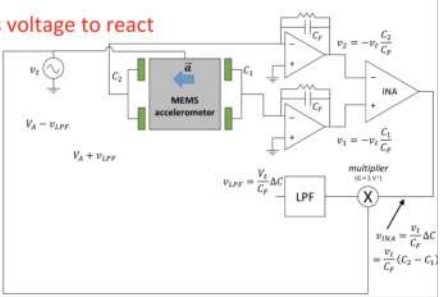
Let us follow the phase of the sinusoidal signals in the circuit below:

- assume a 0° reference phase for the sinusoidal signal  $v_t = V_t \sin(\omega_{HFT} t)$ ;
- assume that the inertial force pushes the mass leftwards;
- $C_2$  increases while  $C_1$  decreases, thus the INA output is in phase with respect to  $v_t$ ;
- the low-pass filter output after the demodulation is thus positive;
- thus far, this is our «standard» operation.

What if we exploit this voltage to react

on the mass motion  
and keep it in the  
central position?...

- the LPF output is duplicated with opposite sign and sent to the new electrodes;
- they apply a force that reacts on the motion induced by  $a_{ext}$ !



L'idea è di collocare il dispositivo che si sposta e nei leggono lo stesso punto prendendo un dispositivo che si può spostare ma ne fanno un feedback che cerca di tenerlo fisso nello stesso posto.

La forza (quindi tensione) per fare il dispositivo fermo sarà la nostra uscita.

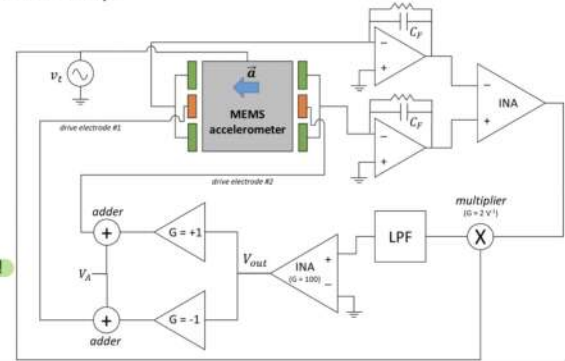
The electrostatic force applied by the right electrode is larger than the one applied by the left electrode.

The **loop gain is thus negative, as it reacts to the mass motion and tends to keep it in the central position**. If the loop gain is large enough, the electrostatic force will balance the inertial action. In this way we find the sensitivity:

$$F_{elec} = \left[ \frac{(V_A + V_{out})^2}{2} - \frac{(V_A - V_{out})^2}{2} \right] \frac{C_{bd}}{g} = \\ = \frac{2V_A V_{out} C_{bd}}{x_0} = m a_{ext}$$

$$\frac{V_{out}}{a_{ext}} = \frac{m g}{2V_A C_{bd}} = \frac{k g}{\omega_0^2 2V_A C_{bd}}$$

- advantage:** as the MEMS is always close to the central position, linearity and thus FSR are extended!
- drawback:** additional circuit blocks mean larger consumption!



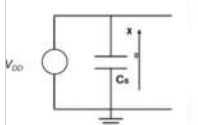
## CHARGE CONTROLLED READOUT

No seppiamo di

$$\Delta Q = \Delta C \cdot V_{DD}$$

Allora la teoria è di non mettere il rotore a massa virtuale ma mettere solo due tensioni di bias e regoliamo la corrente che infondono nel sistema. La tensione che abbiamo sul rotore è in funzione della corrente che abbiamo infuso. Per infondere corrente intendiamo mandare impulsi di corrente (integriamo la corrente nel tempo dell'impulso e abbiamo la corrente).

Let us start, for the sake of simplicity, from a single-ended MEMS capacitor. Let us see the difference between voltage control and charge control ( $C_s$  is a generic MEMS sense capacitance).

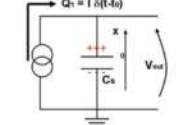


Voltage is the controlled quantity  
Charge is the derived quantity

$$Q_1 = V_{DD} C_s$$

$$F_{elec} = \frac{V_{DD}^2}{2} \frac{\epsilon_0 A}{(g - x)^2}$$

position dependent



Charge is the controlled quantity  
Voltage is the derived quantity

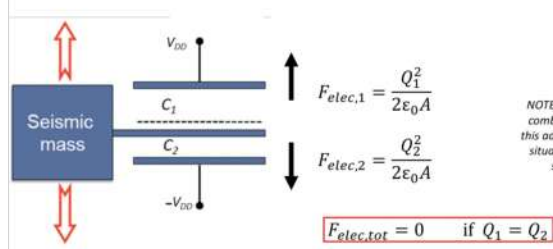
$$V_{out} = \frac{Q_1}{C_s}$$

$$F_{elec} = \frac{V_{out}^2}{2} \frac{\epsilon_0 A}{(g - x)^2} = \frac{Q_1^2}{2 C_s^2} \frac{\epsilon_0 A}{(g - x)^2} = \frac{Q_1^2}{2 \epsilon_0 A} 1$$

position independent

The electrostatic force generated by a given charge quantity is independent of the position.

If we use a differential charge-controlled system, as below, due to charge neutrality on the mass, we always have  $Q_1 = Q_2$ : so we can ideally obtain a null electrostatic force on the suspended mass! No pull-in phenomena will thus occur in this situation!



$$F_{elec,tot} = 0 \quad \text{if } Q_1 = Q_2$$

Possiamo eliminare i problemi legati alla pulling instability.

Per leggere la tensione sul rotore possiamo fare:



$$Q_1 + Q_2 = \emptyset$$

$$-C_1(V_{DD} - V_m) + C_2(V_{DD} + V_m) = \emptyset$$

$$-\frac{C_1}{g+x}(V_{DD} - V_m) + \frac{C_2}{g-x}(V_{DD} + V_m) = \emptyset$$

quindi

$$\frac{V_m}{g+x} + \frac{V_m}{g-x} - \frac{V_{DD}}{g+x} + \frac{V_{DD}}{g-x} = \emptyset$$

$$V_m \left( \frac{1}{g+x} + \frac{1}{g-x} \right) - V_{DD} \left( \frac{1}{g+x} - \frac{1}{g-x} \right) = \emptyset$$

$$V_m \left( \frac{g-x+g+x}{g^2-x^2} \right) - V_{DD} \left( \frac{g-x-g+x}{g^2-x^2} \right) = 0$$

e finalmente

$$V_m \cdot 2g + V_{DD} 2x = \emptyset \rightarrow V_m = -V_{DD} \frac{x}{g}$$

è un metodo molto bello e semplice. Ma ce' un grande voto negativo !!  
Quello delle capacità parasite.

## Esercizio

### PROBLEM DESCRIPTION AND QUESTIONS

You are a young MEMS designer and your supervisor asks you to redesign a consumer-grade accelerometer and to give some forecasts on the electro-mechanical performance of the sensor. The bounded geometrical parameters are reported in Table 1. Additionally, the accelerometer must ensure a full scale range  $FSR = \pm 16 \text{ g}$ , and the parallel plates can be polarized at  $V_{DD} = \pm 3 \text{ V}$ .

- Given that the maximum acceptable linearity error,  $\epsilon_{lin}$ , is equal to 1%, calculate the maximum capacitance variation.
- Calculate the mechanical sensitivity [ $\text{fF/g}$ ] and the resonance frequency during the operation of the accelerometer.
- Evaluate the contribution of the parallel plates in terms of electrostatic stiffness and choose the geometry of the springs.
- Calculate the needed quality factor,  $Q$ , to guarantee a NEAD =  $25 \frac{\mu\text{g}}{\sqrt{\text{Hz}}}$ .

	Symbol	Value
Young's modulus	$E$	150 GPa
process thickness	$h$	24 $\mu\text{m}$
seismic mass	$m$	4.5 nkg
maximum spring length	$l_{max}$	200 $\mu\text{m}$
minimum spring width	$w_{min}$	1.7 $\mu\text{m}$
# diff PP cells	$N_{PP}$	10
length of PP	$l_{PP}$	300 $\mu\text{m}$
gap of PP	$g_{PP}$	2 $\mu\text{m}$

Table 1: fixed parameters.

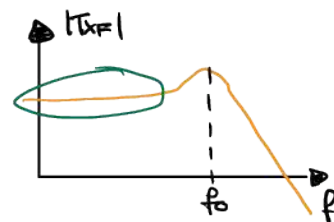
Tipicamente il full scale range è legato molto alla linearità del sistema.

- Punto 1) Dato il massimo errore di linearità ricevere la massima variazione di capacità.

Ricordiamo che

$$m\ddot{x} + b\dot{x} + kx = m\ddot{a} + F_{elec}$$

abbiamo la forza elettostatica perché abbiamo in lettura di capacità differenziale ( $K_{elec}$ )



useremo le folded springs per regolare il valore di  $k$

b, il valore di damping è fortemente legato al rumore termico.

Continuiamo ora con l'esercizio punto 1:

Abbiamo un circuito non lineare perché le variazioni di capacità non sono lineari relativamente al displaceoment. Tuttavia abbiamo visto che è linearizzabile con un errore percentuale, allora:

$$\begin{aligned}\Delta C_{\text{real}} &= \frac{C_0 A N}{g-x} - \frac{C_0 A N}{g+x} \\ &= \underbrace{\frac{C_0 A N}{g}}_{C_0} \left( \frac{1}{1-\frac{x}{g}} - \frac{1}{1+\frac{x}{g}} \right) \quad \text{Si vede che ora è lineare}\end{aligned}$$

vorremo approssimare

$$! = 2C_0 \frac{x}{g} \frac{1}{1 - \left(\frac{x}{g}\right)^2} \quad \begin{array}{l} \text{small displacement} \\ \text{approximation} \approx 0 \end{array} \rightarrow \Delta C_{\text{linear}} = 2C_0 \frac{x}{g}$$

Questa approssimazione sarà l'errore.

Possiamo calcolare l'errore

$$\epsilon \% = \left( \frac{x_{\text{max}}}{g} \right)^2 \cdot 100 \quad \rightarrow \quad x_{\text{max}} = g \cdot \sqrt{\frac{\epsilon \%}{100}} = 200 \text{ nm}$$

e' l'area (lunghezza parallela plate: stesso processo)

$$\begin{aligned}\Delta C_{\text{max}} &= \Delta C_{\text{real, max}} \approx \Delta C_{\text{lin, max}} = 2C_0 \cdot \frac{x_{\text{max}}}{g} = 2 \cdot \underbrace{\frac{C_0 R_i L_{PP} N}{g}}_{C_0} \cdot \frac{x_{\text{max}}}{g} \\ &= 64.4 \text{ pF}\end{aligned}$$

Punto 2, Calcolare la sensitività meccanica [ $\text{fF}/\text{g}$ ] e la frequenza di risonanza durante il funzionamento dell'accelerometro (questo perché dobbiamo considerare le forze elettostatiche dato che l'accelerometro è zocoso)

$$\text{ass. sensitivity: } S = 2 \cdot \frac{C_0}{g} \cdot \frac{V_{DD}}{C_F} \cdot \frac{1}{\omega_0^2} \quad [\text{V/m/s}^2]$$

La sensitività necessaria è

$$S_{\text{med}} = 2 \cdot \frac{C_0}{g} \cdot \frac{1}{\omega_0^2} \quad [\text{fF/m/s}^2]$$

Abbiamo tolto la componente relativa all'elettronica.

Abbiamo 2 incognite ( $S_{\text{med}}$  e  $\omega_0^2$ ), se avessimo dato  $K$  avremmo potuto calcolare entrambe

Abbiamo però i Full scale range acceleration e del punto di prima sappiamo i risultati del punto precedente.

La massima variazione di capacità deve risultare nella massima accelerazione

$$S_{\text{mech}} = \frac{\Delta C}{\Delta a} = \frac{\Delta C_{\text{MAX}}}{\Delta a_{\text{MAX}}} = \frac{64,6 \text{ fF}}{16 \hat{g}} = 4 \frac{\text{fF}}{\hat{g}} = 0,4 \frac{\text{fF}}{\text{m/s}^2}$$

visto che è solo sensitività meccanica lavoriamo con DC se massimo auto reverberi sensitivity avremo usato la delta di tensione.

Possiamo adesso calcolare  $\omega_0$

$$\begin{aligned}\omega_0 &= \sqrt{2 \frac{C_0}{g} \cdot \frac{1}{S_{\text{mech}}}} \\ &= \sqrt{2 \frac{\epsilon_0 A N}{g^2} \cdot \frac{1}{S_{\text{mech}}}} \\ &= \sqrt{2 \frac{\epsilon_0 A N}{g} \cdot \frac{1}{g} \cdot \frac{1}{S_{\text{mech}}}} = 4,5 \text{ KHz} \cdot 2\pi \\ &\quad 318 \text{ fF}\end{aligned}$$

In queste formule usare sempre i valori del sistema internazionale

$g$  è costante grav.,  $\hat{g}$  è accelerazione

### • Problema 3

Dobbiamo calcolare l'effetto delle forze elettrostatiche e la geometria delle molle.

$$f_0 = 4,5 \text{ KHz} \quad \omega_0 = 2\pi f_0 \quad \text{questi sono i valori in operazione}$$

Allora

$$\omega_0 = \sqrt{\frac{K_{\text{TOT}}}{m}} \quad K_{\text{TOT}} = \omega_0^2 \cdot m = 3,6 \text{ N/m}$$

So che ogni volta che applico una tensione al condensatore ho una forza

$$|F| = \frac{V_{DD}^2}{z} \cdot \underbrace{\frac{\partial C}{\partial x}}_{\frac{C_0}{g}} + \dots \rightarrow \text{small displacement} = 2 \frac{C_0}{g} V_{DD}^2 \cdot x$$

La forza è proporzionale al displaz., allora

$$2 \frac{C_0}{g} V_{DD}^2 \text{ ha la stessa forma dell'elastic stiffness}$$

Possiamo allora scrivere che

$$m\ddot{x} + b\dot{x} + (K - \underbrace{2 \frac{C_0}{g} V_{DD}^2}_{K_{\text{elec}}}) = m a_{\text{ext}}$$

Ci spieghiamo che  $K_{\text{TOT}}$  è minore rispetto al  $K$  iniziale

$$\text{Allora } K_{\text{elec}} = -2 \frac{C_0}{g} V_{DD}^2 = -1,43 \text{ N/m}$$

$$K = K_{\text{TOT}} - K_{\text{elec}} = 3,6 - (-1,43) \approx 5 \text{ N/m}$$

Uno dei dati in tabella è la maximum spring length (e anche una minima) la stiffness della molla si calcola così

$$K_{GE} = E \cdot h \left( \frac{W_{GE}}{L_{GE}} \right)^3 \cdot L = 5 \text{ N/m}$$

Perdono  
sono le molle  
in parallelo

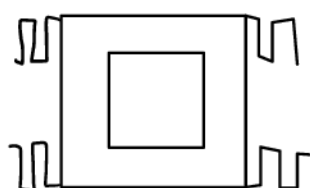
Allora

$$W_{GE} = L_{GE} \cdot \sqrt[3]{\frac{5 \text{ N/m}}{E \cdot h \cdot L}} = 200 \mu\text{m} \sqrt[3]{\frac{5 \text{ N/m}}{150 \text{ GPa} \cdot 24 \mu\text{m} \cdot L}} \approx 1,4 \mu\text{m}$$

che però è minore rispetto alla  $W_{MIN} = 1,6 \mu\text{m} < 1,7 \mu\text{m}$ .

Quindi non va bene.

Allora mettiamo più peggio per abbassare  $K$  e poi allargate per tenere allo stesso  $K$ .



3-folded spring

$$K_{FOLD} = E \cdot h \left( \frac{W_{FAD}}{L_{FAD}} \right)^3 \cdot \frac{L}{N_{FAD}} = 5 \text{ N/m}$$

poi imponiamo che  $W_{FAD} > 1,7 \mu\text{m}$

$$W_{FAD} = \sqrt[3]{\frac{5 \text{ N/m} \cdot N_{FAD}}{E \cdot h \cdot L}} \quad L_{FAD} > 1,7 \mu\text{m} \quad \text{l'unica incognita è } N_{FAD}$$

$N_{FAD} > 1,8$  (allora 2, dato che sono in numero intero).

29.09.2021

Esercitazione

In this class we will learn how to design the readout electronics for an accelerometer similar to the design of E01. We will analyze the charge amplifier topology, identifying all noise contributions and their relative weight in the noise budget of the system. Finally, we will study the drawbacks of a DC-voltage based stage and we will discuss an alternative readout.

#### PROBLEM DESCRIPTION AND QUESTIONS

You work in the R&D laboratory of a MEMS company, and you have to design an electronic board in order to test a new capacitive accelerometer. The sensor application is vibration monitoring on an electrical engine. Vibrations (which are AC accelerations) are expected in a specific frequency range, from 40 Hz to 400 Hz. The MEMS sensor has a mass of 8 nkg, a mechanical stiffness of 5 N/m and a quality factor  $Q = 2$ . The capacitive sensing is performed through 5 cells of differential parallel-plate capacitors, each one with 200  $\mu\text{m}$ -long stators. The gap between rotor and stators is 2.5  $\mu\text{m}$  and the process height is 15  $\mu\text{m}$ . The device readout is performed through a charge amplifier configuration, as represented in figure 1. The capacitance  $C_P = 10 \text{ pF}$  accounts for capacitive couplings between the rotor (including its pad and interconnections) and the grounded substrate. The bias voltage is  $V_{DD} = \pm 1.8 \text{ V}$ .

- Considering the softening given by parallel plates biased at  $V_{DD} = \pm 1.8 \text{ V}$ , calculate the value of the feedback capacitor  $C_F$  in order to obtain a sensitivity of 6 mV/g.

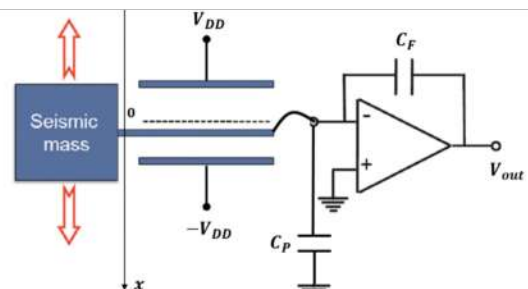
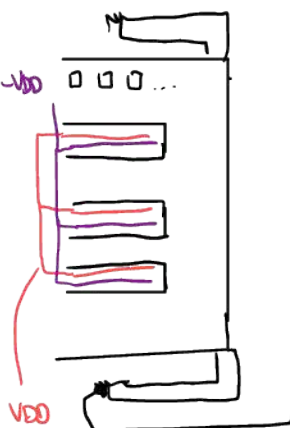


Figure 1: Schematic representation of the system.

- Consider now the bias currents of the operational amplifier ( $i_{bias} = 0.05 \text{ pA}$ ). Does this leakage affect the behavior of the stage? Modify the topology of the circuit in order to solve this issue.
- Compare the device noise in terms of NEAD  $\left[ \frac{\text{g}}{\sqrt{\text{Hz}}} \right]$  and the front-end electronic noise in terms of  $\left[ \frac{\text{g}}{\sqrt{\text{Hz}}} \right]$ . For the latter case evaluate three main contributions: the operational amplifier voltage noise  $\left( S_{v,n} = \left( 10 \frac{\text{nV}}{\sqrt{\text{Hz}}} \right)^2 \right)$ , the operational amplifier current noise  $\left( S_{i,n} = \left( 0.3 \frac{\text{fA}}{\sqrt{\text{Hz}}} \right)^2 \right)$  and the resistance thermal noise, providing reasonable approximations for the frequency range of interest.
- Is this kind of readout suitable for a measurement of the absolute inclination of the electrical engine? If not, how can you modify the circuit to cope with this additional feature?

## PUNTO 1)



$$\omega_0 = \sqrt{\frac{K_{TOT}}{m}}$$

$$K_{TOT} = K + K_{elec}$$

$$S = 2 \cdot \frac{C_0}{g} \cdot \frac{V_{DD}}{C_F} \cdot \frac{1}{\omega_0^2}$$

Sappiamo tutto e perciò possiamo calcolare  $C_F$  no di punti paralleli

$$C_0 = \frac{E_0 L_p \cdot h \cdot N}{g} = \frac{8,85 \cdot 10^{-12} \cdot 200 \mu \cdot 15 \mu \cdot 5}{2,5 \mu} \approx 53 \text{ pF}$$

$$K_{elec} = -2 C_0 \cdot \frac{V_{DD}^2}{g^2}$$

$$= -2 \cdot 53 \text{ pF} \cdot (1,8 \text{ V})^2 \approx 0,05 \text{ N/m}$$

$$|K_{elec}| \ll K = 5 \text{ N/m} \quad \text{perciò possiamo dire che } K_{TOT} \approx K$$

perciò la frequenza d'isonanza in funzionamento non sarà molto diversa da quella naturale

$$\omega_0 = \sqrt{\frac{K_{TOT}}{m}} \sim \sqrt{\frac{K}{m}} = 25 \text{ rad/s}$$

$$f_0 = \frac{\omega_0}{2\pi} \approx 4 \text{ kHz}$$

Siamo felici di questo perché il nostro segnale è da 400 Hz ed è molto prima della frequenza d'isonanza.

$$\text{Perciò } C_F = 2 \frac{C_0 V_{DD}}{g} \frac{1}{\omega_0^2} \cdot \frac{1}{S} \rightarrow C_F = 203 \text{ pF}$$

Se tutte queste sono

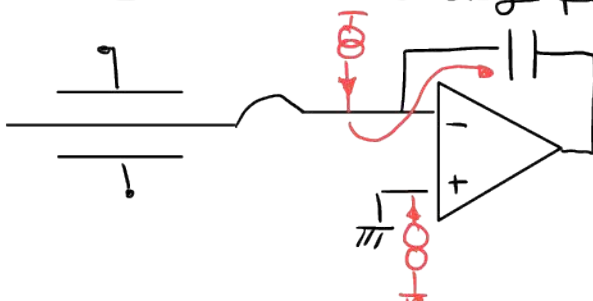
nelle grandezze del sistema intrinseche, allora  $\rightarrow S = \frac{6 \text{ mV}}{g} \rightarrow 0,6 \frac{\text{mV}}{\text{m/s}^2}$

2)

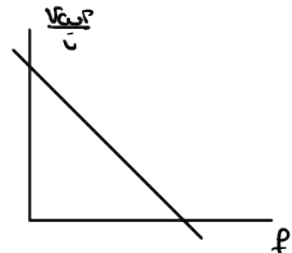
$I_{bias} = 0,05 \mu\text{A}$  del OPAMP  $\leftarrow$  Questi correnti di leakage affliggono lo stage?

Queste correnti fanno sì che la corrente scorrere nei conduttori e porterebbe l'output a  $+\infty$ .

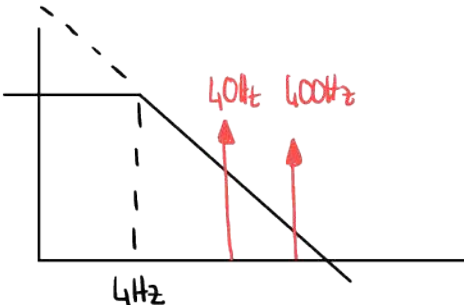
L'idea è di modificare lo stage per non far andare l'output a  $+\infty$ .



$$V_{out} = \frac{I_{bias} \cdot t}{C_F} \rightarrow \infty$$

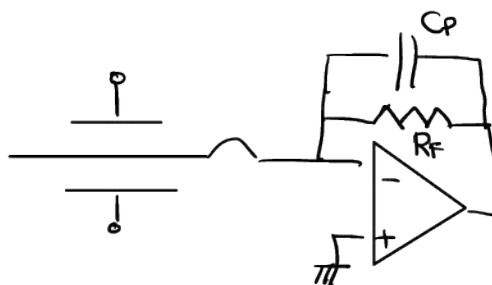


Noi vogliamo mantenere l'uscita derivativa del circuito tra i 40 e 600 Hz  
Allora vogliamo che la PDT sia



Limitiamo il guadagno a frequenze vicine a DC.  
mettiamo un polo una decade prima del nostro segnale

$$Z_F = R_F // C_F = \frac{R_F \cdot 1}{R_F + \frac{1}{S_C F}} = \frac{R_F}{1 + S_C F R_F}$$

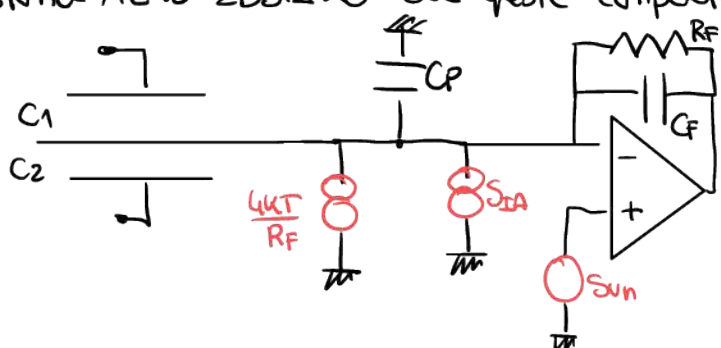


$$\text{Impiego } \frac{1}{2\pi R_F C_F} = 4 \text{ Hz} \rightarrow R_F = \frac{1}{2\pi \cdot 203 \text{ fF} \cdot 4 \text{ Hz}} = 200 \text{ G}\Omega$$

### PUNTO 3)

Compariamo i vari rumori.

Tipicamente in un sistema MEMS abbiamo diverse sorgenti di rumore. In un grande sistema MEMS abbiamo che queste componenti sono molto simili.



Abbiamo anche la capacità C\_P parassita che in preda è in parallelo a Q e C\_2

$$C_P // C_1 // C_2 = 10_p + S3f + S3f \approx 10_p$$

Iniziamo calcolando la noise equivalent acceleration density

### NEAD

$$S_{Fn} = 4 K_B T_b = 4 K_B T \frac{\omega_m}{Q}$$

$$S_{Am} = \frac{S_{Fn}}{m^2}$$

$$\sqrt{S_{Am}} = NEAD = \sqrt{\frac{4 K_B T \omega_m}{Q \cdot m}} = \frac{160 \mu\text{m}/\text{s}^2}{7 \text{ Hz}} \frac{9,8}{9,8} \frac{1g}{1g} \approx \frac{16 \mu\text{g}}{\sqrt{\text{Hz}}}$$

Calcoliamo ora gli effetti della voltage noise

$$S_{Vout} = S_{vn} \left( 1 + \frac{Z_F}{Z_I} \right)^2 = S_{vn} \left( 1 + \frac{R_F}{1 + S_C F R_F} \frac{\frac{1}{S_C F}}{\frac{1}{S_C F}} \right)^2$$

Nella nostra banda d'interesse scappiamo con  
 $1 + S_C F R_F \approx S_C F R_F$

Allora

$$S_{Vout} = S_{vn} \left( 1 + \frac{C_P}{C_F} \right)^2 \left[ \frac{V^2}{\text{Hz}} \right]$$

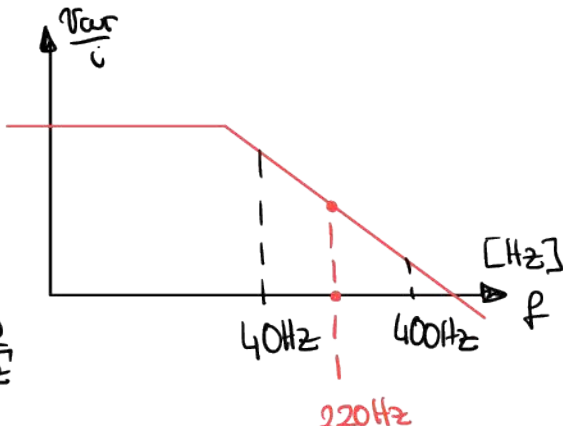
e' importante che teniamo la C\_P più piccola che possiamo perché amplificano i rumore

$$\sqrt{S_{A,2}} = \frac{\sqrt{S_{in}} \left( 1 + \frac{C_P}{C_F} \right)}{S} = \frac{10 \text{ mV}}{\sqrt{\text{Hz}}} \left( 1 + \frac{10 \text{ pF}}{200 \text{ pF}} \right) = \frac{6 \text{ mV}}{\text{g}}$$

### Amplifier current noise

$$S_{var,in} = S_{in} \cdot \left( \frac{1}{S_{CF}} \right)^2$$

$$\sqrt{S_{A,3}} = \sqrt{S_{in}} \cdot \frac{1}{2\pi 220 \text{ Hz} \cdot 200 \text{ pF}} = 180 \frac{\mu\text{g}}{\sqrt{\text{Hz}}} = 180 \frac{\mu\text{g}}{\sqrt{\text{Hz}}}$$



$$\sqrt{S_{A,4}} = \sqrt{\frac{4k_B T}{R_F}} \cdot \frac{1}{2\pi 20 \cdot 200 \text{ pF}} = 173 \frac{\mu\text{g}}{\sqrt{\text{Hz}}} = 173 \frac{\mu\text{g}}{\sqrt{\text{Hz}}}$$

2nde il gen di corrente del rumore della resistenza ha lo stesso trascorso dell'errore di corrente perché in pratica sono in parallelo.

$$\sqrt{SA} = \sqrt{\left(\frac{16 \mu\text{g}}{\sqrt{\text{Hz}}}\right)^2 + \left(\frac{85 \mu\text{g}}{\sqrt{\text{Hz}}}\right)^2 + \left(\frac{180 \mu\text{g}}{\sqrt{\text{Hz}}}\right)^2 + \left(\frac{173 \mu\text{g}}{\sqrt{\text{Hz}}}\right)^2} = 260 \frac{\mu\text{g}}{\sqrt{\text{Hz}}}$$

Potremo migliorare il rumore perché questo rumore non è dominante, quindi potremo ridurre il valore di  $Q$  così questo rumore termico si alea ma il rumore totale diminuisca.

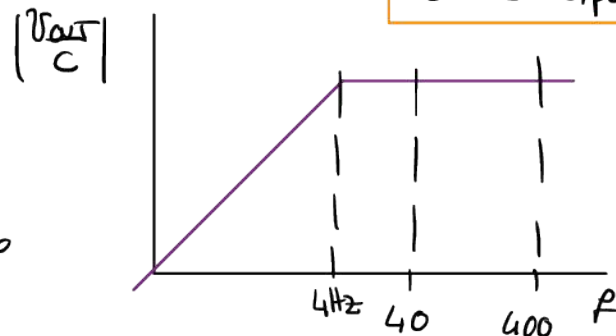
### PUNTO 4)

è questo circuito edetto a misurare l'inclinazione assoluta della macchina? Questo è un segnale lentamente variabile, praticamente DC. Ma dobbiamo ricordare che noi abbiamo messo in polo a 4 Hz



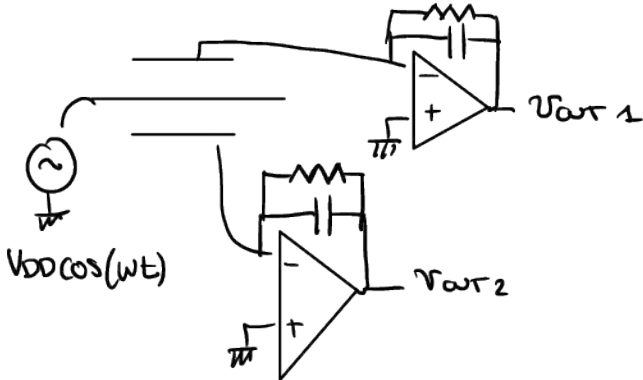
$$i = V_{DD} \frac{dc}{dt}$$

Questo è il vero trascorso da variazione di capienza e tensione di output

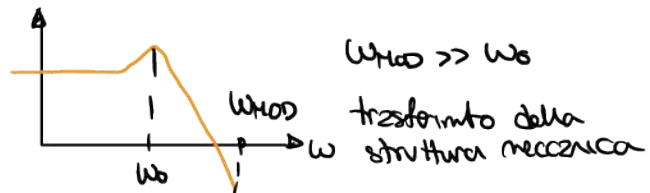


No faccio da zerbenda a  $f \rightarrow \infty$  il guadagno cala a  $-\infty$

Per far sì di leggere la componente DC dovremo modulare il segnale nella zona integrante perché al posto di fare un bias a VDD e -VDD i rotori metto un segnale AC al rotore e sugli statori attacco 2 opamp (charge amplifier)



Per estrarre da la tensioe alternata faccio un dispositivo del rotore metto una frequenza molto maggiore rispetto a quella di risonanza,



Soriviamo l'eq della corrente di scarico nel ramo di feedback

$$i = \frac{dQ}{dt} = \frac{\delta(CV)}{\delta t} = C(t) \frac{\delta V(t)}{\delta t} + V(t) \frac{\delta C(t)}{\delta t}$$

Nei casi precedenti avevamo  $V$  fisso e quindi lo trascuravamo, saremo visti che no  $V$  in AC lo consideriamo. Voglio che l'altro sia trascurabile.

Dove vedere quanto è trascurabile.

Supponiamo che  $C(t) = C_0 + \Delta C \cos(\omega_0 \cdot t)$

$$V(t) = V_{DD} \cdot \cos(\omega_{mod} \cdot t)$$

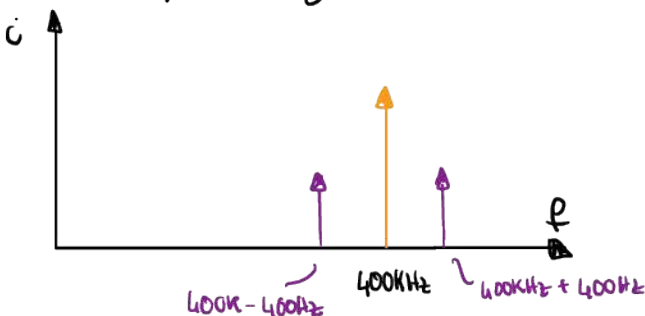
Supponiamo il caso peggiore  $\omega_0 = 600\text{Hz} \cdot 2\pi$ . È il caso peggiore perché la derivata del coseno ha  $\omega$  davanti e noi vorremo  $C(t)$  trascurabile quindi prendiamo il caso peggiore.

$$= -[C_0 V_{DD} \omega_{mod} \cdot \sin(\omega_{mod} t)] - [\Delta C \cdot \cos(\omega_0 t)] \cdot V_{DD} \cdot \omega_{mod} \cdot \sin(\omega_{mod} t) - [\Delta C \cdot \sin(\omega_0 t)] \omega_0 V_{DD} \cdot \cos(\omega_{mod} t)$$

Compariamo i 2 valori  ~~$\omega_0$~~ , allora notiamo che il secondo termine è trascurabile perché  $\omega_0 \ll \omega_{mod}$ , e quindi posso scrivere che

$$= [C_0 + \Delta C \cos(\omega_0 t)] V_{DD} \omega_{mod} \cdot \sin(\omega_{mod} t)$$

Vediamo questo segnale nel dominio del tempo



Dato che abbiamo modulato i segnali a frequenze molto alte siamo sicuri di andare nella zona integrativa della curva.

Con questa tecnica possiamo anche togliere offset in DC e avere  $y_f$ .

## RISUONATORI MEMS

Ad esempio i giroscopi si basano sulla stabile oscillazione di una massa in risonanza.

Risonezatori: l'elemento che vibra

Oscillatore: tutto il sistema che sostiene il circuito

Possano essere usati per generare il clock (a frequenza di tipo 32KHz), oppure per fare la sincronizzazione per circuiti ad alta frequenza (es GHz).

Con i risonezatori posso anche fare dei sensori per grandezze fisiche e chimiche.

The basic idea to implement an oscillator based on a MEMS resonator is shown below:

- one **stator (fixed electrode)** to **actuate**;
- a **suspended resonant element**;
- one **stator (fixed electrode)** to **sense** the motion;

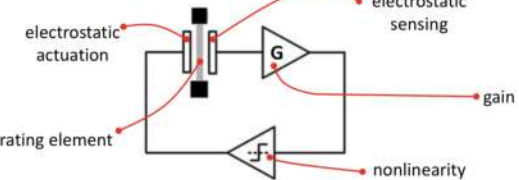
*Not an inertial sensor!  
Mass should be minimized*

Abbiamo bisogno di un elettrico di controllo che mi sostenga l'oscillazione.

- The **characteristic parameters** of the resonator are given by the already analyzed formulas:

$$\omega_0 = \sqrt{\frac{k}{m}}$$

$$Q = \omega_0 \frac{m}{b} = \frac{k}{\omega_0 b}$$



- The loop **oscillates (at resonance)** provided that it satisfies the **Barkhausen criteria** on gain and phase.  $|G_{loop}(j\omega_0)| = 1$   $\angle(G_{loop}(j\omega_0)) = 0^\circ$

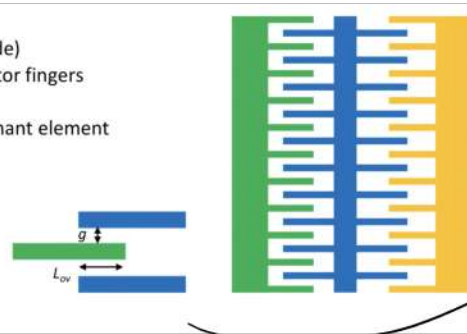
## COMB-FINGER RESONATOR

Ha diversi vantaggi

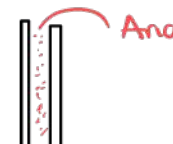
- linearità a grande displacement
- assenza dello "squeezed-film" (compressione e allargamento del piccolo film d'aria che c'è tra i 2 piani paralleli) questo permette di ricevere Q molto grande

### Definition of parameters

- $N_{CF}$  = n. of rotor fingers (per side)
- $g$  = gap between rotor and stator fingers
- $L_{ov}$  = fingers overlap at rest
- $m$  = effective mass of the resonant element
- $k$  = effective stiffness
- $b$  = damping coefficient
- $h$  = process height
- $A = h \cdot L_{ov}$
- $V_p$  = rotor voltage
- $V_A$  = actuation voltage
- $V_s$  = sensing voltage



Vediamo che con questo tipo di configurazione non abbiamo lo squeezed film alle estremità con 2 piani paralleli.



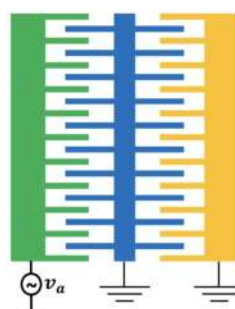
## Eccitazione del risonezatore attraverso forze elettrostatiche.

Let us first calculate the obtainable actuation force applying only a voltage signal at the device resonance frequency:

- $V_p = 0 \text{ V}$
- $V_A = v_a \sin(2\pi f_0 t) = v_a \sin(\omega_0 t)$
- $V_s = 0 \text{ V}$

DERIVATA DI QUESTO

$$C_A = \frac{2 \varepsilon_0 h (x + L_{ov}) N_{CF}}{g}$$



$$|F_{elec}| = \left| \frac{V_A^2}{2} \frac{dC_A}{dx} \right| = \frac{v_a^2 \varepsilon_0 h N_{CF}}{g} \sin^2(\omega_0 t) = \frac{v_a^2 \varepsilon_0 h N_{CF}}{g} \frac{1 - \cos(2\omega_0 t)}{2}$$

Due to the quadratic dependence between voltage and force, we obtain an actuation at twice the resonant frequency, which will not excite the MEMS at resonance... We need an alternative approach!

Vediamo che abbiamo un problema: eccitiamo il circuito a  $\omega_0$  e otteniamo una forza elettrostatica di doppio della frequenza di risonanza.

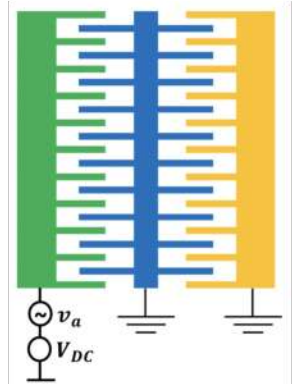
Per risolvere questo problema mettiamo oltre che la tensione alternata anche una componente continua.

Calcoliamo ora la forza elettrostatica in questo caso

$$F_{elec} = \frac{[V_{DC} + V_a \sin(\omega_0 t)]^2}{2} \cdot \frac{2\epsilon_0 h N_{CF}}{g}$$

$$= \frac{\epsilon_0 h N_{CF}}{g} \cdot [V_{DC}^2 + V_a^2 \sin^2(\omega_0 t) + 2V_{DC} V_a \sin(\omega_0 t)]$$

Se facciamo dominare questa quantità sulle altre 2 abbiamo che l'uscita è alla frequenza di risonanza.

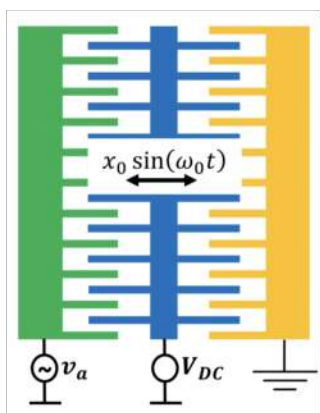


Quindi:  $2V_{DC} V_a \gg \frac{V_a^2}{2} \rightarrow V_a \ll V_{DC} L$

Sotto questa condizione possiamo approssimare il tutto come

$$F_{elec} \approx \frac{\epsilon_0 h N_{CF}}{g} \cdot [V_{DC}^2 + 2V_{DC} \cdot V_a \cdot \sin(\omega_0 t)]$$

Abbiamo una componente DC e  $V_{DC}^2$  della forza, quindi abbriamo sempre una simmetria, il rotore bw pista sempre verso quello verde, non è il massimo. Allora cambiamo, al posto di applicare la tensione DC allo stator l'applichiamo al rotore.

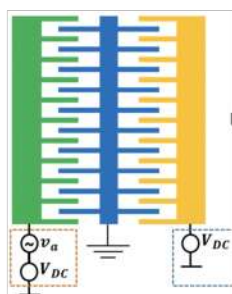


$$|F_{elec}| = \left| \frac{\epsilon_0 h N_{CF}}{g} [(v_a \sin(\omega_0 t))^2 - 2V_{DC} v_a \sin(\omega_0 t) + V_{DC}^2 - V_{DC}^2] \right| = \sim \frac{\epsilon_0 h N_{CF}}{g} 2V_{DC} v_a \sin(\omega_0 t)$$

forza generata tra il rotore e lo stator giallo, è la nuova compate.

In questo modo eliminiamo le componenti continue.

Le 2 compate sono uguali se i 2 rotori sono identici.



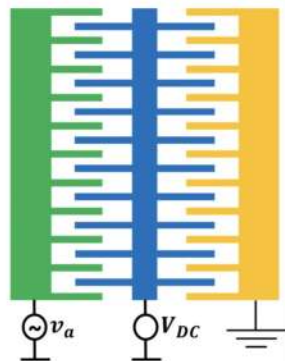
Funziona male così ma non è il top perché di solito  $V_{DC}$  è molto alto e se l'applichiamo solo al rotore ha poco consumo di potenza. Al contrario gli statori hanno anche circuiti di controllo che fanno consumare più potenza.

We can rearrange the terms in the found expression in the following way:

$$|F_{elec}| = \frac{2V_{DC} \epsilon_0 h N_{CF}}{g} v_a = V_{DC} \frac{dC_A}{dx} v_a$$

So that we can define the so-called **electromechanical transduction factor  $\eta_A$** , which relates directly the applied small voltage signal and the electrostatic force.

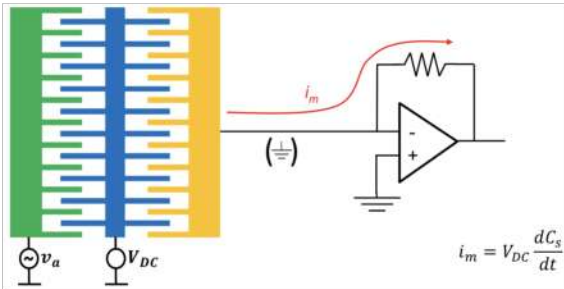
- $\eta_A$  is a **function** of the resonator geometry and polarization;
- the **higher  $\eta_A$** , the **better** the "actuation" capability of my driving stator.



$$|F_{elec}| = \eta_A v_a$$

$$\frac{F_{elec}(s)}{V_a(s)} = \eta_A$$

Come facciamo a leggere questa configurazione?



To readout the rotor displacement, so to provide a feedback signal that can generate  $v_a$  and close the loop, we need to **sense the current induced by the capacitance variation**, while keeping the ground potential at the sense node.

- this can be done e.g. **by means of a virtual ground of a transimpedance amplifier**, as depicted above (a charge amplifier could be used as well).

Vogliamo adesso risolvere l'equazione della corrente in funzione del displacemet e della velocità.

We re-arrange the expression of the current by making use of the relationship between displacement and velocity for a sinusoidal motion:

$$\dot{x} = \frac{d}{dt}(x_0 \sin(\omega_0 t)) = \omega_0 x_0 \cos(\omega_0 t)$$

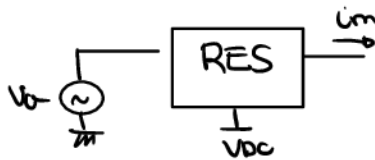
$$i_m = V_{DC} \frac{dC_s}{dt} = V_{DC} \frac{dC_s}{dx} \frac{dx}{dt} = V_{DC} \frac{dC_s}{dx} \dot{x}$$

We can define an **electromechanical transduction** factor also for the **sense port**, which has an **identical expression** as the one for the drive port. Here it **relates the velocity of the mass with the motional current** through the sense port:

- the higher  $\eta_s$ , the better the "detection" capability of my readout stator

$$i_m = V_{DC} \frac{dC_s}{dx} \dot{x} = \eta_s \dot{x} \quad \boxed{\frac{i_m(s)}{sX(s)} = \eta_s}$$

Noi abbiamo una struttura del tipo:

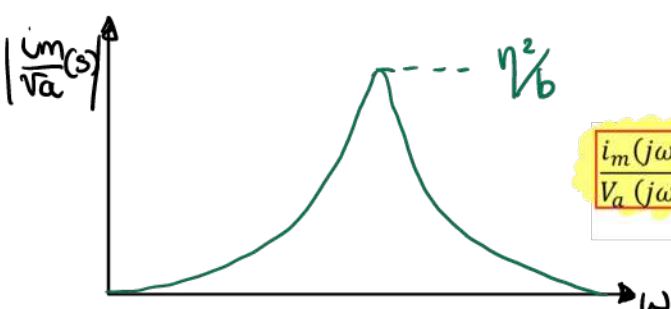


Nei imponiamo una tensione AC e leggiamo una corrente perciò possiamo calcolare l'admittanza equivalente.

Allora:

$$\begin{aligned} \frac{i_m(s)}{V_a} &= \frac{1}{Z(s)} = \frac{F_{\text{elec}}(s)}{V_a} \cdot \frac{X(s)}{F_{\text{elec}}} \cdot \frac{i_m(s)}{X} \\ &= \eta_A \cdot \frac{1}{m} \frac{1}{s^2 + \frac{s\omega_0}{Q} + \omega_0^2} \cdot \eta_s \cdot s \quad \eta_A = \eta_s \\ &= \frac{1}{m} \cdot \frac{\eta^2 \cdot s}{s^2 + \frac{s\omega_0}{Q} + \omega_0^2} \quad \cancel{\frac{\omega \ll \omega_0}{\omega = \omega_0}} = \eta^2/b \\ &\quad \cancel{\frac{\omega \gg \omega_0}{\omega = \omega_0}} = \frac{1}{s m} \end{aligned}$$

perciò



Quando ne imponiamo V\_DC abbiamo che variamo  $\eta^2$ .

$$\boxed{\frac{i_m(j\omega_0)}{V_a(j\omega_0)} = \frac{\eta^2}{b}}$$

The admittance (inverse of impedance) at resonance is real and depends only on the damping coefficient (no dependence on  $m$  or  $k$ !).

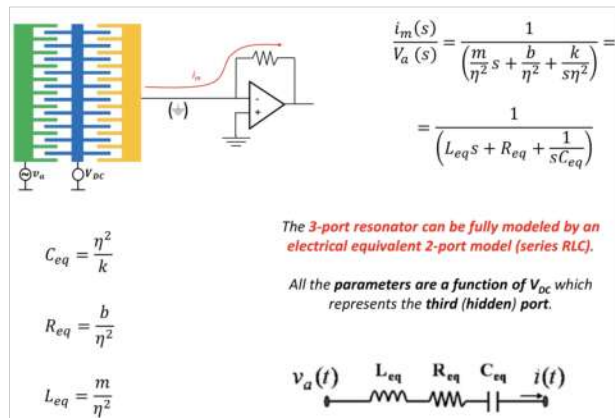
The motional current is thus in phase with the applied voltage.

Troviamo ora l'equivalente elettronico per calcolare questo sistema:

The analysis done so far suggests the resonator to be modeled by an electrical equivalent circuit. We have indeed noticed that the behavior **before**, **at** and **after resonance** can be described **in terms of** the following expressions, each of which reminds us of a **passive equivalent electrical component**:

admittance	impedance	electrical equivalent	
$\frac{i_m(s)}{V_a(s)} = \frac{\eta^2}{k} s$	$\frac{1}{Z} = \frac{\eta^2}{k} s = sC_{eq}$	$Z = \frac{1}{sC_{eq}}$	$C_{eq} = \frac{\eta^2}{k}$
$\frac{i_m(s)}{V_a(s)} = \frac{\eta^2}{b}$	$\frac{1}{Z} = \frac{\eta^2}{b} = \frac{1}{R_{eq}}$	$Z = R_{eq}$	$R_{eq} = \frac{b}{\eta^2}$
$\frac{i_m(s)}{V_a(s)} = \frac{\eta^2}{m s}$	$\frac{1}{Z} = \frac{\eta^2}{m s} = \frac{1}{sL_{eq}}$	$Z = sL_{eq}$	$L_{eq} = \frac{m}{\eta^2}$

Attraverso le quali possiamo calcolare da:



06-10-2021

ESERCITAZIONE

You are asked to design a consumer-grade accelerometer for out-of-plane accelerations. In order to use the same electronic circuit discussed for the in-plane devices, the OP accelerometer needs to target the same performance:  $dC_{diff}/da_{ext} = 4.1 \text{ fF/g}$ ,  $f_0 = 4456 \text{ Hz}$  (in operation),  $FSR = 16 \text{ g}$ ,  $V_{DD} = 3 \text{ V}$ . Other parameters are reported in Table 1. Also refer to Figure 1 for a better understanding of the geometry.

	Symbol	Value
Shear modulus	$G$	65 GPa
process thickness	$h$	24 $\mu\text{m}$
holes transduction coefficient	$\alpha$	0.87
start point of PP (from the rotational axis)	$x_0$	10 $\mu\text{m}$
end point of PP (from the rotational axis)	$x_f$	150 $\mu\text{m}$
mass 1 width	$r_1$	150 $\mu\text{m}$
mass 2 width	$r_2$	300 $\mu\text{m}$
gap of PP	$g$	1.3 $\mu\text{m}$
maximum device length	$L$	950 $\mu\text{m}$

Table 1: Problem parameters.

- Find the maximum tilt angle for the accelerometer in operation and the linearity error.
- Given the target mechanical sensitivity and using the hole pattern of the CAD exercise, calculate the required length of the parallel plates.

- Evaluate the parallel-plate contribution in terms of electrostatic stiffness, and choose the springs geometry (hint: start from the silicon density,  $\rho = 2320 \text{ kg/m}^3$ , to find an effective mass density).
- Which are the parameters affected by a thickness variation of the process for both the accelerometers (IP and OP)?

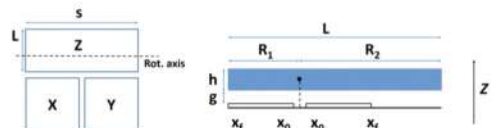
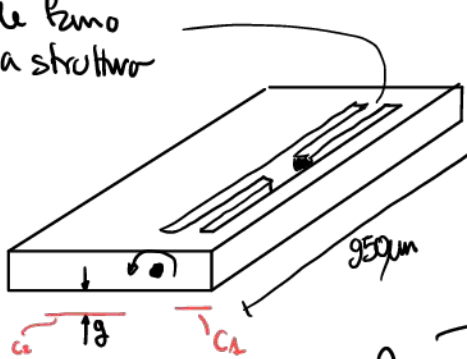


Figure 1: sketch of (i) the top view layout of a 3-axis accelerometer and of (ii) the lateral cross-section of the z-axis device.

Disegniamo un out of plane accelerometer

Molte di fatto  
ruotare la struttura



abbiamo usato le formule  
torsionali

$$I \ddot{\theta} + b \dot{\theta} + K_p \theta = \Gamma_{ext}$$

$[kg \cdot m^2]$        $[N \cdot m]$

Approssimazioni quasi statiche quindi sono 0

1)

$$\mathcal{V}_{FSR} = \frac{M_{FSR}}{K\omega}$$

Non abbiamo info su  $K\omega$ , cioè non sappiamo quanto sia la componente elettostatica, allora scriviamo

$$= \frac{I}{K\omega} \frac{M_{FSR}}{I} = \frac{1}{\omega^2} \cdot \frac{M_{FSR}}{I}$$

il testo ci dà  $\omega_0$  in funzionamento quindi dobbiamo calcolare il momento d'inerzia

$$I = \int r^2 dm = \int_0^{R_1} r^2 \rho h L dr + \int_0^{R_2} r^2 \rho h L dr$$

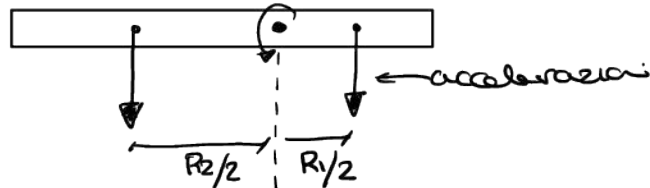
$$= \frac{R_1^3}{3} \rho h L + \frac{R_2^3}{3} \rho h L = \frac{R_1^2}{3} m_1 + \frac{R_2^2}{3} m_2$$

$$R_2 = 2R_1$$

$$m_2 = 2m_1$$

$$= 3m_1 R_1^2$$

$$\mathcal{V}_{FSR} = \frac{1}{\omega^2} \frac{M_{FSR}}{3m_1 R_1^2}$$



Dove abbiamo calcolato la  $M_{FSR}$

$$M_{FSR} = m_2 \alpha_{FSR} \cdot \frac{R_2}{2} - m_1 \alpha_{FSR} \frac{R_1}{2}$$

$$m_2 = 2m_1$$

$$R_2 = 2R_1$$

$$= \frac{1}{2} m_1 R_1 \alpha_{FSR}$$

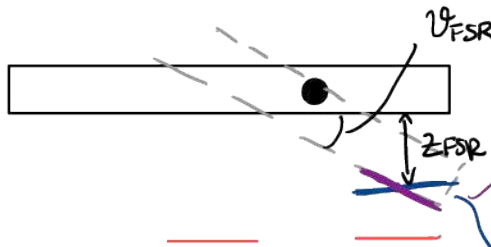
Però l'angolo di fulmine è

$$\mathcal{V}_{FSR} = \frac{1}{\omega^2} \cdot \frac{\frac{3}{2} m_1 R_1 \alpha_{FSR}}{3m_1 R_1^2} = \frac{1}{\omega^2} \cdot \frac{1}{2R_1} \cdot \alpha_{FSR} = \frac{1}{(2\pi \cdot 4456)^2} \cdot \frac{1}{2 \cdot 150 \mu m} \cdot \frac{16 \cdot 98 \frac{m}{s^2}}{10^{-6}}$$

$$\approx 90^\circ \approx 6.67 \cdot 10^{-6} \text{ rad}$$

errore di linearità:

Noi sappiamo che l'errore di linearità di un circuito lineare è quello che sappiamo delle classi ma qui la faccenda è un attimo diversa.



notiamo che la distanza non è uguale su tutto l'elettrodo, tuttavia noi sappiamo che il dipolante è per piccoli angoli e quindi noi consideriamo esso pesce una media.

Visto da l'angolo è piacido possiamo scrivere che

$$Z_{FSR} = V_{FSR} \cdot \frac{(X_f + X_0)}{2} = 6,7 \cdot 10^{-4} \cdot 80 \mu\text{m} = 53 \text{ nm}$$

(displaz. d' Rull range)

punto medio  
dell'elettrodo

Perciò l'errore di linearità è  $E_{lin.} = \left(\frac{Z_{FSR}}{g}\right)^2 \cdot 100 = 0,17\%$

PUNTO 2) chiede essenzialmente la mechanical sensitivity

$$\frac{\Delta C_{FSR}}{C_{FSR}} = 4,1 \frac{\text{pF}}{\text{g}}$$

Possiamo scrivere che

$$2 \cdot \frac{C_0}{g} \cdot Z_{FSR} \cdot \alpha = 4,1 \frac{\text{pF}}{\text{g}} \cdot 16 \text{ g}$$

Fattore di cancellazione tra struttura con o senza buchi, infatti se la struttura ha buchi la capacità sarà minore.

allora

$$2 \cdot \alpha \cdot E_0 \left( \frac{X_f - X_0}{g^2} \right) L_{pp} = 4,1 \text{ pF} \cdot 16$$

Perciò la lunghezza del patto parallelo è  $L_{pp} = \frac{4,1 \text{ pF} \cdot 16 \cdot (13 \mu\text{m})^2}{2 \cdot 9,87 \cdot 8,85 \cdot 10^{12} \cdot 140 \mu\text{m}} = 84,0 \mu\text{m}$

$\uparrow$   
 $\alpha$ : è stato calcolato nella lezione CAD

Perciò la mechanical sensitivity è

$$\begin{aligned} S_{mech} &= \frac{\partial C}{\partial a_{ext}} = \frac{\Delta C}{\Delta z} \cdot \frac{\Delta z}{\Delta a} \cdot \frac{\Delta a}{\Delta a} \\ &= \frac{2 \alpha C_0}{g} \cdot X_m \cdot \frac{1}{2 R_1} \\ &= \frac{2 C_0}{g} \frac{1}{W_0^2} \cdot \alpha \cdot \frac{X_m}{2 R_1} \end{aligned}$$

ricordiamo  $z = 2 \cdot X_m$

← position of the electrodes

↑  $2 R_1$  ← torsional architecture

non ideal parallel plate.

Valore di zerro in m  
in plane accelerometers

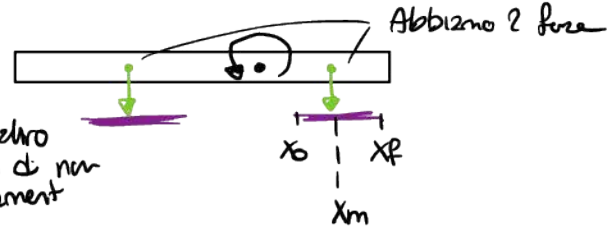
PUNTO 3)

Anche qui abbiamo un'equivalente electrostatic stiffness che va a ridursi, perché anche in questo casoabbiamo delle forze elettrostatiche.

$$\begin{aligned} M_{elec} &= F_{elec} \cdot X_m \cdot 2 = \underline{F_{elec,1} X_m - F_{elec,2} X_m} \\ &= \frac{2 C_0 V_{DD}^2}{g^2} \cdot z \cdot X_m \cdot \alpha \end{aligned}$$

(a  $\sim 2 \cdot X_m$ )

D'altra parte dell'elettrodo sotto l'ipotesi di non  
displacement



$$I = 2 \alpha \frac{C_0}{g} \cdot V_{DD}^2 \cdot X_m^2 \cdot U$$

perciò

$$I \ddot{\vartheta} + b_{\vartheta} \dot{\vartheta} + K_{\vartheta} \vartheta = \Pi_{acc} + \Pi_{elec}$$

$$I \ddot{\vartheta} + b_{\vartheta} \dot{\vartheta} + (K_{\vartheta} + K_{\vartheta,elec}) \vartheta = \Pi_{acc}$$

Noi sappiamo che  $K_{\vartheta,elec} = - \frac{2C_0}{g} V_{DD}^2 \cdot \alpha \cdot X_m^2$

$$= -2 \cdot \frac{\epsilon_0 950\mu m \cdot 150\mu m}{(1,3\mu m)^3} \cdot 0,87 \cdot (80\mu m)^2 = -53 \cdot 10^{-8} N \cdot m$$

dobbiamo perciò trovare la mechanical stiffness.

$$\omega_0 = 2\pi f_0 = \sqrt{\frac{K_{\text{mech}}}{I}}$$

$$K_{\vartheta_{TOT}} = (2\pi f_0)^2 \cdot 3 R_1^2 \cdot m_1$$

Dobbiamo considerare di estrarre una struttura a nido perciò possiamo sottrarre

$$m_2 = p \cdot 950\mu m \cdot 150\mu m \cdot 24\mu m \cdot \frac{10\mu m^2 - 3\mu m^2}{(10\mu m)^2}$$

Albero  $m_1 = 7,2 nKg$

e' una sorta di coefficiente d'ingegneria

Per la durata, considerano un rettangolo e prendono la parte piena e la dividono per il valore totale

Albero

$$K_{\vartheta_{TOT}} = 3,8 \cdot 10^7 Nm$$

$$K_{\vartheta} = 3,8 \cdot 10^7 N \cdot m + 0,53 \cdot 10^7 N \cdot m = 4,33 \cdot 10^7 N \cdot m$$

I.P. flexural

$$K = E \cdot \frac{h w^3}{L^3}$$

(single beam)

O.P. torsional

$$K = G \cdot \frac{h w^3}{3L}$$

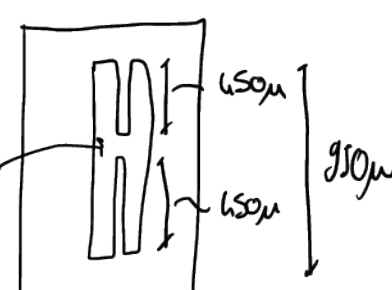
(single beam)

Noi stiamo lavorando con rotore torsionale perciò

$$K_{\vartheta} = 2G \frac{h w^3}{3L} \Rightarrow W = 5,7 \mu m$$

$L$   
 $150\mu m$

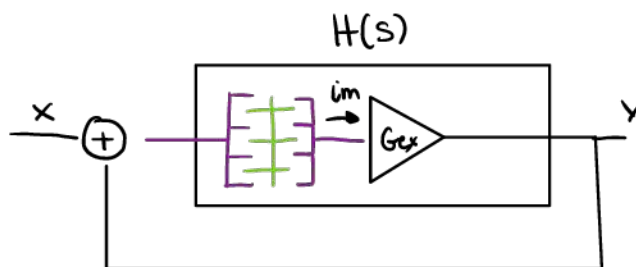
a serie  
dello spazio  
libero



Abbiamo scelto la topologia configurer perché permette larger displacement senza dare problemi di linearità.

Il sistema funziona trasformando una tensione  $v_A$  in una corrente  $i_m$ , per cui con la nostra elettronica dobbiamo ritrasformare la corrente nella stessa tensione alla stessa fase / frequenza (questo deve avvenire alla freq di risonanza, inoltre più alto è  $Q$  più è facile compensare le perdite).

### Criterio di Barkhausen



Supponiamo che

$$y = H(s)(x+y)$$

Se noi lo vogliamo self sustained  $x=0$ , allora

$$Y = H(s)Y$$

$$\text{che avviene solo quando } |H(s)| = 1 \quad \angle H(s) = 0^\circ$$

Ma questo è vero solo quando siamo a regime, dobbiamo avere anche condizioni di start-up. Infatti all'inizio non posso avere  $G_{loop} < 1$  perché devo far nasce l'oscillazione, allora devo avere da all'inizio la fase è  $\phi$  e  $G_{loop} > 1$ .

Ma come fare un circuito così? Devo introdurre una non linearità.

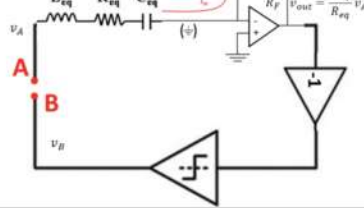
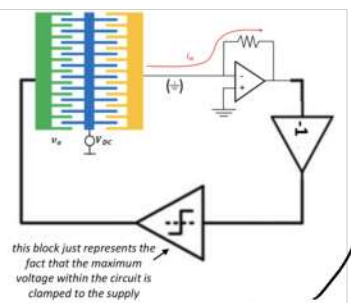
### Required gain of electronics:

Required gain of the electronics:

- we have seen how a resonator can be modeled as an equivalent RLC circuit;
- the dissipative term is represented by the equivalent resistance  $R_{eq}$ ;
- looking at the figure that includes the electrical model, and considering that at resonance the model simplifies into the resistive term, we see that the gain between nodes A and B **at resonance** using a transimpedance stage is:

$$G_{loop}(j\omega_0) = \frac{v_B}{v_A} = \frac{R_F}{R_{eq}}$$

$|G_{loop}(j\omega_0)| > 1$  at the startup is satisfied only if the overall circuit gain is initially larger than  $R_{eq}$ .



Calcoliamo il  $G_{loop}$ . (considerando che L e C sono in corto), allora ho un invertente con guadagno  $-R_F/R_{eq}$ . (tralasciamo monotenezmete la non linearità), allora

$$G_{loop} = +R_F/R_{eq}$$

Allora allo start-up  $R_F/R_{eq} > 1$

Ma noi non sappiamo esattamente quanto sia  $R_{eq}$  quindi in realtà è molto difficile fare  $G_{loop} = 1$  esattamente.

Inoltre noi vogliamo che in stabilità  $G_{loop} = 1$  solo per la frequenza di risonanza.

**Non linearità nel loop:** La risposta è lineare fino ad una certa ampiezza e poi ha una saturazione del gain che mi fa andare al  $G_{loop} = 1$

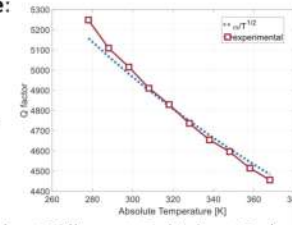
**Variazione di Q al variare della temperatura**

Quando facciamo il design di un oscillatore dobbiamo considerare il peggior Quality factor che si ha alla massima temperatura.

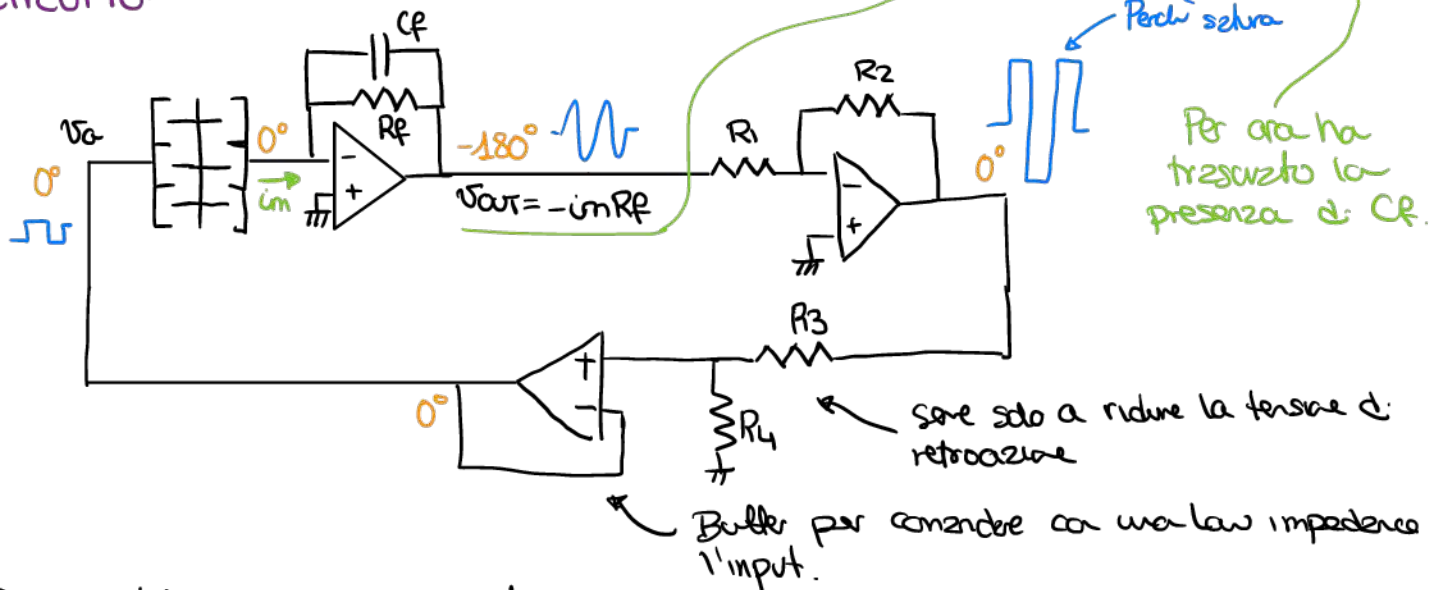
In the most common situation, Q decreases with the square root inverse of the absolute temperature:

$$Q \propto \frac{1}{\sqrt{T}} \quad b = \frac{\omega_0 m}{Q} \quad R_{eq} = \frac{b}{\eta^2}$$

The relevant consequence is that, if a resonator needs to operate over a given T range, its **equivalent resistance** (which changes with b) must be compensated for every T value. The worst condition is the highest T (lowest Q, highest  $R_{eq}$ ).



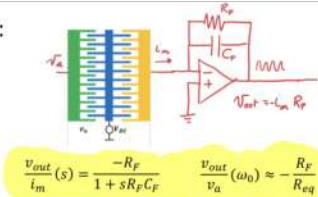
## Circuito:



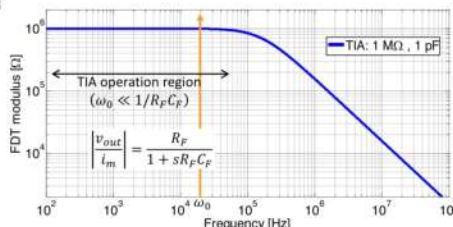
## Design delle singole componenti.

Feedback network with pole after  $\omega_0$ :

- $R_F$  represents the **gain of this stage**. In principle a large value is convenient to minimize Johnson noise and the impact of noise of the following stages;
- $C_F$  (real or parasitic) **introduces a pole**, whose relevance will be clarified partly later and partly in the next class, when discussing feedthrough effects.



Typical "repeatable" and "compact"  $R_F$  values are < 5-10 MΩ: this in general does not give  $G_{loop} > 1$  ( $R_{eq}$  can be > 10 MΩ) and often implies the **need for a further gain stage**.



abbiamo utilizzato anche il secondo stage di amplificazione.

Grazie a questa ulteriore struttura possiamo aumentare il guadagno.

Quando la tensione in ingresso arriva a valori tali da l'op-AMP saturi, allora non è più lineare e l'uscita sarà clippata.

Ma quindi cosa serve il terzo stage?  
Deriva da qualcosa detto nella classe precedente. Infatti in quella avevamo detto che le forze elettostatiche si applicano solo se la tensione d'ingresso va e  $\ll V_{DC}$  del basa il rotore.

In the past class we have seen how the MEMS resonator can be linearized only when having:  $\frac{v_a}{4} \ll V_{DC}$

With e.g. a rotor voltage  $V_{DC} = 5$  V, and a circuit bias  $V_{DD} = \pm 1.5$  V, we are at the **limits of the above condition** (roughly one order of magnitude...):

$$\frac{1.5}{4} \frac{4}{\pi} \cancel{5}$$

$4/\pi$  is the amplitude of the first harmonic of a square wave

Quando andiamo ad altre frequenze in cui  $C_F$  e  $R_F$  danno un polo e il guadagno cessa. Dobbiamo assicurare che questo polo occorra a frequenze superiori rispetto a quelle di ressonanza.

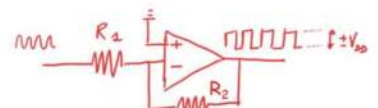
Allora sotto questa ipotesi possiamo dire che  $\frac{v_{out}}{v_a} = -R_F/R_{eq}$

Tipicamente le resistenze ottenibili negli integrati non hanno valori tali da poter avere un'abbastanza grande loop gain per fare lo start-up ed è per questo che abbiamo utilizzato anche il secondo stage di amplificazione.

As  $R_F$  only may not be enough to compensate the resonator losses, the overall (startup) loop gain is now set by:

$$\frac{v_{out,2}}{i_m}(s) = \frac{R_F R_2}{1 + sR_F C_F R_1}$$

$$\frac{v_{out,2}}{v_a}(\omega_0) \approx \frac{R_F R_2}{R_{eq} R_1} > 1$$



Assuming that this condition is met, when we switch on the circuit, at time  $t=0$  we have noise only, i.e. **harmonic components at every frequency**. The harmonic corresponding to  $\omega_0$  is the only one which is **amplified by a positive loop gain larger than one**.

The oscillation at  $\omega_0$  begins to increase. At a certain point, the **high gain stage saturates its output** (square wave at  $\pm V_{DD}$ , typically larger than  $\pm 1.5$  V). **The loop gain thus decreases, stabilizing to 1**.

Note: the first harmonic of a square wave at  $\omega_0$  has an amplitude increased by  $4/\pi$ .

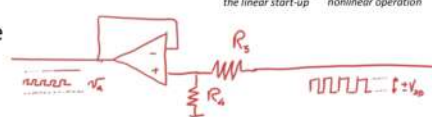
We need thus to lower a bit the driving amplitude, e.g. by simply using a **resistive divider**. Note that the loop design needs to take into account this lowering:

$$G_{loop}(\omega_0) = \frac{R_F R_2}{R_{eq} R_1} \frac{R_4}{R_3 + R_4} > 1$$

High-gain to build up the oscillation during the linear start-up

De-gain to limit amplitude during nonlinear operation

The buffer is used to drive the MEMS with a low output impedance.



# Rumore nel circuito

For power and noise constraints, it would be nice to have large  $R_F$ ...

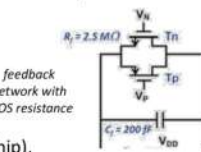
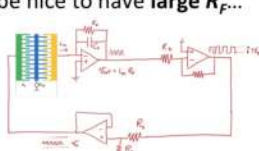
$$\frac{4k_B T}{R_F} \text{ BW} \text{ compares with } i_m$$

However, large integrated resistances are not feasible (large  $\rightarrow$  too much area).

What about resistances implemented through MOS transistors?

- idea: use a MOS switched off and exploit the large resistance of the channel;
- issue: its value is hard to predict and highly depends on the bias voltage (exponential relationship), which may fluctuate (with aging, temperature, status of the battery...).

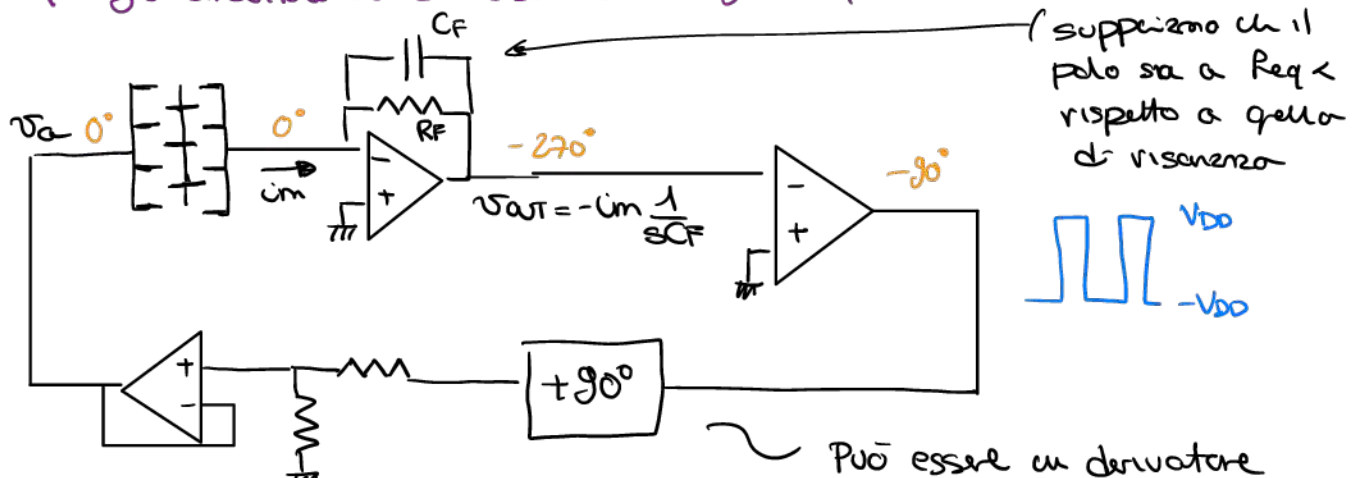
This is a **problem for TIA-based oscillators**, as it directly causes gain changes for large  $R_F$  values. Often, a charge amplifier approach is thus preferred, as we will see in a while.



Se usiamo un TIA con un MOS in retroaccordo noi non sappiamo esattamente il valore di  $R$  perciò noi non sappiamo bene il valore del guadagno.

Possiamo avere resistenze più grandi con i MOS ma non sappiamo bene il valore.

## Altra topologia circolare che si basa sul charge amplifier

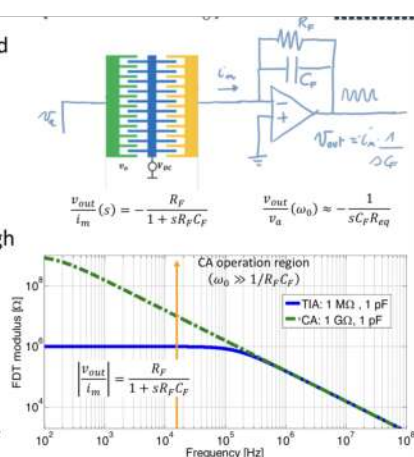


Può essere un derivatore oppure un PLL (Phase locked loop).

A **resistance** is still needed to **bias** the OpAmp and avoid saturation due to integration of its bias currents.

However, the **resistance can be made large** through a MOS transistor in off state (repeatability? see next slide).

Its **noise contribution becomes negligible** and noise is dominated by the OpAmp.

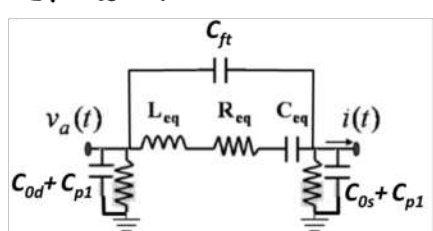


Qui posso fare la resistenza tranquillamente con i MOS perché anche se ho una variazione di  $R$  ho solo una variazione della locazione del polo. Se la nostra frequenza di risonanza è abbastanza in là allora questa variazione non ha effetti. Il vantaggio è che possiamo fare una resistenza di valore molto grande così da abbassare SNR migliore con questo amplificatore.

## RESONATORS 3

### Capacità di feedthrough

Dato la capacità del risonatore abbiamo delle capacità parassite.



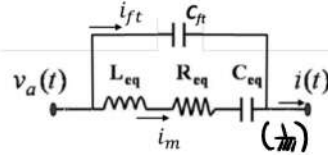
Aggiungiamo anche una resistenza parassita di valore molto alto (MΩ).

Noi dobbiamo ricordare che comandiamo questo circuito con un buffer a bassa impedenza d'uscita e che l'out ha un TIA con una terra virtuale, perciò possiamo non considerare le componenti parallele che toccano terra dato che non dovrebbero avere effetto sul segnale.

Per cui rimaniamo solo la capacità di feedthrough (che si chiama così perché da direttamente l'input sull'output). Ha tipicamente valore di RF (91 o 10)

We therefore need to **modify the found analytical expression** of the electrical equivalent admittance, taking into account the **parasitic feedthrough capacitance**:

- remember that admittances in parallel can be summed

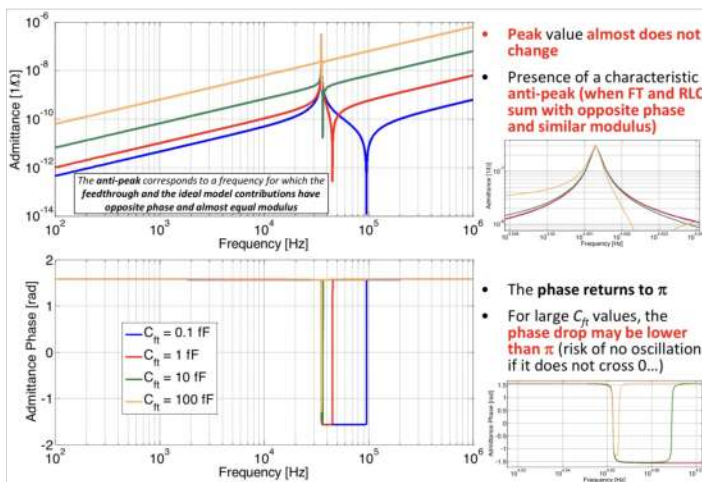


$$\frac{i(s)}{V_a(s)} = \frac{i_m(s) + i_{ft}(s)}{V_a(s)} = \frac{1}{(L_{eq}s + R_{eq} + \frac{1}{sC_{eq}})} + sC_{ft}$$

The feedthrough capacitance **adds a growing contribution with  $\omega$** , that becomes **eventually dominant for large frequencies**. It affects modulus and phase as described in the next slide.

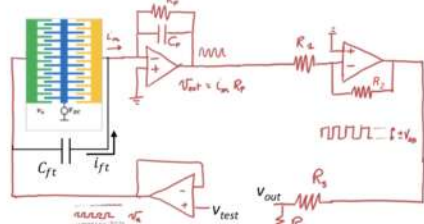
Studiamo adesso l'andamento di fase e tensione in funzione della frequenza e vediamo il comportamento di  $C_{ft}$ .

Subito dopo la frequenza di risonanza potremo trovare un punto in cui i 2 segnali hanno fase opposta e ampiezza comparabile, perciò abbiamo la presenza di uno zero.



Ma la nostra elettronica continua a funzionare anche con il condensatore di feedthrough? Iniziamo calcolando il Gloop.

To calculate the loop gain, it is **convenient to open the loop** in a point which sees a **high impedance**, so to avoid the need to reconstruct the impedance after opening.



$$G_{loop}(s) = \frac{V_{out}}{V_{test}} = \left( \frac{\eta^2}{m} \frac{s}{s^2 + \frac{b}{m}s + \frac{k}{m}} + sC_{ft} \right) \frac{-R_F}{1 + sR_F C_F} \frac{-R_2}{R_1} \frac{R_4}{R_3 + R_4}$$

For both the analyzed topologies, a **convenient point** is the positive input of the buffer.

La corrente d'output è data da 2 componenti.

Depending on the frequency, the value of the feedthrough capacitance can be either negligible or relevant.

f.t. current  $i_{ft}$   
RLC current  $i_m$

▪ **low frequencies:**

- the feedthrough is usually larger than the equivalent capacitance. The **phase is the same** as for the ideal model.

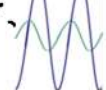
$$\frac{i(s)}{V_a(s)} = sC_{eq} + sC_{ft}$$



▪ **around the resonance frequency:**

- as far as the **modulus** of the feedthrough contribution is **smaller than  $1/R_{eq}$** , the phase goes as in the ideal model. After  $\omega_0$ , when  $|sC_{ft}|$  is again larger than  $1/R_{eq}$ , the phase is again dominated by the feedthrough.

$$\frac{i(s)}{V_a(s)} = \frac{1}{R_{eq}} + sC_{ft}$$



▪ **high frequencies:**

- the **phase is dominated by the feedthrough** as its contribution is much larger than  $1/sL_{eq}$ .

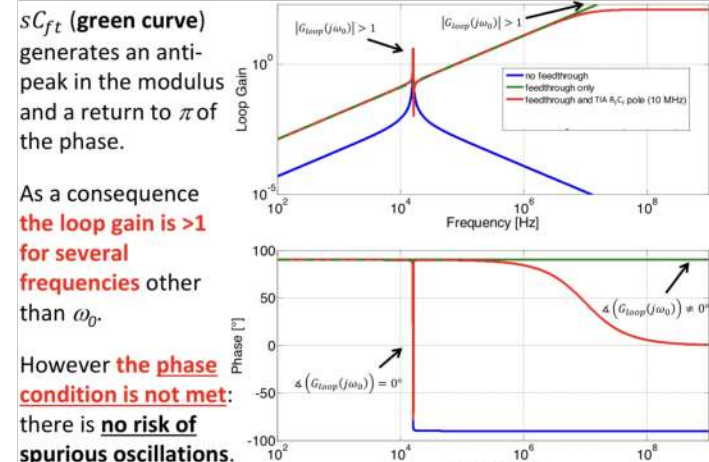
$$\frac{i(s)}{V_a(s)} = \frac{1}{L_{eq}s} + sC_{ft}$$



Cresce perdita quando cresce  $\omega$

Attenzione alla zona da  $-90^\circ$  perché se studiamo lì non abbiamo più confermato il criterio di Barkhausen.

Supponiamo di non avere CF parassita  $SRF CF = \infty$ . Allora abbiamo come situazione che:



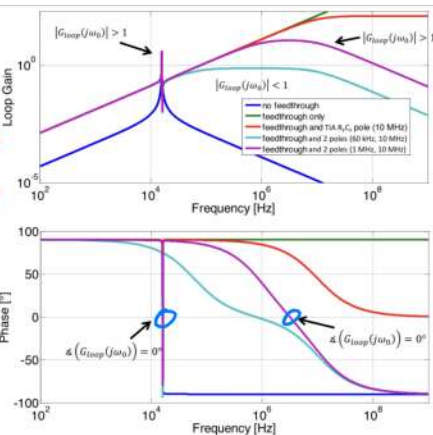
Notiamo che la curva verde non passa mai per la fase  $0^\circ$  quindi Barkhausen sulla fase non è verificato. tuttavia noi non abbiamo considerato Gf di introdurre un polo e poi ci saranno anche i poli degli OPAMP da considerare.

Nella curva rossa (che indica un polo detto da  $RfCf = 50\text{kHz}$ ) allora come possiamo vedere che abbiamo sia loop gain  $>1$  e fase  $0^\circ$  dopo che il polo ha deto il suo contributo. perciò così notiamo che molte frequenze possono oscillare e che quindi il circuito non funziona come desiderato.

Un modo per ridurne questa cosa è aggiungere poi tipo mettendo in  $R_2C_2$  con  $C_2$  in parallelo a  $R_2$ . Dobbiamo stare attenti a non mettere il polo troppo vicino alla frequenza di risonanza (almeno una decade dopo la risonanza).

In this example we see how challenging this is:

- by setting a pole pair at 10 MHz (TIA) and at 1 MHz (added), we still have a clear oscillation at  $\sim 3\text{MHz}$  (in purple);
- only if we set one pole at 60 kHz, not that far from resonance, we get the overall gain  $<1$  where the phase crosses the  $0^\circ$  value;
- however, this causes a slight phase shift at resonance, and the circuit oscillates at a frequency different from the peak one.



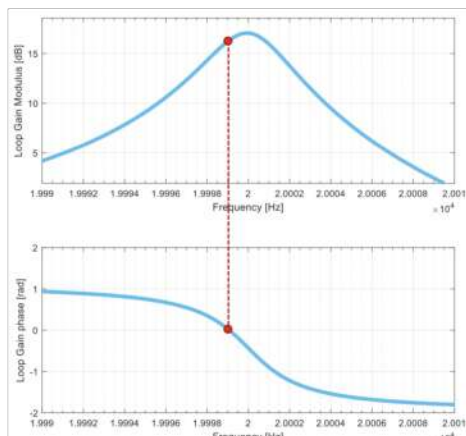
Abbiamo solo circa 2 frequenze in cui il circuito può oscillare (ma non è ancora top).

Dobbiamo fare in modo che per la seconda frequenza il modulo sia  $<1$  così non oscilla. Questo accade per un polo messo a 60kHz (che è molto vicino alla risonanza).

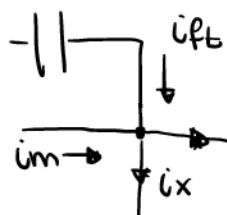
Questo significa che alla risonanza avremo un po' di phase shift.

L'oscillazione funziona ancora con questo piccolo phase shift?

Notiamo che sul picco di risonanza la fase non è proprio a  $0^\circ$ . tuttavia notiamo che Barkhausen è comunque verificato ma la risonanza non è precisamente sul picco ma un po' prima.



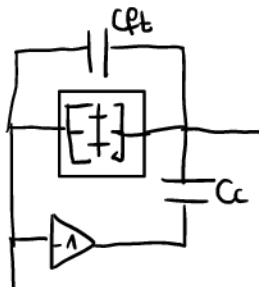
Un'altra idea per compensare il feedthrough è compensarlo all'origine.



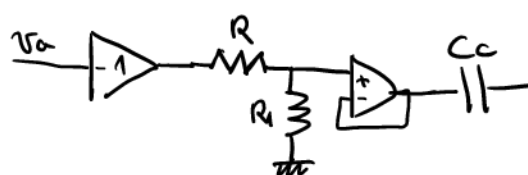
Se  $ix$  è uguale a  $ift$  allora top, infatti così solo la corrente di manutenzione entrerà nel circuito.

$$\text{Noi sappiamo che } ift = C_d \frac{di_o}{dt}$$

Allora possiamo fare una cosa tipo



che  $Cc$  è uguale a  $Cf$ . Il problema è che  $Cf$  è talmente piccola che non riusciremo a fare una  $Cc$  uguale. Allora facciamo un roba del tipo



Qui mettiamo  $Cc$  + grande e lo condizioniamo con una tensione più piccola così che abbbia la stessa corrente.

## PROBLEM

We are asked to design a MEMS resonator, based on the so-called Tang structure. The target resonance frequency,  $f_0$ , is 32.768 kHz. The equivalent resistance of the electrical model of the resonator, noted as  $R_{eq}$ , should be lower than 10 MΩ. The electromechanical structure, see Fig. 1, has a moving mass with an equivalent area of 150 μm × 85 μm and a spring length of 91 μm. Additionally, the device has 8 differential parallel-plate cells used solely for electrostatic tuning. The fabrication technology has some rules and characteristic dimensions, listed in Table 1<sup>1</sup>. You are asked to:

<sup>1</sup> Due to process spreads, dimensions of real devices may differ from the design: etch spreads indicate that the structural layer can be wider or narrower than by design; thickness spreads refer to an epitaxial height thicker or thinner than the nominal target. This variability is described by a Gaussian function: the most probable case is for no process spread; numbers reported in Table 1 refer to the  $3\sigma$  value of the distribution.

Symbol	Value
Young's Modulus	$E$ 160 GPa
Density	$\rho$ 2320 kg/m <sup>3</sup>
Process thickness	$h$ 15 μm
Nominal spring width	$w_{sp}$ 1.5 μm
Nominal process gap	$g_{min}$ 1 μm
Etch spread	$\pm 3\sigma_x$ ±0.05 μm
Thickness spread	$\pm 3\sigma_h$ ±1 μm
N. of comb fingers per side	$N_{CF}$ 38
Quality factor at room T	$Q$ 670

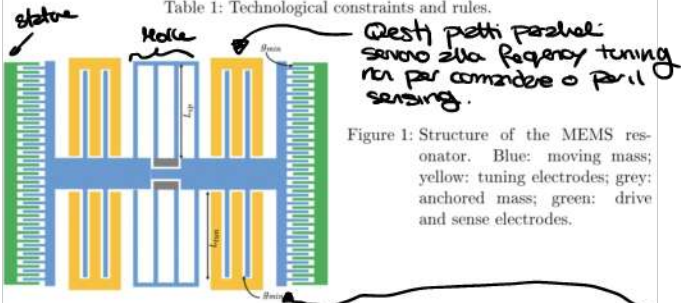
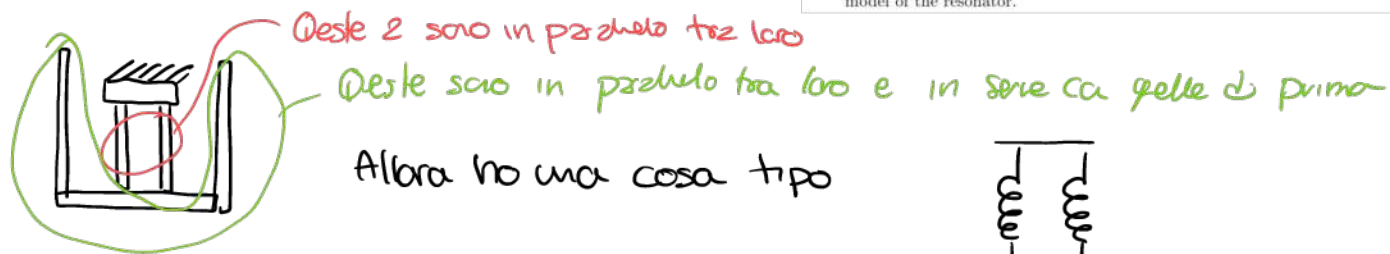


Figure 1: Structure of the MEMS resonator. Blue: moving mass; yellow: tuning electrodes; grey: anchored mass; green: drive and sense electrodes.

i) Neglect softening (cioè non consideriamo i parallel plate)

$$f = \frac{1}{2\pi} \sqrt{\frac{k}{m}}$$

Abbiamo 4 travi per lato che hanno la stessa lunghezza e zHezzo



$$K_{beam} = E h \left(\frac{w}{L}\right)^3$$

L'averla stiffness di questo device (considero solo 4 travi)

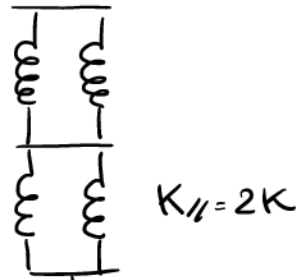
$$K_{1/2} = \frac{1}{2} \cdot 2 E h \left(\frac{w}{L}\right)^3$$

Perciò l'averla stiffness totale è:  $K_{TOT} = 2 E h \left(\frac{w}{L}\right)^3$

Perciò

$$f_0 = \frac{1}{2\pi} \sqrt{\frac{2 E h \left(\frac{w}{L}\right)^3}{\rho A}}$$

Area del comb finger?



Adesso vediamo cosa chiede la domanda

$$f_0 = \frac{1}{2\pi} \sqrt{\frac{2 E (w/L_{sp})^3}{\rho A}}$$

$\frac{df}{dh} \sim \emptyset$  non c'è variazione di Regenza se vario h

$$\begin{aligned} \frac{df}{dw} &= \frac{3}{2} \cdot \frac{1}{2\pi} \sqrt{\frac{2 E}{\rho A L_{sp}^3}} \cdot \left( \frac{w^{1/2}}{W} \cdot \frac{W}{w} \right)^{-1/2} \\ &= \frac{3}{2} \frac{f_0}{W} \end{aligned}$$

Perciò la massima variazione di frequenza in uscita è data da

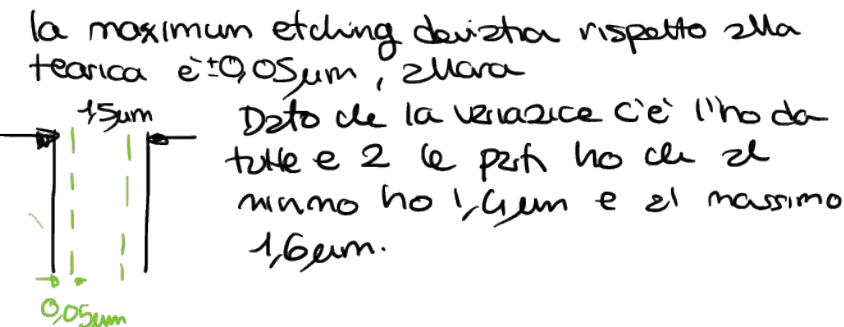
$$\Delta f_{0,\max} = \frac{3}{2} f_0 \frac{\Delta W_{\max}}{W}$$

$$\Delta f_{0,\max} = \frac{3}{2} f_0 \cdot \frac{\Delta W_{\max}}{W} = \pm 1,5 \mu\text{m}$$

perciò

$$f_{0,\max} = 32768 \text{ Hz} + 3277 \text{ Hz}$$

$$f_{0,\min} = 32768 - 3277 \text{ Hz}$$

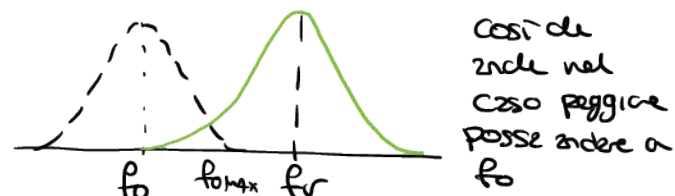
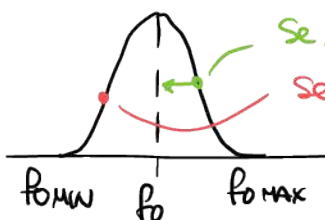


Usiamo clock a questa frequenza perché è una potenza di 2 e quindi dei sei facendo divisioni per 2 in serie arriviamo a frequenze di 1 Hz.

Facciamo questo perché con i risuonatori non possiamo scendere troppo in frequenza altrimenti sentono l'accelerazione

## PUNTO 2

Noi sappiamo che con l'eletrostatico funge noi possiamo solo ridurre la frequenza ma non aumentarla. Perciò il sistema così fatto non va bene perché se sono sotto alla mia fo base non posso farci niente.



Facciamo una roba così

$$\text{So che } fr - \Delta f_{0,\max} = 32768 \text{ Hz}$$

$$fr = \frac{32768}{1 - \frac{3}{2} \frac{0,1 \mu\text{m}}{1,5 \mu\text{m}}} = \frac{32768}{0,9} = 36409 \text{ Hz} \leftarrow \text{è la nostra target Frequency}$$

Perciò dobbiamo avere che

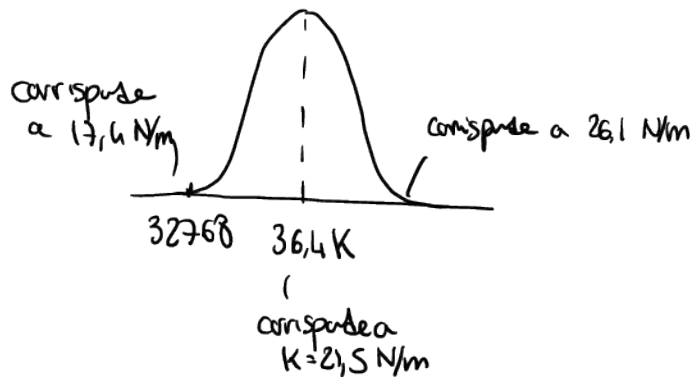
$$fr = \frac{1}{2\pi} \sqrt{\frac{K}{m}} \quad m = \frac{K}{(2\pi fr)^2}$$

L'espressione della stiffnesse è

$$K_{1,5} = 2 Eh \left( \frac{w}{l} \right)^3 = 2 \cdot 160 \cdot 15 \mu\text{m} \cdot \left( \frac{1,5 \mu\text{m}}{0,9 \mu\text{m}} \right)^3 = 21,5 \frac{\text{N}}{\text{m}}$$

$$\left. \begin{aligned} K_{1,4} &= 17,4 \text{ N/m} \\ K_{1,6} &= 26,1 \text{ N/m} \end{aligned} \right\} \text{Sono i K ca la lunghezza di varia da } 1,4 \text{ a } 1,6 \mu\text{m.}$$

Perciò



Nel caso standard (costante) abbiamo che

$$m = \frac{K_{1,s}}{(2\pi f_r)^2} = \frac{21,5 \text{ N/m}}{(2\pi 36409)^2} = 0,41 \text{ mKg}$$

### Domanda 3)

Quel'è la tensione da dobbiamo applicare nel caso peggiore per tenere una frequenza di vogliamo?

Cioè prendiamo la massima frequenza da possiamo avere e vediamo che tensione sarebbe per arrivare alla nostra frequenza.

Dovrò passare da  $K=26,1$  a  $K=17,6$  perciò

$$K_{elec} = - (26,1 \text{ N/m} - 17,6 \text{ N/m}) = -8,7 \text{ N/m}$$

Noi sappiamo anche che in genere 2 pisti paralleli hanno un  $K_{elec}$  pari a

$$K_{elec} = -2 \frac{C_{TUN} \cdot V_{TUN}^2 \cdot N_{TUN}}{g^2}$$

Noi abbiamo 8 pisti paralleli  
 $N_{TUN}=8$

perciò la tensione di tuning deve essere

$$V_{TUN} = \sqrt{\frac{-K_{elec} \cdot g^2}{2 C_{TUN} N_{TUN}}} = \sqrt{\frac{-K_{elec} g^3}{2 \epsilon_0 h L_{TUN} N_{TUN}}} \quad \text{lunghezza elettrodi di tuning}$$

Allora, noi dobbiamo supporre la lunghezza degli elettrodi di tuning uguale alla lunghezza della spring (non ha senso farli maggiori perciò devono stare dentro il packaging)

Il gap detto nel testo del problema è  $15 \mu\text{m}$  ma non dobbiamo usare quello perciò noi stiamo considerando il caso a  $f_{MAX}$  quindi quando l'estensione ha ridotto il gap quindi

$$g = 15\mu\text{m} - 0,05\mu\text{m} - 0,05\mu\text{m} = 0,9\mu\text{m}$$

Perciò a noi ci risulta che

$$V_{TUN} = \sqrt{\frac{87 \cdot (0,9\mu\text{m})^3}{2 \cdot 8,85 \cdot 10^{-32} \cdot 15\mu\text{m} \cdot 8\mu\text{m} N_{TUN}}} = 5,8 \text{ V}$$

E non abbiamo problemi di pulling instability perciò in quel caso  $K_{tot} \leq 0$

## PUNTO 4)

Trovare le DC voltage ed rotore per avere la resistenza equivalente detta nel testo.

$$R_{eq} = 10M\Omega$$

$$\frac{U_m(s)}{V_a} = \frac{\eta_A \eta_{SS}}{ms^2 + bs + K} = \frac{\eta^2 s}{ms^2 + bs + K} = \frac{1}{\frac{sm}{\eta^2} + \frac{b}{\eta^2} + \frac{1}{sK\eta^2}} = \frac{1}{Z(s)}$$

Perciò l'impedenza di questo blocco è:

$$Z(s) = s \frac{m}{\eta^2} + \frac{b}{\eta^2} + \frac{1}{sK\eta^2} = sR_{eq} + R_{eq} + \frac{1}{sC_{eq}}$$

↓      ↓      ↓  
 inductive   resistive   capacitive

perciò

$$R_{eq} = \frac{b}{\eta^2} < 10M\Omega$$

$$b = \frac{\omega_0 m}{Q} \quad \text{abbiamo tutti questi parametri}$$

$$\eta = V_{rot} \cdot \frac{dC}{dx} \quad \begin{cases} F = \eta \cdot V_a [N] \\ C = \eta \cdot x [\mu_{mS}] \end{cases}$$

$$C = \frac{2\epsilon_0 h (\ln u + x) \cdot NCF}{g}$$

$$\frac{dC}{dx} = \frac{2\epsilon_0 h NCF}{g} \quad \frac{\omega_0 m / Q}{\left[ V_{rot} \cdot \frac{2\epsilon_0 h NCF}{g} \right]^2} < 10M\Omega$$

perciò

$$V_{rot} = \sqrt{\frac{\omega_0 m / Q}{\left( \frac{2\epsilon_0 h NCF}{g} \right)^2 \cdot 10M\Omega}} = 1,1$$

Ma otteniamo io so che  $V_{rot}$  è 1,1 V e che  $V_{rot}$  era 5,8 V prima, Ma 5,8 V è la ddp tra i 2 pietti perché quindi devo stare attento che se sul rotore metto 1,1 V soli altri pietti perché devo mettere 5,8 V in modo da avere ddp - 5,8 V

$$\eta = \frac{V_{rot} \cdot 2 \cdot 8,85 \cdot 10^{-12} F/m \cdot 15\mu m \cdot 38}{1\mu m} = 1,12 \cdot 10^{-2} N/V$$

in nominal conditions

$$R_{eq} = 10M\Omega$$

$$L_{eq} = \frac{m}{\eta^2} = 32 kH$$

$$C_{eq} = \frac{\eta^2}{K} = \frac{\eta^2}{12,4 N/m} = 0,72 fF$$

You work in the analog division of a MEMS company. You are asked to design an electronic oscillator whose frequency-selective element is a MEMS resonator. Its parameters are listed in Table 1. The minimum capacitance of the chosen circuit process is 200 fF.

- Calculate the maximum equivalent resistance,  $R_{eq,max}$ , of the resonator, considering the dependence of the quality factor on temperature.
- Size the charge-amplifier-based front-end, used to readout the motional current.
- An additional stage is needed to close the loop, considering a target displacement amplitude of the proof frame,  $x_{a,max}$ , of 2 μm: describe and size such a stage.

	Symbol	Value
Resonance frequency	$f_0$	32768 Hz
Mass	$m$	0.8 nKg
Process thickness	$h$	15 μm
Gap	$g$	1.8 μm
$Q$ -factor @ room temperature (300 K)	$Q_0$	2000
Number of comb-finger structures	$N_{CF}$	70
Rotor DC voltage	$V_{DC}$	5 V
Circuit supply voltage	$\pm V_{DD}$	$\pm 3.3$ V
Temperature operating range	$\Delta T$	-45° C to +85° C

Table 1: Electro-mechanical parameters of the MEMS resonator.

- Finally, another stage is required to satisfy Barkhausen criteria at resonance: describe it, choose where to place it, and size it.

## PUNTO 1)

Mox Req considerando la variazione di Q sul range di temperatura.  
Noi sappiamo che

$$Req = \frac{b}{\eta^2} \quad \text{e } b \text{ è in funzione di } Q$$

Noi sappiamo che possiamo scrivere il quality factor come

$$Q = 2\pi \frac{\text{ESTERNO}}{\text{EDISSIPATI} \text{ (in 1 ciclo)}} \\ = 2\pi \frac{\frac{1}{2} Leg I^2}{\frac{1}{2} Req I^2 \cdot \frac{1}{f_0}}$$

$$= 2\pi f_0 \frac{Leg}{Req} = 2\pi f_0 \frac{m/\eta^2}{b/\eta^2} = \frac{\omega_0 m}{b}$$

l'ESTERNO la posso scrivere così

$$El = \frac{1}{2} Leg I^2 \leftarrow \text{esiste questa data un addensore in circuito in serie}$$

$$Ec = \frac{1}{2} Leg V^2$$

DIMOSTRAZIONE DELLA FORZA

Perciò posso scrivere Req come:

$$Req = \frac{b}{\eta^2} = \frac{\omega_0 m}{Q \cdot \eta^2} \rightarrow Req(T) = \frac{\omega_0 m}{Q(T) \cdot \eta^2}$$

Noi sappiamo che b dipende dalle molecole grasse ecc.., allora posso dire che b è proporzionale a

$$b \propto N_{mol} \cdot v_{mol} \quad \text{n° molecole} \cdot \text{Velocità molecole}$$

Usiamo la formula dei gas ideali  $pV = N_{mol} R \cdot T \rightarrow N_{mol} \propto \frac{p}{T K_B}$

e usiamo l'energia cinetica

$$\frac{1}{2} m v_{mol}^2 = \frac{1}{2} K_B T \rightarrow v_{mol} \propto \sqrt{K_B T}$$

Allora abbiamo che

$$b(T) = \frac{P}{K_B \cdot T} \cdot \sqrt{K_B \cdot T}$$

MEMS NON INCAPSULATO  
LA PRESSIONE NON È COSTANTE  
E NON HO CORRISPOSIZIONE TRA  
PRESSIONE TEMPERATURA

$$\text{Aria} \propto P / \sqrt{T}$$

INCAPSULATO  $\rightarrow$  VOLUME FISSO, SE INDOPO  
NELL'LEGGE DEI GAS IL PRODOTTO P.T È  
COSTANTE

$$\propto \frac{1}{\sqrt{T}} \text{ (nostro caso)}$$

Allora otteniamo che  $Q(T) \div \frac{1}{\sqrt{T}}$  perciò  $Q(T) = \frac{\alpha}{\sqrt{T}} \rightarrow Q(T)\sqrt{T} = \alpha$  <sup>costante</sup>

Tornando alla domanda principale è chiaro che  $Req_{max}$  c'è quando  $Q$  è min e  $Q$  è min quando  $T$  è max

$$Req = \frac{\omega_0 m}{Q(T) \cdot \eta^2}$$

$$Q(300K) \cdot \sqrt{300} = Q(T) \cdot \sqrt{T} \quad \begin{array}{l} Q \cdot T \text{ deve essere uguale} \\ \text{per qualsiasi temperatura} \end{array}$$

$$Q_{min} = Q(300K) \cdot \sqrt{\frac{300K}{293K+85}} = 2000 \cdot \sqrt{\frac{300}{358}} = 1831$$

$$= \frac{32768 \text{ Hz}}{2\pi f_0 \cdot m \cdot 98 \text{ mkg}} = 33,8 \text{ M}\Omega$$

$$1831 \left( V_{DC} \cdot 2 \cdot \epsilon_0 \cdot h \cdot NCF \right)^2$$

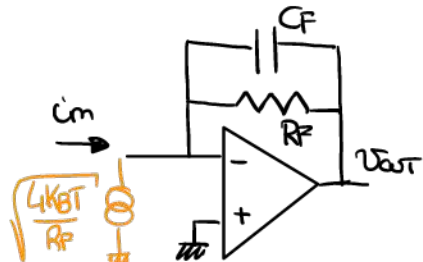
$\frac{1}{SV} \quad \frac{1}{15\mu\text{m}} \quad \frac{g}{1,8\mu\text{m}} \quad \frac{1}{30}$

fattore di qualità  
a temperatura ambiente

poi il  $Q_{max}$  è  $Q_{max} = 2000 \cdot \sqrt{\frac{300}{293-45}} = 2294$

## PUNTO 2

Dimensionare il charge amplifier



$$f_{pao} = \frac{1}{2\pi C_f R_f}$$

Se usiamo  $R_f$  piccolo allora il polo c'è dopo la nostra frequenza di utilizzo, usiamo il circuito come un TIA.

Al contrario se  $R_f$  grande spostiamo il polo a basse frequenze e quindi il polo è sotto la freq di utilizzo e usiamo la zona capacitiva.

Quelle delle 2 situazioni scegliamo? Dovremo vedere l'SNR e capire quello che ci conviene (non consideriamo il ruído dell'opamp), confrontando gli SNR sui input.

$$SNR_d = \frac{i_m}{\sqrt{\frac{4kBT}{R_f}}} \div \sqrt{R_f} \leftarrow \text{e' proporzionale a } R_f$$

densità  
(non ho moltiplicato per la banda)

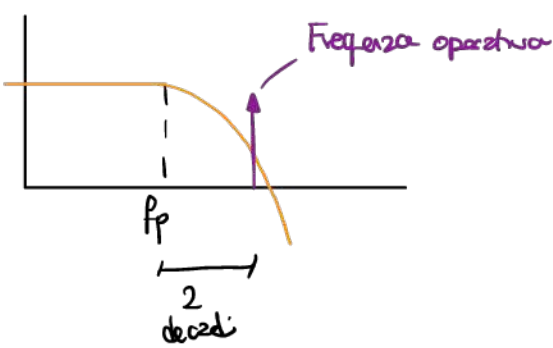
Capiamo quindi che ci sono 2 motivazioni per usare un charge amplifier, posso usare grandi  $R_f$  e l'altra è che separo il guadagno del rumore.

$C_f \rightarrow$  minimum value  $\rightarrow 200 \text{ fF}$

L'idea è che dovemo scegliere  $C_f$  per aprire al massimo la dinamica d'uscita in questo caso c'è univa 200fF.

Decidiamo ora dove mettere il polo del charge amplifier, solo che dopo una decade del polo ho che la fase ha circa 85° in meno.

Cosa buona e giusta è quindi scegliere il luogo del polo 2 decadi lontano dalla risonanza



Perciò ricamino  $R_F$  in modo che

$$\frac{1}{2\pi R_F C_F} = \frac{f_0}{100}$$

$$\text{Perciò } R_F = \frac{100}{f_0} \cdot \frac{1}{2\pi C_F} = 2,46 \Omega$$

Perciò

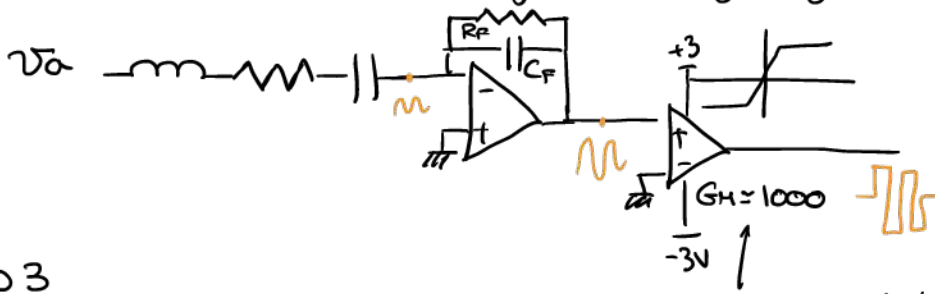
$$G_{loop}(w_0) = \frac{U_m(w_0) \cdot G_{CA}(w_0)}{V_o}$$

Alla frequenza di risonanza ho che

$$= \frac{1}{R_{eq}} \cdot \frac{1}{w_0 C_F} \rightarrow \text{nel peggior caso} \rightarrow \frac{1}{33,8 M\Omega} \cdot 24,3 M\Omega = 0,7$$

Non è abbastanza

Allora devo mettere un ulteriore stage ad alto guadagno



### PUNTO 3

Ricordiamo che  $\frac{V_o}{4} \ll V_{rot}$

Supponendo il  
comparatore guadagni 1000

Seppiamo poi che il maximum displacement sia 3mm, dobbiamo dimensionare tutto perciò così:

$$\frac{X}{F} (w_0) = \frac{Q}{K}$$

$$\text{perciò } X_{MAX}(w_0) = \frac{Q_{MAX} \cdot F}{K}$$

Forza d'attuazione

$$= \frac{Q_{MAX} \eta \cdot D_{A,MAX}}{K}$$

Capiere da dove l'ha tirata fuori

Perciò otteremo che

$$V_{MAX} = \frac{X_{MAX} \cdot K}{Q_{MAX} \cdot \eta} = \frac{2 \mu m \cdot w_0^2 \cdot m}{V_{rot} \cdot 2 E_{0,0} N_C F \cdot 22 g/m} = 570 mV$$

Potrei usare anche un ando quadra con prima armonica di velocità 570mV, le altre armature non rompono le bolle perché ho che la rete risonante li filtra via



Dobbiamo ricordarci di  $\frac{U}{\pi}$

Allora l'ampiezza massima dell'onda quadra è  $V_{AMAX_{SQ}} = \frac{V_{AMAX}}{\sqrt{2}} = 450mV$

Perciò dobbiamo fare che l'onda quadra da  $\pm 3V$  da ora vada a  $\pm 450mV$   
dobbiamo fare un degzin di 915. Il modo più semplice è usare un voltage divider e un buffer non invertente.

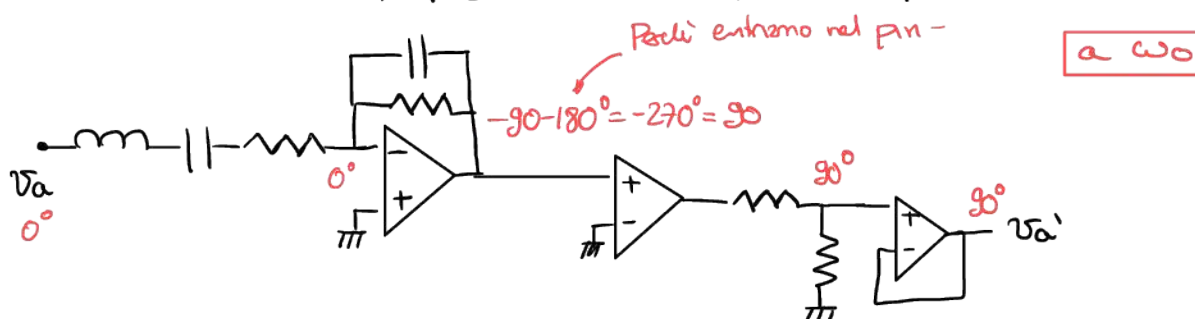
Perciò vediamo calcoliamo  $G_{loop}$

$$G_{loop} = \frac{1}{R_{eq\text{woCF}}} \cdot G_{H_L} \cdot G_{DECIN} = 0.72 \cdot 1000 \cdot 915 \gg 1$$

Ma perché faccio un gen grande e poi il degzin? Io faccio perciò il sistema  
non c'è bisogno e salvo una sintesi, in questo caso mi serve comunque il degzin.  
Inoltre se avessi appena un gen iniziale più piccolo.

#### PUNTO 4

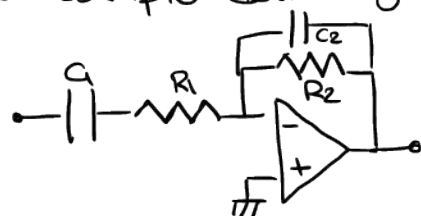
Dobbiamo fare un check della propagazione dei delay nel loop.



Avere uno shift di  $-90^\circ$  per avere questo abbiamo 2 opzioni

- 1) derivatore ( $+90^\circ$ ) e mettendo nel suo input negativo ( $-180^\circ$ ) allora  $V_{out} = -90^\circ$
- 2) integratore non invertente ( $-90^\circ$ )

Facciamo l'esempio dell'integratore



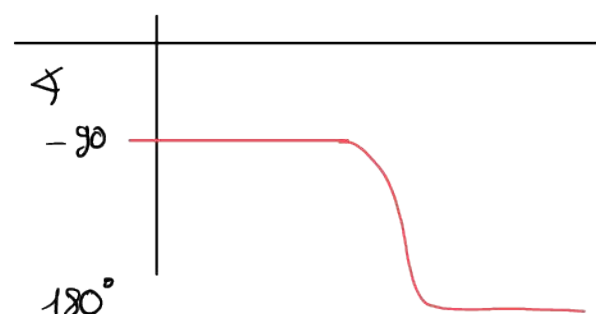
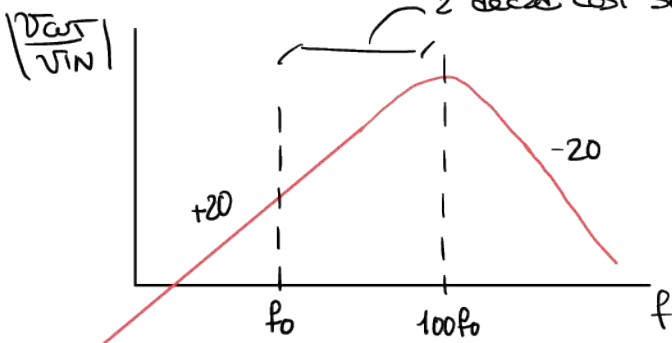
$$\text{ha 2 poli: } f_{p1} = \frac{1}{2\pi R_1 C_1} \quad f_{p2} = \frac{1}{2\pi R_2 C_2}$$

$$f_{p1} = f_{p2} = 32 \text{ GHz}$$

Guadagno dello stage =  $G = SGR_2 = 1$

$$\frac{V_{out}}{V_{in}} = \frac{S C_1 R_2}{(1 + S C_1 R_1)(1 + S C_2 R_2)}$$

2 decadi così sia che il polo non ha effetto su  $f_0$

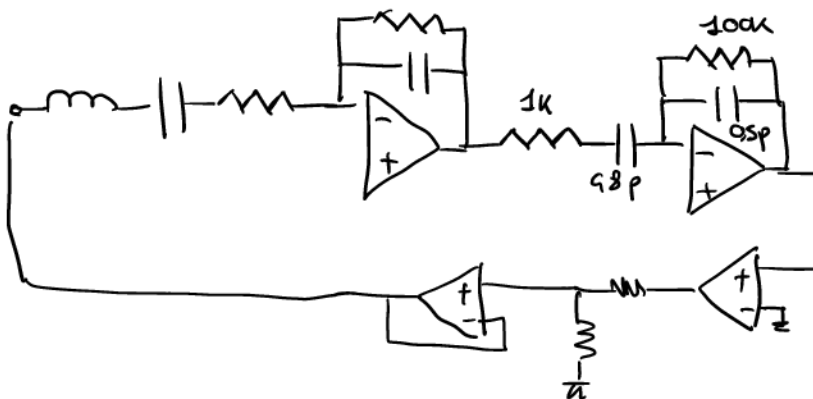


Imponiamo  $R_2 = 100k \Omega$

$$\frac{1}{2\pi R_2 C_2} = 3,2 \text{ MHz} \rightarrow C_2 = 95 \text{ pF} \quad \omega_0 C R_2 = 1 \rightarrow C_1 = 48 \text{ pF}$$

Allora  $\frac{1}{2\pi R_1 C_1} = 32 \text{ MHz} \rightarrow R_1 = 1k\Omega$

Dove mettiamo questa struttura? il posto migliore deve metterlo è prima di trasformare il segnale in onda quadra perché un'onda quadra porta impulsi: se davo un impulso vero a +oo se integro un'onda quadra ho un segnale triangolare da cui c'è l'idea per comandare un servomotore



Qui ha zucch disegnato il modulo del loop gain, io no l'ho messo.

### Giroscopio 1

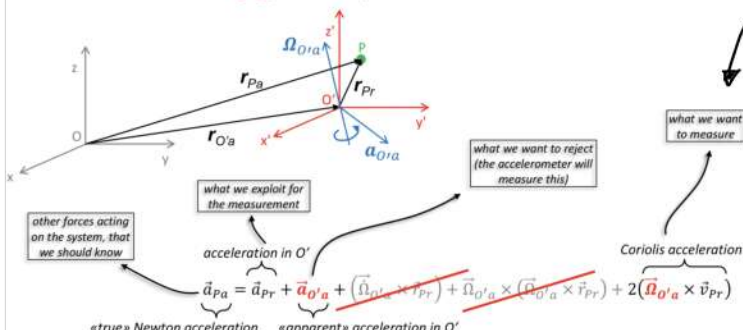
FULL SCALE RANGE: massimo angolare rate measurement. L'unità di misura dell'angolare rate è dps!

I giroscopi sono più complessi internamente rispetto agli accelerometri, perché richiedono più consumo di potenza.

### La forza di Coriolis

- We can write the expressions of the acceleration of the point P with respect to the absolute reference system.
- In typical use cases, translational acceleration and angular acceleration are negligible compared to the Coriolis acceleration.

NOTE: the complete expression can be obtained by solving the derivatives of a generic vector  $u$  using the Coriolis theorem  
 $u_{\dot{a}} = u_r + \Omega_a \times u_r$

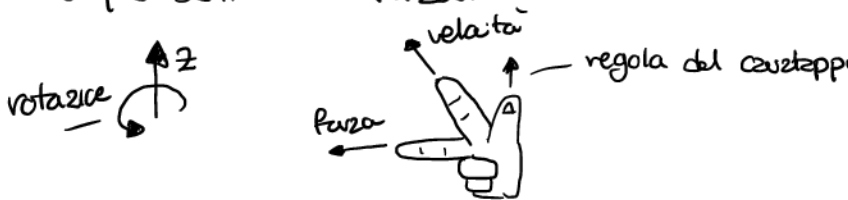


Questa è una slide già vista

L'idea è di riuscire a misurare questa accelerazione leggendo l'accelerazione nel piano non ineriale e separando la vera accelerazione

Dobbiamo supporre che i giroscopi misurino accelerazione angolare zucch in presenza di accelerazioni lineari e per gli accelerometri vale il contrario.

Se noi vogliamo che il giroscopio misuri rotazioni intorno all'asse z abbiamo che il giroscopio deve potersi muovere in 2 direzioni, una per due velocità e l'altra per sentire la forza.



Perciò noi assumiamo la forza sull'asse  $y$  e la velocità sull'asse  $x$ , possiamo dunque scrivere l'equazione caratteristica (considerando nulla le accelerazioni che non ce ne premo perché possono farlo)

$$m\vec{y}_{Pr} + b\vec{y}_{Pr} + k\vec{y}_{Pr} = -m\vec{a}_{O'a} - 2m(\vec{\Omega}_{O'a} \times \vec{v}_{x,Pr})$$

(assume that effects of accelerations are rejected in a gyroscope)

Come possiamo misurare la angolare rate

example for a z-axis angular rate and velocity along the x-axis  
coordinates are now adjusted to the following calculations

$\vec{F}_y = -2m(\Omega_z \times \vec{v}_x)$

$m\vec{y} + b\vec{y} + ky = -2m\Omega_z v_x$

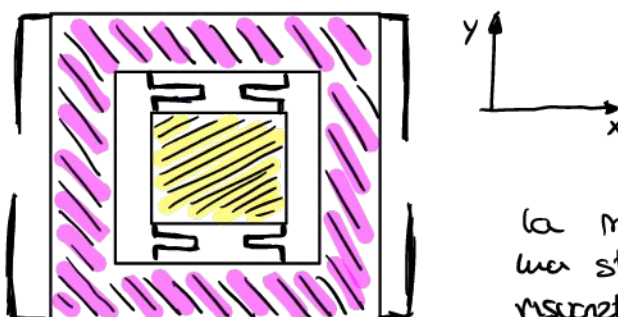
the system will feature motion along two directions, and thus two spring-mass-damper systems (two modes of interest), one per motion direction

- Assume:
  - a velocity  $\vec{v}_x$ .
- Assume for the sake of simplicity:
  - $\vec{a}_{O'a} = 0$  (rotational motion only... more in general the acceleration will be measured by the accelerometer, and our gyroscope will be designed to be immune from accelerations).
- The measurement of  $y$  allows to determine  $\vec{\Omega}_a$  through  $\vec{F}_{Cor}$  if the value of the velocity  $\vec{v}_x$  in the relative system is known
  - $\vec{v}_x$  needs to be controlled.

$\Omega_z$  è quello che vogliamo misurare, per le  $y$  dobbiamo misure il dispiacemento ma questo non basta. Dobbiamo anche sapere la velocità  $v_x$ .

Perciò come detto prima dobbiamo fare un design di una struttura che può avere dispiacementi in 2 direzioni diverse.

Come costruisco questo device? Posso fare un coupling di 2 nested masses



Notiamo che con questa struttura la massa esterna è libera di muoversi nella direzione  $x$  mentre quella interna in quella  $y$

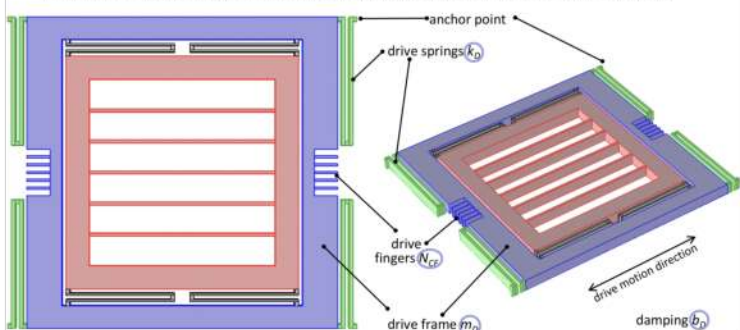
la massa esterna per sé stessa effettua una struttura a dita intrecciate come nei macchinari così impedisce una velocità  $v_x$

il movimento della massa esterna non fa muovere quella interna poiché le molle interne sono molto rigide nella direzione  $x$ .

Dato che facciamo muovere la massa esterna come un risuonatore la velocità sarà di tipo oscillatorio. La massa centrale si sposta grazie alla forza apparente di Coriolis dato che la nostra velocità è oscillatoria anche la forza di Coriolis sarà di tipo oscillatorio. Nella realtà avremo grandi dispiacementi nell'asse  $x$  e più piccoli nell'asse  $y$ .

La massa esterna avrà un suo modello nello smorzatore di cui chiamiamo drive mode:

- In the simplest implementation, the **drive mode** is anchored to the substrate by means of **drive springs** (in green) which allow motion in the  $x$ -direction and are quite rigid in the  $y$  direction.
- The drive mode is kept in resonance oscillation, usually via **comb fingers**. The main block of the drive mode (in blue) is called the **drive frame**.



La stiffness lungo la direzione  $x$  sarà chiamata  $K_D$  e dipenderà dalle molle verdi. Ci aspettiamo che il fattore di qualità  $Q_D$  sia grande perché non dobbiamo prenderci troppo lungo la direzione  $x$ .

La massa de si muove in direzione  $x$  è la somma della massa esterna e di quella interna.

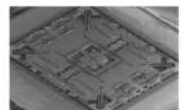
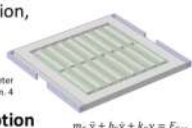
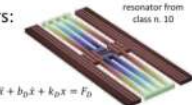
Nel caso della massa interna avremo un fattore di qualità + basso perché abbiamo pochi premi per il sensing, inoltre l'unica massa da considerare è quella interna.

In pratica il giroscopio è un resonatore più un accelerometro

Nella realtà questa è una versione semplificata del giroscopio e non c'è uguale a quella che nella realtà viene utilizzata.

In a simplified vision, a gyroscope can be seen as a combination of:

- a comb-driven resonator with the following parameters:
  - a mass  $m$  given by the sum of the drive frame and the sense frame masses  $m_D$  and  $m_S$ ;
  - a stiffness  $k_D$  given by the drive springs;
  - a (low) damping coefficient  $b_D$  determined by motion in the X-direction.
- a parallel-plate accelerometer of the Coriolis acceleration, with the following characteristic parameters:
  - a mass  $m_S$  given by the sense frame only;
  - a stiffness  $k_S$  given by the sense springs;
  - a (larger) damping coefficient  $b_S$  determined by motion in the Y-direction, so by PP squeeze film damping.



Today we start from the simplest architecture. More complicated geometries (like the one shown aside) will be derived in the next classes.

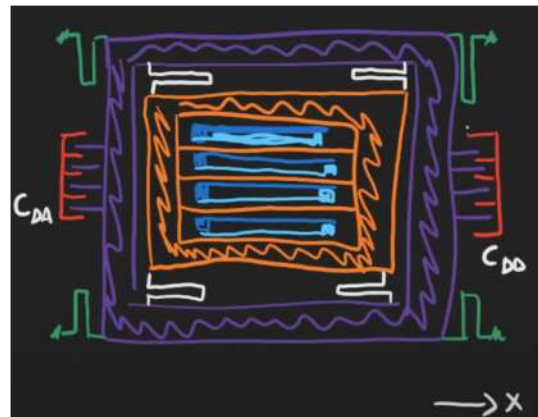
## Calcolare la sensitività

The calculation of the sensitivity follows these consecutive steps:

- calculation of the **drive electrostatic force**  $F_{elec}$
- calculation of the **drive displacement at resonance**  $x_D$
- calculation of the **drive velocity**  $v_D$
- calculation of the **Coriolis force**  $F_{Cor}$
- calculation of the **sense mode displacement**  $y_S$

For today, the calculation will stop at this point. In the next lecture we will complete it through:

- calculation of the **sense capacitance variation**  $\Delta C_S$
- calculation of the **output voltage per unit rate (sensitivity)**  $\frac{\Delta V_{out}}{\Omega}$



$$\text{Perciò } C_{DA} = \frac{2\epsilon_0 h N_{DF} (l_0 x - x)}{g}$$

$l_0 x$  è l'angolo iniziale tra le due intersezioni

$$\bullet \frac{dC_{DA}}{dx} = \frac{2\epsilon_0 h N_{DF}}{g}$$

$$|F_{elec}| = \frac{(V_a \sin(\omega t) - V_{DC})^2}{2}, \quad \frac{dC_{DA}}{dx} = \frac{2\epsilon_0 h N_{DF} V_{DC} \tau_a \sin(\omega t)}{g}$$

Adesso che sappiamo la forza elettostatica possiamo calcolare il displacement

$$X_D = X_{D,0} \cdot \dots (\omega t)$$

C'è una componente seno o coseno ma a noi non interessa  
Ci interessa solo l'ampiezza  $X_{D,0}$

$$X_{D,0} = F_{elec,0} \cdot \frac{Q_D}{K_D}$$

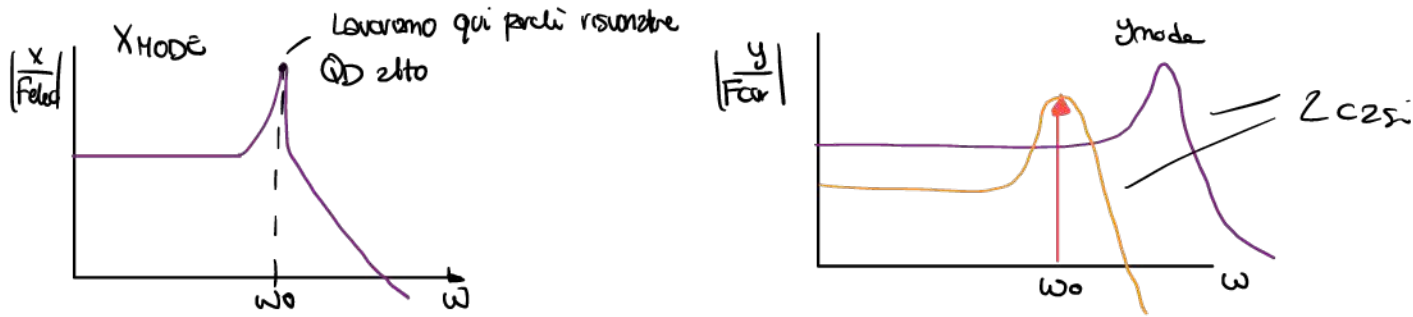
La velocità  $V_D$  la possiamo scrivere integrando  $X_D$ , in particolare

$$X_D = X_{D,0} \cdot \cos(\omega t) \rightarrow \dot{X}_D = \omega_0 X_{D,0} \cos/\sin(\omega t)$$

Possiamo quindi dire che  $V_{D,0} = \omega_0 \cdot X_{D,0}$

Possiamo adesso ricavare la forza di Coriolis

$$F_{\text{Cor},0} = 2 \cdot m_s \cdot v_{D,0} \cdot \Omega_z = 2m_s x_{D,0} \cdot \omega_0 \cdot \Omega_z$$



Vediamo che nel lavoriamo a freq  $\omega_0$  cioè a freq di risonanza. Sapremo dunque che anche la forza di Coriolis sarà applicata a freq  $\omega_0$ . Dunque ci possono essere 2 casi, cioè che la risposta displacey /  $F_{\text{Coriolis}}$  abbia 2 frequenze di risonanza dopo o entro il valore di  $\omega_0$ . Noi supponiamo per ora di usare solo il caso con le 2 frequenze mismatchate ma anche l'altro è ok.

NODE MATCHING  $\omega_0 = \omega_s = \omega_0$ , Però

$$y_{S,0} = F_{\text{Cor},0} \cdot \frac{Q_S}{K_s} = 2m_s x_{D,0} \cdot \omega_0 \cdot \frac{Q_S}{K_s} \cdot \Omega_z$$

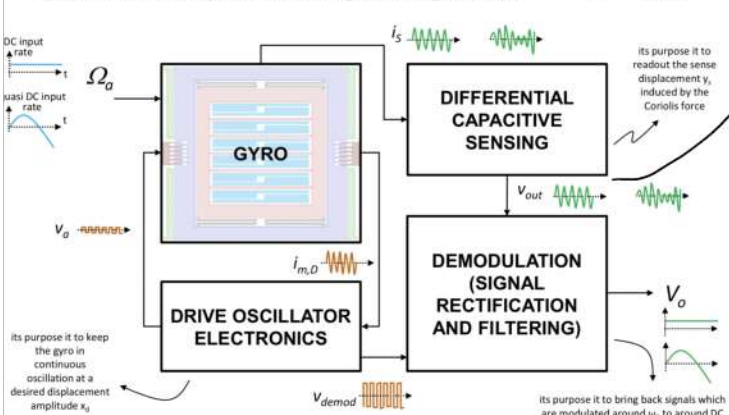
Possiamo ora scrivere (ricordiamo che  $Q_S = K_s / \omega_{0bs}$ )

$$\frac{y_{S,0}}{\Omega_z} = 2m_s x_{D,0} \cdot \omega_0 \cdot \frac{K_s}{\omega_0 b_s} \cdot \frac{1}{K_s} = \frac{2m_s x_{D,0}}{b_s} = \frac{x_{D,0}}{(b_s / 2m_s)}$$

## Gyroscope 2

- We can expect an overall **amplitude-modulated** system formed by the following building blocks.

$$\frac{y_{S,0}}{\Omega} = \frac{x_{D,0}}{\Delta\omega_{BW}}$$



è un segnale modulato in AM, infatti la sua ampiezza varia in funzione della forza di Coriolis

Come già seppiamo il fattore di Quelton cala con la radice quadrata della temperatura. La conseguenza di questo è che se noi creiamo un oscillatore che ha il displacemt

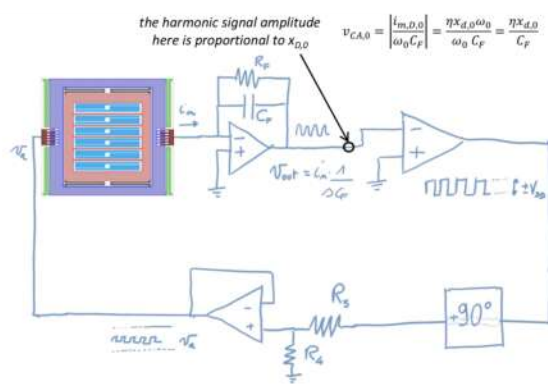
$$x_{D,0} = F_{\text{elec}} \cdot \frac{Q_S}{K_D}$$

Vediamo che secoli il displacemt cambia con la temperatura (il Q può variare anche del 30%!), tipicamente però variano di circa il 15%. Però così non basta! Ci serve qualcosa in grado di controllare l'ampiezza di displacement.

Quando abbiamo studiato i risettori abbiamo visto che esistono 2 topologie circuituali in TIA e in TCA. Noi vogliamo controllare il displace perciò dobbiamo prendere la topologia per la quale la tensore d'output è proporzionale al displace.

As the **CA topology** gives an **output proportional to the displacement  $x_D$** , we choose this one:

- if we want to control  $x_{D,0}$  a **good starting point** is to have it measured. Yet, it is not enough...



Dopo il LPF abbiamo una compone carica di valore  $2\pi \eta x_{D,0} C_F$ . Comprendiamo poi questo valore con un valore standard

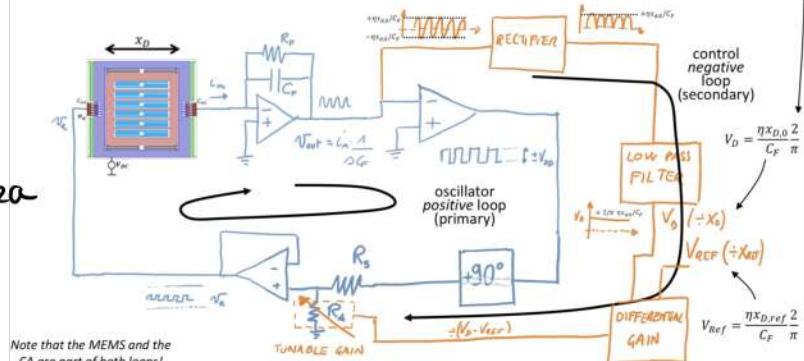
Dipendente dal segnale della differenza abbiamo agire sul loop principale. Agiamo su  $R_U$ , se la differenza è maggiore allora ridurremo  $R_U$  in modo che l'impedenza principale diminuisca

Per stabilizzare i segnali dobbiamo fare un loop con step negativo. Dobbiamo mettere un utile loop per stabilizzare il displace.

Il modo più facile per farlo è perdere la tensione d'uscita del charge amplifier e rettificerla e per usare un LPF.

Schematic view of an automatic-gain-control loop:

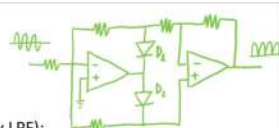
- take the AC (sine) signal at the CA output (**proportional to  $x_{D,0}$** );
- rectify and low-pass filter → you now have a DC signal proportional to  $x_{D,0}$ ;
- compare it with a reference  $V_{REF}$  related to the motion  $x_{REF}$  you want to set;



Circuiti per fare la rettificazione e de-fuga segnale per il LPF? e come facciamo la tunable resistance

#### Rectifier:

- full-wave** approach using two diodes

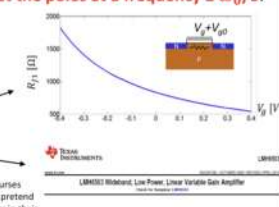


#### LPF:

- any topology (e.g. active RC, or Sallen-key LPF);
- which frequency?
- the rectified waveform has components at DC (which we want to save) and at  $2\omega_0$ , which we shall filter → **set the poles at a frequency  $\leq \omega_0/5$** .

#### Tunable gain:

- n-FET resistance in Ohmic region
  - acting on the gate voltage, we can change the drain-source resistance;
- variable gain amplifier (VGA).



In generale per fare la tunable resistance usiamo un mos in triodo in modo da quando variamo la tensione d'uso si sia capi' cambia la corrente

Studiamo cosa succede nel modello della forza di coriolis.

Ricordiamo che il sensing del giroscopio è fatto con patti paralleli mentre per mettere in oscillazione l'imbardia usiamo la topologia a delta intrecciata, perché così abbiamo + displace. Dobbiamo verificare che per la topologia a patti intrecciati sia verificata l'approssimazione a piccoli displace.

Dobbiamo perciò verificare che il displace  $y_{S,0}$  sia piccolo rispetto al gap.

Vediamo se è vero e perciò usiamo

i patti paralleli perché abbiamo meno errore di linearità ed inoltre il transduction factor è migliore.

- remember that **PP sensing** will be preferable to CF if **displacements  $y_{S,0}$  are small** compared to the gap.

$$y_{S,0} = \frac{x_{D,0}}{\Delta \omega_{BW}}$$

Typical drive displacement  $x_{D,0}$  in MEMS gyroscopes:

- about 5 μm

Minimum required bandwidth  $\Delta \omega_{BW}$  (application dependent):

- about 200 Hz (consumer and automotive cases)

Maximum angular rate to be measured (FSR) from specs:

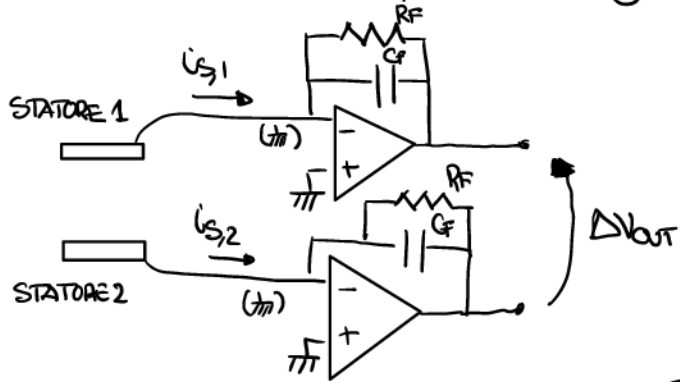
- about 2000 dps (consumer and automotive cases) → about 30 rad/s

$$y_{S,0} = \frac{5 \cdot 10^{-6} m}{2 \pi \cdot 10^2 \frac{rad}{s}} \cdot 3 \cdot 10 \frac{rad}{s} = 1.2 \cdot 10^{-7} m = 120 nm$$

Ok, small displacement (<< typical gaps).

Ok the use of PP (high sensitivity, no linearity issues).

Vediamo quindi come fare questo sensing.



$$i_{S,0i} = V_{DC} \cdot \frac{dC_{Si}}{dt}$$

$$= V_{DC} \cdot \frac{dC_{Si}}{dy} \cdot \frac{dy}{dt}$$

Io so che il segnale è sinusoidale alla frequenza di risonanza, perciò

$$= V_{DC} \cdot \frac{C_{Si}}{g} \cdot y_{Si} \cdot \omega_0$$

dovrebbe essere l'ampiezza del  $\omega$  perché è la derivata di un coseno/seno.

Perciò possiamo scrivere che

$$V_{out,0i} = \frac{i_{S,0i}}{\omega_0 \cdot C_F} = \frac{V_{DC}}{C_F} \cdot \frac{C_{Si}}{g} \cdot y_{Si}$$

Perciò

$$\Delta V_{out,0} = 2 \frac{V_{DC}}{C_F} \cdot \frac{C_{Si}}{g} \cdot y_{Si} = 2 \frac{V_{DC}}{C_F} \cdot \frac{C_{Si}}{g} \cdot \frac{X_{Dif}}{\Delta \omega_B} \cdot \Omega$$

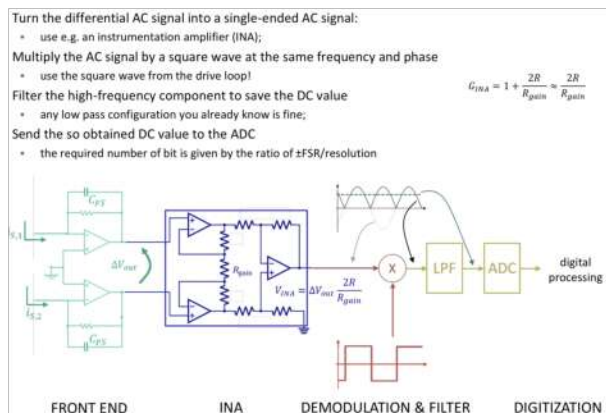
Perciò si ricava che

$$\frac{\Delta V_{out,0}}{\Omega} = 2 \cdot \frac{V_{DC}}{C_F} \cdot \frac{C_{Si}}{g} \cdot \frac{X_{Dif}}{\Delta \omega_B}$$

*è la Sensitività*

## Demodulazione

Dobbiamo farcire il segnale differenziale a uno singolo trante un opamp da strumentazione, moltiplichiamo il segnale in AC alla stessa frequenza  $\omega_0$ , poi facciamo un LPF e poi mettiamo tutto in digitale.



Ma perché facciamo una demodulazione sincrona e non facciamo dire prima con la rettificazione? (modulazione non sincrona) Non facciamo questa perché non tiene conto della fase (se ho un cos e un sin e li rettifico all'antironi posso distinguere) e quindi perdo il segnale.

## Architetture dei giroscopi

Come fa il giroscopio a fare un rejecting delle accelerazioni nella sensing diretta della forza di coriolis?

Iniziamo confrontando un tipico valore del dispositivo detto da accelerazioni e delle forze di coriolis

So far, we **neglected** the fact that a **linear acceleration** – and not only an angular rate – can occur on the suspended mass. Let us check how **disturbing** this can be:

- effect of a **consumer FSR acceleration** (about  $18 \text{ g}$ ) on a gyro mass with a resonance e.g. at 5 kHz:

$$y_s = \frac{18 \cdot \bar{g}}{\omega_0^2} = \frac{18 \cdot 9.8 \frac{m}{s^2}}{(2\pi \cdot 5000 \text{ Hz})^2} = 176 \text{ nm}$$

- effect of a **Coriolis force** (**at the resolution limit**, e.g. 100 mdp/s, about 2 mrad/s) for a device moving  $5 \mu\text{m}$  and having a 200 Hz bandwidth:

$$y_{s,0} = \frac{5 \cdot 10^{-6} \text{ m}}{2\pi \cdot 2 \cdot 10^2 \frac{\text{rad}}{\text{s}}} \cdot 2 \cdot 10^{-3} \frac{\text{rad}}{\text{s}} = 8 \text{ pm}$$

We conclude that **accelerations are effectively disturbing**:

- the example shows an effect of >20000 times the resolution to be measured...
- even if the acceleration is not modulated at  $\omega_0$  and could be thus partially filtered, its effects are huge and it would be better to avoid such signals in the readout chain.

Notiamo che gli effetti delle accelerazioni sono molto più potenti di quelli della forza di Coriolis.

Abbiamo quindi 2 modi per capire che il veloce del vibratore non è una forza di Coriolis, il primo è che l'accelerazione non è modulata a  $\omega_0$  mentre la forza C sì.

Dunque non sono modulate con un LPF non riusciamo a eliminare tutto quindi le accelerazioni sono in pratica disturbi.

Dobbiamo fare sì che le accelerazioni non vadano a 100 percenti sono gestiti dai disturbi vere e proprie più aumentato, perciò tipicamente si prendono due vibrazioni 2D. Per risolvere ulteriormente il problema poi possono usare 2 giroscopi. E supponiamo che in ogni punto nel tempo, la stessa velocità è verso opposto,  $v_x = -v_y$ . accade quindi che anche le 2 forze di Coriolis sono uguali e opposte ma le accelerazioni avranno la stessa direzione, perciò se troviamo il modo di sottrarre, 2 segnali abbiano cancellato il contributo delle accelerazioni. Il problema è che questo succede solo quando le 2 si muovono alla stessa velocità. Per fare sì che questo sia vero usiamo 2 giroscopi con una terna forza di forza, uno, giroscopi a fase opposta ma alla stessa freq d'oscillazione.

Rather than designing two separate devices, it is **useful to couple them through a spring called tuning fork (TF)**:

- this ensures a single frequency for the anti-phase drive mode, and avoids the chance that two separate drive modes have different frequencies due to process nonuniformities.



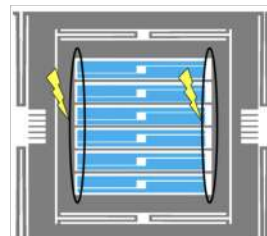
The **Coriolis force** and the sense mode are in **anti-phase** too:

- with a **suitable arrangement of PP stators**, accelerations will be rejected as a common mode signal.



**Sensitivity calculation:**  
- each half undergoes the same y, seen so far  
- the overall capacitance variation is doubled  
- the overall sensitivity is doubled...  
... but the area is obviously doubled as well

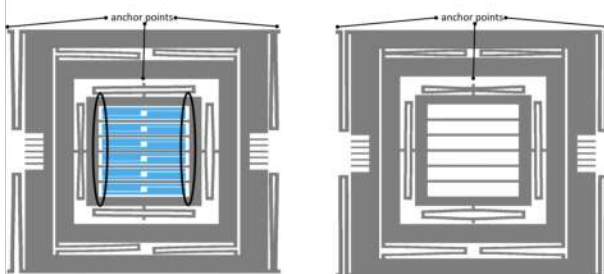
Un altro problema dei giroscopi è dato dalle capacità parassite che si possono creare a causa di effetti di fringing quando l'inner plate si avvicina troppo agli stator (si verificano perché abbiano il risuonatore).



Allora in questi casi possono usare un **doubly decoupled gyroscope** che ha meno la massa interna.

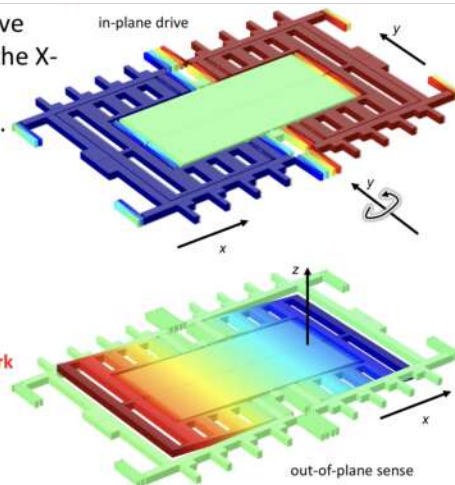
With this further decoupling, we have now three frames:

- drive frame** → moving along X-direction
- Coriolis frame (**decoupling frame**) → dragged in the X-direction by the drive mode, pushed in the Y-direction by the **Coriolis force**;
- sense frame** → not moving along the drive direction (note the new anchor point), pushed along the sense direction by the **Coriolis frame**.



## X and Y-axis gyroscope

Y- (or X-) axis gyroscopes have usually a drive mode along the X- (or Y-) axis, with the sense mode along the vertical axis.



They usually feature the following characteristics:

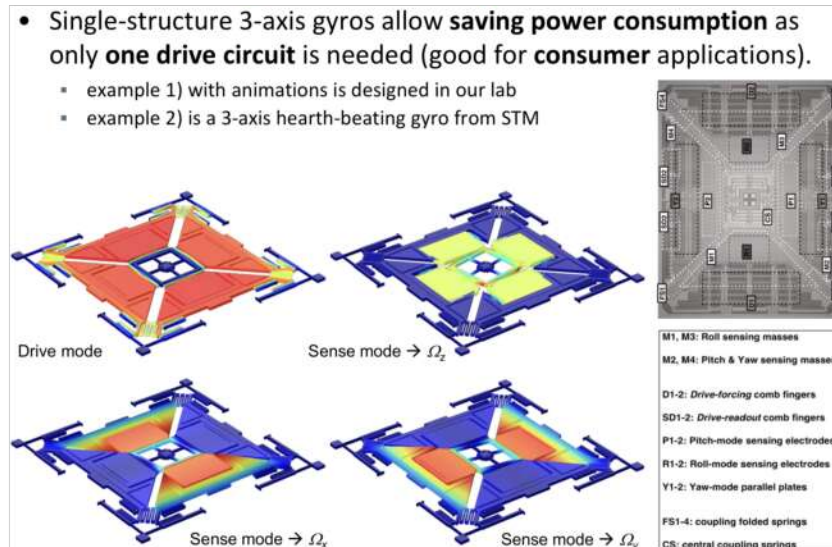
- **rotation** rather than translation
  - as seen for accelerometers;
- **readout capacitive plates** designed **beneath the structure**;
- anti-phase, dual-mass, **tuning-fork drive mode**;
- **differential motion of the sense mode** to reject accelerations (like in Z-axis).

The other axis is obtained just by tilting this device by 90°.

Vogliamo sempre cedere il movimento torsionale.

## Gyroscope 3 modalico (wico device)

- Single-structure 3-axis gyros allow **saving power consumption** as only **one drive circuit** is needed (good for **consumer applications**).
  - example 1) with animations is designed in our lab
  - example 2) is a 3-axis heart-beating gyro from STM



## Gyroscope 3

La non linearità dei gyroskopî è tipicamente trascurabile, invece dato che i gyroskopî utilizzano segnali modulati in AM allora il concetto di Bande è estremamente importante.

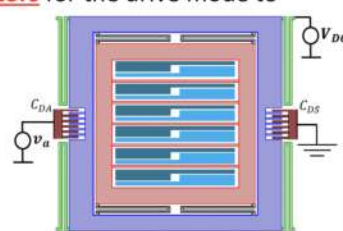
We saw in the last class that the sensitivity is proportional to the drive displacement amplitude, which is itself proportional to:

- applied AC (actuator) voltage;
- applied DC (rotor) voltage;
- **drive quality factor**. the control acts on this pair

So, if we want to maximize the sensitivity while **keeping relatively low voltages** ( $v_a$  should be within typical IC power supplies, and  $\ll V_{DC}$ ), it is useful to exploit **high Q factors** for the drive mode to reach large displacements  $x_{D,0}$ .

This is why it is **preferable to use comb-finger actuation** and sensing w.r.t. PP, for the gyro drive mode:

- b.t.w., PP drive-detection would be too nonlinear at large displacements.



Noi sappiamo che

$$X_{\text{ref}} \propto Q_D V_{DC} \cdot V_a$$

dobbiamo sempre soddisfare che  $V_a \ll V_{DC}$  (dotta dai risonatori). Però per avere displazimenti  $X_{\text{ref}}$  grandi senza rompere questa regola allora dobbiamo usare  $Q_D$  grandi.

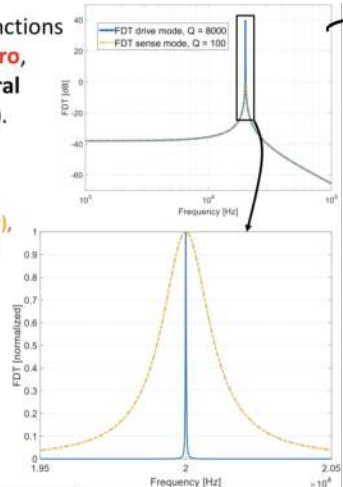
Capiamo allora perché usiamo le dita intrecciate come sistema di risonatore

Però per la sense direction ho dei pietti paralleli che potrebbero darci l'effetto squeezed film, e quindi miglior damping.  $\Delta\omega_{BW} \propto b_{BW} \propto 1/Q_S$   
Ma da vedremo che per la sense direction (e non per la direzione di movimento) vorremo un  $Q_S$  non troppo grande altrimenti  $\Delta\omega_{BW}$  diventa troppo piccolo.

We now report sample transfer functions of the **two modes of a matched gyro**, with Q factors in the order of several 1000s (drive) and few 100s (sense).

Note that:

- the system response is given by the **sense mode transfer function (yellow)**, excited by the Coriolis force (blue) at a frequency corresponding to the **drive mode frequency  $\omega_0$**  times the frequency of the angular rate  $\omega$ :
- $$F_{Cor,0} \propto v_{D,0}(\omega_0) \cdot \Omega(\omega_0)$$
- therefore the situation shown on the right is valid:
    - for perfect mode matching ( $\omega_s = \omega_D = \omega_0$ )
    - for a DC angular rate only ( $\omega_\Omega = 0$ )!



Questo è il grafico con le 2 funz. di trasferimento del giroscopio (come detto prima la doppia del movimento a Q elevato mentre l'altra ha Q minore)

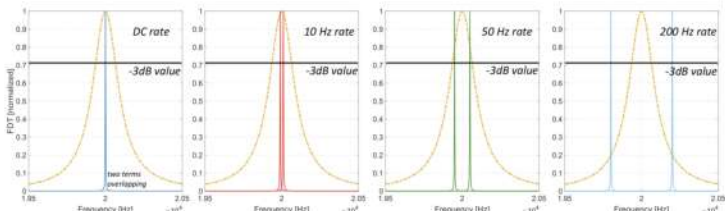
La Forza di Coriolis è il prodotto dell'angolare rate per la velocità di driving se noi supponiamo che l'angolare rate sia costante e la velocità si trovi esattamente su  $\omega_0$  allora ho che la forza di coriolis in frequenza è così in altre parole di essere composta da un'unica funzione sono composta da una funzione (Mode Matching) MA QUESTO ACCADE UNICAMENTE SE  $\Omega$  È COSTANTE E NON DIPENDE DA  $\omega$ , INFATTI SE  $\Omega(\omega_0)$  ALLORA AVREBEMMO CHE IL PRODOTTO

$$F_{Cor} \propto V_D(\omega_0) \cdot \Omega(\omega_0) \quad \text{NON SAREBBE A } \omega_0$$

- The sensing bandwidth of a gyroscope represents the maximum frequency of the angular rate that a gyro can measure (-3 dB loss).
- Assume that we have an AC angular rate (e.g. sinusoidal):
  - the frequency of Coriolis force components is given by the sum/difference of the Coriolis force AC frequency  $\omega_\Omega$  and of the drive mode at  $\omega_0$ !

$$F_{Cor} = 2 m_s v_{D,0} \cos(\omega_0 t) \Omega(t) = 2 m_s v_{D,0} \cos(\omega_0 t) \Omega_0 \cos(\omega_\Omega t)$$

$$F_{Cor} = 2 m_s v_{D,0} \frac{1}{2} [\cos([\omega_0 + \omega_\Omega]t) + \cos([\omega_0 - \omega_\Omega]t)]$$



Notiamo che abbiamo un comportamento di **frequencies splitting** che può partire i 2 segnali fuori della banda di 3 dB.

Noi abbiamo detto che la banda è  $D_{BW}$  ma non lo abbiamo mai dimostrato. Facciamolo:

$$\frac{Y_S(s)}{F_{Cor}} = \frac{1}{m_s} \cdot \frac{1}{s^2 + s \frac{\omega_0 \cdot \omega_0}{Q_s} + \omega_0^2}$$

Possiamo scrivere

$$\frac{Y_S(j\omega)}{F_{Cor}} = \frac{1}{m_s} \cdot \frac{1}{-\omega^2 + j \frac{\omega_0 \omega_0}{Q_s} + \omega_0^2}$$

Possiamo scrivere che

$$\left| \frac{Y_S(j\omega)}{F_{Cor}} \right| = \frac{1}{m_s} \cdot \frac{1}{\sqrt{(\omega_0^2 - \omega^2)^2 + \left( \frac{\omega_0 \omega_0}{Q_s} \right)^2}}$$

$$\text{Prendiamo } \omega = \omega_0(1 \pm 1/2Q_s)$$

Dunque

Voglio vedere il voto della FDT per valori  $\omega = \omega_0 \pm D_{BW}$   
Per ciò

$$\omega_0 \pm D_{BW}/2ms$$

oppure

$$\omega_0 \pm \omega_0/2Q_s$$

$$\frac{Y_S}{F_{Cor}} \left[ \omega_0(1 \pm 1/2Q_s) \right] = \frac{1}{m_s} \cdot \frac{1}{\sqrt{\left( \omega_0^2 - \omega^2 - \frac{\omega_0^2}{4Q_s^2} + \frac{\omega_0^2}{Q_s^2} \right)^2 + \left( \frac{\omega_0^2}{Q_s} \pm \frac{\omega_0^2}{2Q_s^2} \right)^2}}$$

Però

$$= \frac{1}{m_s} \cdot \frac{1}{\sqrt{2 \left( \frac{\omega_0^2}{Q_s} \right)^2}} = \frac{1}{12} \cdot \frac{1}{m_s} \cdot \frac{Q}{\omega_0^2}$$

Trascurando i parziali divisi per  $Q_s^2$

noi sappiamo che  $\omega_0 = \sqrt{k/m}$  perciò

$$= \frac{1}{\sqrt{2}} \cdot \frac{Q_S}{K_S} \quad \text{Seppiamo che è il picco della Fdt}$$

L'ampiezza della Fdt è ridotta di  $\sqrt{2}$  da e' esattamente la banda, perciò  $\Delta\omega_{BW}$  è la banda

Abbiamo perciò dei trade off sulla banda

Vediamo che la sensitività dipende dall'opposto della banda, perciò se aumentiamo troppo la banda la sensitività diminuisce e viceversa.

Nel giroscopi mode matched tutte e 2 le sensitività sono in funzione della banda e quindi del coefficiente di damping. Questo significa che entrambe dipendono dalla temperatura. (CRITICO)

## RUMORE NEI GIROSCOPI

Let us now calculate the **thermomechanical noise** for a gyroscope.

We have **two decoupled modes**, so we should consider the thermomechanical **noise contribution from each of them**.

Drive mode:

- Brownian noise in terms of force on the drive frame:  $S_{Fn} = 4 k_B T b_D$  [N<sup>2</sup>/Hz]
- this noise is transferred into a drive displacement noise through the drive mode transfer function. In turns, it becomes a "sensitivity noise". Assuming for sake of simplicity that this contribution is constant over the drive mode peak width  $\Delta f_{BW,D}$ , we obtain:  $S_{Xn} = 4 k_B T b_D \cdot \left(\frac{Q_D}{k_D}\right)^2$  [m<sup>2</sup>/Hz]

$$\sqrt{S_{Xn} \cdot \Delta f_{BW,D}} = \sqrt{4 k_B T b_D \left(\frac{Q_D}{k_D}\right)^2 \frac{f_0}{2 Q_D}} = \sqrt{4 k_B T b_D \frac{Q_D \omega_0}{k_D^2 4 \pi}} = \sqrt{k_B T \frac{k_D}{\omega_0 Q_D} \frac{Q_D \omega_0}{k_D^2} \frac{1}{\pi}} = \sqrt{\frac{k_B T}{\pi} \frac{1}{k_D}}$$

- numerical example** for typical  $k_D = 50$  N/m  $\rightarrow 5$  pm  $\rightarrow$  negligible effect on the sensitivity (about 1 ppm variation around 5 μm  $\rightarrow$  negligible!).

Vediamo se questo è vero anche per la Sense Mode:

Facciamo gli stessi conti di prima. Vediamo che il risultato non è trascurabile perciò calcoliamo questo NERD.

$$\text{NERD} = \sqrt{S_{Sm}}$$

Noi sappiamo che

$$\frac{y_S}{\Omega} = \frac{x_d}{\Delta\omega_{BW}} \rightarrow S_{Sm} = S_{Fn} \left( \frac{\Delta\omega_{BW}}{x_d} \right)^2$$

Therefore, gyros operated at resonance clearly show a marked sensitivity-bandwidth trade-off:

$$\frac{\Delta V_{out,0}}{\Omega} = 2 \frac{V_{DC} C_S}{C_{FS} g} \frac{x_{D,0}}{\Delta\omega_{BW}} \quad \boxed{\frac{\Delta V_{out,0}}{\Omega} \Delta\omega_{BW} = \text{constant}} \quad \Delta\omega_{BW} = \frac{b_S}{2 m_S}$$

Or, in other words (quite familiar to electronic guys) we can say that the gain-bandwidth product is constant.

So, these slides verify why a too small damping coefficient  $b_S$  in the sense mode (too large  $Q_S$ ) is not suitable (see discussion at slide n. 5), as it would determine high sensitivity but a too low bandwidth:

- e.g. if we assume the same Q factor as for the drive mode (slide 6), we get a bandwidth which is not compatible with almost any applications:

$$\Delta f_{BW} = \frac{f_0}{2 Q} = \frac{20000 \text{ Hz}}{2 \cdot 8000} = 1.25 \text{ Hz}$$

Calcoliamo il rumore del driving mode. Ricavato il solo rumore per vedere se è trascurabile vediamo che variazione di displaceoment porta questo rumore in confronto al tipico displaceoment del driving.

Vediamo che questo rumore è trascurabile

The second contribution is related to the **sense mode**. We do the same calculation

$$S_{Fn} = 4 k_B T b_S$$

$$S_{Yn} = 4 k_B T b_S \cdot \left(\frac{Q_S}{k_S}\right)^2$$

$$\sqrt{S_{Yn} \cdot \Delta f_{BW}} = \sqrt{4 k_B T b_S \left(\frac{Q_S}{k_S}\right)^2 \frac{f_0}{2 Q_S}} = \sqrt{4 k_B T \frac{\omega_0 m_S}{Q_S} \left(\frac{Q_S}{k_S}\right)^2 \frac{f_0}{2 Q_S}} = \sqrt{4 k_B T \frac{\omega_0 m_S}{k_S^2} \frac{\omega_0}{4 \pi}} = \sqrt{\frac{k_B T}{\pi} \frac{1}{k_S}}$$

As the sense frame is usually smaller (lower mass, consider only  $m_S$  than the driven frames, its stiffness is usually a bit smaller too, to get the same resonance:

- numerical example for typical  $k_S = 30$  N/m  $\rightarrow 7$  pm (not negligible for typical sense mode displacements)
- $\rightarrow$  we can calculate the equivalent angular rate noise using the sensitivity:

$$y_S = \frac{x_{D,0}}{\Delta\omega_{BW}} \Omega \rightarrow \Omega = \frac{y_S}{x_{D,0}} \Delta\omega_{BW} \rightarrow \sqrt{S_{Sm}} = \sqrt{S_{Yn}} \frac{\Delta\omega_{BW}}{x_{D,0}}$$

Per cui possiamo scrivere la NERD come

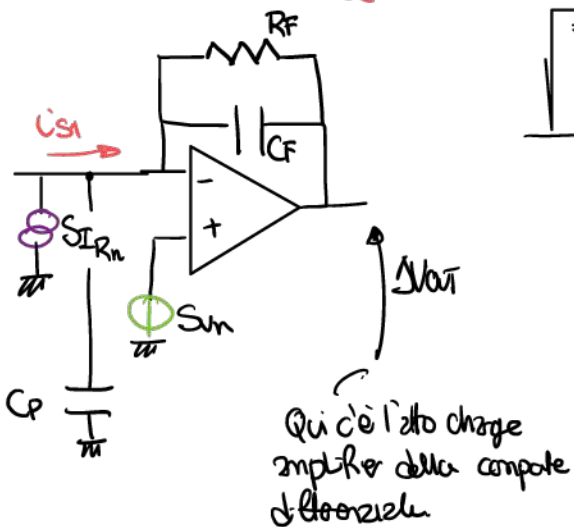
$$\text{NERD} = \frac{\sqrt{4 k_B T b_s \left( \frac{Q_S}{K_S} \right)^2}}{(x_d / \Delta \omega_{BW})} = \frac{\sqrt{4 k_B T b_s \cdot \frac{Q_S^2}{K_S^2} \cdot \frac{\omega_0^2}{4 Q_S^2}}}{x_d}$$

ricordiamo che  $\omega_0^2 = K_S/m_S$  perciò

$$= \frac{\sqrt{K_B \cdot T \cdot b_s \cdot \frac{1}{\omega_0^4 m_S} \cdot \omega_0^2}}{x_d} = \frac{\sqrt{K_B T b_s}}{x_d \cdot m_S \cdot \omega_0} = \text{NERD} \quad \left[ \frac{\text{rad/s}}{\text{Hz}} \right]$$

Come possiamo migliorare la NERD? Sappiamo che  $x_d \cdot \omega_0$  è circa la velocità lungo la direzione parallela alla  $\omega_x$ . La massa  $m_S$  è la forza di Coriolis. Ha senso, maggiore è la forza di Coriolis minore è l'effetto dello stesso rumore sul totale.

### Rumore dell'elettronica



no 2 gen perciò sono d'ellittiche

$$\frac{\frac{1}{2} \cdot \frac{4 k_B T}{R_F} \left( \frac{1}{\omega_0 C_F} \right)^2}{\Delta \omega_{RF} / \omega_0} = \sqrt{S_{Rm, RF}}$$

1^a componente

$$\sqrt{2 S_{Vm} \left( 1 + \frac{C_P}{C_F} \right)^2} = \sqrt{S_{em, ca}}$$

Combiniamo assieme tutti i contributi del rumore

**Combining all noise contributions** we conclude that to improve the gyro noise performance:

$$\begin{aligned} \sqrt{S_{\text{an,tot}}} &= \frac{180}{\pi} \sqrt{\left( \sqrt{\frac{4 k_B T}{2 R_F} \frac{g}{C_S} \frac{\Delta \omega_{BW}}{\omega_0 x_{D,0}}} \right)^2 + \left( \sqrt{\frac{S_{n,op}}{2} \left( 1 + \frac{C_P}{C_{FS}} \right) \frac{C_{FS}}{C_S} \frac{g}{V_{DC}} \frac{\Delta \omega_{BW}}{x_{D,0}}} \right)^2 + \left( \frac{1}{x_{D,0} m_S \omega_0} \sqrt{k_B T b_S} \right)^2} = \\ &\approx \frac{180}{\pi} \frac{1}{x_{D,0}} \sqrt{\left( \sqrt{\frac{4 k_B T}{2 R_F} \frac{g}{2 C_S} \frac{\Delta \omega_{BW}}{\omega_0}} \right)^2 + \left( \sqrt{\frac{S_{n,op}}{2} \frac{C_P g}{C_S} \frac{\Delta \omega_{BW}}{V_{DC}}} \right)^2 + \left( \frac{1}{(\omega_0 m_S) \sqrt{k_B T b_S}} \right)^2} \end{aligned}$$

- it is undoubtedly **useful to increase  $x_D$**  (and, if possible,  $\omega_0$ );
- if the electronics noise dominates (quite common situation):
  - try **increasing the feedback resistance** value (use off-MOS in integrated implementations);
  - try to **lower the parasitic capacitance** (smart routing of interconnections and pads etc...);
  - use the **minimum gap value** (this will however increase  $b_s$  → trade-off);
  - **increase  $V_{DC}$**  as much as you can (not for free: you pay in dissipation).
- if the thermomechanical noise dominates:
  - **increase  $m_S$**  (not for free: either thicken your process – very good option – or pay in area);
  - **decrease  $b_s$**  (not for free: you lose your maximum sensing bandwidth).

NOTE: PP of the sense mode are in principle subject to pull-in issue. However, the frequency (and thus stiffness) is usually much higher than in axels, therefore pull-in issues are generally unlikely to occur.

Vediamo che in tutte le componenti se aumentiamo il drive disponibile il rumore diminuisce (ottimo). Potremo poi anche aumentare  $\omega_0$ .

Altre cose che possiamo fare per ridurre il rumore.

## Giroscopio 4

In questa classe approfondiamo la tecnica del mode matching perché abbiamo variazioni di temperatura e process spreads. Per questo introduciamo la mode-split operation.

Come abbiamo già visto nelle lezioni precedenti nel caso del risonatore il loop di controllo serve a fare sì che le variazioni date dal process spread e dai quality factors non modifichino la forza applicata felec, ma questo non è sufficiente (ci sono altri problemi).

### Problemi della tecnica di Mode matching

A first issue in mode-matched operation is the relatively **limited bandwidth**, and its **relationship** with the **damping coefficient**, and thus with the thermo-mechanical **noise**:

$$\Delta f_{BW} = \frac{f_s}{2 Q_S} = \frac{b_s}{4 \pi m_s}$$

to improve the NERD, the bandwidth is worsened and vice-versa.

$$NERD = \frac{1}{x_d \omega_d m_s} \sqrt{k_b T b_s}$$

There is thus a **marked trade-off** between best achievable noise density (assuming electronic noise negligible) and **maximum sensing bandwidth**. This trade-off passes through the damping coefficient.

Il secondo problema che abbiamo è la difficoltà di fare il matching tra le 2 frequenze. Già ideale è d'altissimo qui inoltre abbiamo anche i process spreads.

Come abbiamo visto nei risonatori possiamo presupporre che all'inizio le 2 frequenze sono separate e poi andiamo a tunerle alla giusta frequenza.

Dobbiamo considerare in questo caso che K dipende dalla temperatura perché il Young's modulus E nella retezza dipende dalla temperatura. Tipicamente E varia di  $-60 \text{ ppm/K}$ , vediamo se è una variazione rilevante. K va diretto con E perciò anche K vale di  $-60 \text{ ppm/K}$  e poi vediamo che la frequenza varia come il cosiddetto coefficiente frequency  $TCF = -30 \text{ ppm/K}$ . È questo un problema?

Supponiamo  $f_{\text{drive}} = 20 \text{ KHz}$  e  $f_{\text{sense}} = 20.6 \text{ KHz}$ , il range di temp è  $-40/125^\circ \text{C}$  per cui variazioni di  $170 \text{ K}$  ( $\pm 85 \text{ K}$ ), ci viene che

$$\Delta f_{\text{drive}} = -30 \frac{\text{ppm}}{\text{K}} \cdot f_{\text{d}} (\pm \Delta T) = \pm 51 \text{ Hz}$$

mentre la sense frequency farà

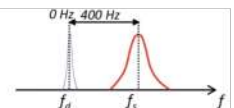
$$\Delta f_{\text{sense}} = -30 \frac{\text{ppm}}{\text{K}} \cdot f_{\text{s}} (\pm \Delta T) = \pm 52,53 \text{ Hz}$$

Quindi anche se facciamo la media delle 2 frequenze a temperatura ambiente notiamo che appena la temperatura varia tutto manda a puttane perché K varia e non dipende dalla frequenza matchata elettronicamente ma del valore base della frequenza

Il primo è un trade off tra banda e NERD, i quali dipendono da bs.

No vogliamo NERD bassa (è il rumore che avremo con elettronica ideale) ma vorremo anche banda larga

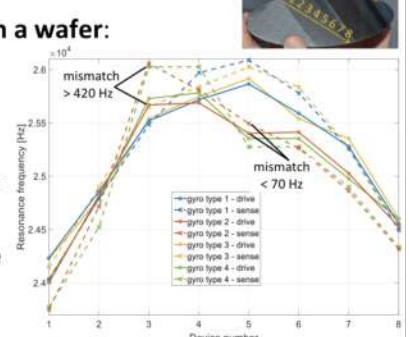
There is an **assumption** in the discussion so far that the two frequencies are **perfectly matched**.



In practice, even with very good design and process, the **frequencies will not be matched**! E.g. due to process spread, typical  $f_s$  values can range within  $f_d \pm 600 \text{ Hz}$  ( $\pm 3\sigma$ ), around a frequency of 20 kHz.

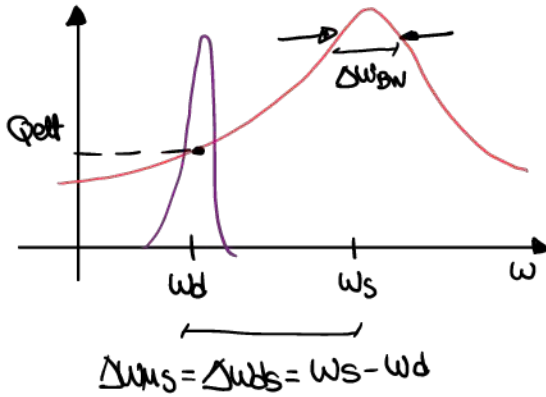
Example of modes distribution on a wafer:

- nonuniformity is mostly due to local differences in DRIE of springs (cubic spring dependence on w).
- nonuniformities affects similarly the two modes of the same gyro, as their springs lie close one another.
- however, a residual ( $f_s - f_d$ ) difference still remains, varying between few 10s Hz to few 100s Hz.



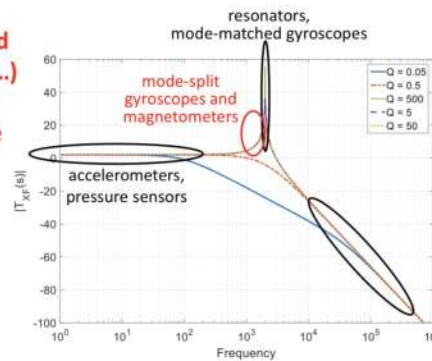
## Mode-split operation.

Cosa succede se usiamo il dispositivo in una zona vicina alla freq di resoneza ma non alla resoneza d'risoneza vediamo che gli effetti di zappone del giroscopio abbiano un po' di amplificazione rispetto alla componente continua. Calcoliamo quanto è questa amplificazione



MEMS devices operate in several regions of the transfer function:

- accelerometers typically measure forces occurring far before resonance; they usually have relatively low Q factors (typically < 10, or even < 1);
- mode-matched gyros measure a Coriolis force occurring around resonance and require high quality factors (typically few thousand to ten thousand);
- in an alternative topology, gyros and other sensors (e.g. magnetometers...) can operate measuring a force that occurs slightly before the resonance frequency** (so called **off-resonance** or **mode-split operation**);
- no device operates beyond the resonance frequency.



Supponiamo che  $\Delta\omega_{ds} \ll \omega_s$

e che  $\Delta\omega_{ds} \gg \Delta\omega_{Bns}$

Allora scriviamo la sensing mode transfer function

$$\frac{y_s}{F_{ar}}(s) = \frac{1}{m_s} \cdot \frac{1}{s^2 + \frac{\omega_s \cdot s}{Q_s} + \omega_s^2}$$

e la calcoliamo alla frequenza della drive mode

$$\left| \frac{y_s}{F_{ar}}(j\omega_d) \right| = \frac{1}{m_s} \cdot \frac{1}{\sqrt{(\omega_s^2 - \omega_d^2)^2 + \left(\frac{\omega_s \cdot \omega_d}{Q_s}\right)^2}}$$

$$= \frac{1}{m_s} \cdot \frac{1}{\sqrt{(\omega_s^2 - \omega_s^2 - \Delta\omega_{ds}^2 + 2\Delta\omega_{ds}\omega_s)^2 + \left(\frac{\omega_s^2 - \omega_s \Delta\omega_{ds}}{Q_s}\right)^2}}$$

Seppiùmo che  $\Delta\omega_{ds} \ll \omega_s$  &  $\Delta\omega_{ds} \gg \Delta\omega_{Bns}$

$$\begin{aligned} &= \frac{1}{m_s} \cdot \frac{1}{\sqrt{(2\Delta\omega_{ds} \cdot \omega_s)^2 + \omega_s^4 / Q_s^2}} \\ &= \frac{1/m_s}{2\omega_s \sqrt{\Delta\omega_{ds}^2 + \frac{\omega_s^2}{4Q_s^2}}} = \frac{1/m_s}{2\omega_s \sqrt{\Delta\omega_{ds}^2 + \Delta\omega_{Bn}^2}} \quad \text{Trascrivibile} \\ &= \frac{1}{m_s} \cdot \frac{1}{2\omega_s \cdot \Delta\omega_{ds}} \end{aligned}$$

ricordando  $\omega_s = \sqrt{\frac{K_s}{m_s}} \rightarrow m_s = \frac{K_s}{\omega_s^2}$  s'ha

$$= \frac{\omega_s^2}{K_s} \cdot \frac{1}{2 \omega_s \Delta \omega_s}$$

Perciò

$$\left| \frac{y_s}{F_{cor}} (\text{j}\omega) \right| = \frac{1}{K_s} \cdot \frac{\omega_s}{2 \Delta \omega_s}$$

$$= \frac{Q_{eff}}{K_s}$$

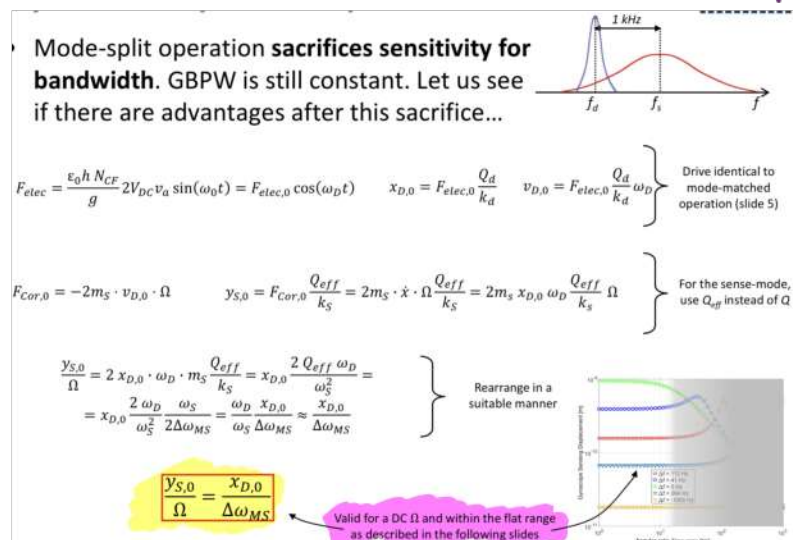
Ampiezza di sbilenco in DC

Ampiezza di sbilenco oltre la DC, questo lo chiamiamo  $Q_{eff}$ .

Notiamo che  $Q_{eff}$  non dipende da  $Q$  e quindi non ha tutti i legami del Potere di qualità della sense mode che dipende dalla temperatura.

## Sensitività della condizione di mode split.

Mode-split operation **sacrifices sensitivity for bandwidth**. GBPWR is still constant. Let us see if there are advantages after this sacrifice...



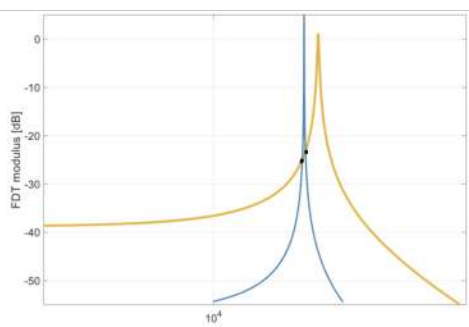
Come vediamo  $\Delta \omega_s$  non è esattamente la banda nella condizione di mode split ma è molto vicina ad esserlo.

Potremo dire che nel caso Mode split noi sacrificiamo la sensibilità per avere banda.

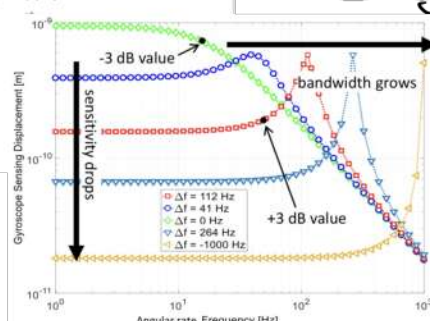
Hypotheses done:

- \*  $Q_s \gg 1$
- \*  $\Delta \omega_{MS} \ll \omega_s$
- \*  $\Delta \omega_{MS} \gg \Delta \omega_{BW}$

Graphical explanation of the **sensitivity vs  $\omega_\Omega$  frequency** (i.e. the **bandwidth graph**):



Noto che quando aumenta  $\omega_\Omega$  la curva blu si sposta più ad alta frequenza rispetto alla gialla. Nota poi che più verde in alto frequenza più l'amplificazione (da un lato dell'intersezione tra curva blu e gialla) è maggiore rispetto all'altro. Questo fa sì che ci sia un punto di guadagno.



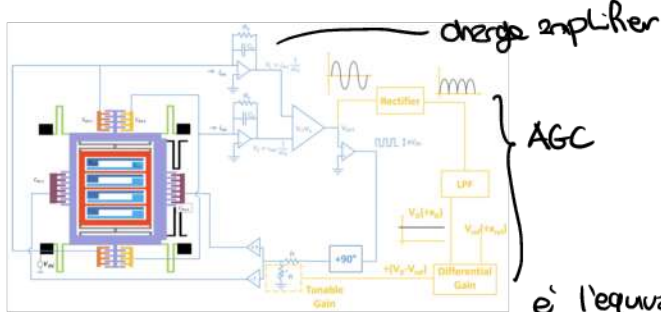
Vediamo che più riducendo la sensitività maggiore è la banda (portata).

Tipicamente possono raggiungere  $> \frac{1}{2} \Delta \omega_s$ .

## PROBLEM

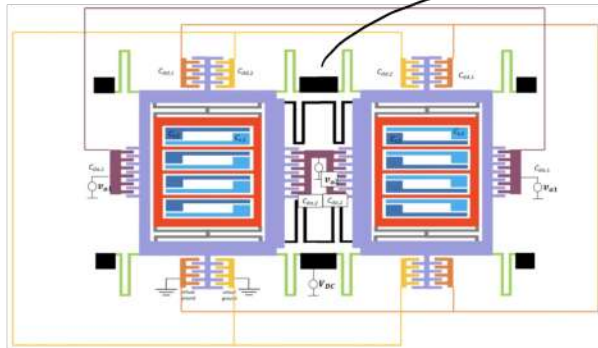
We are asked to design a tuning-fork MEMS gyroscope. The sensor parameters, for half the structure, are given in Table 1. The drive mode is actuated in a push-pull configuration through the set of comb electrodes  $C_{da,1}$  and  $C_{da,2}$ , with square waves (see Fig. 1). Drive detection stators ( $C_{dd,1}$  and  $C_{dd,2}$ ) are kept to the oscillator front-end virtual ground; the rotor bias is  $V_{DC} = 10$  V. The gyroscope is sketched in Fig. 2.

- Determine the AGC reference  $V_{ref}$  to target a drive amplitude of 7  $\mu\text{m}$ .
- Evaluate the in-phase and anti-phase drive resonant modes, explaining which frames and springs they involve. Determine the sense stiffness to operate in matched mode.
- Paying attention to the drive configuration, choose the number of actuation comb-fingers to have a nominal 0.5-V peak-to-peak square-wave actuation voltage.
- Evaluate the electromechanical sensitivity of the gyroscope in fF/dps.



e' l'equivalente della terra per le noci.

(Gyroscope completo, con 2 paia di Combfinger netto in moto e poi con 2 paia 2 paia di combfinger leggi il disegno).



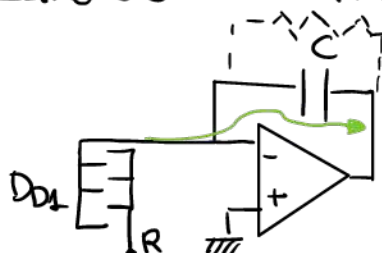
Punto a) All'AGC noi imponiamo una tensione di riferimento per tesse fissate il tutto. Adesso dobbiamo calcolare tutto per vedere se la durezza motrice è 7um.

$$X_d = 7 \mu\text{m}$$

$$\dot{X}_d = X_d \cdot \omega_0$$

$\uparrow$   
non lo scriviamo  
ma è sinusoidale

Studiamo uno dei 2 rivelatori



$$i_{DD1} = \eta_{DD1} \cdot \dot{X}_d$$

$$V_1 = \frac{i_{DD1}}{\omega_0 C_F} = \eta_{DD1} \cdot \frac{X_d}{\omega_0 \cdot C_F} = \eta_{DD1} \cdot \frac{X_d}{C_F}$$

Allora  $V_2 = -V_1$  (è la tensione dell'altro rivelatore differenziale)

Perciò quando faccio la sottrazione ho che  $\Delta V = V_1 - (-V_1) = 2V_1$

Seppiamo che dopo la differenza poi si fa una rettificazione e si fa un LPF.

Noi seppiamo che la prima armonica ha composta  $\frac{2}{\pi}$  perciò la tensione in uscita del LPF è

$$V_{ref,LPF} = \frac{2}{\pi} \cdot 2V_1 = V_{ref}$$

General		
$\epsilon_0$	$8.85 \cdot 10^{-12} \text{ F/m}$	Dielectric constant in vacuum
$E$	150 GPa	PolySi Young's modulus
$h$	24 $\mu\text{m}$	Process thickness
$m_e$	2 nkg	External frame mass
$m_i$	2.22 nkg	Inner frame mass
$g$	2 $\mu\text{m}$	Comb and parallel plate gap
Drive		
$b_d$	$0.5 \cdot 10^{-7} \text{ N/(m/s)}$	Drive damping coefficient
$N_{CF,dd}$	30	Number of drive-detection comb fingers
$L_{fd}$	180 $\mu\text{m}$	Drive fold length
$w_{fd}$	3 $\mu\text{m}$	Drive fold width
$n_{sd}$	4	Number of drive springs
$n_{fd}$	2	Number folds for each drive spring
$L_{ftf}$	155 $\mu\text{m}$	Tuning fork fold length
$w_{ftf}$	3.1 $\mu\text{m}$	Tuning fork fold width
$n_{stf}$	2	Number of tuning fork springs
$n_{ftf}$	2	Number of folds for each tuning fork spring
Sense		
$b_s$	$1 \cdot 10^{-7} \text{ N/(m/s)}$	Sense damping coefficient
$n_{PP}$	4	Number of differential parallel-plate electrodes
$L_{PP}$	250 $\mu\text{m}$	Parallel plate length
Electronics		
$C_F$	500 fF	Feedback capacitance

$$\text{Perciò la nostra } V_{\text{ref}} = 2 \eta_{\text{DDA}} \cdot \frac{X_d}{C_F} \cdot \frac{2}{\pi} = 2 \cdot \frac{E_0 \cdot h N_{\text{OF,DO}}}{g} \cdot V_{\text{ref}} \cdot \frac{X_d}{C_F} \cdot \frac{2}{\pi}$$

Ma quanto scritto qui non basta!! Noi abbiamo 2 giroscopi uniti assieme e anche i pin di sensing sono due. Perciò dobbiamo moltiplicare il tutto per 2 (nella nostra tabella sono dati i dati per solo uno dei 2 giroscopi)

$$V_{\text{ref,Tot}} = 2 \cdot \frac{2 E_0 h N_{\text{OF,DO}} \cdot 2}{g} \cdot \frac{X_d}{C_F} \cdot \frac{2}{\pi} =$$

## Punto 2 : Frequenze di risonanza della in-phase e anti-phase.

Quando la topologia è fatta per funzionare in antifase con le 2 masse dinamiche che si alternano. Sia le molle verdi che quelle nere sono soggette a compressione e rilassamento.

Tuttavia è possibile da evita una modalità in fase in cui le 2 masse si muovono in sincro. In questo caso solo le molle verdi sono soggette a compressione e rilassamento mentre le nere no.

### • Frequenza in fase

$$f_{\text{inphase}} = \frac{1}{2\pi} \sqrt{\frac{K_{\text{inphase}}}{m_{\text{inphase}}}} = \frac{1}{2\pi} \sqrt{\frac{\frac{1}{2} E h \left(\frac{w_d}{h_d}\right)^3}{m_e + m_i}}$$

$$= \frac{1}{2\pi} \sqrt{\frac{33,3 \text{ N/m}}{4,22 \text{ mK}}} = 14,14 \text{ KHz}$$

Faccio i conti con solo metà della struttura tanto poi 2 separa e sotto e si semplifica

Questa è la K di tutte le 4 molle verdi

dobbiamo controllare che questa frequenza sia distante abbastanza dall'anti-phase frequency.

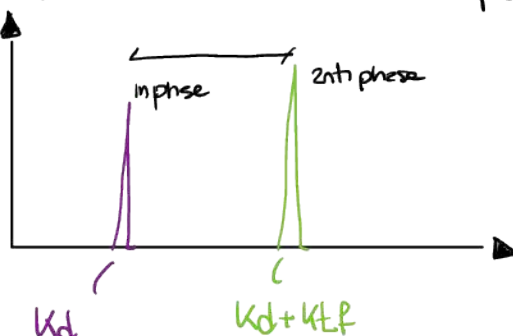
$$f_{\text{ap}} = \frac{1}{2\pi} \sqrt{\frac{K_{\text{ap}}}{m_{\text{ap}}}} = \frac{1}{2\pi} \sqrt{\frac{\frac{1}{2} E h \left(\frac{w_e}{h_m}\right)^3 + 33,3 \text{ N/m}}{4,22 \text{ mK}}} = \frac{1}{2\pi} \sqrt{\frac{33,3 \text{ N/m} + 28,8 \text{ N/m}}{4,22 \text{ mK}}}$$

$$= 19,31 \text{ KHz}$$

stiamo sempre e solo metà struttura.

In questo caso ho solo le 2 molle nere.

Ho perciò una cosa del tipo



Questo è abbastanza distante dell'altra quindi ok.

- Se  $K_{\text{tf}} \ll K_d$  le 2 frequenze sono molto vicine e si disturbano
- Se  $K_{\text{tf}} \gg K_d$  la in phase frequency si sposta in giù, il che andrebbe bene ma noi sappiamo che il giroscopio deve gestire delle accelerazioni nella in phase direction, ma noi sappiamo che  $a = \frac{1}{\omega_{\text{ap}}^2}$  ma se  $\omega$  è bassa allora abbiamo molto

displacement due to non rot. value.

Abbiamo quindi un trade off tipicamente  $K_d \approx K_{tf}$

- Sense stiffness

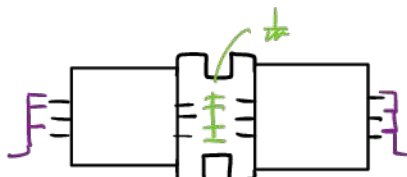
$$\omega_s = \omega_d \rightarrow f_s = f_d$$

$$= \sqrt{\frac{K_s}{m_i}} \rightarrow K_s = (2\pi f_d)^2 \cdot m_i = 32,7 \text{ N} \cdot \text{m}$$

(è maggiore di quella degli accelerometri, perché problemi di pull-in dato che forze elettrostatiche sono trascurabili)

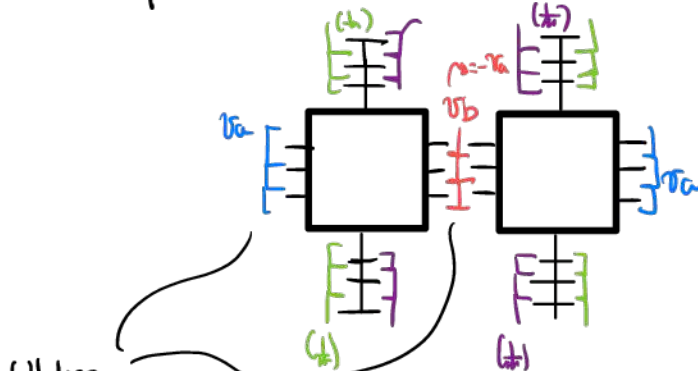
- Punto 3

Single ended actuation and detection scheme



de è diverso da quello che viene usato in questo circuito

- Push pull actuation & differential drive detection



Utilizzo questi 2 per fare il  
displacement

Perciò

$$\begin{aligned} F_{elec} &= \frac{(V_{rot} - V_B)^2}{2} \frac{\partial C_{DA}}{\partial x} - \frac{(V_{rot} - V_a)^2}{2} \frac{\partial C_{DA}}{\partial x} \\ &= \frac{1}{2} \frac{\partial C_{DA}}{\partial x} [(V_{rot} + V_a)^2 - (V_{rot} - V_a)^2] \\ &= \frac{1}{2} \frac{\partial C_{DA}}{\partial x} [V_{rot}^2 + V_a^2 + 2V_{rot}V_a - V_{rot}^2 - V_a^2 + 2V_{rot}V_a] \\ &= \frac{1}{2} \frac{\partial C_{DA}}{\partial x} \cdot 4V_{rot} \cdot V_a = \frac{2 \cdot \epsilon_0 \cdot NCF_{PA} \cdot 2V_{rot} \cdot V_a}{g} \end{aligned}$$

$$F_{elec} = N_{DA} \cdot V_a$$

Abbiamo circa lo stesso risultato, ma allora perché per usare questo abbiamo un vantaggio?

Siamo arrivati a questo risultato senza approssimazioni o piccole segrete tra le tensioni di rotore ecc.

Abbiamo

- 1) Un fattore 2 ( $2V_{rot} \cdot V_a$ )
- 2) No contributo DC
- 3) No high order terms
- 4) No small signal approx.

Allora

$$X_d = 2 F_{elec} \cdot \frac{Q_D}{K_{op}}$$

c'è ci sono 2 giroscopi utili

$$Q_D = \frac{\omega_d (m_c + m_i)}{b_d} = 10240$$

$$z = 62 \text{ N/m}$$

Perciò  $\mathcal{F}_{um} = 2\eta_{DA} \cdot \tau_a \cdot \frac{Q_d}{Kap}$

Noi sappiamo che  $\tau_a$  è un'onda quadra e noi sappiamo che la prima armonica è

$$\mathcal{F}_{um} = 2 \cdot \frac{2 E_{oh} N_{Coil}}{2} \cdot 2 V_{ROT} \cdot \frac{\omega_{rot}^{0.25}}{\pi}$$

$$V_{rot} = 4/\pi \cdot |z|$$

#### PUNTO 4

$$S = 2 \cdot \frac{C_0}{g} \cdot \frac{V_{DD}}{C_F} \cdot \frac{1}{\omega^2} \quad [V/m/s^2]$$

$$Selectronch = \frac{2 C_0}{g} \cdot \frac{1}{\omega^2} \quad [fF/m/s^2]$$

Era questo per gli accelerometri

Per i giroscopi invece ho

$$S = 2 \frac{C_{SO}}{g} \cdot \frac{V_{rot}}{C_{FS}} \cdot \frac{x_d}{\Delta \omega_{BW}} \quad [V/rad/s]$$

$$Selectrogh = 2 \frac{C_{SO}}{g} \frac{x_d}{\Delta \omega_{BW}} \quad [fF/rad/s]$$

Perciò

$$Select = 2 \cdot \frac{E_{oh} L_{pp} K_{pp} \cdot 2}{g} \cdot \frac{\mathcal{F}_{um}}{bs/2ms} =$$

*x è differentiale*

$$\Delta \omega_{BW} = bs/2ms = 25 \text{ rad/s}$$

$$(\Delta f_{BW} = \Delta \omega_{BW}/2\pi = 3 \text{ Hz})$$

Perciò  $Select = 66 \frac{f_F}{rad/s} = 66 \cdot \frac{\pi}{180} \frac{f_F}{dps} = 1,15 \frac{f_F}{dps}$

28.10.2021

Esercizio

2h

#### PROBLEM

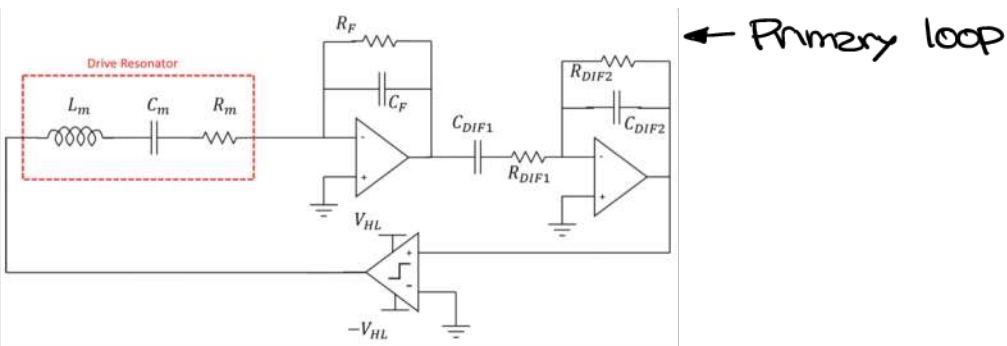
We have to design the electronics needed to sustain the drive oscillation of a MEMS gyroscope. The system should guarantee a maximum sensitivity variation of  $\pm 1.5\%$  within the automotive temperature range ( $-45^\circ\text{C}$  to  $+125^\circ\text{C}$ ). The drive resonator is actuated and detected in single-ended mode.

The drive loop, shown in Fig. 1, is formed by a TCA-based front-end, a differentiator, and a hard-limiter with a dedicated supply. The complete drive oscillator with both primary loop and AGC is shown in Fig. 2. The differential INA gain is given as  $G_{INA} = 1 + \frac{49.4 \text{ k}\Omega}{R_{INA}}$ . The variable-gain concept is implemented by means of acting on the supply voltage of the hard-limiter. Other electromechanical parameters are listed in Table 1.

1. Size the parameters of the primary loop (Fig. 1), in order to obtain the target displacement amplitude,  $x_{a0}$ , at the reference temperature (300 K).
2. Considering the primary loop only (Fig. 1), calculate the maximum percentage variation of the drive amplitude, and evaluate the required compensation factor.
3. Size the parameters of the secondary (AGC) loop of the drive-mode oscillator (Fig. 2), considering the requirement on the maximum sensitivity variation.
4. Size the low-pass filter of the control loop.

Mechanical		
Drive resonance frequency	Symbol	Value
$f_{rd}$		20 000 Hz
Drive Q-factor @ 300 K	$Q_{d0}$	8000
Internal mass	$m_i$	1.5 nKg
External mass	$m_e$	2.5 nKg
Process thickness	$h$	24 $\mu\text{m}$
Gap	$g$	1.8 $\mu\text{m}$
Number of drive comb fingers	$N_{CF}$	40
Target drive displacement amplitude	$x_{a0}$	5 $\mu\text{m}$
Electronics		
Rotor bias voltage	$V_{DC}$	5 V
Supply voltage	$V_{DD}$	$\pm 5$ V
Amplifier voltage output swing	$V_O$	$\pm 4$ V
Minimum capacitance	$C_{min}$	0.2 pF
Secondary (AGC) loop		
Rectifier gain	$G_{REC}$	1
LPF gain	$G_{LPF}$	1
LPF resistance	$R_{LPF}$	3 M $\Omega$

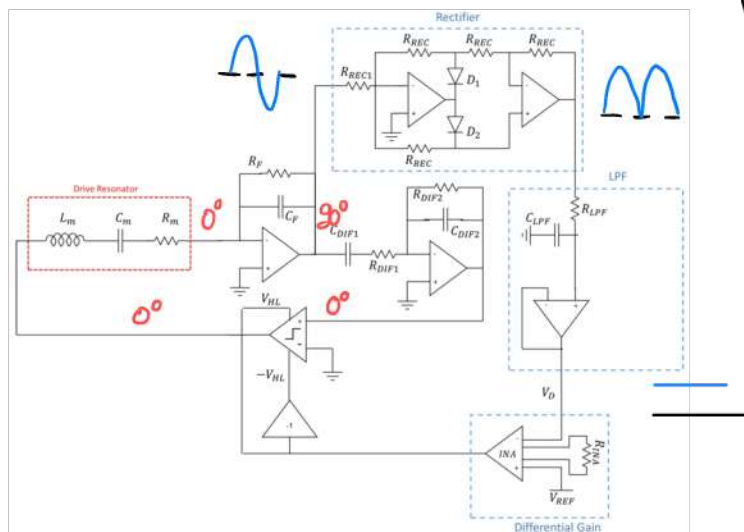
Table 1: Parameters of the gyroscope.



## Domanda 1

Con questa configurazione sappiamo che dobbiamo avere una piccola.

Possiamo fare in modo che con l'ACC io veda a venire i valori  $V_{HL} \approx V_{HL}$  del comparatore.



$V_{REF}$  è la tensione del metrino noi come valore standard.

Vediamo se il loop principale soddisfa Barkhausen. Lo è:

La domanda 1 dice di dimensionare il drive loop. Iniziamo dall'hard limiter. Dove dobbiamo sottrarre solo le tensioni di alimentazione.

$$X_d = F_{elec} \frac{Q_d}{K_d} = \eta_{DA} \cdot V_A \frac{Q_d}{K_d} = \eta_{DA} \cdot V_{HL} \cdot \frac{4}{\pi} \frac{Q_d}{K_d} \quad \text{Prima armonica di } V_A$$

$$V_{HL} = X_d \cdot \frac{K_d}{Q_d} \cdot \frac{\pi}{4} \frac{g}{2\epsilon_0 h N \eta_{DA} V_{ROT}} = 6.0$$

$$\text{dove } K_d = (m + m_c)(2\pi f_d)^2 = 63 \text{ N/m}$$

Però  $V_{HL} = 0.66 \text{ V}$  perché questa deve essere la tensione dell'hard limiter a 300K.

DIMENSIONAMENTO DEL TCA: Voglio uscire con la tensione + alza possibile senza saturare.

Però noi vorremo  $V_{out,TCA} = \pm 4 \text{ V}$ .

La corrente in uscita è

$$i_m = X_d \omega_d \eta_{DA}$$

Perciò la tensione in uscita al TCA è:

$$V_{\text{out}, \text{TCA}} = \frac{X_d w_b \eta_{DD}}{w_d C_F} = \frac{X_d \cdot \eta_{DD}}{C_F}$$

Perciò  $C_F = \frac{S_{\text{sum}} \cdot 2 E_{\text{OPN}} N_{\text{FE,DD}} V_{\text{out}}}{g} = 59 \text{ pF}$

Ma se vediamo sulla tavola ce sentire che la minima capacità che possiamo fare è 200 pF.

Perciò noi sceglieremo la minima capacità possibile così almeno ha la massima tensione possibile. (non più 6V)

$$C_F = 200 \text{ pF} \quad V_{\text{out}} = 6 \cdot \frac{59}{200} = 1,18 \text{ V}$$

e de valore di RF mettiamo?

Tipicamente mettiamo il polo 2 decadi distante dalla nostra freq d'interesse. Noi lavoriamo come charge amplifier quindi il polo deve essere prima della Rca.

$$f_P = \frac{f_D}{100} = 200 \text{ Hz} \rightarrow R_F = \frac{1}{2\pi 200 \cdot C_F} = 6 \text{ GHz}$$

## • DERIVATORE

One equazioni usiamo per dimensionare il derivatore.

I poli li mettiamo 2 decadi dopo la freq di risonanza. Lo zero lo mettiamo almeno a 2 decadi prima (ma con questa configurazione il gain è in 0).

Dove poi sottrai il guadagno del coso

$$G_{\text{DIFF}} = \frac{6V}{1,18V} = 3,38 \leftarrow \text{così riporto il segnale a 6V}$$

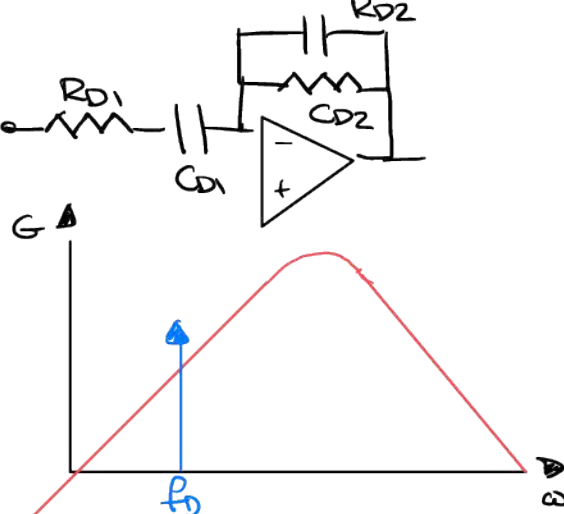
$$f_{P1} = 100 f_D = 200 \text{ Hz} = \frac{1}{2\pi C_{D1} R_{D1}}$$

$$f_{P2} = 2 \text{ MHz} = \frac{1}{2\pi C_{D2} R_{D2}}$$

Abbiamo uno zero a freq 0.

il guadagno è

$$G_{\text{DIFF}} = \frac{w_d C_{D1} R_{D2}}{\cancel{w_d}}$$



Questo perché gli altri componenti sono spenti (C\_D2)

Abbiamo 3 equazioni e 6 incognite.

Nbi sceglio  $C_{D2} = 200\text{pF}$  da è la capacità minima, da questo ricavo  $R_{D2}$ .

$$R_{D2} = \frac{1}{2\pi f_D C_{D2}} = 398\text{ k}\Omega$$

Tramite il guadagno e  $R_{D2}$  ricavo  $C_{D1} = \frac{338}{2\pi f_D \cdot R_{D2}} = 67,8\text{ pF}$

perciò  $R_{D1} = \frac{1}{2\pi f_D C_{D1}} = 1,1\text{ k}\Omega$

## DOMANDA 2

$$S = 2 \frac{C_{D0}}{g} \cdot \frac{V_{rot}}{C_{FS}} \cdot \frac{x_d}{\Delta W_{BN}}$$

Perciò

$$\frac{\Delta S}{S} = \frac{\Delta x_d}{\Delta W_{BN}} = \frac{\Delta Q_d}{Q_d} = -\frac{1}{2} \frac{\Delta T}{T}$$

Abbiamo fatto un'incise tra le variazioni di temperatura e quelle di displacemet

$$\Delta T = 125^\circ\text{C} - (-45^\circ\text{C}) = 170^\circ\text{C} = 170\text{K} \quad (\text{perciò è una diff. di temp})$$

Perciò  $\frac{\Delta S}{S} = \frac{\Delta x_d}{x_d} = -\frac{1}{2} \frac{170\text{K}}{300\text{K}} = \pm 14\%$

Il nostro obiettivo target è

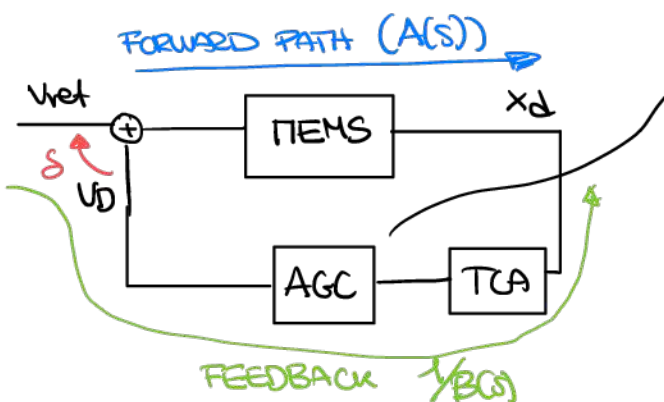
$$\frac{\Delta S}{S} \Big|_{target} = \pm 1,5\%$$

Compensation Factor

$$\text{Comp,AGC} = \frac{\pm 14\%}{\pm 1,5\%} \simeq 10$$

## DOMANDA 3

Perciò vedo che  $\text{Comp,AGC} = 10$  sarà il minimo valore del Gloop dell'AGC. Questo ci servirà per compensare le componenti del AGC.



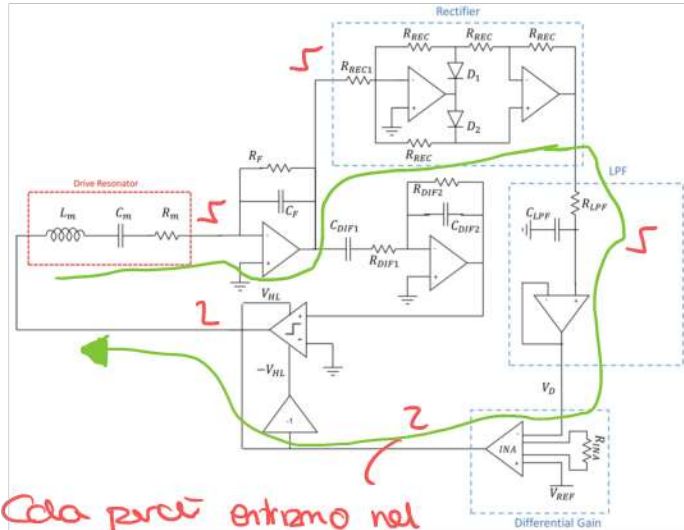
Se il loop gain dell'AGC è  $\infty$  allora  $V_D = V_{ref}$  e quindi  $x_d = x_{ref}$ .

Se il loop gain è finito ha un errore residuo di approssimativamente valore  $\frac{V_{ref}}{Gloop}$

$$\frac{\Delta S}{S} \Big|_{loop aperto} = -\frac{1}{2} \frac{\Delta T}{T}$$

$$\frac{\Delta S}{S} \Big|_{loop chiuso} = -\frac{1}{2} \frac{\Delta T}{T} \cdot \frac{1}{1-Gloop}$$

Posso poi dire che il loop gain in DC sia  $G_{loop,0} = 20$  (suppongo)



Percorso del loop gain dell' ADC

Calcoliamo il guadagno in continua.

$$G_{RECTIFIER} = 1$$

$$G_{LPF} = 2/\pi$$

$$G_{INA} = x \leftarrow \text{non so quando sia il guadagno}$$

$$HARD LIMITER = 4/\pi$$

$$NEVS = \frac{1}{R_{Req}}$$

$$CHARGE PIPE = \frac{1}{WDCF}$$

Perciò la moltiplicazione di questi guadagni mi dà il guadagno in DC. Noi sappiamo che la variazione della temperatura è molto lenta. Perciò possiamo considerare il  $G_{loop}$  in continua.

$$G_{loop,0} = \frac{2}{\pi} G_{INA} \cdot \frac{6}{\pi} \cdot \frac{1}{R_{Req} WDCF} = 20 \leftarrow \text{imposto da noi}$$

$$\text{Sappiamo che } R_{Req} = \frac{b_D}{\eta^2} = \frac{w_D(m_e + m_i)}{Q_D \cdot \eta^2} = \frac{2\pi 20K(\mu mKg)}{8000 \cdot \left( \frac{2\varepsilon_0 h N_A}{g} \cdot V_{DD} \right)^2} = 28,2 M\Omega$$

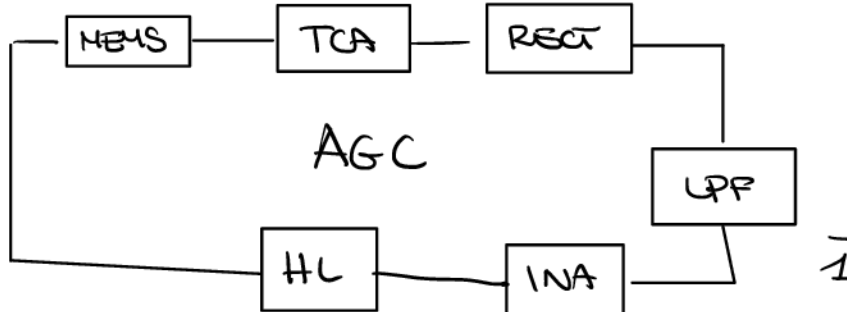
Allora possiamo ricavare  $G_{INA}$

$$G_{INA} = \frac{20 \cdot 28,2 M\Omega \cdot (2\pi \cdot 20 KHz) \cdot 200 pF}{8/\pi^2} = 17,5$$

Noi sappiamo anche che

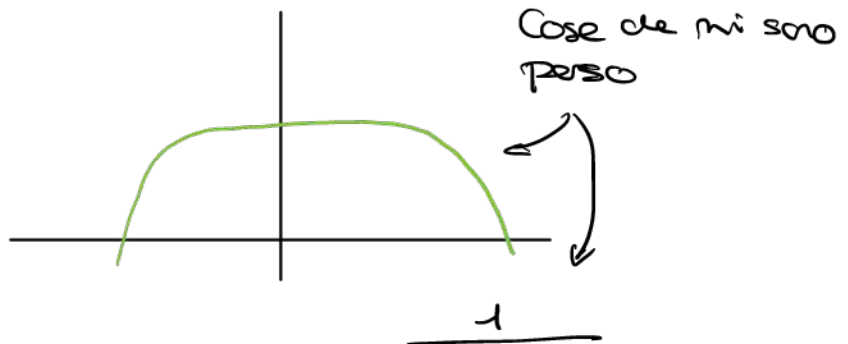
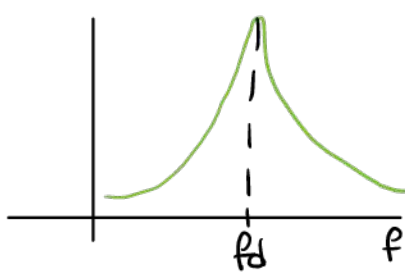
$$G_{INA} = 1 + \frac{4.9.6K\Omega}{R_{INA}} \rightarrow R_{INA} = \frac{4.9.6K\Omega}{17,5} = 3K\Omega$$

DONANDO G



L'AGC modifica solo la lunghezza e non la frequenza del segnale

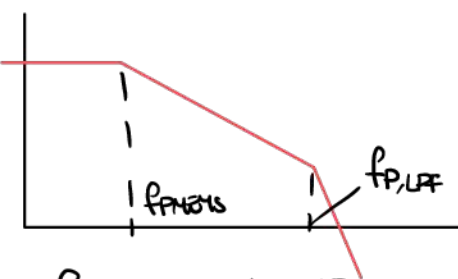
Ma se varia il fattore di qualità cosa succede?  
 TCA e Rectifier non hanno nessun cambiamento. Il filtro passabasso al contrario ha effetto sull'impiego. Se il fattore di qualità viene in modo sinusoidale, GL altri non fanno niente tranne il MERS, questo infatti fa sì che



Allora sarà che il Gloop sarà:

$$Gloop_{Acc}(s) = \frac{2}{\pi} \cdot \frac{1}{1 + SR_{LPF} C_F} \cdot G_{INA} \cdot \frac{4}{\pi} \cdot \frac{1/B_{eq}}{1 + S/wd/2Qd} \cdot \frac{1}{wdC_F}$$

Perciò il Gloop ha questa forma



Dovete stare attenti che il 2° polo vada dopo il GBWP.

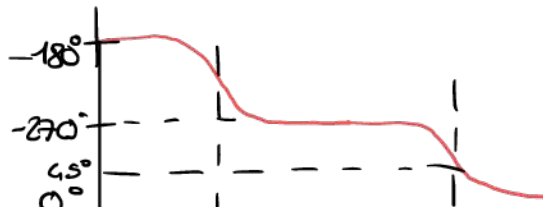
$$\text{il polo del MERS è: } f_{PMERS} = \frac{f_D}{2Qd} = 1,25 \text{ Hz}$$

La frequenza del 2° polo che è settata dal low pass filter è:

$$f_{P,LPF} = 25 \text{ Hz}$$

La fase sarà

Allora noi non possiamo aumentare troppo Gloop



## Giroscopio 5

29.10.2021

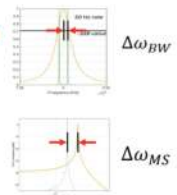
### Riassunto mode-matching e mode splitting

The calculation of the **sensitivity** leads to an interesting result:

Mode matching	$\frac{Y_{S,0}}{\Omega} = \frac{X_{D,0}}{\Delta\omega_{BW}}$	$\Delta\omega_{BW} = \frac{\omega_S}{2Q_S}$	Mode split	$\frac{Y_{S,0}}{\Omega} = \frac{X_{D,0}}{\Delta\omega_{MS}}$	$\Delta\omega_{MS} = \omega_S - \omega_D = \frac{\omega_S}{2Q_{eff}}$
---------------	--	---	------------	--	---

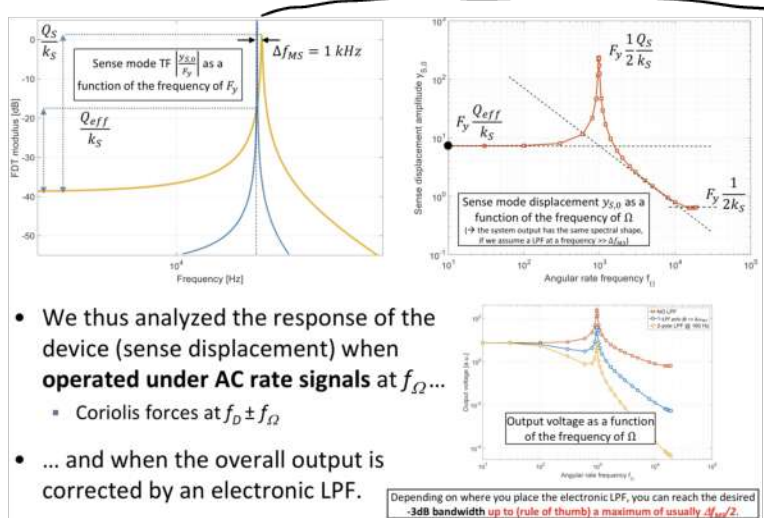
The sensitivity can be indeed expressed with a formula which is quite similar to the mode-matched one: just substitute

- the maximum achievable mechanical bandwidth in mode matched conditions,  $\Delta\omega_{BW}$ ...
- ... with the difference between the drive and sense mode frequencies in mode-split operation,  $\Delta\omega_{MS}$ ...



The natural question that follows becomes:  
 so, is  $\Delta\omega_{MS}$  the new maximum mechanical bandwidth?

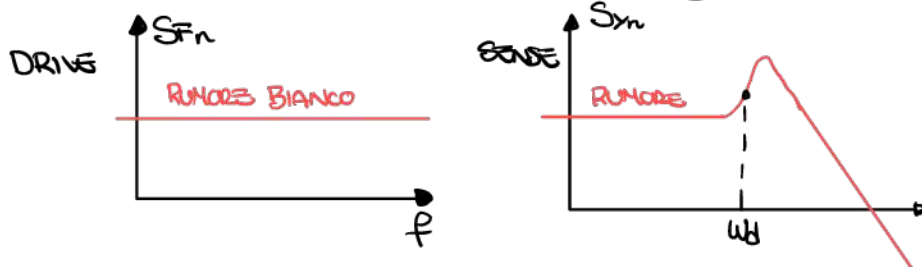
ma quindi  $\Delta\omega_{MS}$  è la nuova banda massima meccanica?



Abbiamo che la curva blu parte da 0  
facendo un frequency splitting vediamo  
che vibreremo un po' nella curva finale  
Perché la curva che va a destra vede  
il picco mentre quella a sinistra no  
quindi la differenza tra le 2 non è  
uguale

## Mode split gyroscope noise

- We thus analyzed the response of the device (sense displacement) when operated under AC rate signals at  $f_{\Omega}$  ...
    - Coriolis forces at  $f_D \pm f_{\Omega}$
  - ... and when the overall output is corrected by an electronic LPF.
- Depending on where you place the electronic LPF, you can reach the desired -3dB bandwidth up to (rule of thumb) a maximum of usually  $\Delta f_{MS}/2$ .



Noi non lavoriamo più sul  
picco ma a w.d. vediamo  
di possedere dire che il  
rumore viene amplificato da  
 $Q_{eff}$ .

## Calcoliamo il rumore termomeccanico riferito all'input.

- actually, no surprise: **Brownian noise is motion noise, and it is amplified as much as motion induced by Coriolis force;** ( $\rightarrow$  same S/N  $\rightarrow$  same S/N = 1  $\rightarrow$  same input referred resolution)
- this time the amplification is by  $Q_{eff}$  instead of  $Q_s$ , but – apart from this – all the expressions remain identical. **NERD equation does not change!**

<b>MODE-MATCHED</b> $\sqrt{S_{nn}} = \sqrt{\frac{S_{yn}}{\left(\frac{y_s}{\Omega}\right)^2}} = \sqrt{\frac{4k_B T b_s \left(\frac{Q_s}{k_s}\right)^2}{\left(\frac{x_{D,0}}{\Delta\omega_{BW}}\right)^2}}$ $\Delta\omega_{BW} = \frac{\omega_s}{2Q_s}$	<b>MODE-SPLIT</b> $\sqrt{S_{nn}} = \sqrt{\frac{S_{yn}}{\left(\frac{y_s}{\Omega}\right)^2}} = \sqrt{\frac{4k_B T b_s \left(\frac{Q_{eff}}{k_s}\right)^2}{\left(\frac{x_{D,0}}{\Delta\omega_{MS}}\right)^2}}$ $\Delta\omega_{MS} = \frac{\omega_s}{2Q_{eff}}$
--	--

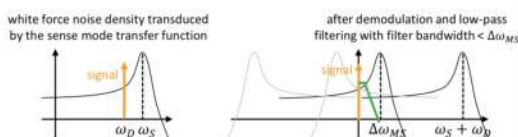
NOTE: the calculation is valid around the drive frequency, assuming a good filtering of the sense mode peak...

Usiamo lo stesso approccio e  
vediamo che i risultati sono  
identici perché i Quality factor  
vanno a cancellarsi.  
Però la NED è uguale.

(Questo si ha perché benché noi  
stiamo amplificando meno abbiammo  
che il rumore browniano e la forza  
di Coriolis sono comunque amplificati  
dello stesso valore perciò la NED è uguale)

Actually, white thermomechanical noise spectral density is amplified by the entire sense-mode transfer function (also at other frequencies). However, as later we will demodulate around the drive mode frequency and low-pass filter, we will effectively get relevant noise only from the region around the drive frequency:

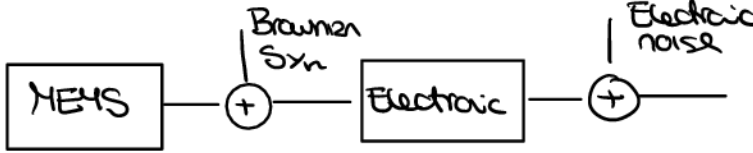
- the example aside refers to the case of mode-split operation.



## Per quanto riguarda la banda

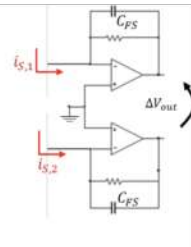
ho una freq! in pratica la banda in mode splitting operation non dipende dal damping, quindi posso abbassare la quanto volevo (e quindi la NERD) senza impattare sulla banda.

## E per quanto riguarda il rumore dell'elettronica?



The other **noise contributions**, from the **electronics**, are the **same** when calculated **at the circuit output**, but **when calculated as equivalent input rate**, they are now **divided by a sensitivity which is lower** by a factor  $\Delta\omega_{BW}/\Delta\omega_{MS}$ :

- \* the **impact of electronic noise on the system grows**
  - \* one should design **low-noise electronics**
    - low-noise electronics requires **high power dissipation**
      - » or good electronic designers!



$$\sqrt{S_{\text{In,tot}}} = \frac{180}{\pi} \frac{1}{x_{D,0}} \sqrt{\left( \sqrt{\frac{4k_b T}{R_F} \frac{g \Delta\omega_{MS}}{2C_S V_{DC} \omega_D}} \right)^2 + \left( \sqrt{\frac{S_{n,op}}{2} \frac{C_p g \Delta\omega_{MS}}{C_S V_{DC}}} \right)^2 + \left( \frac{1}{\omega_S m_S} \sqrt{k_B T b_S} \right)^2}$$

In Mode matching noi sappiamo che  $Q$  varia con la Temp e quindi ho delle variazioni anche di  $f$ , questo fa sì che ci sono delle inaccordate variazioni di sensitività.

## Cosa succede in Mode splitting?

Notiamo che la sensitività è abbastanza indipendente del valore di  $Q$

Facciamo adesso i conti per vedere la varianza di  $f$  e vedere se queste variano lo stesso factor

- \* Let us assume a mode-split of ~1 kHz ( $f_D = 19$  kHz,  $f_S = 20$  kHz).  $\frac{y_{S,0}}{\Omega} = \frac{x_{D,0}}{\Delta\omega_{MS}} \rightarrow \frac{d\left(\frac{y_{S,0}}{\Omega}\right)}{\left(\frac{y_{S,0}}{\Omega}\right)} = -\frac{d(\Delta\omega_{MS})}{\Delta\omega_{MS}}$

- \* In this configuration the effects of temperature changes (e.g. ±85 K) can be quantified in the following way:

$$\frac{d(\Delta\omega_{MS})}{\Delta\omega_{MS}} = \frac{d(\omega_S - \omega_D)/dT}{\omega_{S,0} - \omega_{D,0}} = \frac{d\left(\omega_{S,0}(1 + \alpha\Delta T) - \omega_{D,0}(1 + \alpha\Delta T)\right)/dT}{\omega_{S,0} - \omega_{D,0}} = \frac{(\omega_{S,0} - \omega_{D,0}) d(1 + \alpha(T - T_0))/dT}{\omega_{S,0} - \omega_{D,0}} = \alpha$$

- \* Numerical example

\* The worst case % sensitivity change is easily found as...:  
... or through the maximum shift of the two frequencies:

$$df_d = -30 \frac{\text{ppm}}{K} \cdot f_d \cdot \pm\Delta T = \pm 48.5 \text{ Hz}$$

$$df_S = -30 \frac{\text{ppm}}{K} \cdot f_S \cdot \pm\Delta T = \pm 51 \text{ Hz}$$

- \* To be compared with ~±5% in mode-matched operation  
→ factor 20x improvement!

One further, important remark: the effective quality factor  $Q_{\text{eff}}$  is not a function of the damping coefficient.

Therefore, the bandwidth (assumed as ¼ to ½ of the mode split  $\Delta\omega_{MS}$ ) is itself not related to the value of the damping coefficient!

$$\Delta\omega_{MS} = \omega_S - \omega_D = \frac{\omega_S}{2Q_{\text{eff}}} \quad \Delta f_{MS} = f_S - f_D = \frac{f_S}{2Q_{\text{eff}}}$$

It is thus possible to lower the thermomechanical noise (the NERD) by acting on  $b_s$ , without affecting the bandwidth. The trade-off that we had in mode-matched operation is thus solved. We no longer necessarily need to keep a low value of the sense mode  $Q$ .

$$\text{NERD} = \frac{180}{\pi} \frac{1}{x_{D,0} m_S \omega_S} \sqrt{k_B T b_S}$$

L'impatto dell'elettronica è sempre quello ma il rumore Browniano è diminuito rispetto a prima.

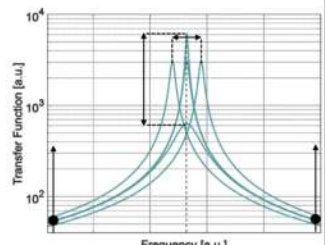
Abbiamo dunque che le componenti elettroniche hanno maggiore peso rispetto a prima e quindi dobbiamo elettronica a basso rumore.

Operate at a mismatch frequency

- \* usually  $\omega_D < \omega_S$

Pros

- \* sensitivity is very well independent of the  $Q$  value
- \* sensitivity is tolerant to  $\Delta f$  vs  $T$ 
  - \* see next slide
- \* no bandwidth-resolution trade-off



Cons / Issues

- \* gain reduction (e.g. 20-50 instead of 100-1000)
- \* consequent need of high-performance electronics

Actually, the same situation would be obtained with  $\omega_D > \omega_S$ . Indeed the peak is symmetric around  $\omega_S$  for typical  $\Delta\omega_{MS}$ .

## Giroscopio 6

In questa lezione introduciamo le non idealità del giroscopi.

### • Quadrature error (errore di tipo meccanico)

Let us start with a numerical example:

- assume a mode-split gyroscope for consumer applications (e.g. gaming):
- typical required full-scale is of about  $2000 \text{ }^{\circ}/\text{s}$
- typical required resolution is of about  $100 \text{ mdps}$  ( $5 \text{ mdps}/\text{VHz} \cdot \sqrt{300 \text{ Hz}}$ )
- typical required bandwidth of  $300 \text{ Hz}$  of mode split value

Assuming a **drive mode displacement  $x$  controlled**

at  $x_{\text{REF}} = 5 \mu\text{m}$ , we have a **sense mode displacement  $y$** :

- of about  $30 \text{ nm}$  at the  $2000 \text{ }^{\circ}/\text{s}$  ( $35 \text{ rad/s}$ ) full-scale range
- of about  $1.5 \text{ pm}$  at the  $0.1 \text{ }^{\circ}/\text{s}$  ( $1.7 \text{ mrad/s}$ ) resolution

$$y_{S,0} = \frac{x_{D,0}}{\Omega} = \frac{x_{D,0}}{\Delta\omega_{MS}}$$

**ultra small displacement!**  
2.6% of the Bohr radius in H atom in its ground state!!

Mmm.... the drive mode is moving by  $5 \mu\text{m}$ , i.e. about  $3\cdot 300\cdot 000$  times more than the minimum sense mode motion to detect!!!

Calcoliamo il displaceent che abbiamo con la minima risoluzione.

No seppiamo che la drive mode si muove di  $5 \mu\text{m}$  che è circa 33 milioni di volte e più che il minimo sensing displacement.

Abbiamo quindi una non idealità del giroscopo.

Ci possono essere due componenti della drive mode che fanno sì che ci sono spostamenti anche nella sense direction.

Questo effetto è alla stessa frequenza del nostro segnale che vogliamo misurare e possiamo considerarlo come un errore costante (DC offset all'output)

La cosa che ci salva è che questo segnale è proporzionale alla

drive direction mentre la forza di coriolis è dipendente dalla velocità della drive force. Detto che questi 2 segnali sono sfusi di  $90^{\circ}$  chiamiamo questo errore errore di quadratura.

Le cause di questo errore di quadratura possono essere molteplici, tipo errori di produzione di fanno sì che non sia più ortogonale ad esempio. Oppure una non omogeneità tra il gap dei camp fingers.

Definiamo adesso il modello dell'errore di quadratura

$$\Delta V_{\text{QTR}} = 2 \underbrace{\frac{V_{\text{DC}}}{\text{CFS}} \cdot \frac{C_{\text{SO}}}{g} \cdot \frac{x_d}{\Delta\omega_{MS}/\text{Hz}}}_{\text{(sensitività)}} \cdot \underbrace{\left[ -\Omega \cdot \cos(\omega t) + B_q \cdot \sin(\omega t) \right]}_{\substack{\text{Componente} \\ \text{che} \\ \text{ci} \\ \text{interessa}}} \underbrace{\left[ -B_q \cdot \cos(\omega t) + \Omega \cdot \sin(\omega t) \right]}_{\substack{\text{Componente} \\ \text{disturbo} \\ \text{in quadratura.}}}$$

Sappiamo che dopo i charge amplifier e poi l'INA, supponiamo che dopo l'INA c'è sia la fase di demodulazione sincrona del segnale (demodulazione perfetta), vediamo cosa succede:

La tensione dopo la demodulazione sarà:

$$V_{dem} = S [\Omega \cos(\omega t) + B_q \sin(\omega t)] \cdot \cos(\omega t) * LPF$$

$$= LPF \cdot S \cdot \frac{1}{2} \Omega [\cos(0) + \cos(2\omega t)] + \frac{1}{2} B_q [\sin(0) + \sin(2\omega t)]$$

Supponiamo gain LPF = 2 e che i filtri perfettamente le componenti ad alta freq.

$$= S [\Omega \cos(0) + B_q \sin(0)] = S \cdot \Omega$$

Nella realtà però il segnale di demodulazione sarà soggetto a phase noise e phase offset, perciò  $\cos(\omega t + \varphi_{err} + \varphi_n)$ , avendo

$$V_{dem} = S \cdot [\Omega \cos(\omega t) + B_q \sin(\omega t)] \cdot \cos(\omega t + \varphi_{err} + \varphi_n) * LPF$$

$$= LPF \cdot S \cdot \frac{1}{2} \Omega [\cos(\varphi_{err} + \varphi_n) + \cos(2\omega t + \varphi_{err} + \varphi_n)]$$

$$+ \frac{1}{2} B_q [\sin(\varphi_{err} + \varphi_n) + \sin(2\omega t + \varphi_{err} + \varphi_n)]$$

→ LPF elimina le componenti a alte freq e supponiamo il guadagno LPF = 2.

$$= S [\Omega \cos(\varphi_{err} + \varphi_m) + B_q \sin(\varphi_{err} + \varphi_n)]$$

Supponiamo che  $\varphi_{err} \rightarrow 0$  e  $\varphi_n \rightarrow 0$ , al limite ottieni di

$$V_{dem} = S \Omega + S \cdot B_q (\varphi_{err} + \varphi_n)$$

Vediamo di abbassare una nuova definizione per l'output, la componente  $S B_q \varphi_m \rightarrow$  OFFSET Z.R.O (perciò è un errore di sbilenco anche se l'angolare rate è 0, Zero Rate offset)

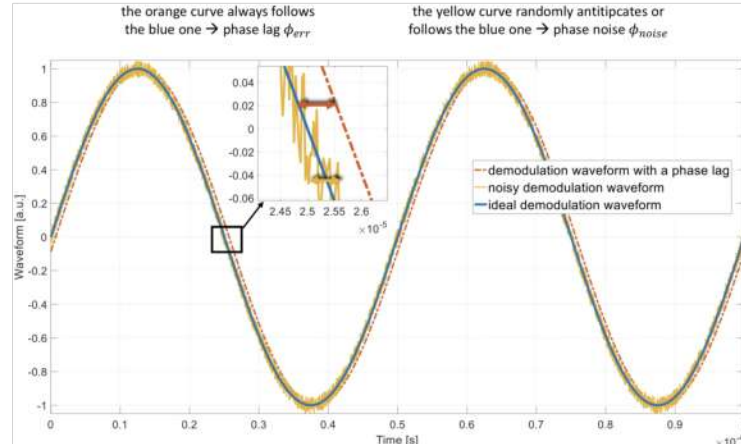
$S B_q \varphi_n \rightarrow$  RUNOFF (dato della phase noise)

Una cosa cui potevi ottenere!!

In uscita dagli opamp del charge amplifier e dall'INA abbiano la somma di 2 segnali in quadretura e questo fa sì che abbiano stesse oscillazioni di questa somma non settati gli opamp ebbene non riesco a capire perché niente

Possiamo quantificare quanto è questo errore di quadratura?

Sì, ma vediamo prima di che errore di fase stiamo parlando.



Noi vogliamo sapere la forza nella direzione  $x$  dato un displacemet nella direzione  $y$ . Queste 2 quantità saranno tra loro sempre legate dalla legge di Hooke solo se in questo caso abbiamo una cross-axis stiffness.

$$|F_q| = K_{ds} \cdot x$$

Perciò possiamo scrivere lo spring mass damper system come

$$m_s \ddot{y} + b_s \dot{y} + k_s y - K_{ds} \cdot x = -2m_s \dot{x} \cdot \Omega$$

Possiamo in Laplace

$$\begin{aligned} m_s s^2 Y + b_s s Y + k_s Y &= -2m_s X \cdot s \cdot \Omega + K_{ds} X \\ &= X(K_{ds} - 2m_s s \cdot \Omega) \end{aligned}$$

$\underbrace{\phantom{X(K_{ds} - 2m_s s \cdot \Omega)}}_{j\omega_d}$

Se vogliamo esprimere  $B_q$  dell'  $K_{ds}$  dovo uguzzlare  $K_{ds}$  a un valore di

$$K_{ds} = 2m_s \omega_d B_q \quad \text{Perciò } B_q = \frac{K_{ds}}{2m_s \omega_d}$$

C'è da bere  
non lo so

$$m_s s^2 Y + b_s s Y + k_s Y = X \cdot 2m_s \omega_d (B_q - j\Omega)$$

vediamo che sono  
in quadratura

Ma dato un imprecisione di processo noi non sapezziamo  $K_{ds}$

With the model aside, the  $y$ -direction displacement is:

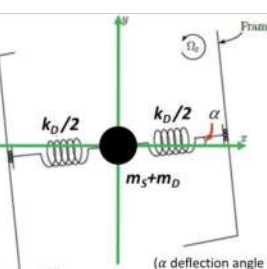
$$\frac{y}{x} = \tan(\alpha) \cdot Q_{eff} \approx \alpha \cdot Q_{eff}$$

The corresponding force in the  $y$ -direction is related to  $y$  through  $k_{ds}$ :

$$y = \frac{F_q}{k_s} \cdot Q_{eff} = \frac{k_{ds} x}{k_s} \cdot Q_{eff} \rightarrow \frac{y}{x} = \frac{k_{ds}}{k_s} \cdot Q_{eff} \rightarrow k_{ds} = \alpha k_s$$

We can thus find an expression for  $B_q$  as a function of the nonideality  $\alpha$ :

$$B_q = \frac{k_{ds}}{2m_s \omega_D} \approx \frac{\alpha k_s}{2m_s \omega_D} = \frac{\alpha \omega_s^2}{2\omega_D} \approx \frac{\alpha}{2} \omega_s \approx \frac{\alpha}{2} \omega_D$$



(the model is self-consistent: with  $k_{ds} = 0$  we have no displacement along  $x$  and the usual equations)

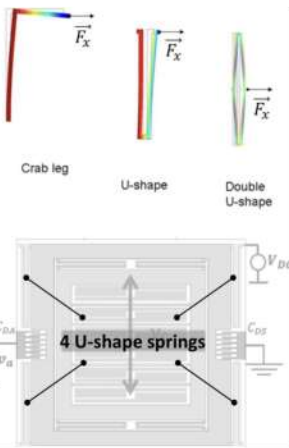
→ now you can also understand why it is safe to keep the gyroscopes modes above the audio bandwidth (i.e. at about 20 kHz), but not higher than that!

Supponiamo che questi errori di fabbricazione facciano diviare la linea media di un angolo  $\alpha$

Tramite queste 2 formule possiamo uguzzlare e scrivere  $B_q$  in funzione della non idealtà.

Vediamo che  $B_q$  dipende dalla frequenza di risonanza e quindi capiamo che la frequenza di risonanza di pendolare è in teoria ott per entrambi i disturbi (tipo vibrazioni vere) ma non in realtà estremamente semmai  $B_q$  è troppo grande.

One critical parameter for quadrature in gyroscopes is the **width of spring folds** (and its nonuniformities) as the total in-plane stiffness is proportional to the **cubic width**.



As

- there are springs that ideally do not deflect in the y direction under x-direction forces (see the figure);
- there are usually 4 symmetric springs per frame;

**nonuniformities in springs width** give rise to **non-null  $k_{ds}$** , but with very low angle  $\alpha$  (e.g.  $10^{-3}^\circ$  to  $10^{-2}^\circ$ ).

Noi sappiamo che il giroscopio è sospeso da molle, si potrebbe dire che non dà una forza perfettamente nell'asse z.

Esistono tuttavia delle configurazioni chiamate a **minima cross-axis stiffness**.

Tipicamente durante la fabbricazione abbiamo che il wafer cambia molte volte la temp e può essere che il wafer si sia in polo inbarcato e suppiano di fare un etching

Quando poi facciamo

retholdze il wafer questo si redirizza e far si che le molle fette con l'etching non siano più esattamente parallele alla massa

Questo angolo  $\alpha$  lo chiamiamo **skew angle** ( $0.05^\circ$ / $0.1^\circ$ )

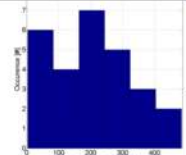
## Esempio Numerico

- Z-axis device with  $f_s = 20$  kHz,  $k_{ds} = 0.01\% k_d$

$$\alpha = 10^{-4} \text{ rad} = 0.0057^\circ$$

$$\sin(\alpha) \approx \alpha = 10^{-4}$$

$$B_q = \frac{k_{ds}}{2m_S\omega_D} \approx \frac{\alpha}{2}\omega_S = 6.28 \frac{\text{rad}}{\text{s}} = 360^\circ/\text{s}$$



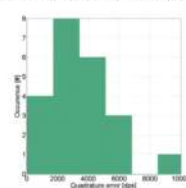
Z-axis devices (29 samples of different type):  
- average: 204.9 dps (7% of the 3000-dps FSR);  
- standard deviation: 126.4 dps (worst case is 484 dps).

- Y-axis device with  $f_s = 20$  kHz,  $\alpha = 0.5^\circ$

$$\sin(\alpha) \approx \alpha = 9 \cdot 10^{-3}$$

$$B_q = \frac{\alpha}{2}\omega_S = 550 \frac{\text{rad}}{\text{s}} = 31500^\circ/\text{s}$$

overall, it is generally difficult to have x/y-axis devices (pitch/roll) as performing as z-axis (yaw) devices!



Y-axis devices (22 samples of different type):  
- average: 3720 dps (12% of the 3000-dps FSR);  
- standard deviation: 2253 dps (worst case 5442 dps).  
- quadrature for these devices is larger than for Z-axis devices: indeed the impact of skew-angle issues is larger.

Come possiamo ridurre l'effetto dell'errore di quadratura?

This effect occurs in **gyros for in-plane rate detection**, where usually the sense frame has a low out-of-plane stiffness.

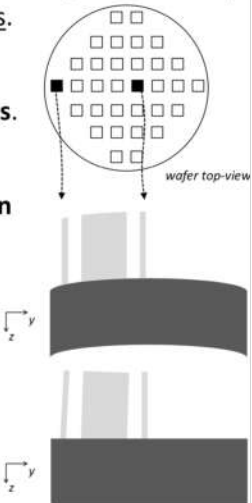
Process nonuniformities make the etching **non orthogonal to the substrate at wafer edges**. This causes spring cross-sections as shown.

An attempt to bend the beam in the x-direction results in a force with a z-axis component. The corresponding quadrature formula is similar to Z-axis devices, yet **the value of  $\alpha$  is typically much larger** (e.g.  $0.05^\circ$  to  $0.1^\circ$ )

$$B_q = \frac{k_{ds}}{2m_S\omega_D} \approx \frac{\alpha}{2}\omega_S$$

Typical origin of  $\alpha$ : wafer bending due to temperature stresses

This is the **largest source of quadrature in MEMS gyroscopes**.



$$B_q = \frac{k_{ds}}{2m_S\omega_D} = \frac{\alpha}{2}\omega_S$$

- Minimize  $k_{ds}$  ( $\rightarrow \alpha$ ).** This can be achieved by:

- improving the **process uniformity** across the wafer;
- increasing the **beam width w** (a larger w gives a lower relative weight of process nonuniformities dw, as already verified); } Take care that the frequency should not increase! Use folds!
- choosing springs with the **lowest cross-axis term** (folded or double-U);
- choose only **gyroscope from wafer center** (ok for high-end applications).

- Decrease the gyroscope resonance:**

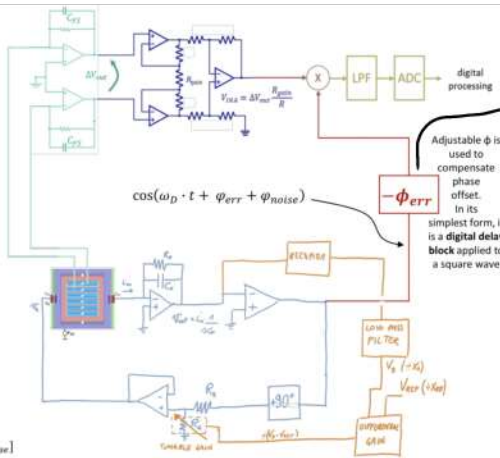
- however, this is limited by **acoustic disturbances** (occurring at up to > 20 kHz) and presence of vibrations (up to 1 kHz in consumer, 10 kHz in automotive, 50 kHz in military applications). The frequency should be safely above!

- Increase the inertial mass (at constant frequency):**

- however, this is limited by the maximum area (ok if the increase is **through h**).

## • Compensazione elettronica della quadratura e effetti della cettiva compensazione.

- Drive oscillator circuit + AGC.
  - Differential capacitive sensing interface (charge amplifier).
  - Reference phase generation.
  - In-phase synchronous demodulation
    - cancels the offset but not its noise and drifts
    - demodulated output has offset and noise
- $V_{\text{dem}} = S [\Omega + B_q \cdot \varphi_{\text{err}} + B_q \cdot \varphi_{\text{noise}}]$

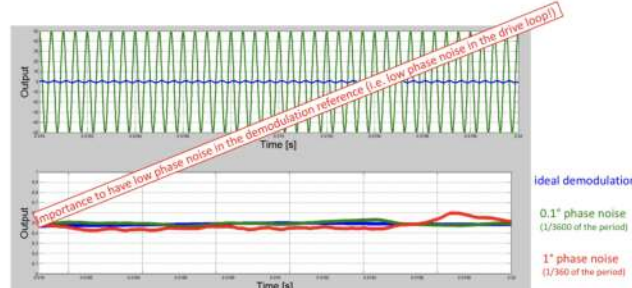


è tipo un delay così riesco a compiere l'offset di fase.

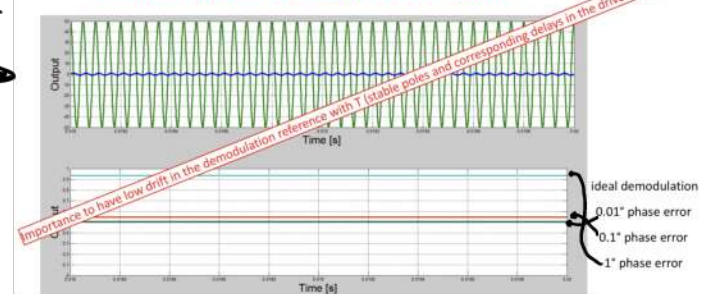
## Effetti dei grandi offset in demodulazione

## Effetti della phase noise

- Assume that we have same situation as above.
- We see here the effect of a phase noise on the in-phase demodulation.
- Without quadrature, we would have no such effects even in case of  $\varphi_{\text{err}}$  or  $\varphi_{\text{noise}}$ .



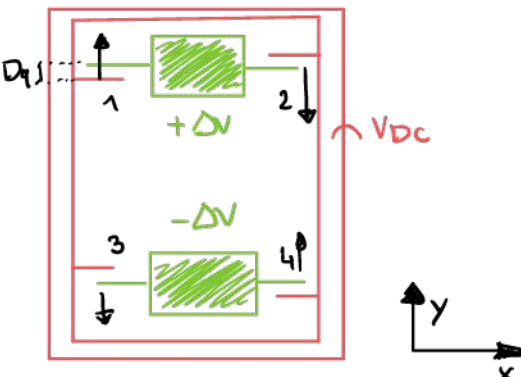
- Assume a 0.5 °/s signal (blue) and a 50 °/s quadrature (green). If demodulation is perfectly operated, we recover an exact output corresponding to the input rate.
- However, if there are even very small phase demodulation errors, a wrong output signal is obtained. This is just an offset, which can be calibrated by the  $\Phi$  stage...
  - but its drifts with T (e.g. poles drift) or aging are hard to compensate!



Perciò a orribilmente perché abbiamo questa quadratura che ci rovina la sensitivity.

Esiste per caso un modo per eliminare a livello elettronico l'effetto di questi errori?

In effetti c'è basta di 10 mettere una forza proporzionale al displaceamento che posso selezionare ampiezza e segno in modo da possa compiere l'offset.



Mettiamo 2 elettrodi e studiamo le forze elettostatiche

$$F_1 = \frac{\epsilon_0 h (l_0 x + x)}{2 D q^2} (V_{DC} - \Delta V)^2$$

Perciò in questo caso si avvicina

$$F_2 = -\frac{\epsilon_0 h (l_0 x - x)}{2 D q^2} (V_{DC} - \Delta V)^2$$

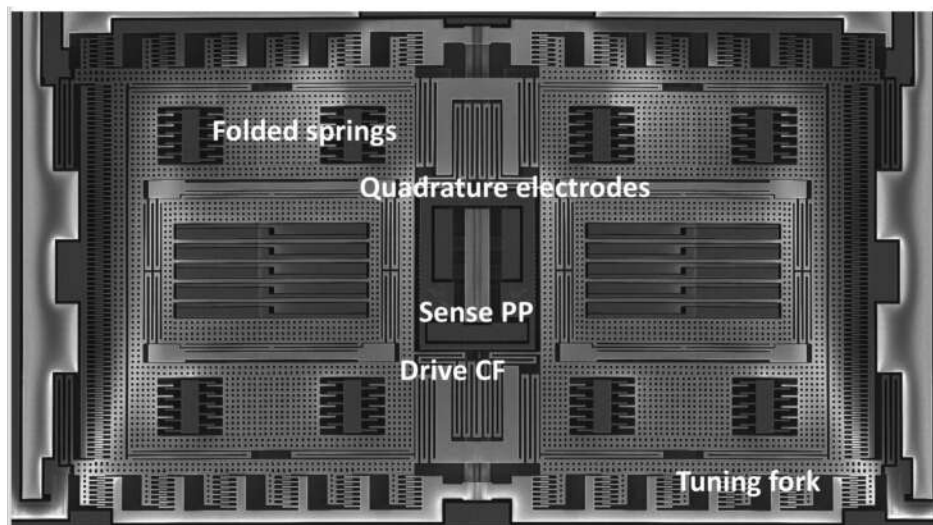
$$F_3 = -\frac{\epsilon_0 h (l_0 x + x)}{2 D q^2} (V_{DC} + \Delta V)^2$$

$$F_4 = \frac{\epsilon_0 h (l_0 x - x)}{2 D q^2} (V_{DC} + \Delta V)^2$$

La somma di queste forze è

$$F_{QC} = -4 \frac{\epsilon_0 h}{D q^2} V_{DC} \Delta V \cdot x \cdot N_{QC}$$

è una forza nella direzione x  
Possiamo quindi compiere le forze di quadratura.



9.11.2021

## Magnetometro 1

Tecnologia abbastanza nuova e in realtà ancora allo stadio di ricerca (R&D). Tipicamente i magnetometri sono usati nelle misure inerziali (navigazione) per capire in che direzione (rispetto a una prefissata) siamo girati. Altre applicazioni possono essere: Current sensing, misure il campo magnetico terrestre (terrestre) oppure segnali magnetici Biologici.

Ci sono circa 3 categorie che si differenziano per la sensibilità.

Categoria 3: Alta sensibilità < 1mT

Categoria 1: Bassa Sensibilità > 1mT

Il campo magnetico terrestre va da un valore minimo di < 23uT a un massimo di > 66uT. Vicino all'equatore il campo magnetico è circa parallelo alla terra, si poi tende a essere quasi ortogonale.

Noi vogliamo sapere la direzione del campo, per farlo dobbiamo usare F=BiL e quindi ci servono un magnetometro 3 assi e un accelerometro.

The target specifications for navigation aims at satisfying the

following requirements:

- error in orientation < ½ degree → sub- $\mu$ T resolution;
- human gesture/movements (no gaming) → bandwidth < 50 Hz
- Earth field + magnetic disturbances → FSR >> max Earth field
- consumption in line with inertial sensors → current < 500  $\mu$ A



Questo perché se ci sono delle zonelle noi possiamo misurare e comporre le.

## • Lorentz Force Magnetometer.

- The law describing the **force on a charge moving in an electro-magnetic field** of vector components  $E$  and  $B$  respectively is known to be:

$$\vec{F} = q(\vec{E} + \vec{v} \times \vec{B})$$

- where

- the first component is related to the **electrostatic force** on a charge inside an electric field and it is e.g. responsible of current density  $\vec{j}$  flowing through a material of conductivity  $\sigma$  (generalized Ohm's law):

$$\vec{j} = \sigma \vec{E} = q n \mu_n \vec{E}$$

- the second component is known as **Lorentz force** and occurs in a direction orthogonal to the plane including the charged particle velocity and the magnetic field vector:

$$\vec{F}_{Lor} = q \vec{v} \times \vec{B}$$

Noi vogliamo misurare  $\vec{B}$  perciò dovranno avere una struttura che mi permette di avere campi in movimento.

Potrei fare un filo dove passa corrente e noi misuriamo la forza di lorentz.

$$F_{Lor} = NEL \cdot q \vec{v} \times \vec{B}$$

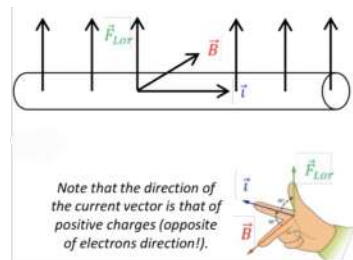
relatività

$n \cdot A \cdot L$

densità volumetrica di elettroni

Per cui otteniamo che  $\vec{F}_{Lor} = \vec{i} \cdot \vec{L} \times \vec{B}$

È un crossproduct quindi la direzione è ortogonale.



Sappiamo quindi che questa forza è perpendicolare a quelle viste negli accelerometri/giroscopi:

- **Inertia:** FSR =  $20 \text{ g} \sim 200 \text{ m/s}^2$ 
    - $m = 5 \text{ nkg}$
    - $\rightarrow F = ma = 1 \mu N$
  - **Coriolis:** FSR =  $2000 \text{ dps} = 35 \text{ rad/s}$ 
    - $m = 5 \text{ nkg}$
    - $v = x \omega = 5 \mu \text{m} 2 \pi 20 \text{ kHz}$
    - $\rightarrow F = 2 m v \Omega = 200 \text{ nN}$
  - **Lorentz:** FSR =  $50 \text{ G} = 5 \text{ mT}$ 
    - $L = 1000 \mu \text{m}$
    - $i = 0.2 \text{ mA}$
    - $\rightarrow F = B i L = 1 \text{ nN}$
- almost one order of magnitude! (use of  $Q_{eff}$ )
- two orders of magnitude! and it is distributed along the wire length! (...?)

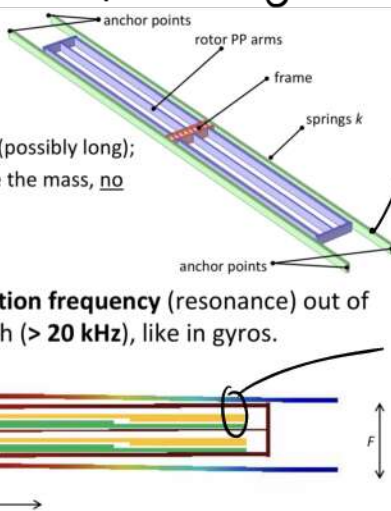
Vediamo che praticamente abbiamo un ordine di grandezza di differenza tra forze Inertiali e di Lorentz.

La struttura più facile per il magnetometro è:

- In its simplest form, the Lorentz-force based MEMS magnetometer is formed by:

- **current-carrying springs** of length  $L$  (possibly long);
- as small as possible **frame** (minimize the mass, no need to sense inertial forces here!);
- rotor arms for **capacitive sensing**.

- The design usually sets the **operation frequency** (resonance) out of the audio and vibration bandwidth ( $> 20 \text{ kHz}$ ), like in gyros.



Qui facciamo scorrere una corrente

creiamo una differenza di Gap che si traduce in una variazione di capacità.

For this class, we first assume to operate the device with a current at resonance. This is reasonably motivated by the very low intensity of the Lorentz force, so that at least motion will be amplified through the quality factor.

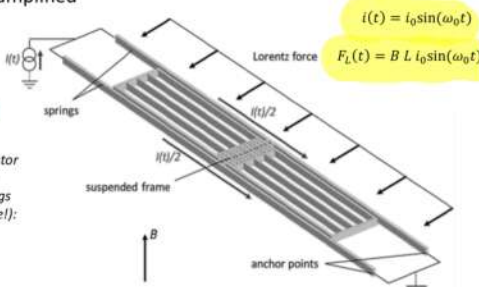
The displacement  $x$  at resonance is thus **amplified by the quality factor  $Q$**

(note the factor 2 at the denominator that accounts for the fact that the force is distributed along the springs and not concentrated on the frame!):

$$x = \frac{Q}{2k} i \cdot B \cdot L$$

The displacement is, as usual, read out through a differential capacitance variation  $\Delta C$ :

$$\Delta C = 2C_0 \frac{x}{g} = \frac{2N\epsilon_0 A}{g^2} x = \frac{N\epsilon_0 A Q}{g^2 k} i B L$$



Calcoliamo la sensitività.

Se lavoriamo alla frequenza di resonezza noi sappiamo che il dislocamento è

$$x = \frac{F \cdot Q}{K}$$

Noi abbiamo una situazione un po' diversa perché la forza di Lorentz è distribuita su tutta la trave e non solo su un punto, dobbiamo quindi cercare un nuovo  $K$ . questo  $K_{eq}$  è due (no dimostrazione)  $K_{eq} = 2K_{original}$

$$\text{Quindi } x = \frac{FQ}{2K} = \frac{BiLQ}{2K}$$

$$\text{Noi sappiamo anche che } \Delta C = 2 \frac{C_0}{g} \cdot x = 2 \frac{C_0}{g} \cdot \frac{BiLQ}{2K}$$

Noi sappiamo che la forza di Lorentz è piccola e quindi ci vorrebbe da mettere molti punti paralleli.

$$\frac{\Delta C}{B} = \frac{2 \cdot \epsilon_0 A \cdot N}{g^2} \cdot \frac{i L Q}{2K} = \frac{\epsilon_0 A N}{g^2} \cdot \frac{i L K}{\omega_0 b \cdot K}$$

$$= \frac{\epsilon_0 A N}{g^2} \cdot \frac{i L}{\omega_0 b \cdot \cancel{area} \cdot 2 \cdot N \cdot A}$$

Notiamo che sono indipendente da Area e da N.  
Questo succede anche nei giroscopi mode matched.

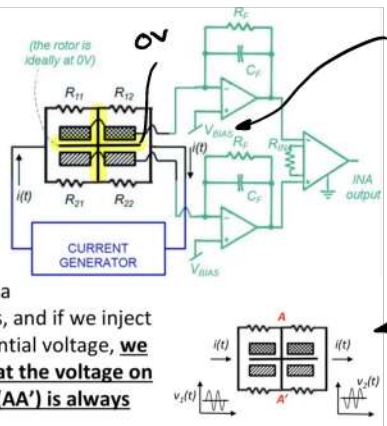
$$\frac{\Delta C}{B} = \frac{\epsilon_0 i L}{2 g^2 b \cdot area \cdot \omega_0}$$

b perché c'è il layer d'aria

Come facciamo a misurare questo con la nostra elettronica?

Dobbiamo considerare che la Corrente sul rotore è data dalla ceduta di tensione sul rotore stesso perché passa una corrente.

- The readout circuit is similar to the sensing of gyros. However note that here the frame cannot be arbitrarily biased, as its voltage is determined by the current flowing in the springs.



- If we model each spring as a pair of identical resistances, and if we inject a current through a differential voltage, we can reasonably assume that the voltage on the springs central points (AA') is always constant and null.

Mettiamo V\_BIAS e non 0V così abbiamo una ddp tra rotore e statore.

Infine noi vogliamo che il rotore sia a 0V

Per fare ciò noi vorremo che le tensioni ai capi della struttura siano uguali e opposte così la tensione del rotore è 0V.

$$i_{C_{F,i}} = V_{BIAS} \frac{dC_{S,i}}{dt} = V_{BIAS} \frac{dC_{S,i}}{dx} \frac{dx}{dt} = V_{BIAS} \frac{dC_{S,i}}{dx} \times \omega_0 = V_{BIAS} \Delta C_{SE} \omega_0$$

$$\Delta V_{out} = 2 \frac{i_{C_{F,i}}}{\omega_0 C_F} = \frac{V_{BIAS} \Delta C \omega_0}{\omega_0 C_F} \rightarrow \frac{\Delta V_{out}}{\Delta C} = \frac{V_{BIAS}}{C_F}$$

$$\frac{\Delta V_{out}}{B} = \frac{\Delta C}{B} \frac{\Delta V_{out}}{\Delta C} = \frac{\epsilon_0 i L}{2 \omega_0 g^2 b \cdot area} \frac{V_{BIAS}}{C_F}$$

(apparently a factor 2 is missing in the formula but it is already included and "hidden" in the differential capacitance variation per unit field)

È il guadagno del charge 2mp Lifer!!!

## Resonant operation issues.

Gioi nei giroscopi abbiamo visto i problemi di lavoro in risonanza.

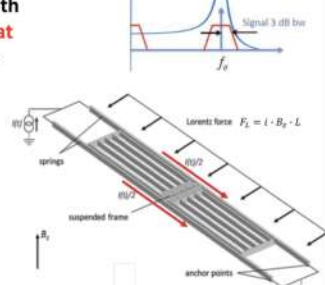
## BANDA

Like for gyroscopes, the information on the value of the magnetic field is modulated around the drive frequency (which in this case is the Lorentz current frequency).

The maximum sensing bandwidth is again given by the half width at half maximum (i.e. -3 dB) of the resonance peak:

$$\Delta \omega_{BW} = \frac{\omega_0}{2Q} = \frac{b}{2m}$$

$$\Delta f_{BW} = \frac{f_0}{2Q} = \frac{b}{4\pi m}$$



Proviamo a calcolare il rumore:

$$\sqrt{S_{Fn}} = \sqrt{4k_B T b}$$

$$\sqrt{S_{Xm}} = \frac{i L Q}{2K} \sqrt{S_{Fn}}$$

$$\sqrt{S_{Bm}} = \frac{\sqrt{4k_B T b \left(\frac{Q}{k}\right)^2}}{\frac{i L Q}{2K}} = \frac{4}{i L} \sqrt{k_B T b} = NEMD$$

Noise Equivalent Magnetic Field Density

- To calculate the Brownian noise we start as usual from the force noise density and we turn it in terms of displacement and then into magnetic field:

$$S_{Fn} = \sqrt{4k_B T b} \quad \frac{x}{B} = \frac{i L}{2K} Q \quad \sqrt{S_{Bn}} = \sqrt{\frac{4k_B T b \left(\frac{Q}{k}\right)^2}{i L / 2K Q}}$$

- Note: the Lorentz force is distributed along the springs (factor 2 aside k); the force density  $4k_B T b$  on the contrary acts directly on the suspended frame; → we do not put a factor 2 at the denominator in the noise expression!

$$NEMD = \sqrt{S_{Bn}} = \frac{4}{i L} \sqrt{k_B T b} \quad [T_{rms}/\sqrt{Hz}]$$

- Challenges in improving the minimum detectable field:

- either increase the length (pay in area, and chip size and cost...),
- or increase the injected current (pay in power consumption!),
- or decrease the damping coefficient (e.g. by decreasing the pressure).

Un modo per calcolare in modo facile il rumore è:

- Just write noise in terms of force density...

$$\sqrt{S_{Fn}} = \sqrt{4k_B T \cdot b}$$

- Then divide it by the transduction factor between the quantity you want to measure, and the corresponding force

$$\frac{F_{inertial}}{a} = m$$

$$\frac{F_{Coriolis}}{\Omega} = 2m_s x_{D,0} \omega_0$$

$$\frac{F_{Lorentz}}{B} = \frac{i L}{2}$$

$$NEAD = \frac{\sqrt{S_{Fn}}}{m}$$

$$NERD = \frac{\sqrt{S_{Fn}}}{2m_s x_{D,0} \omega_0}$$

$$NEMD = \frac{\sqrt{S_{Fn}}}{i L / 2}$$

$$NEAD = \frac{\sqrt{4k_B T \cdot b}}{m}$$

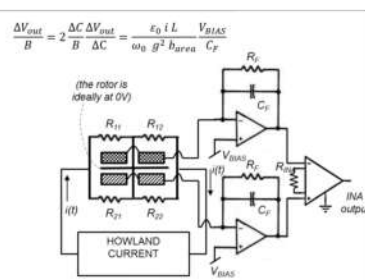
$$NERD = \frac{1}{m_s x_{D,0} \omega_0} \sqrt{k_B T \cdot b}$$

$$NEMD = \frac{4}{i L} \sqrt{k_B T \cdot b}$$

Il rumore dell'elettronica al controllo è:

- Like in the case of gyros, **electronic noise** is given by two major contributions, the feedback **resistance** and the **OpAmp noise**.

$$S_{Bn,R_F} = \frac{\sqrt{2 \cdot \frac{4k_B T}{R_F} \frac{1}{\omega_0 C_F}}}{\frac{\Delta V_{out}}{B}} = \frac{\sqrt{\frac{8 k_B T}{R_F} 2 g^2 b_{area}}}{\varepsilon_0 i L V_{BIAS}}$$



$$S_{Bn,C_A} = \frac{\sqrt{2 \cdot S_{n,op}} \left(1 + \frac{C_p}{C_F}\right)}{\frac{\Delta V_{out}}{B}} = \sqrt{2 \cdot S_{n,op}} \left(1 + \frac{C_p}{C_F}\right) \frac{2 \omega_0 g^2 b_{area} C_F}{\varepsilon_0 i L V_{BIAS}} \approx \sqrt{2 \cdot S_{n,op}} C_p \frac{2 \omega_0 g^2 b_{area}}{\varepsilon_0 i L V_{BIAS}}$$

- Difference w.r.t. the gyro case: here the **constant voltage  $V_{BIAS}$**  at the stators **cannot be as high as it was for the rotor in gyros** (up to 10 V), because the **OpAmps operate between the power supply!**

Perciò posso dire che l'overall noise è:

- We can put together the found expressions to write the **overall input-referred noise in terms of magnetic field density**:

$$\begin{aligned} \sqrt{S_{Bn,tot}} &= \sqrt{\left(\sqrt{2 \cdot S_{n,op}} C_p \frac{2 \omega_0 g^2 b_{area}}{\varepsilon_0 i L V_{BIAS}}\right)^2 + \left(\frac{\sqrt{\frac{8 k_B T}{R_F} 2 g^2 b_{area}}}{\varepsilon_0 i L V_{BIAS}}\right)^2 + \left(\frac{4}{i L} \sqrt{k_B T b}\right)^2} \\ &= \frac{1}{i L} \sqrt{\left(\sqrt{2 \cdot S_{n,op}} C_p \frac{2 \omega_0 g^2 b_{area}}{\varepsilon_0 i L V_{BIAS}}\right)^2 + \left(\frac{\sqrt{\frac{8 k_B T}{R_F} 2 g^2 b_{area}}}{\varepsilon_0 i L V_{BIAS}}\right)^2 + (4 \sqrt{k_B T b})^2} \quad \left[\frac{T}{\sqrt{Hz}}\right] \end{aligned}$$

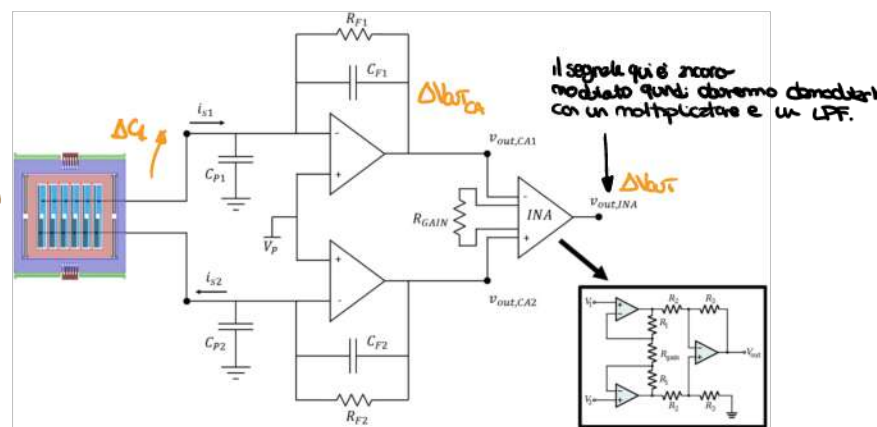
- Acting on  $i$  and  $L$  increases the Lorentz force
  - with mentioned area and power constraints;
- If the **electronic noise** dominates:
  - you can act on **any parameter related to the sensitivity** (gap, bias voltage...);
  - you should **minimize parasitics ( $C_p$ )** and **maximize the feedback resistance  $R_F$** ;
- If device noise dominates:
  - you have **not so many options**, as already discussed above...

11.11.2021

Esercitazione

We are asked to design the sense electronics of a mode-split capacitive MEMS gyroscope. The device parameters are reported in Table 1 ( $C_p$  is the parasitic capacitance between stator pads and ground). The circuit topology is shown in Fig. 1.

1. Calculate the sensitivity in terms of sense capacitance per unit angular rate, CA output voltage per unit angular rate, and INA output voltage per unit angular rate. Additionally, calculate the FSR.
2. Evaluate the intrinsic resolution of the sensor, due to thermo-mechanical noise only.
3. Size the feedback resistance of the CA-based front-end, in order to obtain a well-balanced system in terms of noise performance.
4. Calculate the voltage noise PSD of the INA required not to worsen the resolution of the sensor, and the needed bias current of the input op-amps of the INA, in order to fulfill this requirement.



Structure		
Process thickness	$h$	22 $\mu\text{m}$
Gap	$g$	1.9 $\mu\text{m}$
External mass (half structure)	$m_e$	2 nKg
Internal mass (half structure)	$m_i$	8 nKg
Sense axis		
Sense resonance frequency	$f_{rs}$	19800 Hz
Sense damping (half structure)	$b_s$	2 $\mu\text{N}/(\text{m/s})$
Parallel-plate length	$L_{PP}$	329 $\mu\text{m}$
Parallel-plate cells (whole structure)	$N_{PP}$	15
Rotor-to-stator DC voltage	$V_{DC}$	10 V
Drive axis		
Drive displacement amplitude	$x_{da}$	6 $\mu\text{m}$
Drive resonance frequency	$f_{rd}$	19000 Hz
Drive damping (half structure)	$b_s$	100 nN/(\text{m/s})
Electronics		
Amplifier supply voltage	$V_{DD}$	0-3.3 V
CA feedback capacitance	$C_F$	2 pF
Parasitic capacitance	$C_p$	10 pF
INA resistance	$R_{GAIN}$	4.94 k $\Omega$
INA gain	$G_{INA}$	$1 + 49.4 \text{ k}\Omega / R_{GAIN}$
CA op-amp voltage noise PSD	$s_{n,OA,V}$	3.3 nV/ $\sqrt{\text{Hz}}$
CA op-amp current noise PSD	$s_{n,OA,I}$	1 fA/ $\sqrt{\text{Hz}}$
INA op-amp MOS overdrive voltage	$V_{OV}$	200 mV
INA op-amp MOS $\gamma$ coefficient	$\gamma$	2/3

Sappiamo che il displacement dato l'angolo (?) è:

$$\frac{y}{\Omega} = \frac{x_d}{\Delta \omega_{ds}} = \frac{x_d}{2\pi(f_s - f_d)} = \frac{6\text{mm}}{\frac{2\pi}{\text{rad}} \cdot 800\text{Hz}} = 1,19 \frac{\text{mm}}{\text{rad/s}} = 1,19 \frac{\text{nm}}{\frac{180}{\pi} \text{s}} = 20,8 \frac{\text{pm}}{\text{dps}}$$

Calcoliamo la capacità su angolo:

$$\frac{\Delta C_s}{\Omega} = \frac{2 d C_s}{dy} \cdot \frac{dy}{d\Omega} = 2 \cdot \frac{C_{so}}{g} \cdot \frac{x_d}{\Delta \omega_{ds}} = 2 \frac{E_0 h LPP NPP}{g^2} \cdot \frac{x_d}{\Delta \omega_{ds}}$$

$$= \frac{2 \cdot 8,85 \cdot 10^{-11} \cdot 22\text{m} \cdot 32\text{gm} \cdot 15}{(1,9\text{mm})^2} \cdot 20,8 \frac{\text{pm}}{\text{dps}}$$

$$\approx 2 \cdot \frac{506 \text{fF}}{1,9\text{mm}} \cdot 20,8 \frac{\text{pm}}{\text{dps}} = 11,1 \frac{\text{aF}}{\text{dps}} \text{ otto ferd}$$

Da tensione a angolo

$$\frac{\Delta V_{out,ca}}{\Omega} = 2 \cdot \frac{dV}{dC_s} \cdot \frac{dC_s}{\Omega} = \frac{V_{ROTAR}}{C_F} \cdot 11,1 \frac{\text{aF}}{\text{dps}} = \frac{10\text{V}}{2\text{pF}} \cdot 11,1 \frac{\text{aF}}{\text{dps}} = 55,5 \mu\text{V/dps}$$

E finiamo con

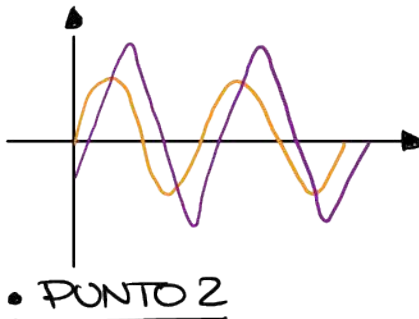
$$\frac{\Delta V_{out}}{\Omega} = \frac{\Delta V_{out,ca}}{\Omega} \cdot G_{WA} = 55,5 \frac{\mu\text{V}}{\text{dps}} (1+10) = 610 \mu\text{V/dps}$$

Ci viene chiesto di calcolare la FSR di questo sistema (supponendo di non avere quadratura)

$$FSR = 0 \div 3,33\text{V} \rightarrow \pm 1,65\text{V} = \pm 2700 \text{dps}$$

Per questo ci serve di un segnale sia controllato a 1,65V, per farlo usiamo il reference pin dell'INA.

E se avessimo una quadratura non compensata come calcoliamo il FSR?



Allora dobbiamo fare la stessa cosa ma sommando quadratamente i 2 segnali per calcolare il vettore massimo.

$$S_{fn} = k_B T \cdot b \quad [\text{N}^2/\text{Hz}]$$

$$F_{car} = 2ms \overline{v_d} \cdot \Omega = 2ms \overline{x_d \omega_d} \cdot \Omega$$

$$Perciò S_{Fn} = (2 ms \times d \omega_d)^2 S_{eb}$$

Seppiamo quindi che

$$\sqrt{S_{eb}} = NERD_{HF} = \frac{\sqrt{4 K_B T_{bs}}}{2 ms \times d \omega_d} = \frac{\sqrt{K_B T_{bs}}}{ms \times d \omega_d}$$

$$= \frac{\sqrt{1,38 \cdot 10^{-23} J/K \cdot 300K \cdot 2 \cdot 10^6 Hz}}{8 mkg \cdot 6 \mu m \cdot 2\pi 19000 kHz}$$

$$= \frac{\text{Avremo il risultato in } \left[ \frac{\text{rad/s}}{\sqrt{\text{Hz}}} \right]}{\text{Se lo voglio in dps ottengo}}$$

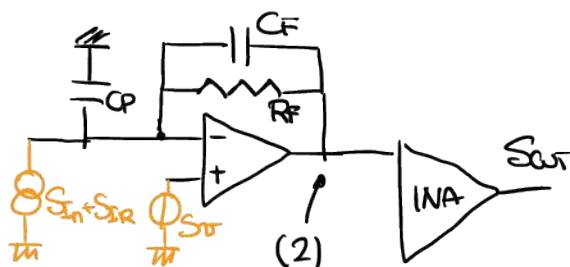
$$= " \cdot \frac{180}{\pi} \left[ \frac{\text{dps}}{\sqrt{\text{Hz}}} \right] \approx 900 \frac{\text{udps}}{\sqrt{\text{Hz}}}$$

Per capire sta roba vedo che la bs redoppia con 2 masse ma anche la massa redoppia.

PUNTO 3 Dimensionare RF per far sì che il rumore meccanico = rumore elettronico.

Ci sono state date le noise density per la corrente e la tensione.

Consideriamo tutto single ended



Il trucco è calcolare tutto all'antipode poi dividere per la sensibilità tratta prima

$$S = 610 \mu V/dps$$

$$S_{out,IN} = 2 \cdot S_{in} \left( 1 + \frac{C_P}{C_F} \right)^2 \cdot G_{INA}^2$$

è differenziale

$$S_{out,Vn} = \frac{\sqrt{S_{out,IN}}}{610 \mu V/dps} = \frac{\sqrt{2} (33 nV/\sqrt{\text{Hz}}) \cdot \left( 1 + \frac{10P}{Z_P} \right) \cdot 11}{610 \mu V/dps} = 510 \frac{\text{udps}}{\sqrt{\text{Hz}}}$$

$$S_{out,IN} = 2 \cdot S_{in} \cdot \left( \frac{1}{2\pi f_d C_F} \right)^2 \cdot G_{INA}^2$$

$$\sqrt{S_{e,IN}} = \frac{\sqrt{S_{out,IN}}}{610 \mu V/dps} = \frac{\sqrt{2} \cdot 1 fA/\sqrt{\text{Hz}} \cdot \frac{1}{2\pi 19 \text{kHz} \cdot 2 \text{pF}} \cdot 11}{610 \mu V/dps} = 106 \frac{\text{udps}}{\sqrt{\text{Hz}}}$$

Perciò abbiamo che per avere il tutto ben bilanciato dobbiamo avere che

$$\sqrt{S_{\text{I2,Vn}} + S_{\text{I2,In}} + S_{\text{I2,RF}}} = \text{NERD}$$

$$S_{\text{I2,RF}} = \text{NERD}^2 - (S_{\text{I2,Vn}} + S_{\text{I2,In}}) = (620 \frac{\mu\text{dps}}{\text{Hz}})^2 - (52 \frac{\mu\text{dps}}{\text{Hz}})$$

$$\sqrt{S_{\text{I2,RF}}} = 377 \frac{\mu\text{dps}}{\text{Hz}} = \sqrt{2 \cdot \frac{4 \text{K} \text{B} T}{R_F} \cdot \frac{1}{\text{WD} \cdot \text{CF}}} \cdot 6 \text{mA}$$

610  $\mu\text{V/dps}$

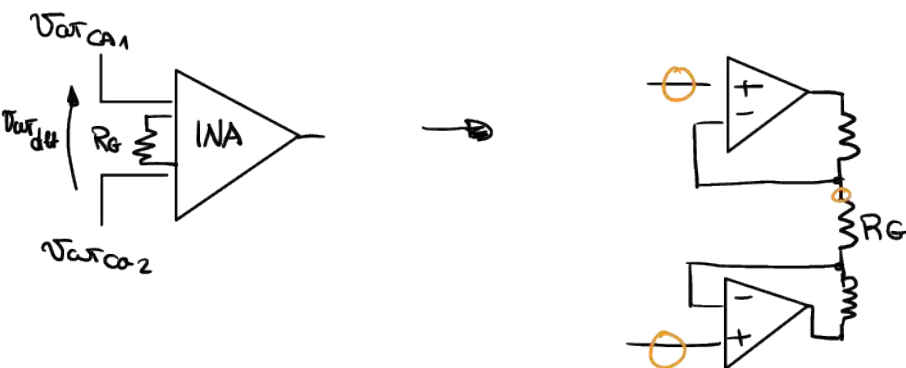
Perciò abbiamo 2 resistenze una per ogni operamp differenziale

Da qui ricaviamo  $R_F = 1,386 \Omega$ .

Adesso dobbiamo checkare che con questo valore di resistenza il circuito funzioni come charge amplifier

Vediamo che il polo è a 20kHz mentre noi lavoriamo a 19kHz

### Punto h) Rumore dell'INA



Dai valori calcolati prima ricaviamo che l'averell noise all'input dell'INA

$$\sqrt{S_{V,\text{INA}}} = \underbrace{900 \frac{\mu\text{dps}}{\text{Hz}} \cdot 55 \frac{\mu\text{V}}{\text{dps}}}_{\text{è il rumore totale d'uscita?}} = \frac{50 \text{nV}}{\text{Hz}} \quad \leftarrow \text{Capire bene sta cosa.}$$

$$\sqrt{S_{R_{\text{I2,WA}}}} = \sqrt{4 \text{K} \text{B} T R_F} = \frac{9 \text{nV}}{\text{Hz}} \quad \leftarrow \text{è il rumore della resistenza } R_F \text{ che possiamo considerarlo trascurabile } g \ll 50$$

Possiamo dire che un rumore è trascurabile quando è  $\frac{1}{3}$  di quell'altro.

$$\frac{50 \text{nV}}{\frac{1}{3} \text{Hz}} = 16,5 \frac{\text{nV}}{\text{Hz}}$$

Calcoliamo il rumore degli impiettitori (la target noise è gestita per renderli trascurabili e'  $\leq 165 \text{ nV}/\sqrt{\text{Hz}}$ )  
 Ma otteniamo che 165 deve essere il rumore del differenziale perciò il singolo deve avere rumore  $16.5 \text{nV}/\sqrt{\text{Hz}} \approx 1 \text{nV}/\sqrt{\text{Hz}}$

$$S_{Vn,INA} = \frac{2 k_B T \gamma}{g_m} = \left( \frac{1 \text{nV}}{\sqrt{\text{Hz}}} \right)^2$$

$$g_m = \frac{2 I_D}{V_{DD}}$$

RUMORE DEL MOSFET

$$= 2 \frac{k_B T \gamma V_{DD}}{2 I_D} \rightarrow I_D = \frac{k_B T \gamma V_{DD}}{S_{Vn,INA}} = 22 \mu\text{A}$$



Il 2 nella formula è dato dal fatto che abbiamo 2 mosfet che fanno rumore.

## Magnetometro 2

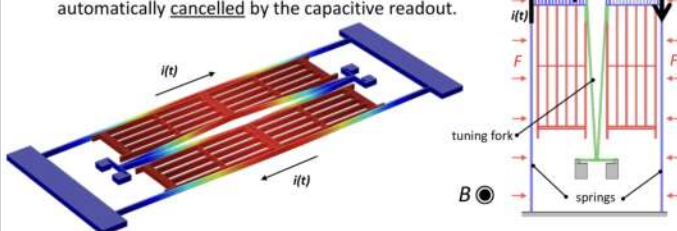
Uno dei vantaggi principali di fare un magnetometro MEMS è quello che possono fare un device 925 su uno stesso chip in polysilicio e senza l'uso di componenti magnetici.  
 Ma ha anche dei svantaggi: (con la struttura vista in precedenza)

- Trasde off tra noise density e banda (con la struttura mode matched)
- Robustezza contro le accelerazioni
- Area (a servizio grande) molte per rendere possibile rilevare la forza di Lorentz)

## Architetture avanzate per fare un rejecting delle accelerazioni.

- A differential architecture can be obtained if the device is split into two halves, with the current circulating in opposite directions:

- the Lorentz force will itself have different directions on the two device halves;
- accelerations, which have the same effect on the two halves, will be seen as a common mode and automatically cancelled by the capacitive readout.



Vogliamo che il movimento sia in antifase perciò la forza di Lorentz deve essere opposta, ergo cambiamo il verso della corrente

In questo caso lo scale factor è uguale a quello del caso precedente solo moltiplicato x 2.

Quando abbiamo un'accelerazione questa sarà di common mode e quindi possiamo eliminarla.

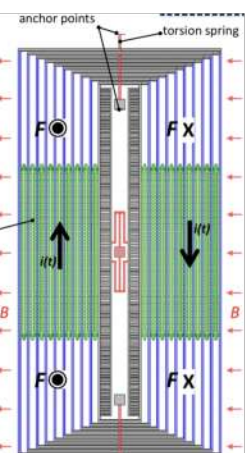
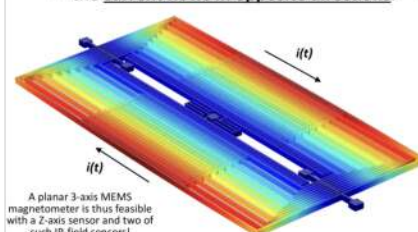
Possiamo poi fare anche una struttura per rilevare in-plane magnetic fields:

Abbiamo dei plettini paralleli sotto la struttura e poi la forza di lorentz farà vibrare la struttura. Se il punto di rotazione è estremamente al centro di gravità allora l'accelerazione non fa vibrare niente.

Per avere forza torsionale (che è avere segnale differenziale) invertiamo la corrente ab in entrambi gli zello.

- Devices moving in the OOP direction (i.e. sensitive to in-plane fields) correctly show a differential readout and reject accelerations provided that:

- they are balanced (in terms of gravity) with respect to the rotation axis, and
- the current flows in opposite directions.



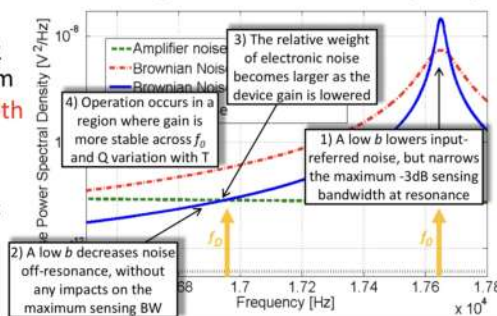
Il trucco per far scorrere la corrente bare nel sistema mettendo un piccolo film di metallo. Non è uno step in + perché già mettono il metallo per avere i pin quindi non dobbiamo aggiungere niente al processo.

## OFF-RESONANCE (MODE SPLIT) OPERATION

Unlike axels and gyros, mags suffer from a **non-negligible thermo-mechanical noise**. Lowering the damping coefficient would imply a consistent reduction in the maximum achievable bandwidth.

**Mimicking** the behavior of **mode-split gyroscopes**, our lab first proposed the operation of MEMS magnetometers with a **frequency split between driving current and resonance frequency**, with the aim of **solving the bandwidth-resolution trade-off**.

The figure summarizes potential advantages and issues.



Facciamo il doppio per metà struttura e poi moltiplichiamo per 2

K<sub>TTF</sub> è la stiffness di metà della tuning fork.

(Qui non mette i due 2 perché considera come la capacità dell'intera struttura)

Abbiamo visto che la sensitività è indipendente da b e quindi possiamo aggiungere patti parziali per aumentare C<sub>0</sub> e conseguentemente la sensitività e recuperare un po' quello che abbiamo perso nella off resonant operation.

Inoltre i magnetometri non sono una grande massa perché non sono sensori inerti quindi piccola m → piccolo K e quindi guadagno in sensitività.

## NEMD (rumore termodinamico e banda)

• What about **the achievable SNR**? All the expressions found for resonant operation are still valid, provided that

= we substitute the quality factor  $Q$  with the effective quality factor  $Q_{eff}$

= the -3 dB bandwidth value  $\Delta f_{el,n}$  is now given by an electronic LPF

$$\frac{x}{B} = \frac{iL}{2k_{1/2}} Q_{eff}$$

$$\sqrt{S_{Xn}} = \sqrt{4k_B T b} \left( \frac{Q_{eff}}{k_{1/2}} \right)^2$$

= the NEMD does not change:

$$NEMD = \sqrt{S_{Bn}} = \frac{\sqrt{S_{Xn}}}{x/B} = \frac{4}{iL} \sqrt{k_B T b}$$

Usiamo Q<sub>eff</sub> al posto di Q ma vediamo che come nei giroscopi il rumore termodinamico non cambia minimamente

Se usiamo una struttura con 2 device allora la NEMD totale si riduce di  $\sqrt{2}$  (è come avere 2 volte il segnale e  $\sqrt{2}$  il rumore).

## Problemi nella gestione della corrente di drive alla giusta freq.

Per ora abbiamo sempre supposto che la frequenza della corrente sia costante e giusta. Il problema principale è che se la corrente è tra una frequenza fissa e precisa allora rimane fissa anche con variazioni di temperatura, il problema è che la freq di rischiaratura del sistema varia con la temperatura e questo fa sì che la distanza tra le 2 freq non sia fissa.

Lavoriamo ad una frequenza che non è quella di risonanza.

Questo ci permette di lavorare in una zona molto più stabile termicamente e separano la banda dal rumore.

Avremo un impatto maggiore del rumore dell'elettronica però (e questo è dato al fatto che lo scale factor è + basso perché Q<sub>eff</sub> è + piccolo)

- The **sensitivity** can be calculated **as in the case of resonant operation**, provided the quality factor is substituted by the gain at a distance  $\Delta f = f_0 - f_D$ , which we called **effective quality factor** (a.k.a. Leeson's effect):

$f_0$  resonance frequency of the magnetometer sensing mode  
 $f_D$  frequency at which the AC current is injected into the magnetometer

$$Q_{eff} = \frac{f_0}{2\Delta f} = \frac{\omega_0}{2\Delta\omega}$$

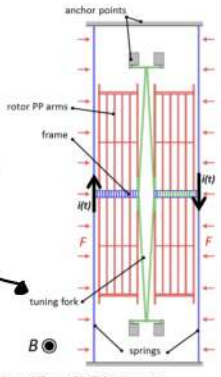
- For a **tuning-fork structure**, you can evaluate the scale-factor expression for just half of the device and then simply multiply by a factor 2:

$$k_{3/2} = k_{1/2} \cdot beam + k_{1/2} \cdot TF$$

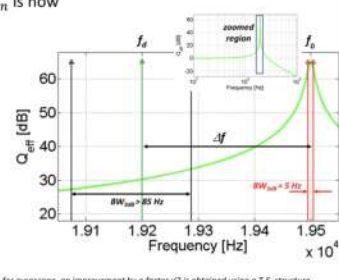
$$x = B i L \frac{Q_{eff}}{2k_{1/2}}$$

$$\Delta C = 2 \frac{C_0}{g} x = \frac{C_0}{g} B i L \frac{Q_{eff}}{k_{1/2}} = \frac{C_0}{g} k_{1/2} B i L \frac{f_0}{2\Delta f}$$

$$\frac{\Delta V_{out}}{B} = \frac{V_{BIAS} C_0}{C_F g} \frac{iL}{k_{1/2}} \frac{f_0}{2\Delta f}$$



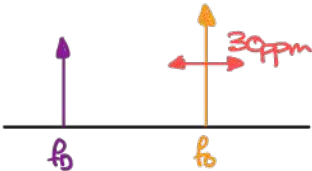
NOTE:  $C_0$  = single-ended capacitance of the whole structure (includes the factor 2 associated to the tuning fork configuration)  $k_{1/2}$  = stiffness of half the structure



NOTE: the so-calculated NEMD refers to a single half of the device. Like for gyroscope, an improvement by a factor  $\sqrt{2}$  is obtained using a T.F. structure.

Regola della corrente sia costante e giusta.

Regola della corrente sia costante e giusta. Il problema principale è che se la corrente è tra una frequenza fissa e precisa allora rimane fissa anche con variazioni di temperatura, il problema è che la freq di rischiaratura del sistema varia con la temperatura e questo fa sì che la distanza tra le 2 freq non sia fissa.



Un modo per risolvere questo è quello di far sì che la Resonanza con cui viene modulata la corrente sia creata da un resonatore MEMS così anche lui varia con la temp.

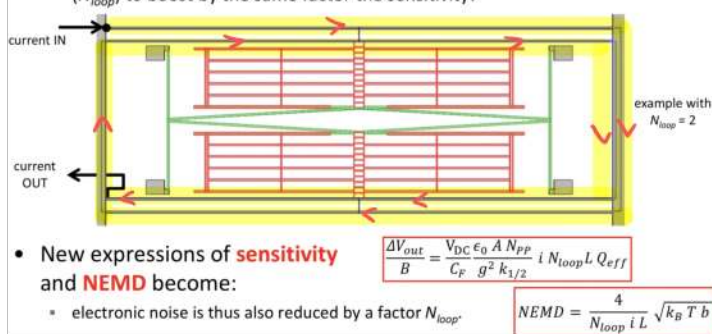
## Architetture Horth loop

C'è un altro problema che non abbiamo considerato, noi vogliamo ridurre il rumore elettronico così ce ne possono essere diversi luoghi di rumore quando lavoriamo fuori dalla frequenza.

Infatti dato che lo scalo factor è + piccolo allora il rumore dell'elettrica viscerale maggiore. Dobbiamo trovare un modo per fare un boost dello scalo Factor e senza consumare + potenza

- The only way to boost the sensitivity is to act on the Lorentz force:

- we cannot act on the length (area constraints);
- we cannot act on the current intensity (power dissipation constraints), but...
- ... we can reuse the same current and make it re-circulate several times ( $N_{loop}$ ) to boost by the same factor the sensitivity!



Intuitivamente se vogliamo + forza scommettiamo la corrente ma no xe coscienza di +, allora l'idea geniale è quella di far ricircolare la corrente + volte sullo stesso ramo.

Perciò corrispondentemente abbiamo un fattore moltiplicativo

Perciò adesso la sensibilità sarà moltiplicata per il numero di loop.

Dal punto di vista del rumore questo non ne crea di nuovo ma la electronic noise totale è ridotta perché la sensitività è aumentata

$$\begin{aligned} \sqrt{S_{Bn,tot}} &= \sqrt{\left( \sqrt{2 \cdot S_{n,op}} \frac{C_p}{V_{BIAS} \epsilon_0 A N_{PP} i L \omega_0} \cdot N_{loop} \right)^2 + \left( \sqrt{\frac{8 k_B T}{R_F}} \frac{g^2 k_{1/2} 2 \Delta \omega}{2 \epsilon_0 A N_{PP} i L V_{BIAS} \omega_0^2} \cdot N_{loop} \right)^2 + \left( \frac{4}{N_{loop} i L} \sqrt{k_B T b} \right)^2} = \\ &= \frac{1}{N_{loop} i L} \sqrt{\left( \sqrt{2 \cdot S_{n,op}} \frac{C_p}{V_{BIAS} \epsilon_0 A N_{PP} \omega_0} \cdot g^2 k_{1/2} 2 \Delta \omega \right)^2 + \left( \sqrt{\frac{8 k_B T}{R_F}} \frac{g^2 k_{1/2} 2 \Delta \omega}{2 \epsilon_0 A N_{PP} V_{BIAS} \omega_0^2} \right)^2 + (4 \sqrt{k_B T b})^2} \quad \left[ \frac{T}{\sqrt{\text{Hz}}} \right] \end{aligned}$$

- Acting on  $i$  and  $L$  increases the Lorentz force
  - with mentioned area and power constraints;
- If the **electronic** noise dominates:
  - you can act on any parameter related to the sensitivity (gap, bias voltage...);
  - you should minimize parasitics ( $C_p$ ) and maximize the feedback resistance  $R_F$ ;
- If **device** noise dominates:
  - you can lower the damping coefficient, as already discussed above...
- Adding recirculating loops decreases all input-referred noise contributions, as it directly increases the Lorentz force!
  - required extra area is not so huge (large part of area is taken up by PP readout cells!).

## Un magnetometro 3 assi fatto su uno stesso tipo

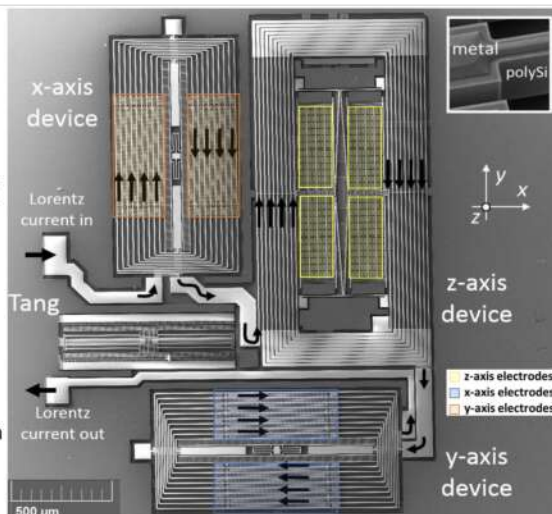
3 magnetometri  
and one Tang  
resonator

STM 22-μm-thick  
surface machining

- Al-on-metal deposition for the loops.

Acceleration  
rejection:

- tuning fork (Z-axis device) and torsion  
springs (X-axis device).

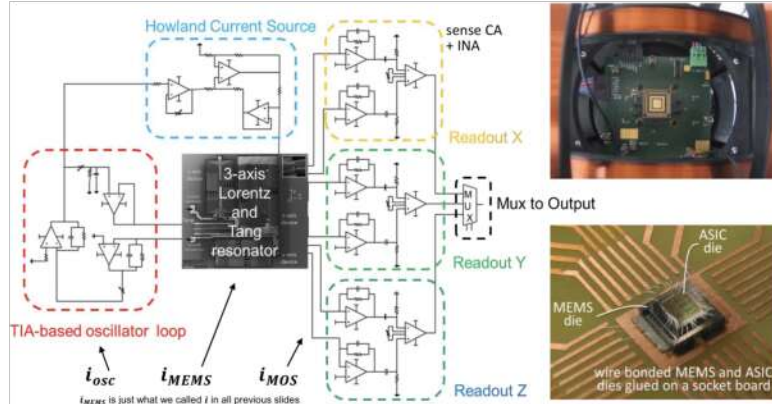


L'unico lato negativo di questa struttura è che è un po' grande

Tutta questa struttura è circa 2.5mm

## Magnetometri 3

Dato una max corrente che possiamo consumare come la spartiamo tra l'elettronica e la corrente per la forza di Lorentz?



- Note: a single current recirculating in all the 3 devices implies a 3x saving in power dissipation! This is feasible only in off-resonance mode (at resonance, it would be impossible to have the frequencies of the 3 axes perfectly matched)!

scorre per generare la forza di Lorentz  
la corrente che scorre nei mos per l'amplificazione.  
corrente? Per semplicità diciamo che la corrente mos non ha effetti sul rumore e quindi quella sarà la minima corrente che possiamo avere per avere l'oscillazione.

Sappiamo già che il rumore dell'impulso dipende dalla corrente.

- The current consumed by the sense CAs, on the contrary, determines to a large extent the electronic noise  $S_{Vn}$ :

$$g_m = \frac{2i_{MOS}}{V_{OV}} = 2\sqrt{k_n i_{MOS}} \quad S_{Vn,MOS} = \frac{\gamma 4k_B T}{g_m} = \frac{\gamma 4k_B T}{2\sqrt{k_n i_{MOS}}} \quad i_d = g_m v_{gs} \quad i_{MOS}$$

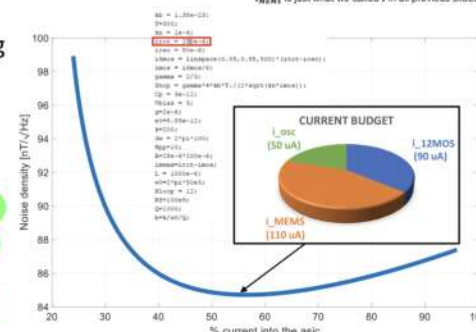
Abbiamo il differenziale pair quindi consideriamo il doppio del rumore di un singolo Mos.  
Inoltre tipicamente abbiamo una struttura differenziata perciò dividiamo consigliate da c sono 2  $S_{Vn}$ .

Scriviamo l'eq del rumore completo in funzione della corrente.

- We now write the overall noise equation as a function of the current injected in the MEMS ( $i_{MEMS}$ ) and that of the input pair ( $i_{MOS}$ ).

$$\sqrt{S_{Bn,tot}} = \frac{1}{N_{loop} i_{MEMS} L} \left( \sqrt{2 \frac{\gamma 4k_B T}{\sqrt{k_n i_{MOS}}} V_{BIAS} \frac{g^2 k_{1/2} 2 \Delta \omega}{\epsilon_0 A N_{PP} \omega_0}} \right)^2 + \left( \sqrt{\frac{8 k_B T}{R_F} \frac{g^2 k_{1/2} 2 \Delta \omega}{2 \epsilon_0 A N_{PP} V_{BIAS} \omega_0^2}} \right)^2 + \left( 4 \sqrt{k_B T b} \right)^2$$

- As an example, assuming a current of 50  $\mu A$  to sustain the oscillator (no AGC needed), the optimum partitioning between MEMS current and overall ASIC current results to be well balanced (about 50%).

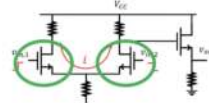


Se noi lavoriamo in off resonance possiamo comandare tutte 3 gli assi con la stessa corrente (Questo perché mi mi interessa solo siano le frequenze dei 3 assi di posso essere diverse ma li comandi tutti e 3 a freq.). E così risparmio corrente

Per il resto a serve la corrente per generare l'oscillazione e la chiarezza i mos. Per abbazzmo la corrente che de chiarezza i mos e infine abbazzmo i mos. Come si divide tra queste correnti? Per semplicità diciamo che la corrente mos non ha effetti sul rumore e quindi quella sarà la minima corrente che possiamo avere per avere l'oscillazione.

Quanti mos dovremo tenere conto nel nostro conto del rumore?

A typical differential operational amplifier has a pair of input transistors, each with its own voltage noise component.



The amplifier noise that we modeled so far, which we named  $S_{Vn}$ , corresponds thus to twice the noise of a single transistor. We neglect noise of transistors of the following stages, which is usually made negligible.

$$S_{Vn} = 2 \frac{\gamma 4k_B T}{g_m} = \frac{\gamma 4k_B T}{\sqrt{k_n i_{MOS}}}$$

Note that, if you have two amplifiers for differential sensing, then noise power spectral density should be multiplied by another factor 2. We already took it into account in past classes.

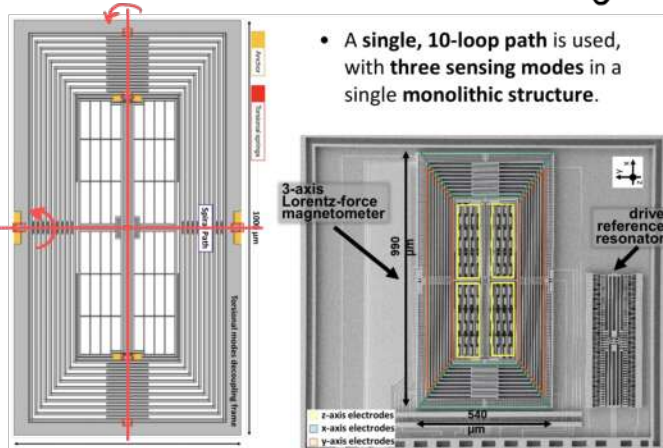
Vediamo che  $i_{MOS}$  è fuori della radice mentre  $i_{MEMS}$  è sotto, perciò uno sarebbe tentato di mettere la maggior parte della corrente sul MEMS. Questo è parzialmente corretto ma ad un certo punto non è più conveniente. Perciò ad un certo punto la componente del rumore data da  $i_{MOS}$  cala meno rispetto a quanto seleziona il rumore di  $i_{MOS}$ .

Notiamo in modo intuitivo che se supponiamo 50 uA per los allora una buona approx è dividere la restante corrente a metà tra i mos e i mems.

## Area

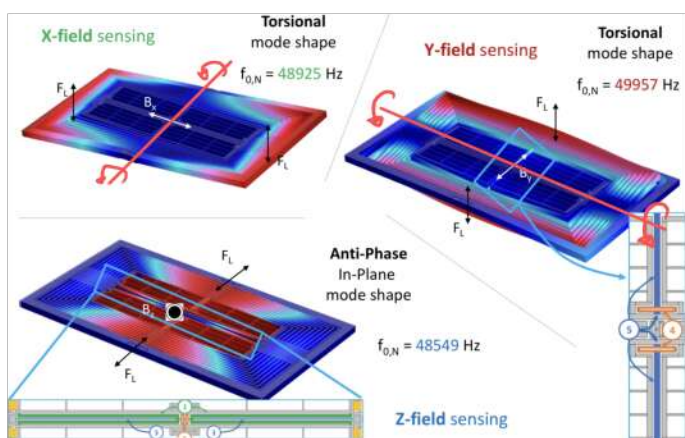
Come avevamo già detto il magnetometro consuma un bottino di area  
dobbiamo trovare un modo per ridurne questa area.

Devo trovare un modo che mi permetta di usare solo un unico loop che mi  
faccia funzionare tutti e 3 gli essi del magnetometro.



Se voglio fare il sensing magnetico di più  
dovrei dover fare 3 cose:  
 1) le modalità risonanti non sono alla  
stessa f perché con il Cross Coupling posso  
ottenere anche un'altra modalità.  
 2) Una modalità tenderà a deformare il  
circuito e questa deformazione non deve  
fare sì che si inducano crosstalk con le  
altre modalità (cross-talk sia meccanico che  
elettronico)

L'idea di questa struttura è che è incarta nei punti gialli e può girare sui  
dotti torsionali espessi con i rettangoli rossi. Per il Capacitive sensing abbiamo  
3 paia di elettrodi come si può vedere nella foto accanto 2 paia sono elettrodi  
combinati e quelli gialli sono in phase sensing.



X-field: tilta verso l'indietro, Notiamo che la  
parte centrale di  $B_L$  non si muove così non  
creiamo cross-talk. gli elettrodi di  $y$  non vedono  
variazioni di capacità anche se la parte sopra  
si muove perché si muovono in common mode

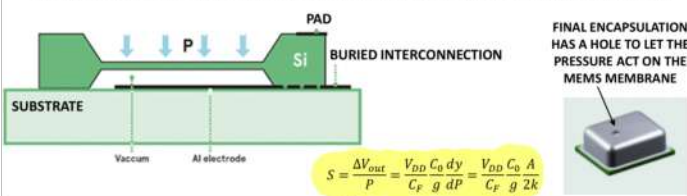
Y-field: stessa cosa di x solo per y.

Z field: Standard.

## Esempi di altri sensor MEMS

### Sensore di Pressione

- General concept: use a **hermetic-sealing membrane** between a known pressure level (typically much lower than ambient pressure) and the **quasi-DC** ambient absolute pressure value.
  - the membrane can be obtained from an epitaxial growth and a further, selective, thinning and filling of the release holes.
- The **difference in pressure makes the suspended membrane deflect** as a function of the outside pressure.
- The deflection generates a **capacitive change** (single ended, in this example), which is readout through capacitive sensing interfaces.

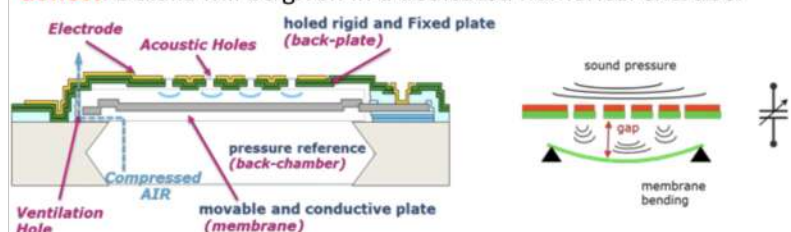


Lo scale factor è questo perché abbiamo  
una single ended capacitance.

### Microfono

Acoustic waves are pressure waves: a **microphone** needs thus to  
**sense the AC pressure**, usually from 20 Hz to 20 kHz, while **leaving out the DC value of pressure**.

To let this happen, a **fixed membrane** features **specific holes** (acoustic holes), in such a way that there is **no DC pressure difference** between outside and the two chambers. However, for AC waves, there is an **effective AC pressure difference** between the back chamber and the front chamber, which **makes the membrane deflect**. Details will be given in a dedicated numerical exercise.



A magnetometer shall be coupled to the integrated circuit shown in Fig. 1. The circuit is formed by two front-end charge amplifiers, a passive AC coupling and an INA.

- Choose the split between drive frequency and resonance frequency so to cope with a required 50 Hz bandwidth, and calculate the electromechanical sensitivity [F/T].
- Find the feedback capacitance, in order to use the full rail-to-rail dynamics at the end of the electronics chain at the full scale range ( $FSR = 3 \text{ mT}$ ).
- Considering only the intrinsic MEMS thermo-mechanical noise, what is the MEMS limit to the system resolution?
- A current budget of  $150 \mu\text{A}_{\text{rms}}$  has to be split between MEMS driving and front-end electronics. Your IC technology allows transistors with a maximum  $W/L = 150/1$  and a  $\mu_n C_{\text{ox}} = 100 \frac{\mu\text{A}}{\text{V}^2}$ : what is the electronics limit to your system resolution?
- A well-balanced design is obtained if MEMS and electronics resolution are equal. Considering the design constraints, is it possible to reach the optimal situation?

### PUNTO 1)

mini recap di quello che abbiamo fatto:

abbiamo una f' drive diversa da  $f_0$  e dobbiamo scegliere  $f_0$  per avere banda di 50Hz



Sappiamo che la forza è  $F = BiL \cdot N_{\text{loop}}$

Se  $B$  ha una componente alternata allora questa sarà modulata esterno ad  $f_0$  allora ho 2 trai 2 Hz a  $f_0$ .

Allora curva di l'andamento in frequenza sarà

Nel non vogliamo prendere il picco perché lo filtro prima. Tipicamente un buon valore si ha per  $\Delta f/3$ , allora

$$\Delta f = f_0 - f_d = 3 \cdot BW = 150 \text{ Hz}$$

Adesso posso calcolare che

$$\frac{\Delta C}{B} = \frac{C_L N_{\text{loop}}}{K_{Y2}} \cdot Q_{\text{eff}} \cdot \frac{C_0}{g}$$

c'è  $K_{Y2}$  perché c'è solo di metà struttura dato che ho la tuning fork

(Nota, nel testo ci viene data la corrente rms ma nei retto scalo factor dobbiamo usare il valore d' picco  $i = i_{\text{rms}} \sqrt{2} = 71 \mu\text{A}$ )

$$Q_{\text{eff}} = \frac{f_0}{2\Delta f} = \frac{18000}{2 \cdot 150} = 60 \quad \text{allora posso calcolare lo scalo factor}$$

$$\text{Per cui } \frac{\Delta C}{B} = \frac{71 \mu\text{A} \cdot 1400 \mu\text{m} \cdot 10}{60 \text{ N/m}} \cdot 60 \cdot \frac{390 \text{ pF}}{1,5 \mu\text{m}} = 257 \cdot 10^{-15} \frac{\text{F}}{\text{T}} \\ = 257 \frac{\text{pF}}{\text{T}}$$

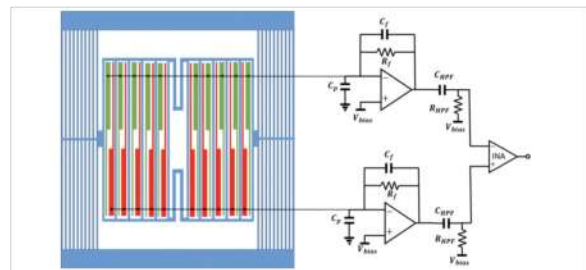
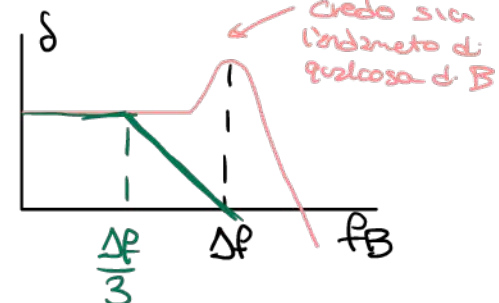


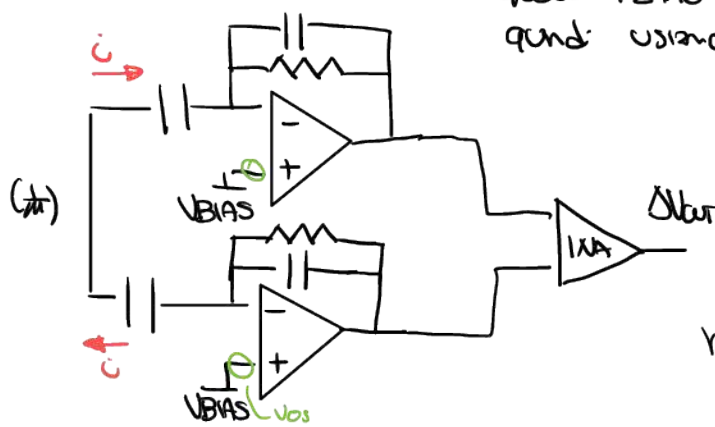
Figure 1: Schematic representation of device and readout electronics.

Device Parameters		
rest gap	$g$	1.5 $\mu\text{m}$
single-ended rest capacitance	$C_0$	390 $\text{fF}$
anti-phase resonance frequency	$f_0$	18000 Hz
drive current	$i_{\text{MEMS},\text{rms}}$	50 $\mu\text{A}_{\text{rms}}$
current loop number	$N_{\text{loop}}$	10
spring length	$L$	1400 $\mu\text{m}$
half-structure stiffness	$k_{1/2}$	60 $\text{N/m}$
parallel-plate cells	$N_{PP}$	10
parallel-plate length	$L_{PP}$	400 $\mu\text{m}$
sealing pressure	$P_0$	0.25 mbar
damping coefficient	$b$	$4.22 \cdot 10^{-8} \text{ kg/s}$
Bandwidth	$BW$	50 Hz
drive current	$i_{\text{MEMS},\text{rms}}$	50 $\mu\text{A}_{\text{rms}}$
supply voltage	$V_{DD}$	5 V
stators bias voltage	$V_{bias}$	2.5 V
$\mu_n C_{\text{ox}}$	$\mu_n C_{\text{ox}}$	100 $\mu\text{A}/\text{V}^2$
parasitic capacitance	$C_P$	1.5 $\text{pF}$
INA resistance	$R_{\text{GAIN}}$	495 $\Omega$
INA gain	$G_{\text{INA}}$	$1 + 49.4 \text{ k}\Omega / R_{\text{GAIN}}$



## PUNTO 2

$$FSR = \pm 3\text{mT}$$



C'è un po' di differenza rispetto ai giroscopi perché quelli hanno Vrot che si può impostare qui e' necessario quindi usare VBIAS

$$\frac{\Delta V_{out}}{B} = \frac{\Delta C}{B} \cdot \frac{V_{BIAS}}{G} \cdot G_{INA}$$

non ho messo i 2 perché già prima ho considerato il fattore che sono differential sensing

Sappiamo che  $VDD=5V$  e  $GND$ , dovo calcolare  $G_F$ . Se  $V_{BIAS}$  è a metà dinamica ( $2.5V$ ) allora non ce ne noi vogliamo che per il massimo  $B$  noi abbiamo  $5V$  rispetto ai  $2.5V$  di bias

$$\frac{2.5}{3\text{mT}} = \frac{\Delta C}{B} \cdot \frac{V_{BIAS}}{G_F} \cdot G_{INA} \rightarrow G_F = \frac{\Delta C / B \cdot V_{BIAS} \cdot G_{INA}}{2.5 / 3\text{mT}} = 77\text{ pF}$$

## PUNTO 3

Calcoliamo l'equivalent noise density

$$S_{Fn} = 4K_B T b \leftarrow \text{La calcoliamo per metà struttura e poi dividremo per } \sqrt{2}$$

Hi serve poi la relazione tra forza e campo magnetico

$$F = \frac{i L N_{loop} \cdot B}{2}$$

Però ci

$$S_{Fn} = \left( \frac{i L N_{loop}}{2} \right)^2 S_{Br}$$

e dunque

$$\sqrt{S_{Fn}} = NEID = \frac{\sqrt{S_{Fn}^T \cdot 2}}{i L N_{loops}} = \frac{4}{i L N_{loops}} \cdot \sqrt{K_B T b} \quad [\text{T}/\sqrt{\text{Hz}}]$$

Però ci

$$NEID_{1/2} = \frac{4}{71 \mu\text{A} \cdot 1400 \mu\text{m} \cdot 10} \cdot \sqrt{1,38 \cdot 10^{-23} \frac{\text{J}}{\text{K}} \cdot 300\text{K} \cdot 4,22 \cdot 10^{-3} \frac{\text{Ks}}{\text{s}}} = 53\text{nT}/\sqrt{\text{Hz}}$$

Però ci

$$B_{min,dev1/2} = NEID_{1/2} \cdot \sqrt{BW} = 53\text{nT} \cdot \sqrt{50\text{Hz}} = 377\text{nT}_{rms}$$

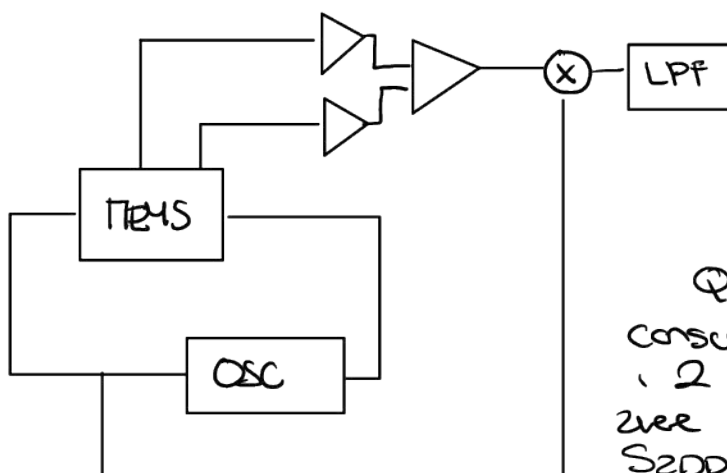
Se abbiamo che le 2 metà sono uguali abbiamo che il campo magnetico minimo rilevabile è dato da

$$B_{min,dec} = \frac{377 nT_{rms}}{\sqrt{2}} = 267 nT_{rms}$$

PUNTO 4)

Abbiamo un budget di corrente di  $150\mu A_{rms}$ .

Noi sappiamo che per comandare il HEMT prima abbiamo usato  $50\mu A$ . Mi chiede il circuito elettronico per la mia risoluzione.

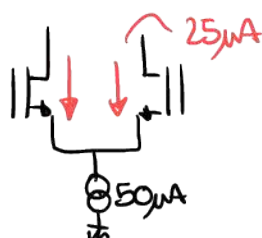


$$TOT = 150\mu A$$

$$HEMT = 50\mu A$$

$$FRONT-END = 100\mu A_{rms} = 100\mu A$$

Quindi ciascuno dei 2 amplificatori può consumare  $50\mu A$  e se ne vediamo i 2 transistor d'input significa che passano circa  $25\mu A$  l'uno  
Sappiamo poi che il rumore di un singolo MOS è  $\text{uno } \frac{4KBT}{gm}$



Noi abbiamo che

$$\mu nCox \cdot \frac{W}{L} |_{MAX}$$

$$\text{mentre } gm = \frac{2ID}{Vd} \quad ID = \frac{1}{2} \mu nCox \frac{W}{L} (Vds)^2$$

$$\text{Dove } Vds = \sqrt{\frac{ID}{Kn}} \quad \text{Però:}$$

$$gm = \frac{2ID}{\sqrt{\frac{ID}{Kn}}} = 2\sqrt{ID \cdot Kn} = 2\sqrt{ID \cdot \frac{1}{2} \mu nCox \frac{W}{L}} = \sqrt{2ID \mu nCox \frac{W}{L}}$$

$$= \sqrt{2ID \mu nCox \frac{W}{L}} = \sqrt{2 \cdot 25\mu A \cdot 100\mu A \cdot 150} = 866 \mu A$$

dato dai 2 MOS

$$Sun = 2 \cdot \frac{4K_B T \gamma}{gm} = \sqrt{\frac{2 \cdot 4 \cdot 1,38 \cdot 10^{-23} J \cdot 300K \cdot 2/3}{866 \mu A/V}} = 5nV/\sqrt{Hz}$$

Però il minimo campo magnetico dato dall'elettronica sarà

Questo 2 è dato dal fatto di abbiamo 2 amplificatori

$$B_{min,elec} = \frac{12 \cdot Sun^2 \cdot \left(1 + \frac{C_P}{C_F}\right) \cdot G_{WA}}{2,5/3mT} \cdot \sqrt{BW}$$

Attenzione potrebbero esserci errori nel testo

$$= \sqrt{2} \cdot \frac{5nT_{Hz} \cdot \left( 1 + \frac{Spf}{77PF} \right) \cdot 100}{2,5/3mT} \cdot \sqrt{50Hz} = 398nTrms$$

Il minimo campo magnetico detto dalle resistenze è:

$$B_{min,R} = \frac{\sqrt{2} \cdot \sqrt{\frac{4kBT}{R_F}} \cdot \frac{1}{WDCF} \cdot GINA}{2,5V/3mT} \approx 398nTrms$$

e da qui ricaviamo RF per ottenere quel valore per rendere il rumore della resistenza trascurabile.

Vediamo che il sistema non è bilanciato abbiano  $398nTrms$  dell'elettronica e  $267nTrms$  del dispositivo.

## PUNTO 5)

Quelli sono le strategie con cui posso bilanciare i 2 rumori?

Nei seppiamo che il minimo campo detto del device è:

$$B_{min,dev} = \frac{4}{cL Nloop} \sqrt{KBT b}$$

Noi potremo decidere di aumentare questa noise contribution.

Se non ci sono motivi per non farlo non faciamolo ma possiamo anche tentare un po' il rumore se ad esempio abbiano problemi con il wolo per b.

Potrebbe cambiare Le Nloop non generalmente cambia il design intero.

Potremo decidere di aumentare b e quindi la resistenza

$$\sqrt{b} \propto \sqrt{P} \quad P_{new} = \underbrace{\left(\frac{398}{267}\right)^2 \cdot P}_{\text{e' il rapporto tra i 2 rumori}} = 0,56 \text{ mbar}$$

i vantaggi e svantaggi di questa struttura sono

PRO) rilasso la pressione del rumore  $\rightarrow$  facile da fare + affidabile

CONTRO) Aumentano il rumore

L'altra cosa che potremo fare è ridurre il rumore dell'elettronica

$$B_{min,elec} \div \frac{\sqrt{1/gm}}{S} \quad \text{l'unico parametro su cui poter operare e' gm}$$

$$\div \sqrt{\frac{1}{V_{ID}}} \quad \text{ma come vediamo gm dipende da } I_D \text{ e quindi}\newline \text{dei valori di molto } I_D \text{ per ridurre il rumore}$$

$$ID_{\text{new}} = \left( \frac{398}{267} \right)^4 ID = 124 \mu A \text{ per transistor (il posto di } 25 \mu A)$$

PRO  $\rightarrow$  il rumore totale c'è

CONTRO  $\rightarrow$  consumo molto alto e non well distributed current contributions.

$$\begin{aligned} B_{\min, \text{tot}} &= \sqrt{\left(\frac{4}{iLB}\right)^2 K_B T b + \frac{2 \cdot 4 K_B T}{2 \sqrt{K_m} I_D} \cdot \underbrace{\left(\frac{K_{1/2}}{iL_{\text{loop}}} \dots\right)^2}_{\text{Scale factor}} \cdot \sqrt{B_N}} \\ &= \frac{1}{i} \cdot \sqrt{\dots} \cdot \sqrt{B_N} \end{aligned}$$

18.11.2021

Esercitazione

2h

We have to design a MEMS microphone. The schematic of the device is shown in Fig. 1. The system parameters are reported in Table 1. We are asked to...

1. Choose the diameter of the membrane in order to comply with noise requirements, aiming at a well-balanced sensor in terms of noise performance. Calculate then the electromechanical sensitivity.
2. Calculate the required bias voltage,  $V_{DC}$ , in order to have a well-balanced sensor in terms of noise performance.
3. Suitably dimension the feedback network of the front-end and graph the final transfer function from input pressure to output voltage.

Come è fatto un microfono?

Possiamo vederlo fatto così:



È un single ended capacitive sensing.  
Posso vedere il suono come una sinusode  
 $p = p_A \sin(\omega t)$

Structure		
Membrane thickness	$h$	1 $\mu m$
Vertical gap	$g$	1 $\mu m$
Poly-Si density	$\rho$	2390 kg/m <sup>3</sup>
Normalized damping coefficient	$b_{area}$	350 N/(m/s)/m <sup>2</sup>

Electronics		
Parasitic capacitance	$C_f$	5 pF
Op-amp voltage noise	$s_{n,OA,v}$	20 nV/ $\sqrt{Hz}$
Maximum analog voltage swing	$V_{max}$	$\pm 2.5 V$

Requirements		
Min. detectable pressure	$p_{a,min,dBSPL}$	33 dB SPL
Max. detectable pressure (acoustic overload point)	$p_{a,max,dBSPL}$	123 dB SPL
Min. detectable frequency	$f_{min}$	20 Hz
Max. detectable frequency	$f_{max}$	20 kHz

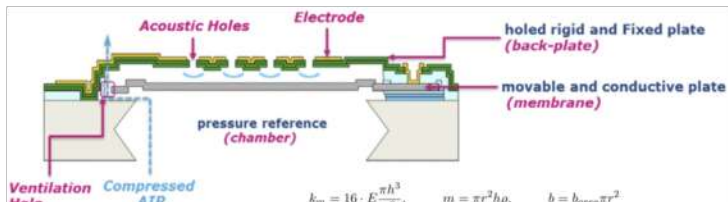
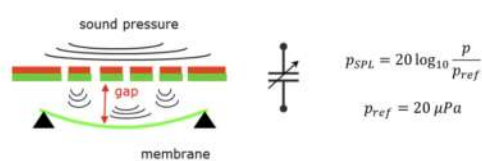


Figure 1: MEMS microphone sketch and spring-mass-damper formulas.

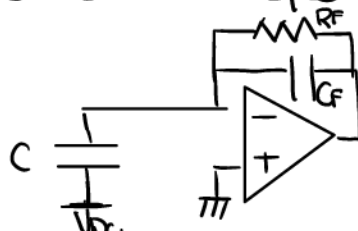


La pressione in DC tra i 2 lati della membrana è uguale ma non in AC.

Dato un passo in pressione  $p_A$  [Pa] definiamo il livello in decibel come

$$p_{a,SPL} = 20 \log_{10} \left( \frac{p_A}{p_{ref}} \right) [\text{dB SPL}] \quad \text{dove } p_{ref} = 20 \mu \text{Pa}$$

L'elettronica da noi aspetta è



La stifferza per una membrana che si prega è  $K_m = 16 \cdot E \cdot \frac{\pi h^3}{r^2}$

PUNTO 1)  $\bar{y} = \frac{F}{K_m}$  il displaceant è dato dalla forza sulla membrana per la stifferza.

Dovò cercare di trarre la noise equivalent pressure density.

$$S_{fn} = 4K_B T D \quad (\text{Force noise density})$$

Vi sono le relazioni tra forza e pressione  $S_{pn}$

$$S_{fn} = X \cdot S_{pn} \rightarrow \sqrt{S_{pn}} = NEPD$$

$$\text{Socie } P = \frac{F}{\text{Area}} \rightarrow F = P \cdot \text{Area}$$

$$S_{pn} = \frac{S_{fn}}{\text{Area}^2} \rightarrow NEPD = \sqrt{\frac{4K_B T b}{\text{Area}}} \propto \frac{1}{\sqrt{\text{Area}}} \\ = \sqrt{\frac{4K_B T b \text{Area}}{\text{Area}}} = \sqrt{\frac{4K_B T b \text{Area}}{\pi}} \cdot \frac{1}{r}$$

Io voglio che il rumore sia ben bilanciato

Il rumore totale sarà 33dB SPL perché due zeri in Pa

$$33 = 20 \log_{10} \left( \frac{P_a}{P_{ref}} \right) \rightarrow P_a = P_{ref} 10^{\frac{33}{20}}$$

Perciò

$$P_a = P_{ref} 10^{\frac{33}{20}} \text{ [Pa]} \approx 900 \mu\text{Pa}$$

$$\text{La massima pressione è} \\ P_{max} = P_{ref} \cdot 10^{\frac{P_{max}}{20}} = 28 \text{ Pa (FSR)}$$

Adesso io lo divido per la banda 50 di la banda è  $\approx 20 \text{ kHz}$  perciò

$$\text{Noise density} = \frac{P_{ref}}{120K}$$

Perciò, io voglio che tutto sia ben bilanciato perciò diviso per 2 il rumore

$$\text{Rumore dispositivo} = \frac{P_{ref}}{\sqrt{2} \sqrt{20K}} = \sqrt{\frac{4K_B T b \text{Area}}{\pi}} \cdot \frac{1}{r}$$

$$r = \sqrt{\frac{4K_B T b \text{Area}}{\pi}} \cdot \frac{P_{ref}}{\sqrt{2} \sqrt{20K}} = 30 \mu\text{m}$$

Attenzione è noto rumore ma dobbiamo mettere  $r^2$  perciò

$$\sqrt{\left(\frac{A}{r}\right)^2 + \left(\frac{B}{r}\right)^2}$$

Dove poi calcolare la sensitivity ma devo sapere dove sono nella FDT

• Calcolo un po' di parametri:

$$Km = 16 \cdot E \cdot \frac{\pi h^3}{r^2}$$
$$= 81 \text{ N/m}$$

$$m = \pi r^2 \cdot h \cdot p$$
$$= 0,69 \text{ nKg}$$

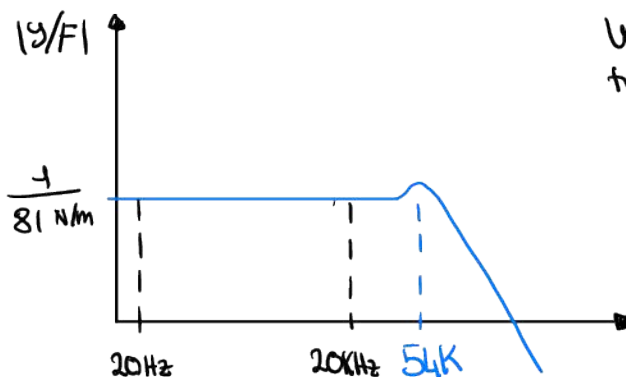
$$b = b_{\text{area}} \cdot \pi \cdot r^2$$
$$= 10^{-6} \text{ Kg/s}$$

La freq d'insorgenza è

$$f_0 = \frac{1}{2\pi} \sqrt{\frac{Km}{m}} = 54 \text{ KHz}$$

$$\text{e il fattore di qualità da } Q = \frac{\sqrt{Km \cdot m}}{b} = 2,3$$

Questo significa che il circuito funziona così



Vedo che la risposta è protetta attorno a tutta la banda da e' esattamente quello che voglio.

Quindi edesso posso scrivere la sensibilità come

$$\frac{\Delta C}{P} = \frac{\Delta C}{Y} \cdot \frac{Y}{F} \cdot \frac{F}{P} = \frac{C_0}{g} \cdot \frac{1}{Km} \cdot \text{Area} = 9,2 \frac{\text{fF}}{\text{Pa}}$$

$\frac{C_0}{g}$      $\frac{1}{Km}$     'Area

## PUNTO 2

è legato sempre alle stesse considerazioni ma solo all'elettronica.

Vogliamo che la vettore noise density sia uguale a quella del dispositivo.

Supponiamo perciò che il rumore della resistenza sia trascurabile.

Perciò voglio che la noise density dell'elettronica sia

$$ND_{\text{elettronica}} = \frac{P_{\min}}{\sqrt{2}} = \frac{900 \mu \text{Pa}}{\sqrt{2}}$$

Abbiamo quindi che

$$S_{\text{out},n} = S_{\text{in}} \cdot \left( 1 + \frac{C_0 + C_P}{C_F} \right)^2$$

Perche' o  $C_0$  o  $C_P$  non sono t piccole come si sauto, (presumo  $C_0$ )

$$\text{Perciò } S = \frac{\Delta V_{\text{out}}}{P} = \frac{\Delta C}{P} \cdot \frac{V_{\text{DC}}}{C_F}$$

e quindi il rumore dato dall'elettronica sarà uguale a

Così togliamo la dipendenza da  $C_F$ .

$$\sqrt{S_{\text{ph}}} = \frac{\sqrt{S_{\text{vn}}} \cdot \left(1 + \frac{C_0 + C_P}{C_F}\right)}{\frac{\Delta C}{P} \cdot \frac{V_{\text{DC}}}{C_F}}$$

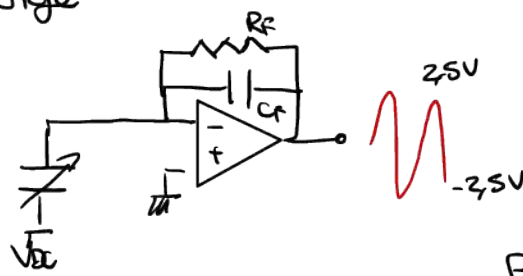
$$\text{quando } C_0 + C_P \gg C_F \text{ allora} \quad \sqrt{S_{\text{vn}}} \cdot \frac{C_0 + C_P}{C_F} = \frac{\sqrt{S_{\text{vn}}} \cdot \frac{C_0 + C_P}{C_F}}{\frac{\Delta C}{P} \cdot \frac{V_{\text{DC}}}{C_F}}$$

$\left[\frac{\text{Pa}}{\text{Hz}}\right]$

$$= \frac{\sqrt{S_{\text{vn}}} (C_0 + C_P)}{\frac{\Delta C}{P} \cdot V_{\text{DC}}} \cdot \sqrt{B_W} = \frac{900 \mu\text{Pa}}{\sqrt{2}} \quad \text{perciò } V_{\text{DC}} = 37\text{V}$$

### PUNTO 3)

Dobbiamo dimensionare la rete di feedback per 2ndoo a pieno full scale range



10 scale factor e'

$$\frac{\Delta V_{\text{out}}}{P} = \frac{\Delta C}{P} \cdot \frac{V_{\text{DC}}}{C_F} = \frac{2.5\text{V}}{28\text{Pa}}$$

$$\text{perciò } C_F = 9.2 \frac{\text{PF}}{\text{Pa}} \cdot 28\text{Pa} \cdot \frac{3.7\text{V}}{2.5\text{V}} = 383\text{PF}$$

che conferma quello di zuerzo supposto prima  $C_F \ll C_0 + C_P$

Dobbiamo d'adesso dimensionare la nostra resistenza

Noi dobbiamo di fare sì che  $\frac{1}{2\pi R_F C_F}$  sia a 20Hz

non perdiamo una decade prima perché manteniamo a 20 Hz non ce niente e perde solo 3dB.

$$R_F = \frac{1}{2\pi 383\text{PF} \cdot 20\text{Hz}} = 20\text{M}\Omega$$

Adesso dovo controllare se il rumore come supposto

prima sia trascurabile

$$\sqrt{S_{\text{p},R}} \cdot \sqrt{B_W} = \frac{\sqrt{\frac{4kT}{R}} \cdot \frac{1}{SC_F} \cdot \sqrt{B_W}}{2.5\text{V}/28\text{Pa}}$$

$$\approx 188\mu\text{Pa}$$

Supponiamo il caso peggiore con  $S = 2\pi 20\text{Hz}$

Notiamo che è OK (non ottimo ma OK)

Characterization: vedere che i parametri siano appropriati per gli obiettivi richiesti

Andiamo a vedere un metodo di caratterizzazione che tiene in modo adeguato il rumore e la stabilità. Questo metodo è conosciuto come Allan variance.

### Caso d' studio: navigazione inerziale senza GPS

Cosa succede se non possiamo usare il GPS e dobbiamo navigare?

Secondo la nostra posizione e usando i sensori inerziali potremo sapere dove siamo (questa tecnica si chiama dead reckoning)

In linea di principio potremo integrare l'accelerazione 2 volte per avere la posizione e integrare una volta l'output del giroscopio per ottenere l'angolo

- **position:** reconstruction of x, y and z

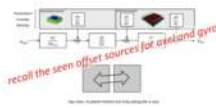
$$x(t) = x_0 + \int_0^t v(t) dt = x_0 + \int_0^t \left[ v_0 + \left( \int_0^t a(t) dt \right) \right] dt$$

- **angle:** reconstruction of  $\theta$ ,  $\delta$  and  $\gamma$

$$\theta = \theta_0 + \int_0^t \Omega(t) dt$$

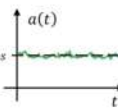
Ma questo è un caso "ideale perché" nella realtà avremo il rumore e offset. Ad oggi non si riescono ad usare Hems consumer per fare questo.

- Let us assume (reasonably) a constant **offset** associated to the noisy sensor output. The equations can be written as:



$$x(t) = x_0 + \int_0^t \left( v_0 + \int_0^t a_s(t) + a_{\text{OS}} + a_{\text{noise}}(t) dt \right) dt$$

$$\theta = \theta_0 + \int_0^t \Omega_s(t) + \Omega_{\text{OS}} + \Omega_{\text{noise}}(t) dt$$



Nella realtà avremo un offset e del rumore.

- Offset quickly results in positioning **errors** while **time** is passing:

- e.g. a position error of 71 m
  - after an integration for 2 minutes (120 s) of a **1 m/s** offset
- e.g. an angle error of 60°
  - after an integration for 2 minutes of a **0.5 dps** offset

← Vediamo che anche con un piccolo offset abbiamo che dopo poco tempo abbiamo un errore molto grande

È fondamentale quindi che le calibrazioni per gli offset siano fatte estremamente accuratamente.

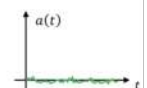
- In the following, we will first **assume** that at time  $t=0$  such offsets can be perfectly **compensated** (at least at a reference temperature  $T_0$ ):

- with a digital calibration, if not natively possible in the MEMS design phase;
- later, we will comment on effects of unavoidable offset drifts at  $T \neq T_0$ .

Supponiamo ora di aver zannullato l'offset ma di avere del rumore bianco

- Offset is not the only non-ideality affecting the sensor output.
- We also have **unavoidable noise**, with the different physical origins that we studied deeply during the course (electronic, thermo-mechanical, quantization...).
- **Noise**, as a statistical quantity, cannot be compensated during a calibration phase, so we need to take into account its effect.

$$x(t) = x_0 + \int_0^t \left( \int_0^t a_s(t) + a_{\text{noise}}(t) dt \right) + v_0 dt$$



$$\theta = \theta_0 + \int_0^t \Omega_s(t) + \Omega_{\text{noise}}(t) dt$$

- The goal becomes the study of consequences deriving from integration of (nominally) "**zero-mean**" noise!

Continuiamo le considerazioni semplificando la navigazione supponendo un accelerometro ideale e supponendo il giroscopio con rumore.  
Supponiamo che non abbiamo movimento angolare ( $\Omega = 0$ ) perché l'output del giroscopio sarà dato solo dal rumore.  
L'approssimazione di solo rumore bianco è realistica perché tipicamente l'urto ha segnali modulati.

- The figure is a 100-s noisy gyroscope output with nominal standard deviation (input-referred as an angular rate) of 200 mdps<sub>rms</sub>.
- The output data rate - ODR (frequency of output refresh) is of 200 Hz = 200 Sample/s. According to the sampling theorem, this corresponds to a maximum BW  $\leq 100$  Hz:
  - the total number of samples equals the ODR (200 Hz) multiplied by the observation time (100 s):  $\rightarrow 20000$  samples.

zurò una distribuzione gaussiana con media nulla ma nella realtà la media non sarà nulla

ODR: ogni quanto tempo viene preso un campione del rumore.

- At any point in time, the angle (which should be ideally 0) can be estimated from the rate values up to the actual point. We zoom on the figure of two slides ago for the first sampled time steps:

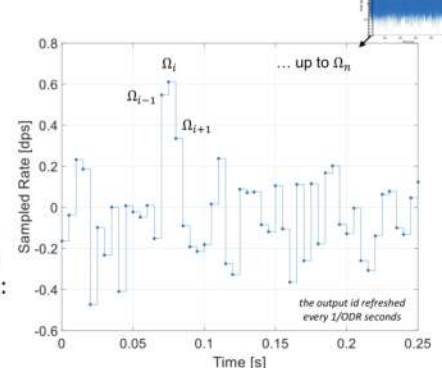
$$\theta = \theta_0 + \int_0^t \Omega_s(t) + \Omega_{\text{noise}}(t) dt$$

$$\Omega_s = 0 \quad \theta_0 = 0$$

$$\theta = \int_0^t \Omega_{\text{noise}}(t) dt$$

- As the output is updated at discrete points in time, we write the above integral as:

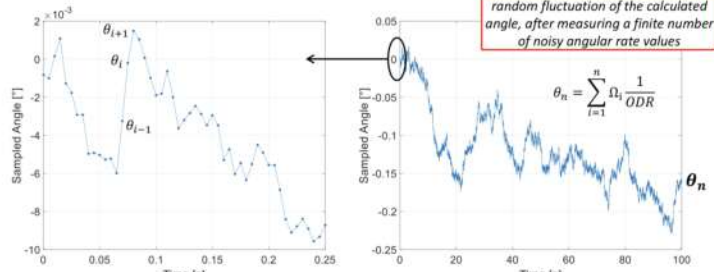
$$\theta_n = \sum_{i=1}^n \Omega_i \Delta t_i = \sum_{i=1}^n \Omega_i \frac{1}{ODR}$$



Se integreremo questo rumore cosa succede? Prima di tutto possiamo esplorare il dominio discreto vedendo i sample uno a uno

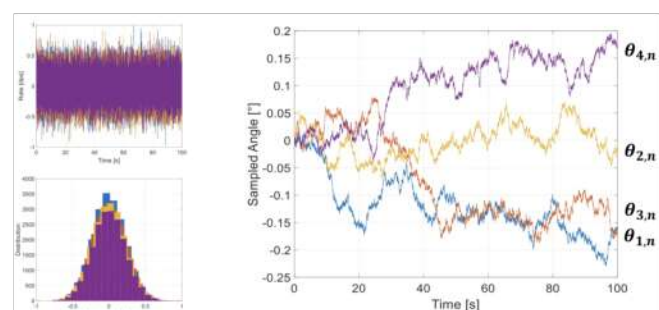
Perciò nel dominio discreto possiamo scrivere l'integrale come

- We define "angle random walk" the random behavior that the angle undergoes as a consequence of the noise integration described in the previous slide.
- An example of the result is given, for just one random noise distribution lasting 100 s (the one considered in the last two slides).



Questa cosa la chiamiamo angle random walk.

Vediamo che cosa succede se il rumore ha media nulla ma noi lo studiamo su un numero finito di campioni. Ecco questo significa che il vettore finale non è nullo e può statisticamente cambiare.



## All-in variance

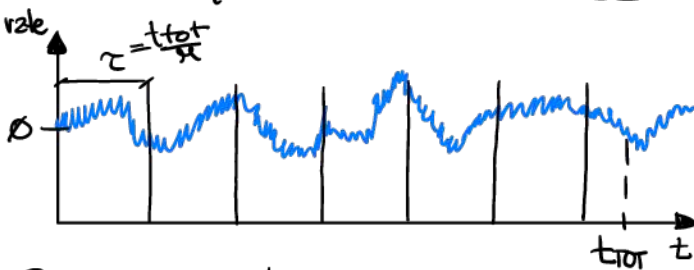
Vogliamo un grafico che ci dica subito le performance in ambito di offset drift e noise, e anche performance sulla stabilità dell'output.

- We look for a single technique that simultaneously identifies effects of offset drift and noise (ARW) on the sensor performance.
- You can see offset drift and noise in a similar way:
  - white noise causes rapid random variation of the output;
  - 1/f noise causes slower random output variations;
  - offset drift causes very slow variation of the output (this variation depends e.g. on temperature or relative humidity in a deterministic manner; however if offset variations vs T/RH are not calibrated, the behavior can be assumed as random – we do not know how T/RH are changing)  $\rightarrow 1/f^2$ .
- Stability in time of the output signal (affected by noise and drift only) is calculated as the minimum average change in consecutive gyroscope rate measurements when analyzed under no rate over varying sampling times. The AV is defined so to capture this effect:
  - stability in an AV plot is qualified by the minimum rate and its corresponding observation time.

In questo caso teniamo conto di tutti i possibili rumori e anche l'offset drift (dato ad esempio dalla temperatura).

Stabilità è intesa come stabilità dell'output tra 2 campionamenti diversi.

Definiamo quindi l'Allan Variance:



Supponiamo di dividere il tutto in  $M$  intervalli uguali di durata  $\tau$  chiamato observation time.

Per ognuno di questi intervalli calcoliamo il valore medio e lo chiamiamo  $\bar{\Omega}_1, \bar{\Omega}_2, \dots$

Allora vediamo la distanza tra la media di un intervallo e l'altro, che possiamo scrivere come

$$\bar{\Omega}_{k+1} - \bar{\Omega}_k$$

e da questa poi possiamo ricavare la varianza

$$\sigma_{AV}^2(\tau) = \frac{1}{2(M-1)} \cdot \sum_{k=1}^{M-1} (\bar{\Omega}_{k+1} - \bar{\Omega}_k)^2$$

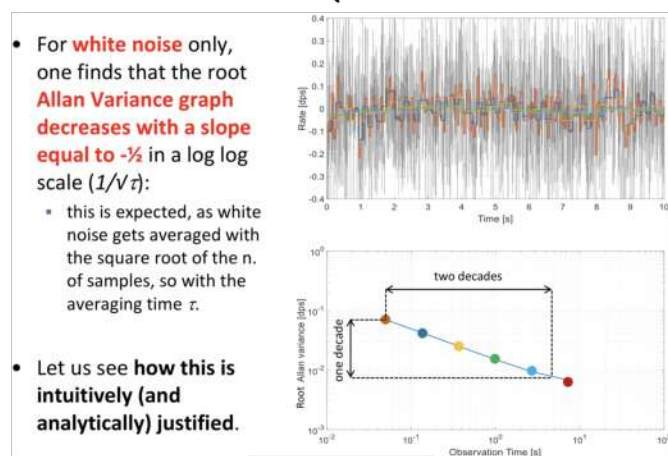
Ottieniamo quindi ricavato la allen varianza.

Se adesso riduciamo l'intervento  $\tau$  le medie dei singoli intervalli fluttueranno di più mentre se aumentiamo  $\tau$  le varianze tra le medie scenderanno minori. Tuttavia dobbiamo prendere un numero  $M$  accettabile, almeno 30.

Per il rumore bianco vediamo che l'allan varianza scende con  $\propto 1/\tau^2$

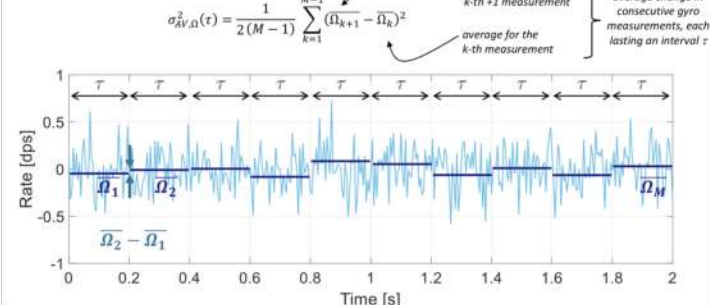
Questo grafico dell'allan varianza serve per vedere che componenti del rumore escono dall'uscita (?)

Portiamo l'allan varianza nel dominio della frequenza

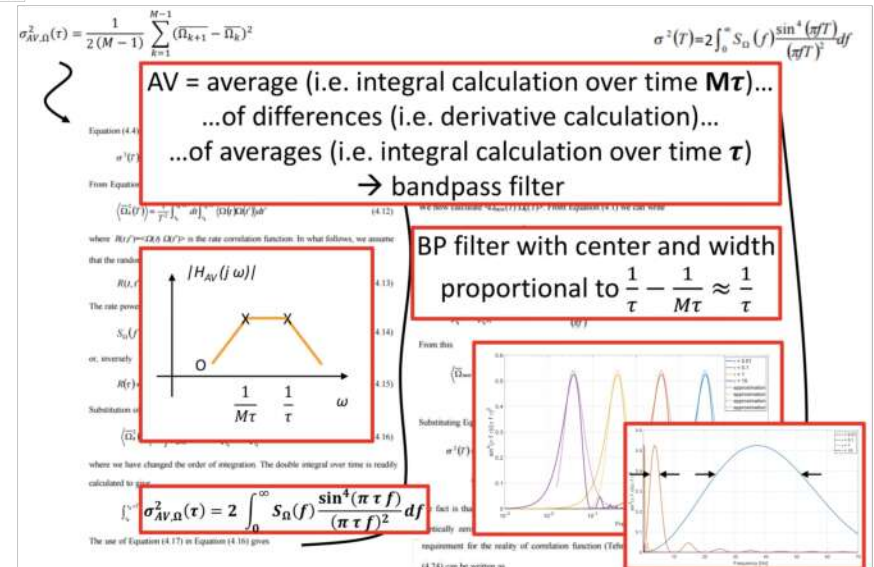


Possiamo vederlo come un filtro passa banda centrato su  $1/\tau$  e di banda  $1/M\tau$ .

- Acquire a signal for an overall time length  $t_{TOT}$
- Split the acquisition interval in  $M$  slots, each of a same duration  $\tau$ .
- Calculate the average value  $\bar{\Omega}_k$  of the signal along each slot.
- Calculate the changes in consecutive measurements.
- We define the Allan Variance for a specific observation interval  $\tau$  the quantity:

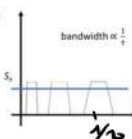


$$\sigma_{AV}^2(\tau) = \frac{1}{2(M-1)} \cdot \sum_{k=1}^{M-1} (\bar{\Omega}_{k+1} - \bar{\Omega}_k)^2$$



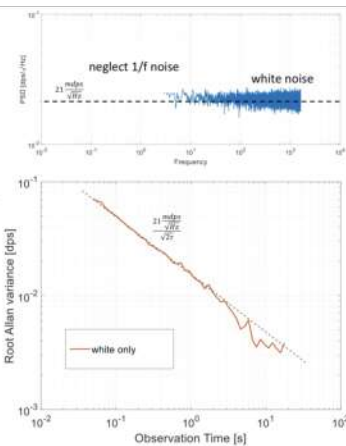
# Cosa succede se abbiano rumore bianco

- For a white power spectral density, observing for a longer time (i.e. a lower BW,  $\propto 1/\tau$ ) means getting a lower rms value.



- There is indeed a perfect equivalence between the white noise density and the slope coefficient of the RAV (apart for a factor 2 caused by the AV definition).

$$\sigma_{AV,W}^2(\tau) = 2 \int_0^\infty S_{WW} \frac{\sin^2(\pi \tau f)}{(\pi \tau f)^2} df = \frac{S_{WW}}{2\tau}$$



Solo che in frequenza il rumore bianco è costante perciò ha un maggiora C minore sarà la banda del filtro dato dall'altra varianza e quindi ha meno rumore

$$\sigma_{AV,\Omega}^2(\tau) = \frac{S_{\Omega,W}}{2\tau}$$

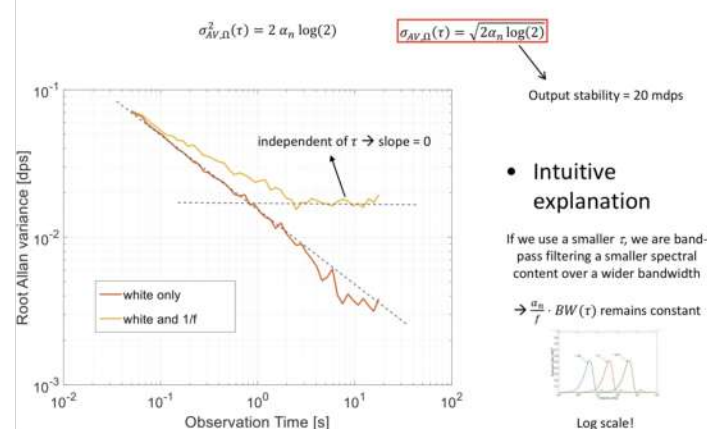
$$\sigma_{AV,\Omega}(\tau) = \sqrt{\frac{S_{\Omega,W}}{2\tau}}$$

Ma per il rumore 1/f la cosa Cambia

Se abbiamo pochi  $\tau$  il grafico c'è va a base F ma avremo poche banda, al contrario se aumentiamo  $\tau$  avremo + banda ma c'è spostamento + verso in frequenza

Notiamo che l'altra varianza è una costante e vedendo il grafico dell'altra varianza posso capire subito che ho rumore 1/f perché vedo una costante

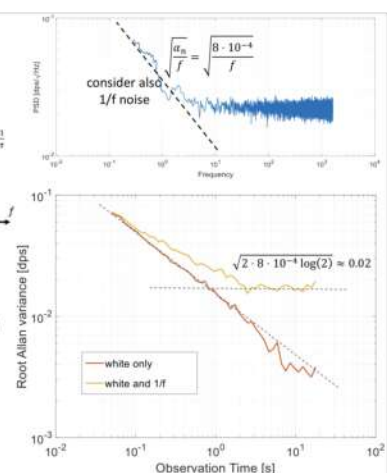
Evaluation of 1/f noise coefficient from an Allan variance plot:



- For a 1/f power spectral density, integrating for a longer time means **filtering** with a smaller bandwidth a larger noise value.

- In other words, increasing  $\tau$  means increasing the number of averages but with more and more 1/f noise
  - as a result, the AV value remains constant.

$$\sigma_{AV,1/f}^2(\tau) = 2 \int_0^\infty \frac{a_n}{f} \frac{\sin^2(\pi \tau f)}{(\pi \tau f)^2} df = 2 a_n \log(2)$$



La parte petta dell'altra varianza come prende il nome di **stabilità** perciò arrivo al limite per cui posso diminuire l'altra varianza perciò entro ed un punto di stabilità.

E per quanto riguarda gli offset?

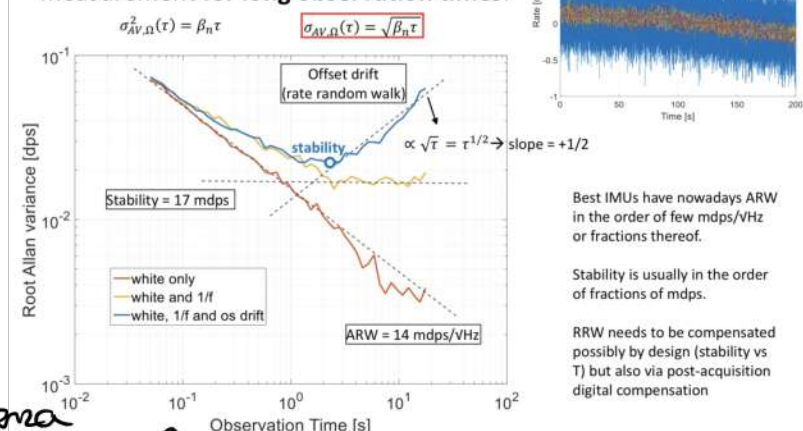
La stabilità la consideriamo come il minimo possibile intervallo tra la media di uno e l'altro intervallo.

Se posso ricompensare l'offset in funzionamento lo faccio con una **regola** per il minimo dell'altra varianza (linea blu)

Negli esami potrebbe chiederti partendo da un'altra varianza graph di ricavare i rumori ecc...

Sarai il caso di rivedere bene sta lezione!

- Offset drifts** are critical for navigation as they slowly but **unpredictably** affect the measurement for long observation times.



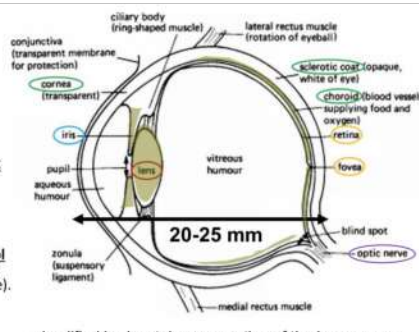
Stability is usually in the order of fractions of mdps.

RRW needs to be compensated possibly by design (stability vs T) but also via post-acquisition digital compensation

La luce e i colori hanno una definizione che si basa sul modo in cui funzionano gli occhi umani. Perciò dobbiamo capire come funziona l'occhio umano.

#### Five major system components:

- **Membranes**
  - transparent to let the light in;
  - opaque to avoid backscatter within the optical globe.
- **Iris**
  - part of the choroid, it contracts or expands to **control the light amount entering the eye**;
  - the **opening (pupil)** varies in diameter between 1 and 8 mm;
    - this gives roughly a 64:1 ratio of "programmable" brightness control (it is not the only factor that allows the broad dynamic range of the eye).
- **Lens**
  - its major function is to **focus the image on the retinal plane**;
  - its shape is **controlled** by ciliary body muscles: it flattens to focus far objects; it becomes thicker to focus near objects (it is basically a flexible device that adjusts focus on demand)!
- **Retina**
  - it covers the whole inner posterior portion of the eye, where light rays are imaged;
  - **structured vision** is obtained from **photoreceptors** spread on the retina (our "image sensor");
  - receptors density is the highest in the **central region (Fovea)**.
- **Optic nerve**
  - brings stimuli from the retina to the brain, where **elaboration takes place**.



simplified horizontal cross-section of the human eye

La retina è la parte più interessante dell'occhio per noi visto che c'sono i fotorecettori.

La dimensione della retina ~25mm non è diversa dalle dimensioni di un sensore full frame.

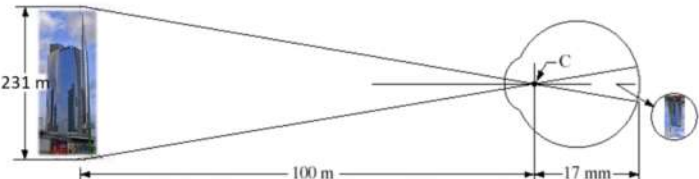
La retina però è curva ed è piana in modo che tutti i punti sono equidistanti dalla lente così non c'è distorsione. Inoltre i fotorecettori

dell'occhio sono molto migliori rispetto ai pixel di qualsiasi camera. Nella retina però la densità di fotorecettori non è costante ma c'è una regione centrale chiamata fovea dove abbiamo + fotorecettori questa regione è di diametro regolare d'interesse.

The distance between the lens center and the retina (~ eye focal length) can vary thanks to ciliary muscles from approximately **17 mm to 14 mm**.

From a focusing distance of > ~ 4 m, the lens exhibits its **lowest refractive power (most flattened)**.

With the dimensions in the figure one can easily find that the size of the tower on the retina is de-magnified to about 39 mm: → lenses in digital imaging will also apply a **demagnification**!



Another important point is that, in the human eye, **it is not only the "sensor" size that determines the field of view**: there is a 'central' region (1.5 mm, ~ 50° field of view) where the visual attention is the highest.

## Fotorecettori

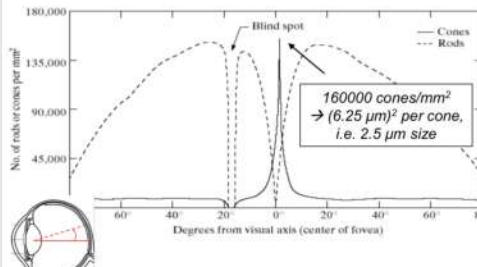
Nell'occhio abbiamo 2 fotorecettori: coni e travi. A noi ci interessano solo i coni (dei quali in realtà sono di 3 tipi) ognuno dei quali ha probabilità diversa di assorbire un fotone e una certa frequenza.

I coni funzionano solo con molta luce quando la luce è bassa usiamo le travi e perciò non vediamo il colore.

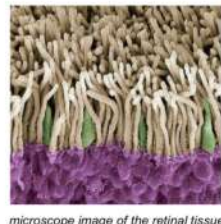
Ogni cono ha una connessione diretta al cervello tramite un nervo. Al contrario più travi sono connesse assieme con un singolo nervo.

## Distribuzione dei fotorecettori

- In the distribution below you can note a **blind spot** per eye (corresponding to the optical nerve termination). This is however in the peripheral area and it is compensated by stereoscopic vision and brain elaboration.
- To check your **poor rods density in the central part of the retina** try to look at a faint star in the night sky. Actually you'll better see it if you look at a point slightly shifted from the star shine.



We now focus on cones only as our primary interest is on color imaging



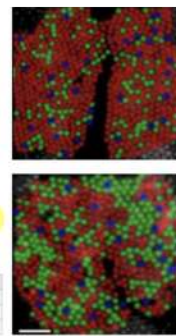
Abbiamo che i coni sono concentrati di più nella fobia mentre le travi nelle altre regioni.

Abbiamo anche un blind spot nell'occhio perché lì c'è dove si collega il nervo ottico.

E abbiamo anche le travi nella zona della fobia questo significa che a basse luci nella zona di focus non vediamo una pala ma vediamo con la visione periferica.

Perciò vediamo solo dei coni

- These figures show the cones arrangement for two "color-normal" subjects. They are pseudo-color images: cones were falsely colored in order to represent the three classes.
  - cones classes are randomly distributed in both subjects;
  - in addition, the relative number of cones differs greatly between the subjects. Yet, both subjects have normal color vision.

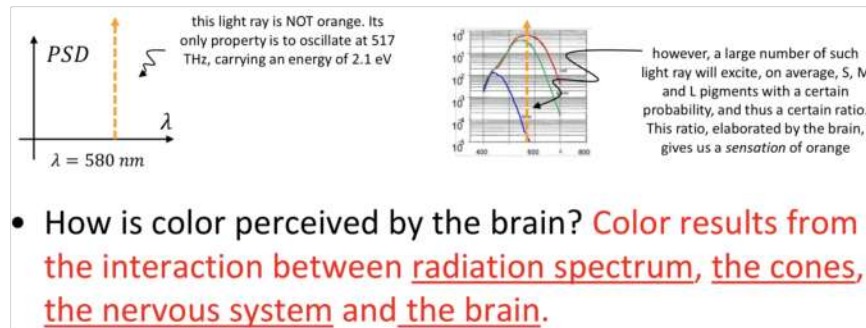
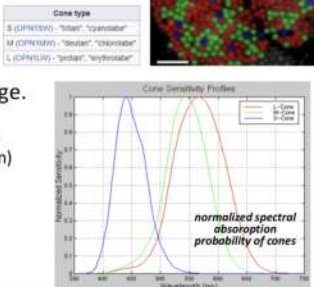


Noi vogliamo riprodurre immagini come le vede l'occhio perché dobbiamo seguire dove come da solo uguali ma photonic line

- On-average values: 65.3% of the cones contain L ("red"), 33.1% contain M ("green"), 1.6% contain S ("blue") photo-pigments.

- The cones are actually named after their sensitivity (**probability of absorption**) in the short (**S**), medium (**M**) or long (**L**) wavelength range.

- the **S** pigment has a peak response at about 445 nm. It is insensitive (i.e. almost zero probability of light absorption) to wavelength longer than about 520 nm;
- the other two types of pigments (**M** and **L**) are maximally sensitive to 535 and 575 nm respectively. Both respond over almost the whole visual range.



Dopo che i coni sono attivati ho da per interpretare il colore ho un ulteriore percorso nel cervello, cioè rielaborano il tutto

Ciò passano da SML a yellow-blue brightness e red-green.

Possiamo quindi dire che il colore è una grandezza a 3 dimensioni

La risposta S (short range) sarà uguale a

$$S = \int_{380}^{780} s(\lambda) \cdot r(\lambda) \cdot t(\lambda) \cdot \text{Score}(\lambda) d\lambda$$

illuminante      riflessione dell'oggetto da guardo      trasparenza membrana oculo  $\approx 1$       risposta del cono S

e la stessa cosa per M e L

$$M = \int_{380}^{780} s(\lambda) r(\lambda) t(\lambda) \text{Score}(\lambda) d\lambda$$

$$L = \int_{380}^{780} s(\lambda) r(\lambda) t(\lambda) \text{Score}(\lambda) d\lambda$$

Visto che questi sono integrali definiti ho da dare una PSD che va nel mio occhio in 3 numeri che determinano quello che vedo

Vogliamo anche di imitare questo nel mondo digitale

Una cosa importante è che le coordinate del colore cambiano quando cambia l'illuminante (es quando con la luce rossa vedo i colori diversi) il concetto fa un bilanciamento del bianco automatico e quindi quando vedo il bianco in presenza di un illuminante il concetto si adatta e mi fa capire che quello è bianco.

## Cmos sensor basics 2

Le qualità principali di una fotocamera è detta dell'ottica. L'ottica darà anche delle unitazioni spaziali (distingue la risoluzione, se abbiamo scegliere il n° di pixel è segno besco su queste unitazioni).

Le dimensioni dell'ottica mi determinano il numero di fotoni sul sensore e quindi mi limita la SNR.

Dato che cosa fate di luce e un oggetto che la luce riflette e un'ottica è possibile ricavare il n° di fotoni che mi arrivano sul sensore?

## Geometric optics

Tipicamente le lenti sono cilindri sfacciate perché hanno forma come un tronco di 2 sfere con raggi diversi.

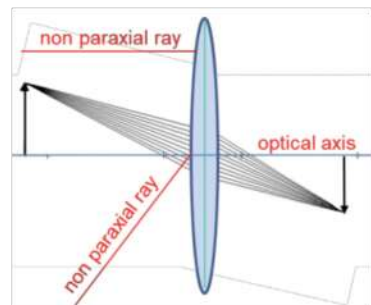
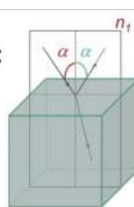
I raggi sono paralleli se sono vicini al centro della lente e se formano parallelogrammi attorno allo stesso.

## Ricordiamo poi la legge di Snell

Snell's law describes reflection and refraction at the boundary between media with different refractive index:

- incident, reflected and refracted rays belong to a single plane;
- the incident angle  $\alpha$  is the same as the reflected one;
- the refraction angle  $\beta$  is related to  $\alpha$  through the Snell's law:

$$n_1 \sin(\alpha) = n_2 \sin(\beta)$$



Nel caso di raggi paraxiali possiamo scrivere  $n_1 \alpha = n_2 \beta$   
Possiamo quindi calcolare la formula della lente in paraxiale appross.

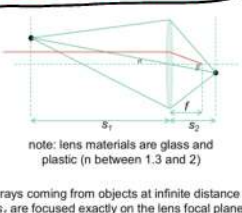
The general equation of a thin lens in paraxial approximation relates the distance of the object ( $s_1$ ) and of the image ( $s_2$ ) from the lens center.

It is thus possible to relate object and image distance from the lens to geometrical and optical parameters (note: radii should be taken with their sign).

The following formula is obtained by defining the focal length  $f$  as a single parameter that depends on the lens geometry ( $R_1, R_2$ ) and material ( $n$ ):

$$\frac{1}{s_1} + \frac{1}{s_2} = \frac{1}{f} \quad \text{with} \quad \frac{1}{f} = (n - 1) \left[ \frac{1}{R_1} - \frac{1}{R_2} \right]$$

- it relates the object and image distance from the lens ( $s_1$  and  $s_2$ ) to the focal length  $f$  of the lens;
- in typical digital imaging systems it holds  $s_1 \gg s_2$  and images are formed close to the focal length ( $s_2 \approx f$ ).



Possiamo quindi calcolare il rapporto tra la distanza dell'oggetto  $s_1$  e quella dell'immagine  $s_2$ .

questa è  $1/f$  lunghezza focale

$s_1$  è così piccolo che tipicamente è trascurabile rispetto a  $s_2$ .

Nella scorsa lezione abbiamo visto che l'occhio ha un angolo di visuale di circa  $50^\circ$ . Allora vediamo che possiamo astenere il concetto alle ottiche

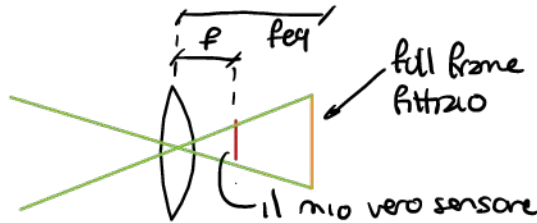
Field of View



Una volta cercheremo solo i sensori Full Frame e quindi si era utilizzata la lunghezza focale con la Field of View.

Adesso però abbiamo sensori di dimensioni sempre diverse e quindi la FOV cambia e non c'è più l'equivalenza tra lunghezza focale e FOV.

Per semplicità si può introdurre l'equivalent focal length: la focal length di un sensore fullframe che ci drebbe la stessa FOV del nostro sistema



(Tipo sul telefono che c'è dicono che è 28mm e noi capiamo che è un grandangolo).

Negli esercizi tranne quando detto diversamente la lunghezza focale sarà sempre quella vera.

### Abbiamo poi anche uno zoom (tipicamente minore di 1)

By definition, the magnification factor  $m$  represents the ratio of a dimension  $l_2$  in the image with respect to the dimension  $l_1$  in the object:

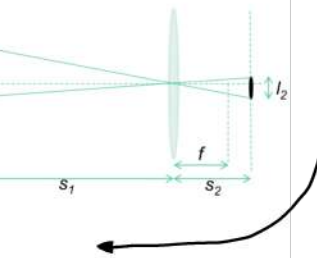
$$m = \frac{l_2}{l_1}$$

Through simple counts one can verify that it is equal to the ratio of the distances from the lens:

$$m = \frac{s_2}{s_1} \sim \frac{f}{s_1}$$

#### Area is magnified by a factor $m^2$ :

- this is useful to calculate which area, belonging to the scene, each pixel captures photons from.

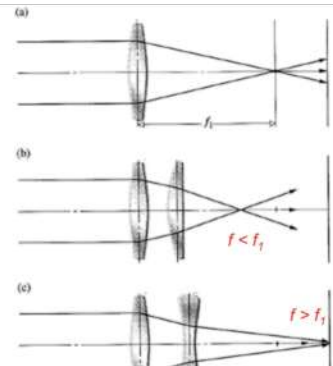


L'area del pixel corrisponde all'area dell'oggetto moltiplicata per un fattore  $m^2$ , cioè  $m < 1$ .

Tipicamente non usiamo solo una lente ma + di una così spostando relativamente posso cambiare la focal length.

Nelle camere più pro tipicamente possiamo avere che

- As we cannot use a variable-shape lens, **more lenses with variable distance** can be combined to obtain a variable focal length.
- Adding a positive (**convex**) lens **decreases** the focal length.
- Adding a negative (**concave**) lens **increases** the focal length.
- Moving the **relative lens distance** changes the **focal length**.



Systems of multiple lenses can be approximated through a lens of equivalent focal length. We thus hold this assumption and proceed assuming that a **lens system** is always described through a single **f** value.

This is usually achieved by:

1. a first convex group (**large lens aperture and light gathering**, low refractive power);
2. a second, movable, concave group mostly responsible for **zoom control**;
3. a third convex group that handles the **focusing** using small movements.



Design of such complex lens systems is done using simulators (known as raytracing tools).

This type of simulator can account for light propagation in simple paraxial approximation, or account for other effects like aberrations and diffraction.

Nei telefoni abbiamo molto meno spazio ma cerchiamo comunque di mettere + (entro questi paré)

→ 1) La lunghezza focale è molto piccola e quindi il sensore deve essere piccolo altrimenti la field of view viene troppo grande



2) Inoltre visto che voglio il sensore piccolo la focal length dovrebbe facilitare tutto in un poco spazio. Per facilità allora usiamo + focali

## Comportamento realistico delle lenti

Abberrazione: fenomeni che fanno sì che ci sia un peggioramento della qualità dell'immagine. Immagine e oggetto reale non hanno la stessa forma (i punti non appaiono giusti).

L'abberrazione diventa evidente quando:

- Effects of aberrations are:

- a resolution worsening;
- the appearance of color fringes.

- Aberrations can be mitigated:

- via hardware (lens shape and material);
- in operation (closing the aperture);
- via software (their math origin is known).

Aberrations become evident when two phenomena are considered:

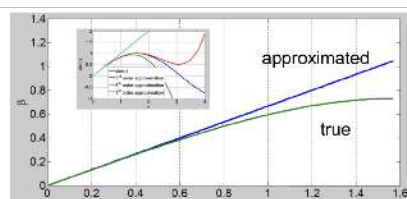
- errors due to first order paraxial approximation:  

$$\sin(\alpha) = \alpha - \frac{\alpha^3}{3!} + \frac{\alpha^5}{5!} - \frac{\alpha^7}{7!} + \dots$$
 (known as 3rd order or spherical aberrations, as they appear as soon as the 3rd-order term is considered in a spherical lens).
- the fact that radiation is not monochromatic and the refractive index (e.g. of glass) is a function of the wavelength,  $n_1 = n_1(\lambda)$  (known as chromatic aberrations).

## Studiamo il caso della spherical aberration

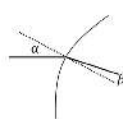
Small angle approximation:

- $\sin(\alpha) = \alpha$
- $\sin(\beta) = \beta$
- $\beta = n_1/n_2 * \alpha$



True solution:

$$\beta = \arcsin[n_1/n_2 * \sin(\alpha)]$$



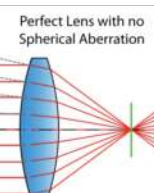
For large incident angles, the true refractive power is thus larger than in the approximation.

Vediamo che abbiamo un'approssimazione tra il caso ideale e quello reale. Maggiore è  $\alpha$  maggiore è la rifrazione.

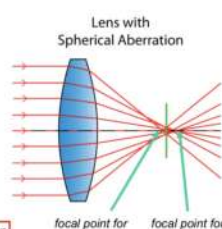
They occur as spherical surfaces are not suited to make "ideal" lenses, though easy and cheap.

Consider light coming from a point like object at  $\infty$  distance, and the ideal spherical lens.

Aberrations are due to increased refraction of rays when striking a spherical lens near its edge, compared to those striking close to the center.



Marginal and paraxial rays have thus different focus points (at large angles  $\alpha$ , refraction power is larger). The point of best focus with the smallest "disk of least confusion" is illustrated as the thick green line.



A point-like object is not imaged as a point:

- resolution worsens!

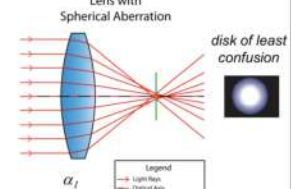
There will be (almost) no use in designing pixels smaller than the spot size!

Ci troviamo che c'è inutile fare i pixel più piccoli di quelli che c'è il disk of least confusion perché non abbiamo più definizione.

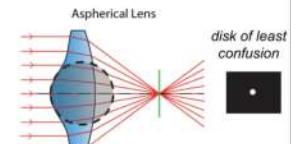
Come è possibile immagazzinare queste aberrazioni diventa peggiorate quando il deformato è tutto esposto. perché non ci

comprende e tutto esposto. perché non ci

Spherical aberrations can be avoided using aspheric lenses.

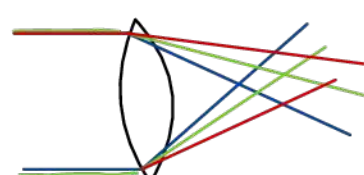


An aspheric lens is a lens whose surface profiles at the edges are not portions of a sphere or cylinder. It is typically more complicated to build and therefore more expensive. Plastic is preferable with respect to glass in this sense.



The definition of the surface profile takes into account third-order terms and reduce by a large amount the effects of aberrations.

compensation is never ideal: a point is still imaged as a spot, however with much smaller size.



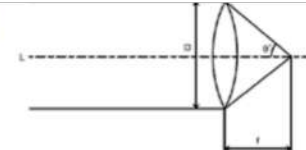
In questo caso chiudere l'apertura non è molto utile.

Esistono però materiali che compensano in più l'aberrazione chromatica.

# Numeri F# di una lente

The **F# number** of a lens is defined as the ratio between the **focal length** and the **lens diameter** (or aperture)  $D$ ,

$$F\# = \frac{f}{D}$$



It therefore defines also the maximum aperture cone of the focused rays:

$$\theta = \arctan\left(\frac{D}{2f}\right) = \arctan\left(\frac{1}{2F\#}\right)$$

It is an important parameter in the optics of a camera as it affects:

- gathered light signal (and SNR);
- spatial resolution;
- (- depth of field; )

Our interest, to answer our initial questions of today, is on the first two points.

A noi c'interessa per separare l'SNR e la spaziale resolution.

Lenses of high-end cameras usually have adjustable aperture.

- a lens is characterized by the F# corresponding to the widest allowed opening.

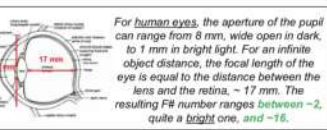
A lens with a **smaller F#** provides **brighter images** (more light in).

DSC lenses use a standard F-stop scale, which includes numbers corresponding to the **sequence of powers of the square root of 2**.



Mobile phone lenses do not use such "fixed" scale:

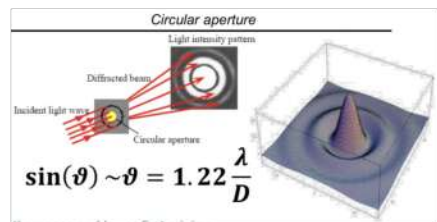
- they have either a fixed F#...
- ... or two cameras at different F#:
  - \* e.g. iPhone X has a dual rear camera with F# 1.8 and F# 2.2, and a front camera with F# 2.2.



## Diffrazione

Quando la luce passa in un buco si crea la diffrazione e' molto visibile quando l'apertura e' comparabile con la lunghezza d'onda della luce. Questo non e' il nostro caso comunque se stiamo parlando di se stanno in puto a distanza infinito questo sul senso si presenterà come la figura di diffrazione e non come un punto.

e' così perché l'apertura è circolare.  
Però in puto lo vedo come un disco.

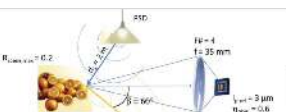


C'è un trade off tra aberrazione e diffrazione per quanto riguarda il numero F#.

## Rispetto alle domande iniziali

Calculation of the photons/s impinging on a single pixel:

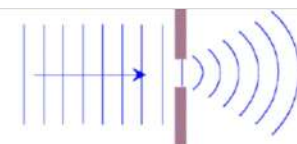
- start with source PSD in W/nm;
- calculate how this is (on average) reflected by an object, per unit area of reflection and solid angle (W/nm/m<sup>2</sup>/sr);
- calculate the solid angle from which the lens is seen by a point in my object;
- calculate the area that - in the scene - corresponds to a pixel (through the squared magnification);
- the **light impinging on the pixel area is found** by multiplying the quantity obtained at point 2, by the two formulas found at points 3 and 4.



You will see in a **numerical exercise** that photon flux (so, the pixel photocurrent) is thus proportional to pixel area and to the F# number squared inverse:

- at typical pixel size and F#, for generic scenes of variable light intensity, you will find photocurrents in the order of <0.1 to >100 fA per pixel.

$$\phi_{pixel} \propto \frac{A_{pixel}}{F^2}$$



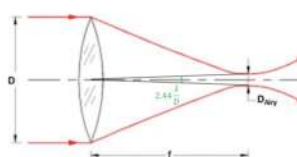
- The lens circular aperture diffracts light. We are interested in evaluating how a far, **on-axis, monochromatic point-like source** is imaged on the sensor.

- Incoming light can be considered parallel. Huygens theorem can be applied.
- The first Airy disk diameter turns out to be:

$$d_{Airy} = 2.44 \frac{\lambda}{D} f = 2.44 \cdot \lambda \cdot F\#$$

- **A point-like object is not imaged as a point:**

- → resolution worsening!



The higher the F#, the larger the diffraction and therefore the **spot size** of an ideal lens.

There will be (almost) no use in designing pixels smaller than the spot size!

Come la risoluzione spaziale viene limitata dall'ottica?

**Minimum diffraction** disk occurs at short  $\lambda$  and **wide-open lens**.

However, for wide-open lenses, resolution is limited by **aberrations**!

- the  $F\#$  at which **best optical resolution** is achieved is typically two stops below the widest aperture, i.e.  $F\#=4 - 5.6$ . In this case diffraction-limited resolution has a spot:

$$d_{Airy} = 2.44 \cdot 400 \text{ nm} \cdot 4 = 3.9 \mu\text{m}$$

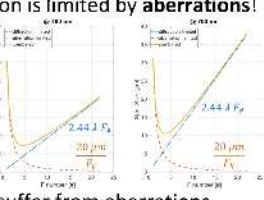
At other  $\lambda$  or  $F\#$ , resolution worsens.

Mobile phones, having small  $F\#$ , usually suffer from aberrations.

In order not to worsen the resolution with sensor spatial sampling, the **pixel size** should be **comparable to the numbers given above**:

- **pixel sizes ranging between 2 μm and 6 μm match this target**:

- larger pixel size may worsen the resolution and cause aliasing (why?);
- smaller pixel size worsens other performance (see next slide) but prevent aliasing.



## Posso avere stesse performance con un telefono?

A smaller sensor allows, in **mobile photography**, to obtain the same field of view of digital cameras. To fit within a small thickness, high refractive power is needed

- → relatively **large aberrations**...
- → focal length adjusted by combining acquisition from **multiple cameras**.

For the same number of pixels, a smaller sensor size corresponds to a **smaller pixel size** (often smaller than optic limitations)

- → in mobile imaging, the **resolution is almost always limited** by the **optics** rather than by the sensor (and in particular by aberrations);
- → in mobile imaging, the amount of light per pixel (for the same exposure time) is **small** and this will affect the **pixel performance**...

In general we conclude that native performance of mobile imaging are **unavoidably lower** than digital cameras

- such a difference is **partially compensated** by the **heavy role of digital post processing** of mobile images... and simply by the fact that most images are viewed only through a relatively small mobile phone screen!

## Active Pixel Sensors 1

Per ogni singolo pixel vogliamo le 3 coordinate del colore.

### Fotoconversione in una giunzione PN

The image is obtained through a matrix of elementary picture elements (pixels).

This conversion is nearly linear and is governed by three main parameters:

- overall quantum efficiency (from photons to current);
- integration time (from current to charge);
- conversion gain (from charge to voltage).

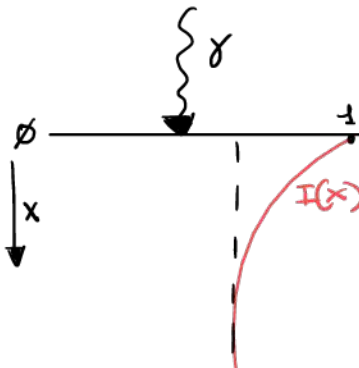
The available space for electronic design is very limited here! Very simple and ultra-low-power topologies are required, and some nonlinearity will therefore arise in this conversion, as we will discuss!

Charge to voltage conversion, like in MEMS!

```

    graph LR
      P[Photons pps] -- QE --> PA[Photocurrent Amperes]
      PA -- Direct Integration --> C[Charge C]
      C -- Conversion Gain --> V[Voltage V]
  
```

Tutto inizia quando il fotone arriva sulla giunzione



L'intensità  $I$  del fotone possono scendere come un esponentiale decrescente

$$I(x) = I(0) e^{-\alpha(\lambda)x}$$

Perciò l'intensità all'interno del materiale sarà andando a esponentiale decrescente

Tipicamente a noi interessa solo l'intensità tra 2 estremi la quale possiamo scrivere come:

$$\frac{I(x_2) \left[ e^{-\alpha(\lambda)x_1} - e^{-\alpha(\lambda)x_2} \right]}{I(0)}$$

Percentuale di luce assorbita fra  $x_1$  e  $x_2$  =

Ovviamente l'absorption length dipende dalla lunghezza d'onda.

### Generazione di Carga

Absorption occurs when the energy of the incoming photon is larger than the energy gap. In this case, an electron-hole pair is formed for each absorbed photon, whatever its energy (quantum detector, like the eye).

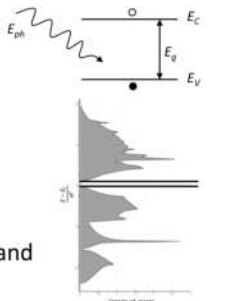
With a Si gap  $E_g = 1.12$  eV, the corresponding cut-off wavelength turns out to be  $\lambda_{cut-off} = 1100$  nm (this falls in the NIR range).

- e.g. a "blue" photon (400 nm) has an energy

$$E_{ph} = \frac{hc}{\lambda} = \frac{1.24}{\lambda[\mu m]} [eV] = 3.1 \text{ eV} \gg 1.12 \text{ eV}$$

- it interacts with the lattice structure and creates electron-hole pairs, promoting electrons from the valence band into the conduction band;
- energy in excess is lost in phonons excitation.

After charge is generated, we need to understand how it is collected.



Abbiamo 3 step principali, da foto a photocurrent la quale integrata nel tempo da una carica la quale la converte in un'uscita di tensione.

Osserviamo che la conversione carica/tensione è da fare per ogni pixel quindi dobbiamo usare pochissima 2rea (Non possiamo usare un OPAMP per tutti i pixel)

sulla giunzione

i fotoni devono avere un'energia maggiore di 1,12 eV, ma tutta la luce visibile ha energia maggiore di questa quindi nessun problema. Quando un fotone con energia sufficiente entra nel silicio scava fuori di promuovere un elettrone in banda di convezione e rimuovere una lacuna in banda di valenza

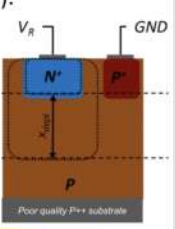
Dobbiamo ora decidere la topologia del nostro photodiodo.

Usiamo la teoria + facile cioè una giunzione PN reverse biased.

In the simplest case, the **active area of the pixel** is a **reversely biased PN junction** (usually N<sup>+</sup> over P-epitaxial layer).

Typical doping values:

- peak of the N<sup>+</sup> implant:  $N_D \sim 10^{20} \text{ cm}^{-3}$
- uniform P-type epitaxial layer:  $N_A \sim 10^{15} \text{ cm}^{-3}$



A few **important parameters** to understand the true operation of the image sensor:

- depletion layer width** (e.g. at a typical reverse voltage  $V_R = 3.3 \text{ V}$ ):

$$x_{depl} = \sqrt{\frac{2\epsilon_0 \epsilon_{Si} (V_R + V_{bi})}{q N_A}} = 1.5 \mu\text{m}$$

- diffusion length** at  $\tau_n \sim 1-5 \mu\text{s}$ ,  $D_n \sim 10 \text{ cm}^2/\text{s}$  (epitaxial layer):

$$x_{diff} = \sqrt{D_n \tau_n} > 10 \mu\text{m}$$

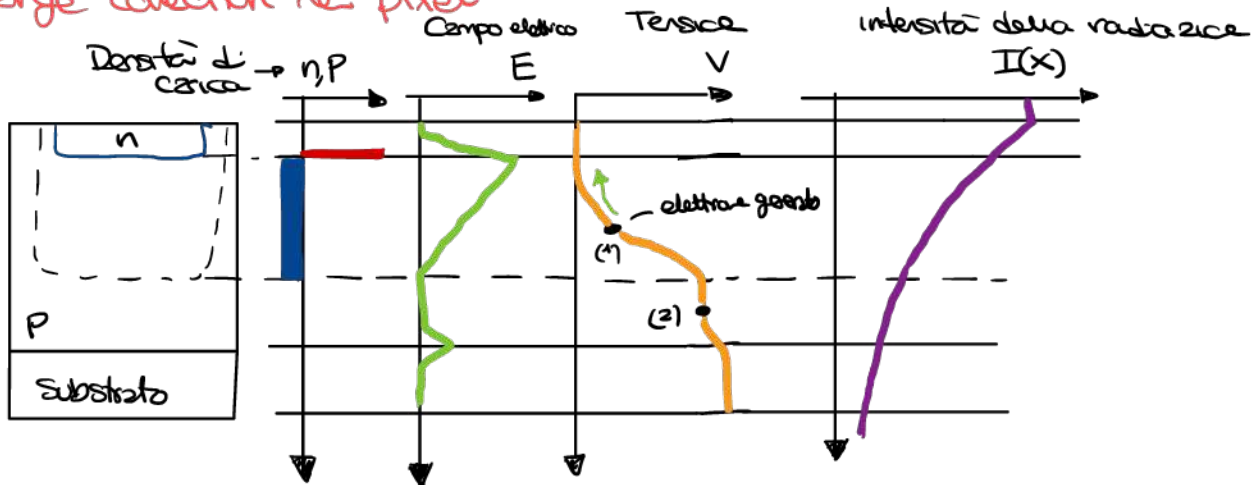
lifetime is dependent on Si quality (impurities, proximity to surface, etc... not only doping)

- diffusion length** at  $\tau_n < 0.1 \text{ ns}$ :  $D_n \sim 3 \text{ cm}^2/\text{s}$  (surface layer):

$$x_{diff} = \sqrt{D_n \tau_n} < 50 \text{ nm}$$

abbiamo il campo elettrico ma delle due parte non abbiamo nulla.

## Charge collection nel pixel



L'elettrone generato 1 per drift si sposta per drift, il 2° elettrone non sente il campo elettrico quindi per diffusione si muove e entra nella zona depleta la quale puo farci spostare per drift.

## Quantum efficiency

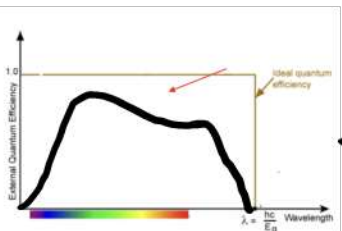
Tutti i fotoni generano coppie elettrone-lettrone? e tutti gli elettroni generati arrivano?

The ratio of **collected electrons over incident photons** is called **quantum efficiency**.

$$\eta(\lambda) = \frac{\text{collected electrons}}{\text{incident photons}}$$

Usually  $\eta$  is < 1 due to

- surface recombination at short  $\lambda$  (junction depth  $x_1 > 1/\alpha(400 \text{ nm})$ );
- uncollected carriers at long  $\lambda$  (depletion depth  $x_2 < 1/\alpha(700 \text{ nm})$ );
- transmittance  $T_{Si}(\lambda) < 1$  at Si-air interface.



$$\eta(\lambda) = \frac{I_0 e^{-\alpha(\lambda)x_1} - I_0 e^{-\alpha(\lambda)x_2}}{I_0} T_{Si}(\lambda) = (e^{-\alpha(\lambda)x_1} - e^{-\alpha(\lambda)x_2}) T_{Si}(\lambda)$$

Another commonly used parameter is the **responsivity**, which gives the **ratio of the output current to the input optical power**.

$$R(\lambda) = \frac{i_{ph}}{P_{in}} = \frac{q \cdot \text{collected electrons per second}}{E_{ph} \cdot \text{incident photons per second}} = \frac{q}{E_{ph}} \eta(\lambda) = \frac{q\lambda}{hc} \eta(\lambda)$$

Prendiamo l'epitaxial layer dopato poco perché così la zona depleta sarà più grande

formula per calcolare la zona depleta.

La diffusion length è la tipica distanza che un elettrone può fare senza la presenza di un campo elettrico.  
Ci seppiamo che nella zona depleta abbiano il campo elettrico ma delle due parti no non abbiamo nulla.

intensità della radiazione  $I(x)$

Tensione  $V$

Campo elettrico  $E$

Densità di carica  $\rightarrow n, P$

Nel mondo ideale con materiale infinito e puro allora la quantum efficiency è sempre 1)

Nella realtà abbiamo molti difetti però è possibile che gli elettroni che arrivano vicino alla giunzione (quelli con pochi energia) si ricombinino prima di arrivare a causa dei difetti. Poi abbiamo solo dei fotoni: ad alta energia (rosso) hanno + probabilità di ricombinazione perché viaggiano d+ nel silicio

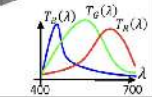
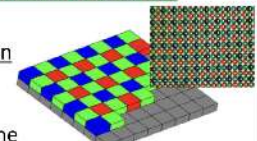
Definiamo un altro parametro chiamato responsività da mida la ratio tra la corrente di output e la potenza ottica

Però così generiamo solo un elettrone per fotone e non possiamo sapere se è rosso/blur/verde. Sappiamo che dobbiamo avere 3 grandezze quindi al posto di usare un singolo pixel monocolor possiamo mettere dei filtri monocolor sui pixel.

To retrieve color information, a camera should implement as well 3 different functions of the incoming wavelength:

- there are different approaches to this, the most common being the use of a mosaic of Color Filter Arrays (CFA), where filters are deposited on top of the Silicon layer;
- the **overall quantum efficiency** of each pixel becomes the product of the Silicon quantum efficiency and the filter transmittance.

$$\eta(\lambda) = (e^{-\alpha(\lambda)x_1} - e^{-\alpha(\lambda)x_2})T(\lambda)T_{FIL}(\lambda)$$



## Segnale e Rumore.

$$PSD(\lambda) = \frac{dP(\lambda)}{d\lambda}$$

dove la photocorrente ha da

$$i_{ph} = \int_{Si} PSD(\lambda) \cdot R(\lambda) d\lambda$$

noi supponiamo che la potenza sia confrontata tutta ad una lunghezza d'onda  $\bar{\lambda}$

$$i_{ph}(\bar{\lambda}) = P(\bar{\lambda}) \cdot R(\bar{\lambda})$$

Potremo poi scrivere la corrente anche come:

$$i_{ph} = I(\bar{\lambda}) \underbrace{A_{Px}}_{\text{Area del pixel}} \cdot R(\bar{\lambda}) = I(\bar{\lambda}) A_{Px} \cdot \frac{q \bar{\lambda}}{hc} \cdot \eta(\bar{\lambda})$$

è l'energia del fotone a questa lunghezza d'onda

$$= \underbrace{\Phi_{ph}(\bar{\lambda}) \cdot A_{Px} \cdot q}_{\text{è il photon flux.}} \cdot \eta(\bar{\lambda})$$

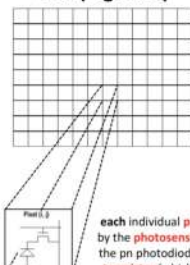
Però nella realtà abbiano de l'agitazione termica possa dare abbastanza energia da liberare un elettrone. Questo effetto è chiamato dark current.

Potremo distinguere 2 tipi di rumore

- Rumore che fluttua nel tempo
- Rumore che fluttua nello spazio (differenza tra i guadagni o negli offset ecc.. questo rumore si vede nell'immagine finale).

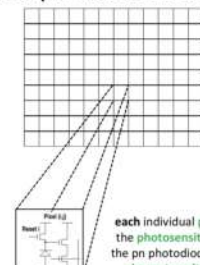
## Passive Pixel vs Active Pixel

PPS (e.g. CCD)



each individual pixel is just formed by the photosensitive element (e.g. the pn photodiode) and a selection transistor (which acts as a switch)

APS (most CMOS sensors)



each individual pixel is formed by the photosensitive element (e.g. the pn photodiode) and a compact charge to voltage conversion

Photogenerated charge at pixel level should be transferred to a single charge-to-voltage conversion stage (charge amplifier) at the matrix output.

Photogenerated charge is thus directly converted into voltage at pixel level, with the minimum required number of transistors (3 or 4, as we will see).

Nei passive pixel abbiamo solo il photodiode nel pixel mentre nei active pixel abbiamo già l'elettronica dentro.

Ma perché ha vinto l'active pixel contro il passive pixel

- CCD/PPS readout architecture requires **minimal pixel overhead (almost no electronics)**, making it possible to design very **small pixel sizes**.
- In PPSs the charge transfer is passive and therefore **does not introduce pixel to pixel variations known as fixed-pattern noise (FPN)**.
- In PPSs, charge transfer readout is **serial with limited readout speed**.
- CCDs/PPSs are fabricated in specialized technologies solely optimized for charge transfer. The disadvantage of using such **specialized technologies** is the inability to integrate other camera functions (processing) on the same chip.
- Voltages needed for charge transfer** are rather high (e.g. -8/15 V) for fast drift transport.
- A **larger pixel area** directly requires higher voltage or longer time to hold an acceptable efficiency in transferring the charge, making it **difficult to reduce consumption** at an acceptable frame rate.

In light of all previous comments:

- CMOS sensors **dissipate less power than CCDs of equal size**:
- **the difference in power consumption grows as chip size and frame rate increase**.

## APS 2

Come abbiamo detto nei pixel ztl si abbiano anche l'elettronica

### CMOS ACTIVE PIXEL SENSOR

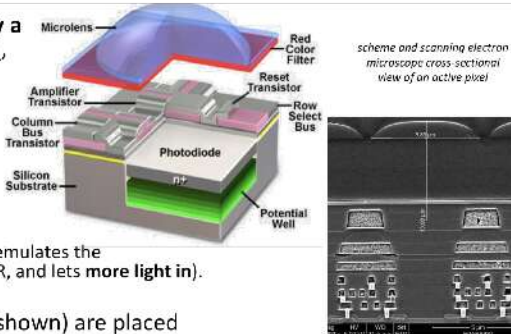
Il fotodiodo è come un generatore di corrente. La carica che generano è

$$Q_{ph} = \int_0^{t_{in}} i_{ph}(t) dt = i_{ph} t_{in}$$

dove  $i_{ph}$  è la photocorrente e visto che noi facciamo foto a oggetto fisso allora  $i_{ph}(t)$  lo possiamo considerare costante

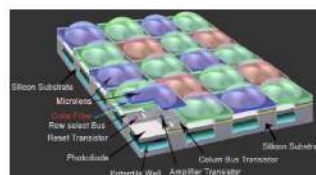
The photodiode is only a part of the active pixel, which includes as well transistors, electrical interconnections, pixel-level μ-lenses and color filters:

- the mostly adopted CFA configuration is the **GRGB** pattern (G is used twice as it better emulates the photopic curve than B/R, and lets **more light in**).



Additional filters (not shown) are placed on top of the whole sensor to:

- cut-off UV/IR light** (RGB filters let some light pass in the IR range);
- avoid aliasing** by "blurring" images to ensure a spatial frequency of the optical signal lower than  $f_{Nyq} = 1/(2 \cdot d_{pixel})$ . This is not needed if diffraction and aberrations already blur the image enough, compared to pixel size (small pixels are used in mobile applications).



Usando le microlenti possiamo migliorare di molto il fill factor.

Come facciamo l'elettronica per un

pixel? Noi generiamo della carica e come nel caso NELIS base potremo integrare la carica. Ora dove integriamo questa carica? potremo farla una volta virile e integrarla su un'altra cappella (come abbiamo fatto fino ad ora con i NELIS), gestire trice e diametralmente integrarla in diretta, ma richiede troppe aree.

Potremo allora usare l'integrazione diretta, integrare la photocurrent + darkcurrent sulla stessa cappella del fotodiodo.

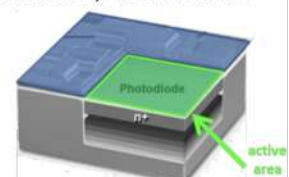
Abbiamo anche delle microlenti che servono a mandare tutta la luce sul fotodiodo e non sui transistor.

Inoltre tipicamente ce' un filtro anti infrarossi e anche un filtro anti blurring.

Fill factor è il rapporto tra area del fotodiodo e area dell'intero pixel

The fill factor is the ratio of the pixel active area over the **whole pixel area**, including electronics, interconnections, dead Si area...

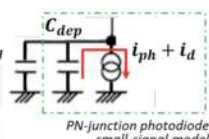
- the FF for PPS can be as high as >90%;
- typical fill factor for the simplest active pixel sensor (APS with 3 transistors) and front-side illumination is in the order of 35% to 45%.
- the lower the fill-factor, the lower the signal to noise ratio (see next slides).



If the anode sees only high impedances, the photocurrent  $i_{ph}$  and the dark current  $i_d$  are **integrated over a capacitance** that sums:

- the diode depletion capacitance  $C_{dep}$ ;
- the gate capacitance of one transistor,  $C_g$ .

$$C_{dep} = \frac{\epsilon_0 \epsilon_{Si} A_{pd}}{x_{dep}}$$



This kind of integration which occurs directly on the anode capacitance is called **direct integration**.

Assuming to first reset the photodiode reverse bias, the voltage across the capacitance decreases during integration. This **charge-to-voltage conversion gain**, measured in  $\mu\text{V/electron}$ , is governed just by one parameter (the **integration capacitance**) and is almost linear:

$$G = \frac{\Delta V_{out}}{N_{el}} = \frac{Q_{ph}}{(C_{dep} + C_g)N_{el}} = \frac{q N_{el}}{(C_{dep} + C_g)N_{el}} = \frac{q}{(C_{dep} + C_g)}$$

e.g. with  $1 \text{ fF}$  capacitance the conversion gain is about  $160 \mu\text{V/e}$

Se voglio fare sì che ci sia integrazione qui due cose che non impedisca  $\infty$ .

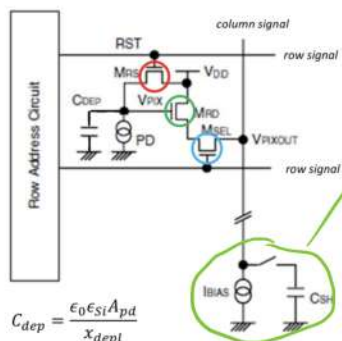
Possiamo quindi calcolare il conversion gain.

## Ci bastano solo 3 MOSFET come elettronica.

According to previous slides, we can get **direct integration** and **fast scan** if we guarantee (i) **high input impedance** seen by the anode and (ii) **low output impedance** towards the column bus.

The **simplest active pixel to readout the photocurrent** within a large matrix is formed by the PN junction and **three transistors**:

- a transistor  $M_{RD}$  arranged in a **source follower** configuration to buffer the signal to the output node with low impedance;
- a reset transistor  $M_{RS}$  whose gate is pulsed **on to reset (begin) the pixel operation** before a new image acquisition is taken;
- a **row-selection** transistor  $M_{SEL}$  that latches the voltage to the column bus when the pixel is to be **read** (i.e. at the **end** of the "electronic" exposure).



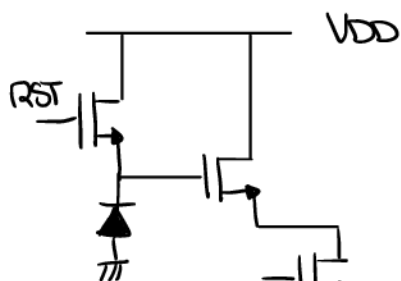
$M_{RS}$  and  $M_{SEL}$  can be seen as switches (initially ideal, then with nonidealities).

Sono tutti NMOS transistor

MRS e SEL vengono usati come interruttore.  
il rimanente transistor ha la funzione di Source follower

Questo gen di corrente non fa parte del pixel ma è condiviso con tutta la colonna.

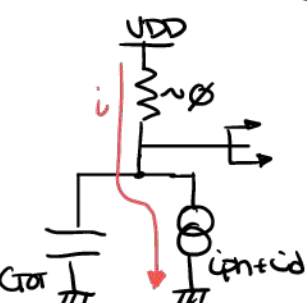
## Studiamo il circuito



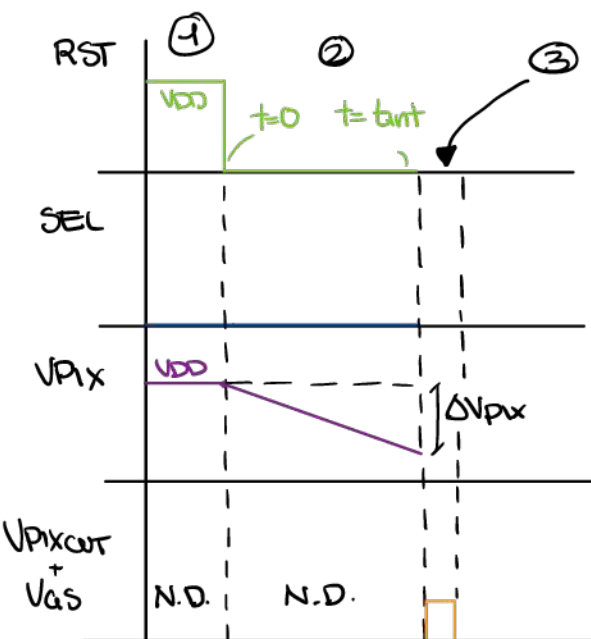
Colonna  
dà esempio collegati tutti  
i pixel.

Ho 3 fasi  
1) Reset  
2) Integration  
3) readout.

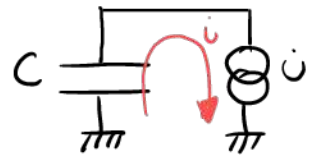
## Circuito Fase ①



Visto che  $R$  è molto piccola la tensione sull'node è  $\approx VDD$



## Circuito Fase ②



La tensione sul condensatore va calando perché era caricato a VDD.

$$V_{Px}(t) = VDD - \frac{\Delta Q}{C_{dep} + C_g} = VDD - \frac{(i_{ph} + i_d)t_{int}}{C_{dep} + C_g}$$

Allora  $\Delta V_{Px} = \frac{(i_{ph} + i_d)}{C_g + C_{dep}} \cdot t_{int} = (\Phi_{ph} \cdot q \cdot \eta \cdot A_{Px} \cdot FF + i_d) \frac{t_{int}}{C_g + C_{dep}}$

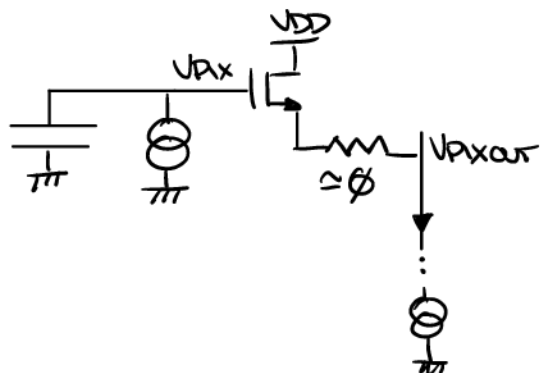
Possiamo quindi scrivere che

$$\frac{\Delta V_{Px}}{\Phi_{ph}} = \frac{q \eta A_{Px} \cdot FF \cdot t_{int}}{C_g + C_{dep}} = G \cdot \eta A_{Px} \cdot FF \cdot t_{int}$$

Fill Factor  
conversion gain

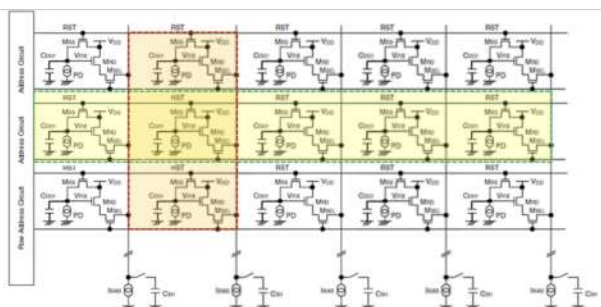
è la sensibilità del pixel.

Circuito fase ③ Readout.



All'output abbiamo  $V_{Px} - V_{as}$  del mosfet

Non c'è uno shutter meccanico per decidere l'intervalllo d'integrazione della we, facciamo tutto elettronicamente usando quei 2 switch.



According to the described operation

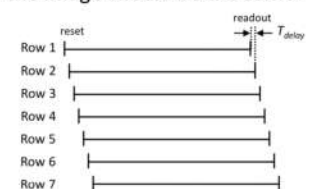
- all the pixels of the same row have their reset transistor simultaneously active, and then, they have their selection transistor simultaneously active. Therefore, they integrate light during the same time interval (from reset end to readout);
- on the contrary, all the pixels of the same column have their readout transistor M<sub>RD</sub> connected sequentially to a single column output:
  - they are thus readout in a sequential manner.

leggiamo le righe nello stesso momento ma non le colonne

Noi vogliamo che l'intervalllo d'integrazione sia uguale per tutti quindi dobbiamo mettere un delay tra i diversi reset.

However, the total exposure time of each pixel in the image should be the same!

- if integration ends at different time instants (impossibility to have simultaneous readout for different rows) then integration needs also to start at different time instants for the pixels of different rows.



As a consequence, in order to have the same exposure time for all pixels, the reset signal that triggers the charge integration inside each pixel must be delivered with the same delay  $T_{delay}$ . This kind of operation is called "rolling shutter" mode.

In other words, all the pixels acquire the image for the same amount of time but not all parts of the image are recorded at exactly the same time: this may produce noticeable distortion of fast-moving objects relative to the camera.



Apparentemente vedendo la sensitività ci permette che la risposta del pixel sia lineare alla quantità d' luce. Nella realtà non è così come vediamo ora.

Abbiamo infatti visto che  $\Delta V_{pix} \div \frac{1}{C_{dep} + \dots}$  ma la C<sub>dep</sub> dipende da  $\Delta V_{pix}$ .

quindi il comportamento non è lineare.

La full scale range è:

As the voltage across the pixel decreases, the PN junction approaches the built-in condition.

At the saturation condition:

$$\Delta V_{pix,max} \sim V_{DD}$$



the potential well of the diode is completely full of electrons. Any electrons in excess flows out of the well eventually creating blooming to neighbor pixels.



The correct signal information is completely lost for saturated pixels.

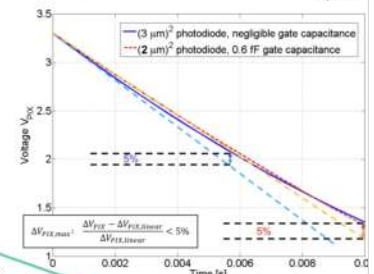
The photodiode junction capacitance is a function of the reverse bias, giving a nonlinearity in conversion gain G and sensitivity  $\frac{\Delta V_{pix,out}}{\partial p_h(\lambda)}$

$$C_{dep}(V_{pix}) = \frac{\epsilon_0 \epsilon_s A_{pd}}{x_{dep}(V_{pix})} = \frac{\epsilon_0 \epsilon_s A_{pd}}{\sqrt{2\epsilon_0 \epsilon_s (V_{pix} + V_{bi}) / qN_a}}$$

The constant gate capacitance luckily mitigates the effect.

Numerical example:

- (3 μm)<sup>2</sup> pixel area with  $x_{dep} = 1 \mu\text{m}$ ;
- (180x400)nm<sup>2</sup> 4-nm-thick SiO<sub>2</sub> gate.

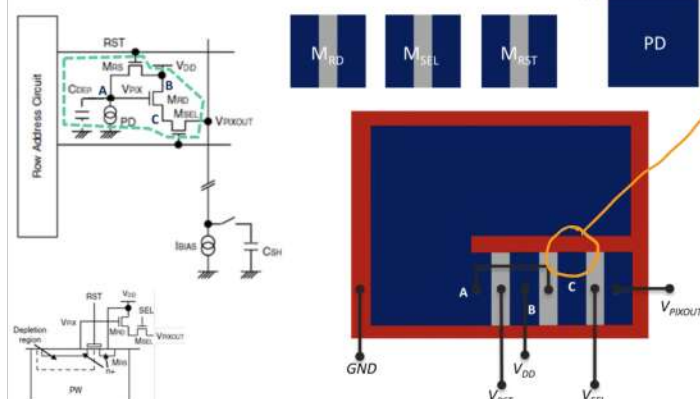


Usually, acceptable linearity errors are in the order of 5-7% (the human eye itself is rather nonlinear! The increase in C<sub>dep</sub> reduces gain and delays saturation).

← Ad esempio in gest' immagine avevo fatto un paio di pixel da saturazione per effetto blooming abbiamo alle + pixel saturato

## Miglioramento dell' allocazione di spazio dei transistor sui pixel

- Where possible the transistor implants are shared to save space (e.g. the PD shares the N+ implant with the source of M<sub>RS</sub>).



In pratica sovrapponiamo i vari moset così risparmiamo molto spazio.

## SNR nella topologia a 3 transistor

To evaluate the signal to noise ratio for a given photo- and dark current  $i_{ph}$  and  $i_d$ , we need to take into account:

- current shot noise:
- kTC noise due to the periodical reset of the anode capacitance connected to the MOS "on" resistance:

$$S_{i,shot} = 2q (i_{ph} + i_d) \left[ \frac{A^2}{Hz} \right]$$

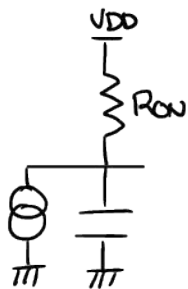
$$S_{V_{Ron}} = 4 k T R_{on} \left[ \frac{V^2}{Hz} \right]$$

- other ("readout") noise contributions: quantization noise that occurs in the ADC (usually at column level before multiplexing to the output), 1/f and thermal noise of the source follower...
  - typically made negligible (→ not discussed in depth but verified in the CAD class).

Iniziamo calcolando il rumore KTC.

Il circuito eq sapremo essere (Nella fase di reset)

c'è un rumore indipendente dal segnale!!



$$S_{V_{\text{ron}}} = 4 \text{KBT} R_{\text{ON}} \quad [\text{V}^2/\text{Hz}]$$

Questo rumore è integrato su una banda pari a

$$\text{BW} = \frac{1}{4 R_{\text{ON}} (C_g + C_{\text{dep}})}$$

Perciò  $\sigma_{V_{\text{KTC}}}^2 = \frac{4 \text{KBT} R_{\text{ON}}}{4 R_{\text{ON}} (C_g + C_{\text{dep}})} = \frac{\text{KBT}}{C_g + C_{\text{dep}}} \quad [\text{V}^2]$

Possiamo scrivere questo valore anche in termini di carica

$$\sigma_{q_{\text{KTC}}}^2 = \frac{\text{KBT}}{C_g + C_{\text{dep}}} (C_g + C_{\text{dep}})^2 = \text{KBT} (C_g + C_{\text{dep}}) \quad \left[ \begin{array}{l} \text{e per questo che si} \\ \text{chiama rumore KTC} \end{array} \right]$$

Ma cosa ci interessa il rumore nella fase di reset?

A intessa perché con questo rumore condiziona C e quindi il valore di cui parte l'integrazione dipende dal rumore.

### • Shot Noise

$$S_{i_{\text{shot}}} = 2q(i_{\text{ph}} + i_{\text{d}}) \quad \text{A}^2/\text{Hz}$$

La banda equivalente è  $\frac{1}{2t_{\text{int}}}$  (è un getto integrator), perciò

$$\sigma_{i_{\text{shot}}}^2 = \frac{q(i_{\text{ph}} + i_{\text{d}})}{t_{\text{int}}} \quad [\text{A}^2]$$

Anche questo posso scrivere in funzione della carica

$$\sigma_{q_{\text{shot}}}^2 = \sigma_{i_{\text{shot}}}^2 \cdot t_{\text{int}}^2 = q(i_{\text{ph}} + i_{\text{d}}) t_{\text{int}} \quad [\text{C}^2]$$

Questo è un signal dependent noise source.

### Rumore di quantizzazione

Errore dovuto del fatto che digitalizziamo il segnale

$$\text{LSB} = \frac{V_{\text{DD}}}{2^n}$$

$$\sigma_{\text{quant}}^2 = \left( \frac{V_{\text{DD}}}{2^n \sqrt{12}} \right)^2 \quad [\text{V}^2]$$

Anche questa la posso scrivere in funzione della carica

$$\text{Ora}_{\text{quant}} = \left[ \frac{V_{DD}}{2^n \sqrt{12}} \cdot (C_g + C_{dep}) \right]^2 \quad [\text{C}^2]$$

Perciò possiamo scrivere il rapporto segnale rumore come:

$$\text{SNR} = 20 \log_{10} \frac{S}{N} = 20 \log_{10} \frac{\text{iph} \cdot \text{tint}}{\sqrt{K_B T (C_g + C_{dep}) + q(\text{iph} + q) \cdot \text{tint}}}$$

(considerando trascurabile il rumore di quantizzazione)

+ aumentiamo l'integration time tint + aumenta l'SNR e quindi a noi va bene. Possiamo aumentare tint finché non andiamo alla saturazione dei pixel.  
A parità di pixel il sensore + grande avrà meno SNR.  
Dopo circa  $\text{SNR} > 30 \text{dB}$  noi non riusciremo a vedere differenze.

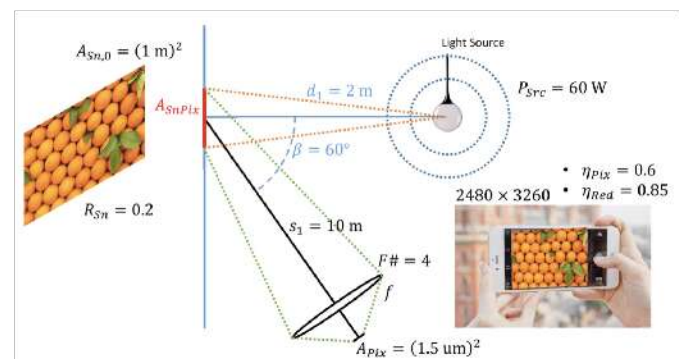
1.12.2021

## Esercizio 0405

2h

We use a smartphone to take a picture of a basket of oranges. A lamp with 60-W emitting optical power illuminates the scene, which reflects light as a Lambertian reflector with a 0.2 coefficient. Oranges are 2 m away from the light source, and we are 10 m away from the scene. Compared to the direction orthogonal to the scene surface, we are off by  $60^\circ$ . Our smartphone features a sensor with  $3260 \times 2480$ ,  $1.5 \mu\text{m}$ -side pixels, with 0.6 quantum efficiency. The photograph is shot with an F-number of 4. Fig. 1 sketches the situation.

- Evaluate the focal length that is suited to fit  $1 \text{ m}^2$  of the scene in the final picture.
- Calculate the photon flux per unit area incident on one pixel, in  $[\text{ph}/\text{s}/\text{m}^2]$ .
- Find the photocurrent generated within a red pixel (transmittance of 0.85).
- Verify whether an anti-alias filter is required.

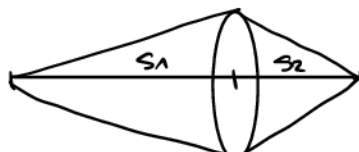


Tred alla frequenza d'interesse è 0,85.

Noi ci aspettiamo che la luce riflessa abbia  $\lambda = 650 \text{ nm}$  altracore.

Punto 1)

Ricordiamo la lens maker formula

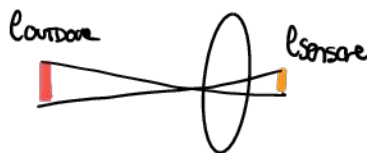


$$\frac{1}{s_1} + \frac{1}{s_2} = \frac{1}{f}$$

Nel nostro caso  $s_1 \gg s_2$  quindi  $1/s_1$  è trascurabile

perciò la lunghezza focale è  $f \approx s_2$

Quando abbiamo un oggetto ad una certa distanza da una lente abbiamo che

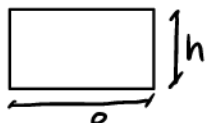


$$m = \frac{\text{Piatto}}{\text{Lentile}} = \frac{s_2}{s_1} = \frac{f}{s}$$

(lente di magnificazione)

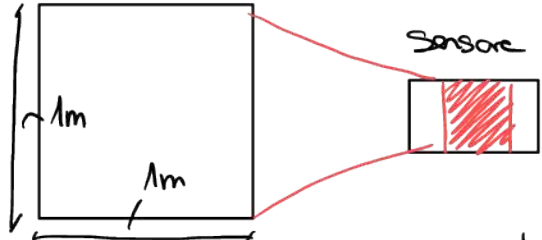
Perciò scegliere la lunghezza focale Cambia il fattore di magnificazione

Noi vogliamo che un'area di  $1 \text{ m} \times 1 \text{ m}$  vada su un sensore di estre dimensione



$$h = f_{pix} \cdot 2480 = 1.5 \mu\text{m} \cdot 2480 = 3.7 \text{ mm}$$

$$e = f_{pix} \cdot 3260 = 4.9 \text{ mm}$$



Perciò il fattore di magnificazione deve essere

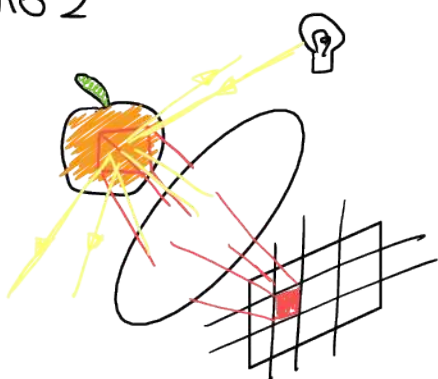
$$m = \frac{37\text{mm}}{1\text{m}} = 3,7 \cdot 10^{-3}$$

Scelgo questa dimensione perché è la più limitante

e quindi ottengo

$$f = m \cdot s_1 = 37\text{mm}.$$

## • PUNTO 2



Noi sappiamo che il fattore di magnificazione funziona anche per i pixel perché il pixel prenderà luce solo da una certa porzione della scena.

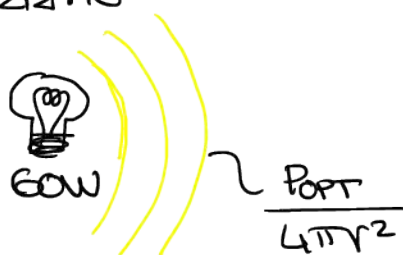
Ma non tutta la luce che va su quel punto della scena verrà rilevata dal pixel perché non riflette e riflessione anche in altre direzioni.

Dovrò quindi trovare

- area del pixel
- solid angles  $\rightarrow$  lenti
- optical power  $\rightarrow$  reflected light intensity.

} con questi 3 calcoli  $\Phi_{ph}$

## Iniziamo



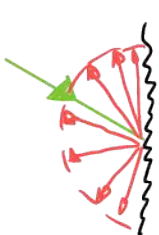
La potenza ottica cessa con la distanza perché questa distanza si deve smarrire su + area

Noi sappiamo che a una distanza di 2 metri ci sono le stesse quantità di intensità per area

$$I = \frac{P_{opt}}{4\pi r^2} = \frac{60\text{W}}{4\pi(2\text{m})^2} = 1,19 \text{ W/m}^2$$

## CONCETTO IMPORTANTE

Noi conosciamo la legge di Snell ma quella vale solo con oggetti stile specchio. All'opposto quando abbiamo una superficie rugosa abbiamo che la luce viene riflessa in modo isotropico



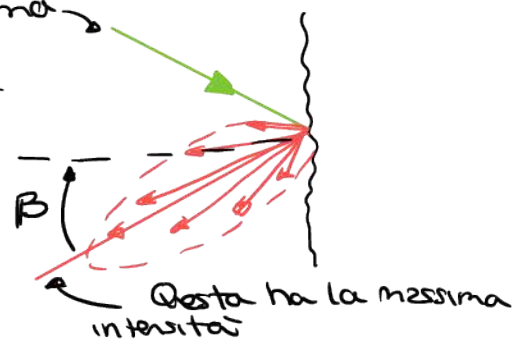
L'intensità per unità solid angle sarà  $I/2\pi$

Per semplicità noi consideriamo un mix tra le 2 leggi

Cioè che si espanderà con questa forma

Questa si chiama Lambertian reflection e l'intensità della luce

$$\frac{I}{\pi} \cos(\beta)$$



Abbiamo anche un costrutto riflettore che calcola la % della luce che viene riflessa.

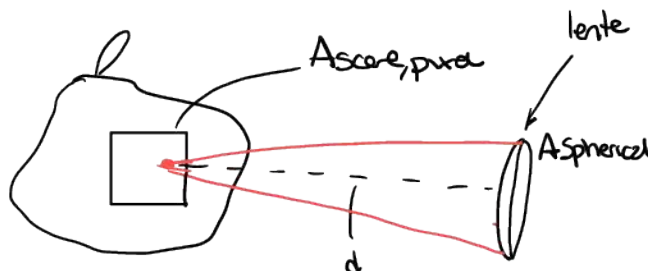
Dobbiamo adesso calcolare la reflected intensity per unit solid angle

$$\frac{I_{\text{ref}}}{\Omega} = \frac{I}{\pi} \cos(\theta) \cdot R = \frac{1,19 \text{ W/m}^2}{\pi} \cdot \cos(60^\circ) \cdot 0,2 = 37,9 \frac{\text{mW}}{\text{m}^2 \cdot \text{sr}}$$

Costr. di  
riflessione

ster Redint  
(unità di  
misura del  
solid angle)

Dobbiamo adesso trovare l'area relativa al pixel



Il solid Angle della rete è:

$$\Omega = \frac{A_{\text{lens}}}{d^2}$$

Per piccoli solid angle possiamo approssimare l'area della superficie sferica con l'area della sfera piatta, perciò:

$$\Omega = \frac{A_{\text{lens}}}{d^2}$$

Quindi:

$$\Omega = \frac{\pi (D/2)^2}{d^2}$$

Ricordiamo  $F\# = \frac{f}{D} \approx D = \frac{f}{F\#}$

$$= \frac{\pi \left( \frac{f}{F\# \cdot 2} \right)^2}{d^2} = \frac{\pi \left( \frac{37 \text{ mm}}{4 \cdot 2} \right)^2}{(10 \text{ m})^2} = 0,67 \mu\text{sr}$$

(de è < 6π e quindi la nostra approssima è piccola è vera)

Adesso dovo vedere il relativo dell'area sul pixel

$$\frac{A_{\text{pix}}}{A_{\text{scen, pix}}} = \frac{(C_{\text{pix}})^2}{(C_{\text{scen, pix}})^2} = m^2$$

$$\text{Perciò } A_{\text{scen, px}} = \frac{A_{\text{pix}}}{m^2} = \frac{(1,5 \text{ mm})^2}{(37 \cdot 10^{-3})^2} = 605 \text{ mm}^2$$

Perciò la potenza ottica per singolo pixel sarà

$$P_{\text{px}} = \frac{I}{\Omega} \cdot I_{\text{lens}} \cdot A_{\text{scen, px}} = 37,9 \frac{\text{mW}}{\text{m}^2 \cdot \text{sr}} \cdot 0,67 \mu\text{sr} \cdot 605 \text{ mm}^2$$

$$= 6,2 \text{ fW.}$$

Dobbiamo adesso ricavare il photon flux

L'energia di un fotone è

$$E_{ph} = \frac{h \cdot c}{\lambda} = \frac{6,626 \cdot 10^{-34} J \cdot s \cdot 3 \cdot 10^8 m/s}{650 nm}$$

$$= 3,06 \cdot 10^{-19} J/ph$$

$$\approx 1,91 eV$$

ci serve questo

Dato che la potenza è l'energia per unità di tempo, allora posso avere il n° di fotoni per unità di tempo

$$\frac{N_{ph}}{\Delta t} = \frac{P_{ph}}{E_{ph}} = \frac{4,2 \text{ fJ/s}}{3,06 \cdot 10^{-19} J/ph} = 13700 \text{ ph/s}$$

Però il photon flux è

$$\Phi_{ph} = \frac{13700 \text{ ph/s}}{A_{px}} = 6,1 \cdot 10^{15} \frac{\text{ph}}{\text{s} \cdot \text{m}^2}$$

### PUNTO 3

Sappiamo che la corrente fotogenerata sarà:

$$i_{ph} = \underbrace{\Phi_{ph} \cdot A_{px}}_{\text{è il numero di fotoni per unità di tempo}} \cdot q \cdot \eta \cdot T_{red} = \frac{6,1 \cdot 10^{15} \text{ ph}}{\text{s} \cdot \text{m}^2} \cdot (1,5 \mu m)^2 \cdot 1,6 \cdot 10^{-19} C \cdot 0,6 \cdot 0,85$$

$$= 1,1 \text{ fA}$$

### PUNTO 4

Serve un filtro anti aliasing? (In pratica mi chiede la risoluzione del sistema)

Noi facciamo un sampling spaziale con il nostro filtro.

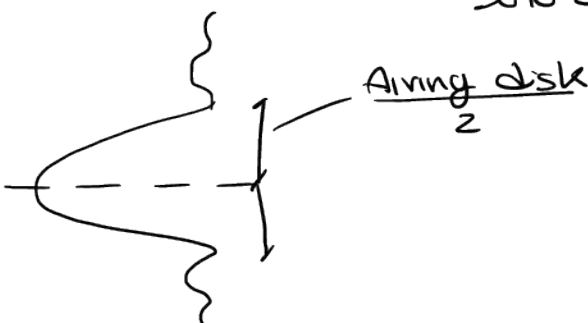
$$f_{sample} = \frac{1}{\lambda_{px}} = 0,67/\mu m \quad \text{prendo un puto per gli } 0,67 \mu m$$

ho poi che

- 1.
- 2.



In realtà un puto non zero una figura di diffrazione  
se vedo solo uniche molto i 2 punti otterò unica  
segna che non mi fa più discriminare i 2 punti.  
Noi diciamo che riusciamo a discriminare i 2 punti se  
sono distanti almeno un Airy disk



Nel nostro caso

$$d_{airy} = 2 \cdot 1,22 \cdot \frac{\lambda}{D} \cdot f = 2,44 \cdot \lambda \cdot \frac{f}{D}$$

$$= 6,3 \mu m$$

Questo significa che i massimi spazi fra i picchi saranno i del Airy disk.

$$f_{\text{signal,max}} = \frac{1}{d_{\text{airy}}} = 0,16/\mu\text{m}$$

Questo significa che il nostro sistema è limitato dalla diffrazione e da dato che

$$f_{\text{sample}} > 2 \cdot f_{\text{signal,max}}$$

e quindi non abbiamo bisogno di un filtro anti aliasing.

Anche in questo caso un sistema ben equilibrato si ha per un good matching tra diffrazione e grandezza dei pixel.